

М. А. БЛОХИН и В. П. САЧЕНКО

ШИРИНЫ ВНУТРЕННИХ УРОВНЕЙ И РАСПРЕДЕЛЕНИЕ ПЛОТНОСТИ ЭЛЕКТРОННЫХ СОСТОЯНИЙ ПО ЭНЕРГИЯМ ЭЛЕМЕНТОВ ПЕРЕХОДНОЙ ГРУППЫ ЖЕЛЕЗА

Рентгеновские спектры испускания и поглощения позволяют непосредственно находить распределение плотности электронных состояний по энергиям (точнее, величину $N(E) \cdot P(E)$, где $N(E)$ — плотность состояний, а $P(E)$ — вероятность перехода).

Как показано в ряде работ одним из авторов [1—3], для нахождения действительного вида функции $N(E)$ рентгеновские спектры необходимо «исправлять» на искажения, вносимые конечной шириной внутреннего уровня, участвующего в переходе (в частности, K -уровня). Для применения метода исправления [1—3] необходимо знать форму и ширину внутреннего уровня. Многочисленные экспериментальные и теоретические данные указывают на то, что форма K -уровней — дисперсионная, по крайней мере у непереходных элементов. Это следует хотя бы из того, что форму $K\alpha_{1,2}$ -линий непереходных элементов можно считать дисперсионной (см., например, [4, 5]). Метод исправления рентгеновских спектров [1—3] разработан, в частности, для такой формы внутреннего уровня. Ширины внутренних уровней известны для весьма малого числа элементов. Сводка известных экспериментальных данных по ширинам K -уровня [6—12] приведена в табл. 1.

Таблица 1

Экспериментальные значения ширин K -уровня

Элемент	γ , eV	Элемент	γ , eV	Элемент	γ , eV
12 Mg	0,5	27 Co	1,5	36 Kr	2,07
13 Al	0,35	28 Ni	1,9	47 Ag	8,0
18 Ar	0,58	29 Cu	1,3	74 W	37
19 K	0,73	30 Zn	1,5	79 Au	62
26 Fe	1,8	31 Ga	1,9		

Ширины уровней, определенные в работе [12] для переходных элементов группы железа, нельзя считать правильными, поскольку K -край поглощения переходных элементов группы железа имеет сложный характер благодаря незаполненной $3d$ -оболочке, которая участвует в поглощении. В этом случае применение метода [13] для определения ширины уровня не оправдано.

В настоящей работе мы попытались определить ширину K -уровней некоторых элементов интерполированием на эти элементы экспериментальных значений ширин K -уровней непереходных элементов из числа помещенных в табл. 1.

Известно, что ширина уровня γ прямо пропорциональна вероятности P выхода атома из данного состояния. Для нахождения закона изменения ширины K -уровня с атомным номером были учтены два существенно раз-

личных типа переходов — радиационные и безрадиационные переходы. Полная вероятность выхода атома из данного состояния складывается из вероятностей радиационного перехода P_p и безрадиационного P_6 .

Следовательно,

$$\gamma = A(P_p + P_6). \quad (1)$$

Конкретное значение коэффициента A определяется формой уровня. В частности, для дисперсионной формы уровня $A = 6,58 \cdot 10^{-16}$ (если γ выражать в электронвольтах, а P — числом переходов в 1 сек). Таким образом, нахождение зависимости ширины уровня от атомного номера сводится к нахождению зависимости от атомного номера вероятностей P_p и P_6 .

Если учитывать, что атом может выйти из данного состояния различными радиационными и безрадиационными переходами, то вероятности P_p и P_6 запишутся в виде сумм

$$P_p = \sum_{|E_k| > |E_n|} P_{kn}, \quad P_6 = \sum_{E|_k| > |E_{nm}|} P_{k,nm},$$

где P_{kn} — вероятность радиационного перехода с уровня k на уровень n , а $P_{k,nm}$ — вероятность безрадиационного перехода с уровня k на уровень двойной ионизации nm .

Для P_{kn} обычный расчет вероятности перехода между двумя состояниями однократной ионизации дает известное соотношение:

$$P_{kn}(Z) \sim Z^4. \quad (2)$$

Следовательно, в этом приближении

$$P_p(Z) \sim Z^4. \quad (2a)$$

Учет экранирующего влияния электронных оболочек на вероятность P_{kn} приводит к несколько отличной от (2) зависимости от Z . Вычисление вероятностей переходов $P_{K,L_{II,III}}$ и $P_{K,M_{II,III}}$, проведенное в приближении Слейтера [14] для волновых функций, по известной формуле

$$P_{kn} = \frac{32\pi e^2 \nu_{kn}^3}{3c^3 h} \left(\sum_{i=1}^3 |X_{kn}^i|^2 \right),$$

где X_{kn}^i — матричный элемент i -той координаты, показало, что эти зависимости хорошо аппроксимируются выражениями:

$$P_{K,L_{II,III}} = BZ^{4,53}, \quad P_{K,M_{II,III}} = CZ^{4,83}. \quad (3)$$

Отношение к этим вероятностям можно также вычислить из экспериментальных данных по относительной интенсивности соответствующих линий [15, 16]. Проведенное сравнение этих отношений, вычисленных теоретически и по экспериментальным данным, показывает удовлетворительное согласие (табл. 2).

Таблица 2

Сравнение экспериментальных и теоретических значений отношения κ вероятностей переходов, соответствующих линиям $K_{\alpha_{1,2}}$ и $K_{\beta_{1,2}}$

Элемент	29 Cu	47 Ag	79 Au
$\kappa_{\text{эксп}}$	7,3	5,2	4,4
$\kappa_{\text{теор}}$	5,8	5,0	4,2

Поэтому для нахождения зависимости $P_p(Z)$ был применен следующий способ. Для переходов $P_{K, L_{II}, III}$ бралась вычисленная зависимость (3). Осциллирующие переходы учитывались по экспериментальным данным, полученным из относительных интенсивностей соответствующих линий. Полученная зависимость $P_p(Z)$ хорошо аппроксимируется формулой:

$$P_p = DZ^{4,71}. \quad (4)$$

Вероятность безрадиационных переходов P_6 вычислялась для ряда элементов различными авторами и в различных приближениях [17—23]. Общим выводом этих вычислений является слабая зависимость P_6 от Z . Вероятность безрадиационных переходов оказалась практически постоянной. Соответствующая этим переходам ширина равна 0,8—0,9 eV. Следует отметить, что в [19] была вычислена вероятность некоторых безрадиационных переходов с учетом релятивистских поправок. Она превосходит примерно в два раза соответствующее нерелятивистское значение в случае Au и в три раза в случае Ag.

Представляло существенный интерес получить для различных элементов значения вероятностей безрадиационных переходов, вычисленных в одном приближении. С этой целью были проведены расчеты вероятности безрадиационных переходов для K -уровня. В качестве волновых функций электронов в атоме брались волновые функции по Слейтеру [14]. Для волновой функции вырванного электрона бралась плоская волна. Результаты вычислений безрадиационной ширины γ_6 приведены на рис. 1 (кривая 1). Как видно из рисунка, применение плоской волны в качестве волновой функции непрерывного спектра дает результаты примерно в 1,5 раза большие, по сравнению с вычислениями [18—23], в которых использовалось точное выражение для волновой функции непрерывной области энергий. Кроме того, в приближении, использованном в данной работе, P_6 слабо зависит от Z . Принимая во внимание очень приближенный характер этих расчетов, можно ожидать, что применение вычисленной зависимости P_6 от Z не даст удовлетворительных результатов. Действительно, попытки подобрать кривую для $\gamma(Z)$ по формуле (1) так, чтобы она согласовалась с экспериментальными значениями (табл. 1), не дали хороших результатов. Поэтому для нахождения зависимости $\gamma(Z)$ были использованы экспериментальные значения выхода флуоресценции ω для K -уровня.

По определению

$$\omega = \frac{P_p}{P_p + P_6}.$$

Отсюда находилась полная вероятность $P(Z)$ с использованием для P_p зависимости (4).

Произвольность коэффициента в формуле (4) позволяла сдвигать кривую для γ относительно оси ординат до лучшего совпадения с экспериментальными значениями (табл. 1). Подобранный таким образом коэффициент равен $D = 1,00 \cdot 10^8$ переходов в секунду. По этой кривой (рис. 2, кривая 2) были найдены значения γ для различных элементов группы железа значительно отличаются от значений, полученных в работе [12]. Верхнюю часть кривой 2 (рис. 2) вплоть до $Z = 30$ можно приближенно аппроксимировать формулой $\gamma \sim Z^4$. На такую зависимость ширин уровней от Z в этой области значе-

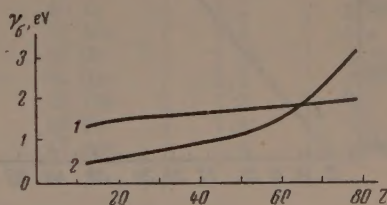
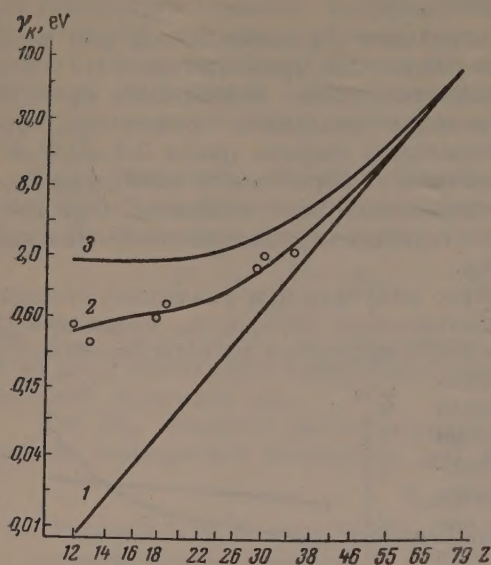


Рис. 1. Зависимость безрадиационной ширины γ_6 от атомного номера: 1 — получено теоретически, 2 — получено по формуле (4) с использованием экспериментальных значений выхода флуоресценции [26—31]

ний Z указывают некоторые авторы [24]. В области малых атомных номеров зависимость $\gamma \sim Z^4$ не имеет места. Следовательно, использование этой зависимости для нахождения ширины K -уровня атома Cl , как это было сделано в работе [25], нельзя считать правильным. Используя данные для выхода флуоресценции с K -уровня [26—31] и формулу (4) для P_0



с $D = 1,00 \cdot 10^8$ переходов в секунду, можно найти кривую P_0 . Такая кривая приведена на рис. 1 (кривая 2). Характерным ее отличием от кривой, полученной вычислениями, является резкий подъем в области больших Z . По-видимому, он объясняется релятивистскими эффектами, о которых упоминалось выше.

Рис. 2. Зависимость ширины K -уровней от атомного номера. Масштабы по осям — логарифмические: 1 — зависимость радиационной ширины от Z по формуле (4), 2 — окончательная зависимость $\gamma_K(Z)$, полученная с использованием экспериментальных значений выхода флуоресценции [24—29], 3 — зависимость $\gamma_K(Z)$, полученная с использованием формулы (2а) в предположении $P_0 = \text{const}$ (Z)

Некоторые авторы [18, 20—23, 32] отмечают, что зависимость $\omega(Z)$ может быть хорошо аппроксимирована формулой, в которой $P_0(Z) \sim Z^4$, а $P_0(Z) = \text{const}$ (Z). Однако в этом случае, как уже отмечалось выше, не удастся получить хорошего согласия с экспериментальными данными по ширинам уровней (табл. 1). Кривая 3 рис. 2 построена в предположении $P_0(Z) \sim Z^4$ и $P_0 = \text{const}$ (Z) таким образом, чтобы значение γ_K для $Z = 79$ совпадало с экспериментальным значением. В этом случае для легких элементов получается резкое расхождение кривой (1,7 eV) с экспериментальными данными (0,6 eV). Если же потребовать совпадения этой кривой с экспериментальными данными для легких элементов, то для $Z = 79$ γ должна равняться 40 eV по сравнению с экспериментальным значением 62 eV. В противоположность этому полученная в нашей работе кривая $\gamma(Z)$ консистентна с двумя рядами независимых экспериментальных данных — шириной уровней и выходом флуоресценции. Поэтому она лучше соответствует истинной зависимости $\gamma(Z)$.

Таблица 3

Значения ширины K -уровня

Элемент	γ , eV	Элемент	γ , eV	Элемент	γ , eV	Элемент	γ , eV
12 Mg	0,44	21 Sc	0,71	30 Zn	1,40	47 Ag	6,28
13 Al	0,48	22 Ti	0,74	31 Ga	1,53	50 Sn	7,98
14 Si	0,51	23 V	0,79	32 Ge	1,67	55 Cs	12,0
15 P	0,54	24 Cr	0,84	34 Se	1,98	60 Nd	17,7
16 S	0,57	25 Mn	0,92	36 Kr	2,37	65 Tb	26
17 Cl	0,60	26 Fe	1,00	38 Sr	2,82	70 Yb	36
18 Ar	0,63	27 Co	1,09	40 Zr	3,55	75 Re	48
19 K	0,65	28 Ni	1,19	42 Mo	4,10	79 Au	61
20 Ca	0,68	29 Cu	1,30	45 Rh	5,38		

По ширинам $K_{\alpha_{1,2}}$ -линий при известной ширине K -уровней можно вычислить ширину L_{II} - и L_{III} -уровней. Однако данные по ширинам $K_{\alpha_{1,2}}$ -линий [33—38] различаются способом введения поправки на искажение двукристалльного спектрометра. Для получения единообразных данных мы приняли вслед за [39], что для наиболее совершенных кристаллов следует вводить поправку на искажения кристаллов по линейному закону, и в соответствии с этим пересчитали данные [33—38]. Полученные значения ширин $K_{\alpha_{1,2}}$ -линий приведены в табл. 4. По этим значениям были вычислены ширины L_{II} - и L_{III} -уровней (табл. 5).

Таблица 4

Значения ширин K_{α_1} - и K_{α_2} -линий

Элемент	$\gamma_{K_{\alpha_1}}, \text{eV}$	$\gamma_{K_{\alpha_2}}, \text{eV}$	Элемент	$\gamma_{K_{\alpha_1}}, \text{eV}$	$\gamma_{K_{\alpha_2}}, \text{eV}$
22 Ti	1,38	1,90	32 Ge	2,73	2,94
23 V	1,58	2,21	38 Sr	4,5	4,6
24 Cr	1,96	2,43	40 Zr	5,2	5,4
25 Mn	2,46	2,96	41 Nb	5,8	5,4
26 Fe	2,65	3,00	42 Mo	5,86	6,18
27 Co	2,45	3,12	44 Ru	6,8	6,7
28 Ni	2,26	3,03	45 Rh	7,3	7,2
29 Cu	2,31	3,21	46 Pd	7,8	7,9
30 Zn	2,44	2,90	47 Ag	8,6	8,7
31 Ga	2,40	2,55			

Таблица 5

Значения ширин L_{II} - и L_{III} -уровней

Элемент	$\gamma_{L_{III}}, \text{eV}$	$\gamma_{L_{II}}, \text{eV}$	Элемент	$\gamma_{L_{III}}, \text{eV}$	$\gamma_{L_{II}}, \text{eV}$
22 Ti	0,64	1,16	32 Ge	1,06	1,27
23 V	0,79	1,42	38 Sr	1,68	1,78
24 Cr	1,12	1,59	40 Zr	1,85	2,05
25 Mn	1,54	2,04	41 Nb	2,09	1,69
26 Fe	1,65	2,00	42 Mo	1,76	2,08
27 Co	1,36	2,03	44 Ru	1,94	1,84
28 Ni	1,07	1,84	45 Rh	1,92	1,82
29 Cu	1,01	1,91	46 Pd	1,99	1,89
30 Zn	1,04	1,50	47 Ag	2,32	2,42
31 Ga	0,87	1,02			

Поскольку $K_{\alpha_{1,2}}$ -линии для элементов переходной группы железа асимметричны, введение линейной поправки на искажение кристаллами для этих линий не оправдано. Кроме того, в этом случае ширины L_{II} - и L_{III} -уровней нельзя находить как разность ширин $K_{\alpha_{1,2}}$ -линий и K -уровня. Поэтому данные по ширинам L -уровней этих элементов (табл. 5) являются лишь первым приближением.

Используя найденные значения ширин K -уровня, K -спектры переходных элементов Cu, Ni, Co и Fe, полученные двукристалльным спектрометром и приведенные в работе [12], были исправлены на искажения, вносимые конечной шириной K -уровня (рис. 3). Исправление сказалось в увеличении наклонов кривых, особенно коротковолновой стороны K_{β} и начальной части K -края поглощения. Более отчетливо выявился перегиб после этой области, особенно для Cu. Интерпретация полученных кри-

вых еще не может быть дана однозначно. Начальный участок K -края поглощения у Cu и Ni вряд ли можно интерпретировать как переходы в $3d$ -полосу [40, 41].

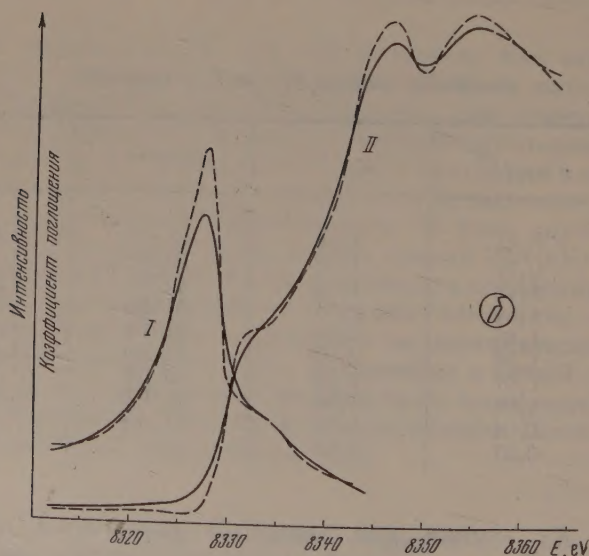
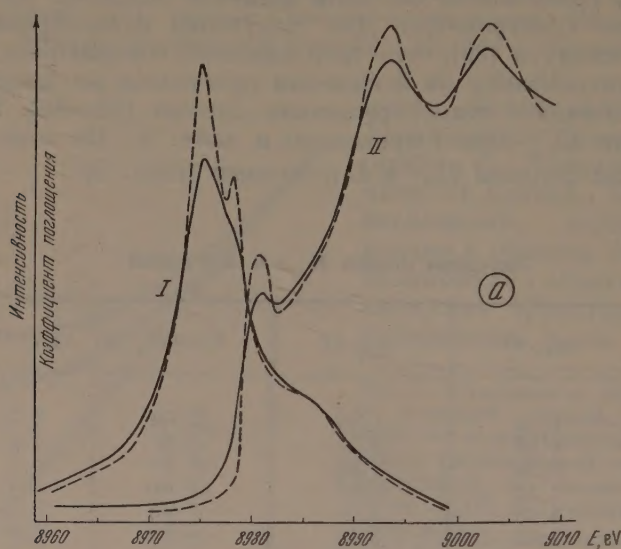


Рис. 3. Результаты обработки K -спектров: I — испускания и II — поглощения. Сплошные кривые — экспериментальные [12], пунктир — исправленные: a — Cu , $б$ — Ni

Наиболее приемлемой является интерпретация Бимана и Фридмана [12], которые исходят не из тех или иных представлений об отдельных s -, p - и t . п. полосах, соответствующих уровням свободного атома, а из действительной кривой для плотности состояний [42] (рис. 4). Длинноволновый участок K -края поглощения Cu интерпретируется как переходы электронов в незаполненную часть $4s$ -полосы, в средней части которой

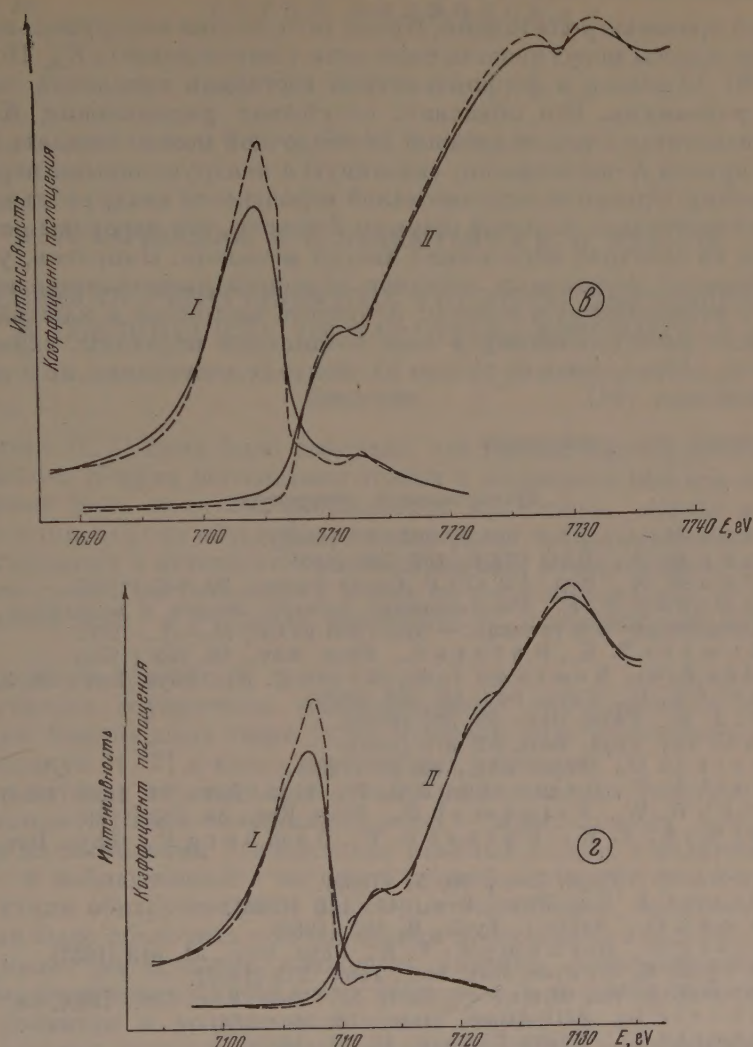


Рис. 3. Результаты обработки K -спектров: I — испускания и II — поглощения. Сплошные кривые — экспериментальные [12], пунктир — исправленные: a — Co, z — Fe

имеется значительная примесь p -состояний. Поскольку в точке M (конец $4s$ -полосы) как плотность состояний, так и примесь p -функции падают, на спектре поглощения получается перегиб. С уменьшением атомного номера перекрытие $4s$ - и $4p$ -полос увеличивается, что приводит к размытию перегиба (рис. 3, б). Из рис. 3, а видно, что линия $Su K_{\beta}$ имеет два максимума.

По Биману и Фридману, левый максимум соответствует переходам с левого максимума кривой плотности состояний (рис. 4), в котором имеется некоторая примесь p -состояний. Коротковолновый максимум K_{β} интерпретируется как переходы с заполненной части $4s$ -полосы со зна-

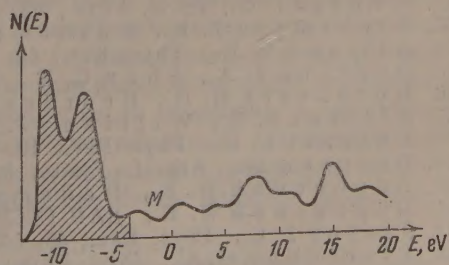


Рис. 4. Распределение плотности электронных состояний по энергиям для меди [42]

чительной примесью p -состояний. Кроме того, чистые квадрупольные переходы с $3d$ -полосы могут вносить свою долю в интенсивность K_β . По данным [43], у Ni $3d$ -полоса в ферромагнитном состоянии заполнена только до второго максимума. Это объясняет отсутствие расщепления K_β -линии у Ni. У элементов с незаполненной $3d$ -оболочкой можно ожидать флюктуацию на кривой K -поглощения, связанную с квадрупольными переходами в $3d$ -оболочку. Однако вследствие малой вероятности квадрупольных переходов и относительно большой ширины d -полосы, эти переходы не обнаруживаются на спектрах поглощения чистых металлов. Напротив, у некоторых соединений переходных металлов $3d$ -полоса расщепляется на заполненную и незаполненную полосы; плотность состояний в каждой из них значительно растет. Поэтому у этих соединений переходы, связанные с $3d$ -полосой, наблюдаются не только на спектрах испускания, но и на спектрах поглощения [44].

Ростовский гос. университет

Цитированная литература

1. Блохин М. А., ДАН СССР, 107, 33 (1956).
2. Блохин М. А., ДАН СССР, 107, 229 (1956).
3. Блохин М. А., Изв. АН СССР, Серия физич., 20, 142 (1956).
4. Вайнштейн Э. Е. Рентгеновские спектры атомов в молекулах химических соединений и в сплавах. — Изд. АН СССР, М.—Л., 1950.
5. Richtmyer F. K., Barnes S., Phys. Rev., 46, 352 (1934).
6. Munier J. H., Bearden J. A., Shaw C. H., Phys. Rev., 58, 357 (1940).
7. Parratt L. G., Phys. Rev. 56, 295 (1939).
8. Platt J. B., Phys. Rev., 69, 337 (1946).
9. Shaw C. H., Phys. Rev., 57, 876 (1940).
10. Parratt L. G., Phys. Rev., 54, 99 (1938).
11. Parratt L. G., Hempstead C. F., Phys. Rev., 94, 1593 (1954).
12. Beeman W. W., Friedman H., Phys. Rev., 56, 392 (1939).
13. Richtmyer F. K., Barnes S. W., Ramberg E., Phys. Rev., 46, 843 (1934).
14. Slater J. C., Phys. Rev., 36, 57 (1930).
15. Williams J. H., Phys. Rev., 44, 146 (1933).
16. Beckman O., Arkiv f. Fysik, 9, 495 (1955).
17. Ramberg E., Richtmyer F. K., Phys. Rev., 51, 913 (1937).
18. Burhop E. H. S., Proc. Roy. Soc., 148A, 272 (1935).
19. Massey H. S. W., Burhop E. H. S., Proc. Roy. Soc., 153A, 661 (1936).
20. Pincherle L., Atti Accad. Lincei, 20, 29 (1934).
21. Pincherle L., Nuovo Cimento, 12, 81 (1935).
22. Pincherle L., Nuovo Cimento, 12, 162 (1935).
23. Pincherle L., Physica, 2, 596 (1935).
24. Zinn W. H., Phys. Rev., 46, 659 (1934).
25. Parratt L. G., Jossem E. L., Phys. Rev., 97, 916 (1955).
26. Broyles C. D., Thomas D. A., Haynes S. K., Phys. Rev., 89, 715 (1953).
27. Gray P. R., Phys. Rev., 101, 1306 (1956).
28. Harrison G. R., Crawford R. C., Hopkins J. I., Phys. Rev., 100, 841 (1955).
29. Heintze J., ZS. f. Phys., 143, 153 (1955).
30. Roos C. E., Phys. Rev., 93, 401 (1954).
31. Roos C. E., Phys. Rev., 100, 1267 (1955).
32. Wentzel G., ZS. f. Phys., 43, 524 (1927).
33. Richtmyer F. K., Barnes S. W., Phys. Rev., 46, 352 (1934).
34. Allison S. K., Phys. Rev., 44, 63 (1933).
35. Bearden J. A., Shaw C. H., Phys. Rev., 48, 18 (1935).
36. Roseberry H. H., Bearden J. A., Phys. Rev., 50, 204 (1936).
37. Allison S. K., Williams J. H., Phys. Rev., 35, 1476 (1930).
38. Parratt L. G., Phys. Rev., 46, 749 (1934).
39. Brogren G., Ark. f. Fysik., 8, 391 (1954).
40. Боровский И. Б., Вайнштейн Э. Е., ДАН СССР, 34, 144 (1942).
41. Боровский И. Б., ДАН СССР, 26, 772 (1940).
42. Slater J. C., Phys. Rev., 49, 537 (1936).
43. Fletcher G. C., Proc. Phys. Soc., 65A, 387, 192 (1952).
44. Hanson H. P., Knight J. R., Phys. Rev., 102, 632 (1956).

Р. Л. БАРИНСКИЙ, Э. Е. ВАЙНШТЕЙН и К. И. НАРБУТТ

ЗАВИСИМОСТЬ РЕНТГЕНОВСКИХ СПЕКТРОВ ПОГЛОЩЕНИЯ АТОМОВ В СОЕДИНЕНИЯХ ОТ ХАРАКТЕРА ХИМИЧЕСКОЙ СВЯЗИ

Введение

В работах [1, 2] нами было показано, что тонкая структура основного рентгеновского K -края поглощения атомов в молекулах или ионов в растворах может быть понята и приближенно рассчитана, исходя из представления о том, что она обусловлена наложением нескольких селективных линий поглощения и истинного края поглощения, возникающих при переходе K -электронов поглощающего атома на последовательные n -уровни молекулы или иона* и в область непрерывного изменения энергий молекул.

При помощи развитого нами метода расчета и соответствующих формул удалось осуществить количественную интерпретацию K -краев поглощения благородных газов [1, 3], атомов в ряде простейших газообразных молекул [1, 2] и ионов в некоторых растворах [1, 4].

Однако по мере перехода к изучению рентгеновских спектров поглощения атомов в более сложных объектах — многоатомных молекулах, состоящих из нескольких относительно тяжелых атомов, и полярных кристаллах — в наблюдающейся на опыте тонкой структуре рентгеновских спектров стали обнаруживаться некоторые усложнения, появление которых нельзя было объяснить с точки зрения простейшего варианта теории. Это указывало на большую сложность явлений, сопровождающих K -поглощение рентгеновых лучей в этих веществах, и на необходимость дальнейшего развития и усовершенствования теории.

Для развития наших теоретических представлений о механизме поглощения рентгеновых лучей атомами химических соединений и о природе тонкой структуры возникающих при этом рентгеновских спектров, а также для постановки серии специальных экспериментальных исследований, выполненных в течение последних нескольких лет, очень важную роль сыграли результаты работы [5], посвященной исследованию спектров поглощения калия и хлора в кристалле KCl . В упомянутой работе было впервые показано, что сложная структура основного K -края поглощения каждого из компонентов соединения может быть хорошо описана, если представить ее в виде суперпозиции двух сходящихся к границе непрерывного поглощения серии линий. Интенсивность и энергетическая протяженность этих серий вычисляется по одним и тем же (применявшимся нами ранее) формулам, содержащим, однако, различные для каждой из серий величины параметра n^* . Обе серии линий поглощения были выявлены в спектрах обоих компонентов, в которых они обладают обратным соотношением интенсивностей. Совершенно такие же закономерности в структуре спектров поглощения обоих компонентов соединения были позднее констати-

* Имеются в виду элементы с нормальным строением электронных оболочек. В структуре краев поглощения атомов с дефектами в nd - или nf -оболочках должны возникать и фактически наблюдаются дополнительные длинноволновые максимумы поглощения.

рованы в спектрах поглощения цинка, германия и брома в молекулах ZnBr_2 и GeBr_4 [6, 7].

Это указывало на достаточно большую область применимости вытекавшего из [5] эмпирического обобщения и делало целесообразным и желательным систематическое изучение этого явления с целью выяснения основных закономерностей, которым подчиняются параметры, определяющие относительную интенсивность, энергетическую протяженность и взаимное положение обеих серий в рентгеновских спектрах поглощения элементов в соединениях, а также зависимость этих величин от свойств взаимодействующих атомов и характера химической связи между ними. Обобщение этих данных должно было бы, по-видимому, способствовать выяснению условий и причин, в силу которых возможно представление рентгеновских спектров поглощения атомов в многоатомных молекулах в виде наложения двух водородоподобных серий линий поглощения, выяснению границ области применимости этих представлений и, в конечном счете, позволило бы более глубоко проникнуть в суть явлений, сопровождающих процесс поглощения рентгеновых лучей атомами, входящими в состав многоатомных молекул и твердых тел.

Для исследования были выбраны K -спектры поглощения Zn в молекулах ZnCl_2 , ZnBr_2 и ZnS [8], K -спектры хлора в хлоридах щелочных металлов Li , Na , K , Rb и Cs [9] и K -спектры поглощения калия в соединениях KF , KCl , KBr и KJ [10], изученные также в работе [11]. Все эти кристаллы образуют простейшую решетку* и включают, помимо постоянного для каждой группы соединений катиона или аниона, также атомы с изменяющимся в широких пределах зарядом ядра, ионным радиусом и поляризуемостью. В соответствии с этим в ряду этих соединений закономерно меняется также и степень ионности связи атомов в кристаллах.

1. Зависимость тонкой структуры K -краев поглощения цинка, калия и хлора в молекулах и щелочно-галогидных кристаллах от характера химической связи в соединении

Рентгеновские K -спектры поглощения цинка в молекулах ZnCl_2 , ZnBr_2 и ZnS и результаты их анализа при помощи одного из предложенных нами методов [2] представлены на рис. 1.

Спектры поглощения калия в кристаллах KF , KCl , KBr и KJ и хлора в кристаллах LiCl , NaCl , KCl , RbCl , и CsCl , а также результаты их разложения по методу [1] уже приводились в работах [9, 10]. Некоторые из них, относящиеся к калию в кристаллах KF , KCl , KBr и KJ , а также натрию и хлору в кристалле NaCl , для примера приведены на рис. 2—7.

Рассмотрение перечисленного выше экспериментального материала по рентгеновским спектрам поглощения обоих компонентов простейших полярных кристаллов не только полностью подтверждает сделанное ранее [5, 12] заключение о возможности представления тонкой структуры рентгеновских спектров этих атомов в виде суперпозиции двух серий линий поглощения, но и позволяет также подметить некоторые общие закономерности, которые облегчают понимание самой физической картины, лежащей в основе такой интерпретации структуры спектров.

Для теоретического синтеза тонкой структуры края поглощения атома в молекуле в общем случае следовало бы знать четыре независимых параметра:

1) ширину линий поглощения и истинного края каждой из двух серий линий;

2) величины n_1^* и n_2^* , при помощи которых можно вычислить относительную интенсивность и местоположение селективных линий поглощения в пределах каждой из двух серий;

* Исключение составляет лишь CsCl .

- 3) относительную интенсивность первых линий поглощения основной и побочной серии — I_1/I_2 ;
 4) энергетическое расстояние между первыми линиями поглощения основной и побочной серий — δ .

В настоящее время нет возможности строго и независимо от эксперимента вычислить все эти величины. Поэтому при интерпретации структуры K -края поглощения атомов в соединениях приходится идти полуэмпирическим путем и заимствовать некоторые величины из эксперимента. Од-

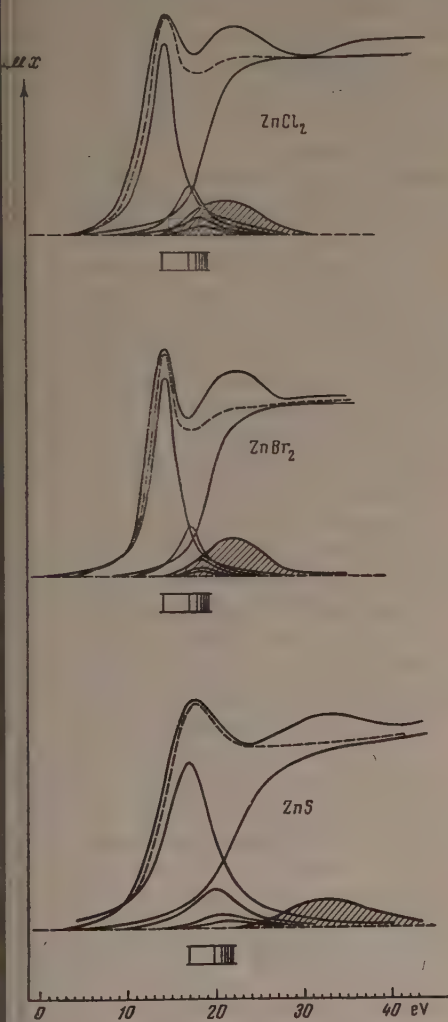


Рис. 1

рис. 1. Рентгеновские K -спектры поглощения цинка в трех молекулах газов и результаты их анализа. Пунктир — суммарная теоретическая кривая поглощения, обязанная присутствию селективных линий основной серии. Заштрихована доля поглощения, связанная с присутствием побочной серии линий поглощения

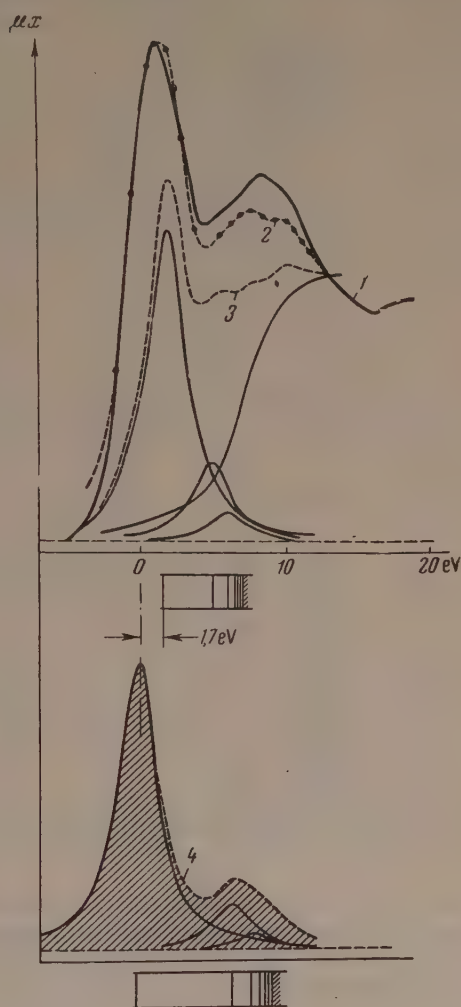


Рис. 2

рис. 2. K -край поглощения калия в кристалле KBr : 1 — экспериментальная кривая; 2 — суммарная теоретическая кривая; 3 — суммарная теоретическая кривая для основной серии линий и истинного края, 4 — суммарная теоретическая кривая для побочной серии линий

нако, как это следует из анализа полученных в [9, 10] результатов, основные параметры, определяющие структуру сложного края поглощения аниона или катиона в различных соединениях, — величина эффективного

главного квантового числа (n^*) и относительная интенсивность основной и побочной серий (I_1/I_2) — закономерно связаны с поляризуемостью и, соответственно, энергией электронного сродства E или ионизационным потенциалом J партнера по соединению. В этом можно убедиться из рассмотрения рис 8, 9* и 10.

На первом из них представлена зависимость величины n_2^* для побочной серии линий в спектрах поглощения калия в кристаллах KJ, KBr и KCl

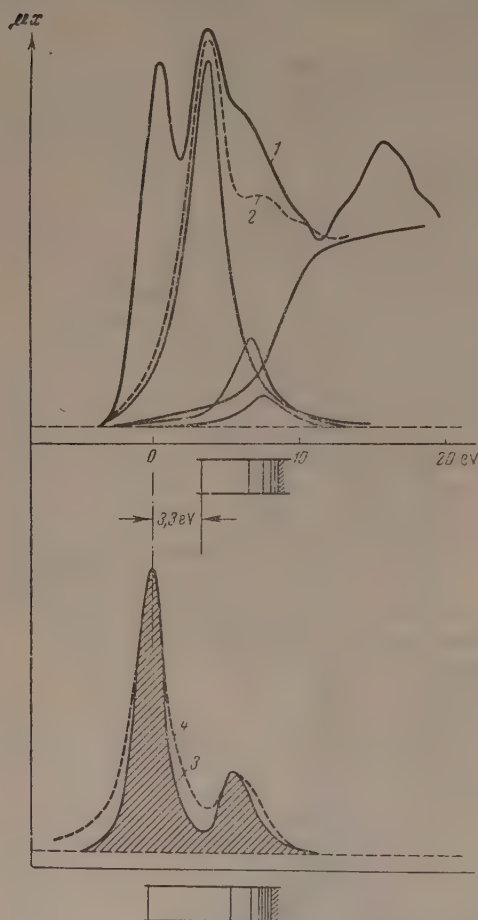


Рис. 3. К-край поглощения калия в кристалле KCl: 1 — экспериментальная кривая, 2 — суммарная теоретическая кривая для основной серии линий и истинного края, 3 — разность между кривыми 1 и 2, 4 — суммарная теоретическая кривая для побочной серии линий

тонкой структуры рентгеновских спектров поглощения атомов с характером сил межатомного взаимодействия в соединениях приводит также и анализ данных, относящихся к молекулам газов (см., например, рис. 1), в которых также наблюдается уменьшение относительной интенсивности той доли поглощения, которая может быть связана с

от поляризуемости аниона. Она получена при анализе этих спектров в предположении, что величина параметра n_1^* , характеризующего энергетическую протяженность и относительную интенсивность линий основной серии в спектре поглощения катиона, в первом приближении остается неизменной во всех соединениях.

На рис. 9 и 10 показана зависимость относительной интенсивности основной и побочной серий линий в спектрах поглощения калия и хлора в щелочно-галогенидных кристаллах в зависимости от энергии электронного сродства анионов (рис. 9) и потенциала ионизации катионов (рис. 10).

Рассмотрение этих кривых показывает, что относительная интенсивность побочной серии линий в спектрах поглощения любого из компонентов полярных кристаллов тем больше, чем меньше потенциал ионизации катиона и чем больше энергия электронного сродства аниона. Иными словами это означает, что относительная интенсивность побочной серии линий поглощения в спектрах каждого из компонентов полярного кристалла сильно зависит от степени ионности связи между атомами в соединениях, и тем больше, чем большую склонность к образованию этого типа связи проявляет каждый из компонентов соединения. К аналогичным выводам в отношении связи

* Прямая, изображенная на этом рисунке (в координатах I_1/I_2 и E), эквивалентна той, которая представлена на рис. 3 в работе [10] (в координатах $\lg I_1/I_2$ и $\lg Z$). Однако в дальнейший текст статьи [10] вкралась опечатка, в результате чего ошибочно указано, что $I_1/I_2 \approx Z^2$, вместо $Z^{0,2}$.

присутствием побочной серии линий, по мере ослабления ионного характера связи между атомами и приближения ее к ковалентной.

Кажется весьма вероятным, что в многоатомных молекулах с ярко выраженным ковалентным характером взаимодействия атомов друг с другом можно ожидать радикального изменения структуры рентгеновских спектров поглощения по сравнению с таковой в полярных соединениях. При этом выделение из экспериментальной кривой поглощения двух водородоподобных серий линий поглощения и их анализ могут оказаться невозможными. В этом смысле можно было бы говорить о полном исчезновении второй, побочной серии линий поглощения в рентгеновских спектрах атомов, входящих в состав соединений с ковалентными связями, и, напротив, рассматривать возможность выделения такой серии в соединениях с промежуточным характером сил связи как указание на неравномерное распределение зарядов в пределах молекулы соединения и наличие внеионов атомов или группы атомов с противоположными зарядами. Возможно, что в дальнейшем, при более тщательном и всестороннем изучении имеющих здесь место закономерностей, это явление можно будет использовать и для соответствующих количественных оценок.

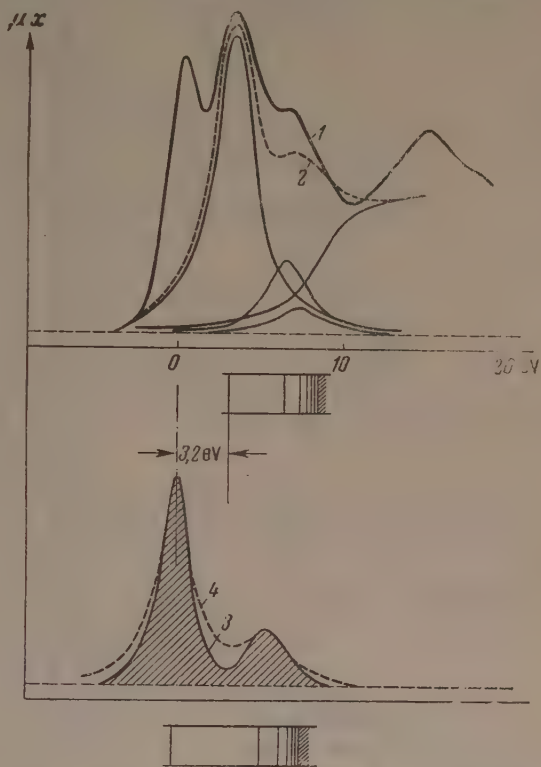


Рис. 4. К-край поглощения калия в кристалле КВг. Обозначения те же, что на рис. 3

2. Об учете роли перекрестных переходов в теории основного К-края поглощения атомов в многоатомных молекулах и твердых телах

В предыдущем параграфе было показано, что относительная интенсивность побочной серии линий в спектрах поглощения атомов в многоатомных молекулах и полярных кристаллах и, по-видимому, сама возможность представления тонкой структуры К-края поглощения в виде суперпозиции двух водородоподобных серий линий поглощения тесно связаны с ионным характером сил связи в этих соединениях, т. е. с наличием в них ионов различного знака. Между тем, этот факт никак не учитывается в развитом нами простейшем варианте теории основного К-края поглощения атомов, в основе которой лежит представление о сферической симметрии поля молекулярного остатка после его К-ионизации и связанное с этим предположение о полной изотропии поляризуемости этого остатка под влиянием вырванного на периферию молекулы К-электрона.

Если в процессе К-ионизации атома, входящего в состав молекулы с ковалентными связями, и переведении электрона на один из высших возбужденных энергетических уровней молекулы поляризующее действие

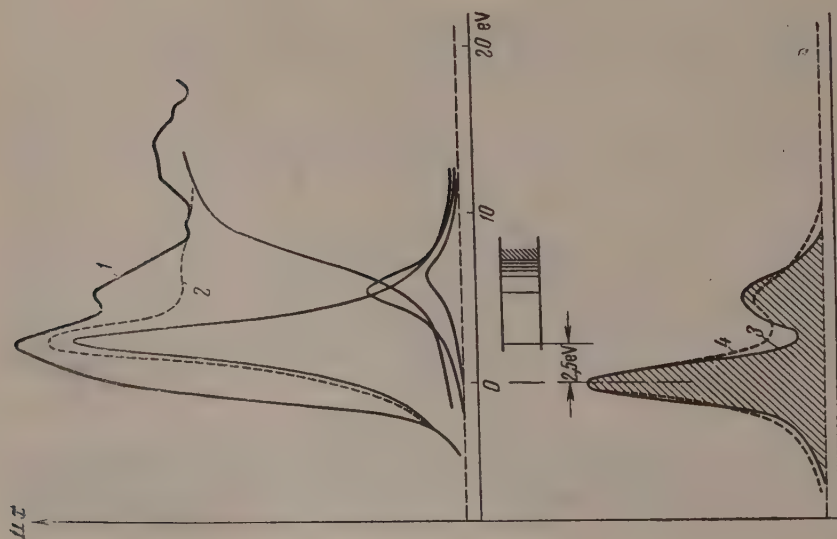


Рис. 5. К-край поглощения калия в кристалле КJ. Обозначения те же, что на рис. 3

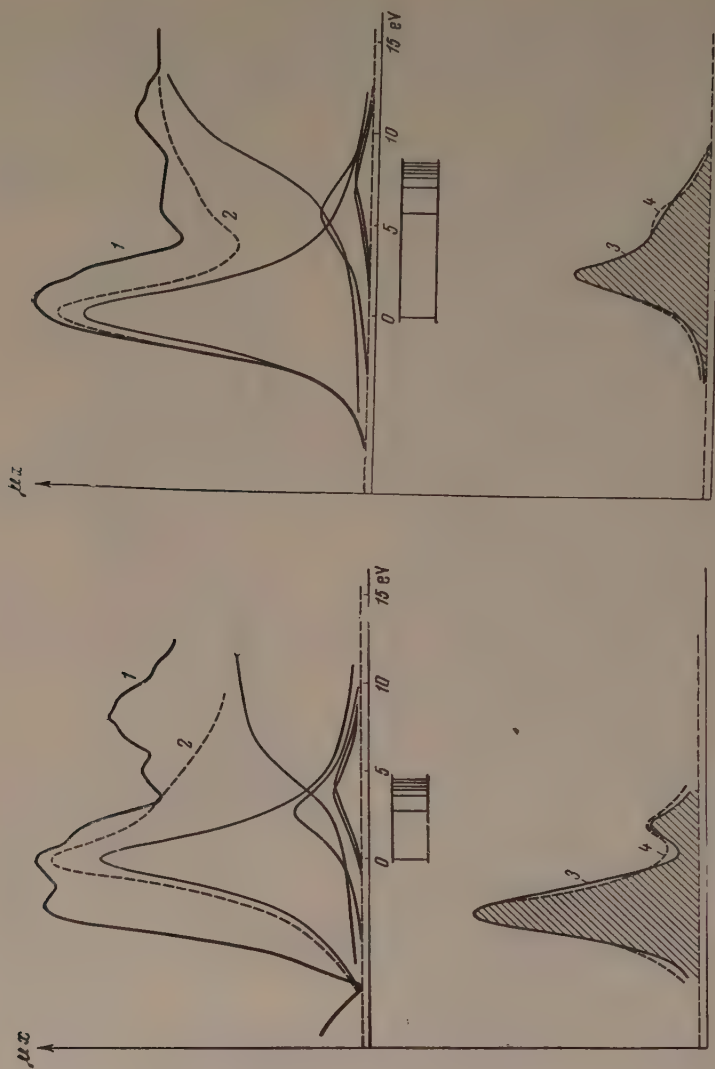


Рис. 6. К-край поглощения натрия в кристалле NaCl. Обозначения те же, что на рис. 3

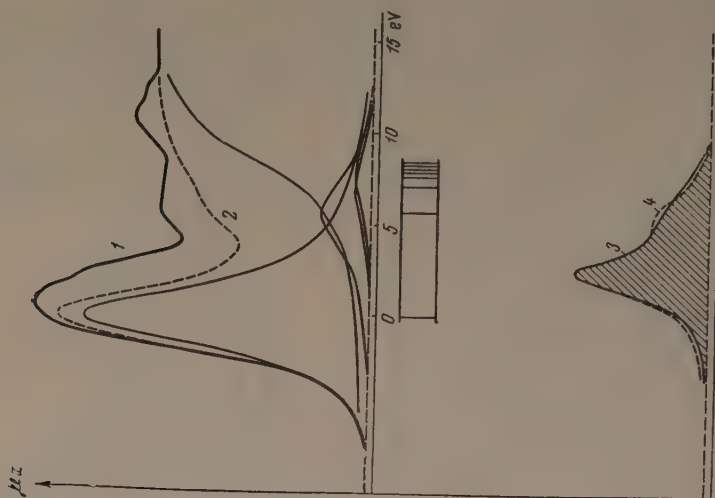


Рис. 7. К-край поглощения хлора в кристалле NaCl. Обозначения те же, что на рис. 3

электрона на молекулярный остаток в первом приближении может считаться не зависящим от угловых координат, а сам молекулярный остаток можно характеризовать одним средним значением поляризуемости, то в соединениях с резко выраженной полярностью сил связи это, очевидно, не должно иметь места. Обратное поляризующее действие на молекуляр-

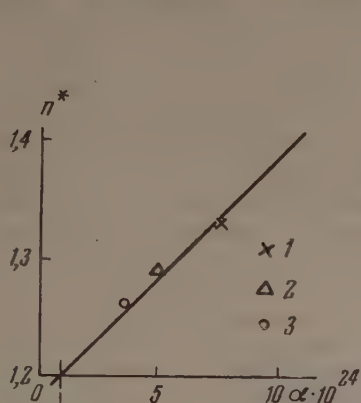


Рис. 8

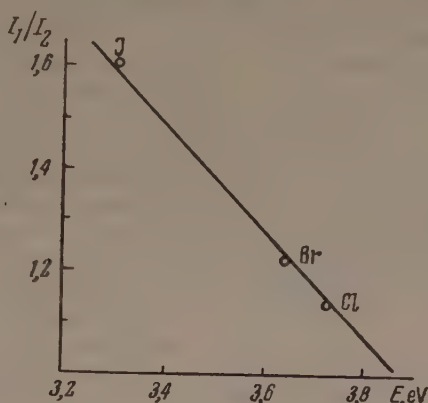


Рис. 9

Рис. 8. Зависимость n^* для побочной серии линий в спектре поглощения калия в соединениях от поляризуемости аниона; 1 — для йода, 2 — для брома, 3 — для хлора, пунктиром — для фтора

Рис. 9. Зависимость относительной интенсивности основной и побочной серии линий поглощения в спектрах калия в кристаллах KJ, KBr и KCl от энергии электронного средства аниона

ный остаток вырванного из K -оболочки электрона должно существенно зависеть от того, в какой области полярной молекулы (в поле катиона или аниона) окажется этот электрон. Например, в случае простейшей двухатомной полярной молекулы совершенно очевидно, что поляризующее действие на молекулярный остаток со стороны электрона, который после K -ионизации любого из атомов соединения окажется вырванным в область молекулы, примыкающей к аниону, должно быть большим, чем при движении этого же электрона в поле катиона.

В многоатомных молекулах этого типа анизотропия их поляризуемости будет проявляться более сложным образом и в общем случае будет зависеть от их структуры. Однако во всех этих случаях полярность связи атомов в молекуле должна иметь своим неизбежным следствием анизотропию ее поляризуемости, величина которой должна изменяться в некоторых пределах в зависимости от направления, в котором электрон вырывается из K -оболочки поглощающего атома.

В силу известной [1] связи поляризуемости с параметром n^* , входящим в основные расчетные формулы теории, это, в свою очередь, должно приводить к усложнению структуры рентгеновских K -краев поглощения атомов в этих соединениях по сравнению с той, которая наблюдается при отсутствии этих явлений (в простейших молекулах или молекулах с пре-

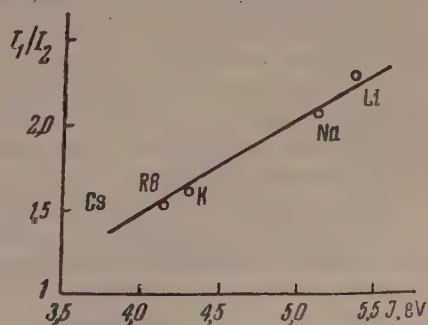


Рис. 10. Зависимость относительной интенсивности линий основной и побочной серий в спектрах поглощения хлора в кристаллах LiCl, NaCl, KCl, RbCl и CsCl от величины потенциала ионизации катиона

имущественно ковалентными связями). Точная зависимость поляризуемости молекулярного остатка α и связанной с ней величины n^* от направления вылета K -электрона в процессе поглощения рентгеновых лучей не известна. Более того, можно думать, что вид этой функции будет претерпевать более или менее значительные изменения при переходе от одного соединения к другому. Тем не менее, опираясь на имеющийся у нас опыт полуэмпирической интерпретации тонкой структуры рентгеновских K -краев поглощения атомов в большом числе многоатомных молекул и полярных кристаллов, можно предполагать, что в соединениях с резко выраженным ионным характером связи интересующая нас зависимость $n^* = n^*(\vartheta, \varphi)$ имеет вид кривой с двумя более или менее резко выраженными экстремумами, соответствующими пребыванию вырванного из K -уровня электрона поглощающего атома в положениях, отвечающих двум резко отличным друг от друга состояниям поляризации молекулярного остатка. В случае двухатомной полярной молекулы каждая из упомянутых двух групп значений n^* отвечает, очевидно, пребыванию электрона, вырванного из K -уровня поглощающего атома, вблизи одного из ионов молекулы.

Чем более четко выражен ионный характер сил связи атомов в соединениях, тем больше должно быть расстояние между центрами тяжести двух групп величин n^* и тем уже становится область их изменения в пределах каждой из этих групп. В этих условиях две группы различных состояний поляризации молекулы (как это вытекает из анализа данных опыта) можно охарактеризовать двумя средними значениями поляризуемости и соответствующими им величинами n_1^* и n_2^* , а тонкую структуру рентгеновских спектров поглощения атомов в соединении представить в виде суперпозиции лишь двух серий линий поглощения, каждая из которых отвечает одному из упомянутых значений n^* . По мере уменьшения степени полярности связи и увеличения ковалентной ее составляющей выделение двух серий линий поглощения, аддитивно составляющих экспериментально наблюдающийся край, будет становиться теоретически все менее законным, а практически все более затруднительным. Это должно найти свое выражение также в расширении соответствующих линий поглощения в пределах каждой из двух серий, из которых можно приближенно синтезировать экспериментальный край поглощения, и во все большем отклонении их формы от теоретической (дисперсионной). В молекулах с чисто ковалентными связями должна, по-видимому, наблюдаться лишь одна серия линий поглощения.

Таким образом, мы видим, что учет анизотропии поляризуемости молекулы под влиянием электрона, вырванного из K -уровня атома на ее периферию, позволяет качественно понять причину появления в спектрах поглощения атомов в многоатомных полярных молекулах и полярных кристаллах двух серий линий поглощения, связать это явление с характером сил связи атомов в соединении и, имея в виду приближенный характер такого метода интерпретации экспериментального материала, указать теоретические границы применимости метода.

С точки зрения модельных представлений о поглощении рентгеновых лучей каждым из ионов полярной молекулы или кристалла вывод о том, что тонкая структура рентгеновского K -края поглощения может быть представлена в виде наложения двух серий линий поглощения, отвечающих в первом приближении двум группам различных состояний поляризации системы после K -ионизации ее атомов, означает признание того факта, что при рассмотрении процесса рентгеновского поглощения атомами этих веществ следует учитывать не только энергетические переходы K -электронов на молекулярные уровни в пределах поглощающего иона, но и так называемые «перекрестные» переходы на те молекулярные уровни энергии, которые генетически больше связаны с ионом противоположного знака.

Для оценки величины отношения вероятностей «прямого» и «перекрестного» переходов в соединениях с полярными связями рассмотрим простейший случай двухатомной ионной молекулы. Направим ось Z прямоугольной системы координат (рис. 11) вдоль оси молекулы AB , а атом A расположим в начале координат. Обозначим через R межуатомное расстояние в молекуле, через r_a и r_b — расстояния от A и B до произвольной точки M , а через ϑ и φ — соответствующие угловые координаты точки M . При подсчете матричного элемента для «перекрестного» перехода $1s$ -электрона поглощающего атома на молекулярные уровни np -симметрии, в силу симметрии задачи, дело сводится к вычислению лишь интеграла:

$$\int_V \psi_a z \psi_b d\tau,$$

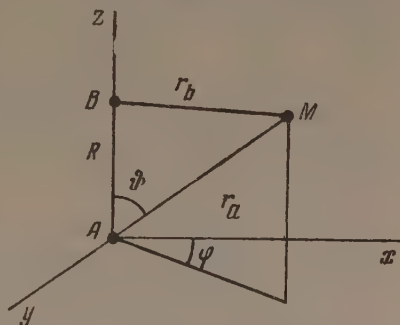


Рис. 11. К выводу соотношения (1)

так как матричные элементы координат x и y тождественно равны нулю. Так как $R/r < 1$, то соответствующие волновые функции начального и конечного уровней перехода электрона в молекуле можно в первом приближении аппроксимировать водородоподобными функциями вида (в атомных единицах):

$$\psi_{1s}^{(a)} = \frac{1}{\sqrt{\pi}} Z^{3/2} e^{-Zr},$$

$$\psi_{np}^{(b)} = \frac{1}{\sqrt{3\pi}} \sqrt{\frac{n^{*2}-1}{n^{*2}}} r e^{\frac{\eta}{n^{*2}}(r-R\cos\theta)} \cdot \eta^{1/2} \cos\theta,$$

где η — заряд молекулярного остатка после K -ионизации одного из атомов, а n^* — эффективное главное квантовое число конечного уровня перехода. При этих предположениях искомая интенсивность «перекрестного» перехода электрона, пропорциональная квадрату величины матричного элемента, оказывается равной

$$I_{1s,np}^z = C \frac{\eta^5 (n^{*2}-1)}{Z^7 n^{*2}} \Phi\left(R, \frac{\eta}{n^*}\right), \quad (1)$$

где функция Φ приближенно равна

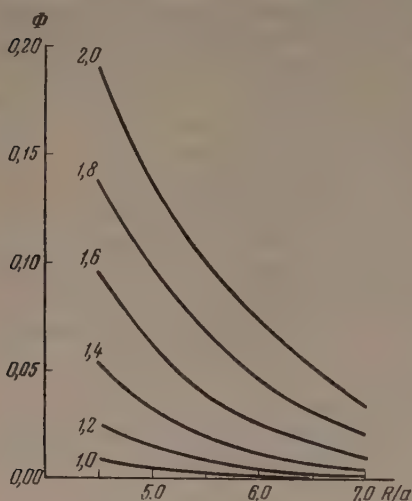
$$\Phi\left(R, \frac{\eta}{n^*}\right) = \left[1 + 2R\eta/n^* + 2,3R^2\left(\frac{\eta}{n^*}\right)^2\right] e^{-2R\frac{\eta}{n^*}}.$$

Как и следовало ожидать, соотношение (1) при $R \rightarrow 0$ стремится к выражению, которое характеризует вероятность «прямого» перехода электрона в молекуле. Это выражение, как известно, хорошо подтвердилось при анализе структуры рентгеновских спектров поглощения атомов благородных газов и простейших молекул [4].

Зависимость функции Φ от межуатомного расстояния в молекуле (точнее от отношения R/a , где a — боровский радиус) при различных значениях отношения $\frac{n^*}{\eta}$ представлена графически на рис. 12.

Таким образом, в указанных выше приближениях интересующая нас величина отношения интенсивностей линий поглощения, связанных с

прямым и перекрестным переходами электрона, вырванного при K -поглощении рентгеновых лучей из одного из атомов молекулы, может быть оценена по нижеследующей формуле:



$$\frac{I_2}{I_1} = \frac{C_1 \eta_2^5 n_1^{*5} (n_2^{*2} - 1)}{\eta_1^5 n_2^{*5} (n_1^{*2} - 1)} \Phi \left(R, \frac{\eta_2}{n_2^*} \right) \quad (2)$$

или приближенно

$$\frac{I_2}{I_1} = C_1 \left(\frac{\eta_2}{\eta_1} \right)^5 \cdot \left(\frac{n_1^*}{n_2^*} \right)^3 \Phi \left(R, \frac{\eta_2}{n_2^*} \right). \quad (3)$$

Рис. 12. Зависимость функции Φ от величины межуатомного расстояния в полярной молекуле при различных отношениях $\frac{n^*}{\eta}$; цифры у кривых — значения $\frac{n^*}{\eta}$.

Ориентировочные подсчеты величины этого отношения, проведенные нами для целого ряда соединений, привели к цифрам, удовлетворительно согласующимся с экспериментальными величинами.

Заключение

Рассмотренные в настоящей работе теоретические представления позволяют объяснить и связать воедино обнаруженные нами ранее эмпирические закономерности в структуре рентгеновских краев поглощения атомов в многоатомных соединениях с преобладающей ролью полярной связи. Они позволяют также сделать некоторые количественные оценки, которые удовлетворительно согласуются с опытными данными. Так, в случае двухатомных соединений с полярной связью, исходя из анализа хорошо известных данных о поляризуемости различных анионов и катионов, можно на основании вышеизложенного утверждать следующее.

1. Протяженность основной серии линий поглощения в спектре катиона должна быть всегда меньше, чем протяженность побочной серии в том же спектре; у аниона — наоборот.

2. Относительная интенсивность побочной серии линий поглощения в спектре катиона должна быть всегда больше, чем соответствующая величина в спектре поглощения аниона в том же соединении.

3. Форма селективных линий поглощения в пределах каждой из серий в спектрах катиона и аниона в соединениях с сильно выраженным ионным характером связи должна быть близка к дисперсионной. По мере ослабления ионного характера сил связи в соединении форма линий должна все больше отклоняться от теоретической.

4. Взаимное положение основной и побочной серий линий поглощения, очевидно, определяется тем, какое из двух крайних состояний поляризации молекулы обладает минимальной энергией. Так как $E = -\frac{R}{n^{*2}}$ и поляризуемость катиона меньше, чем аниона, то наименьшей энергией должна обладать та серия линий поглощения двухатомной молекулы, которая соответствует пребыванию электрона, вырванного из K -оболочки поглощающего атома, в поле аниона.

5. Анизотропия поляризуемости многоатомных молекул, таких, на-

Пример, как молекулы галоидных солей некоторых металлов (Zn, Cd и др.), зависит от их структуры и поэтому (в отличие от двухатомных соединений) не связана прямо с поляризуемостью ионов, образующих соединение. Однако развитые в настоящей работе соображения позволяют и в том случае на основании сопоставления найденных из опыта величин n^* основной и побочной серий линий поглощения в спектре одного из компонентов молекулы заранее предвидеть (и проверить на опыте) относительную интенсивность и взаимное энергетическое положение линий этих серий в спектре другого компонента соединения.

Все перечисленные выше выводы теории качественно хорошо подтверждаются на опыте. Во всяком случае в настоящее время нам неизвестно ни одного рентгеновского спектра поглощения атомов в полярных молекулах и простейших полярных кристаллах, который являлся бы в этом отношении исключением.

В связи с этим приобретает особенно важное значение дальнейшая теоретическая разработка вопросов, рассматривавшихся в настоящей статье, систематическое накопление и осмысливание нового экспериментального материала. Это могло бы быть использовано для уточнения, углубления, быть может, и исправления тех представлений, которые, как мы это стремились показать, уже и сейчас позволяют разобраться во многих деталях явлений, наблюдающихся в рентгеновских спектрах поглощения атомов многоатомных молекулах и твердых телах. Совершенно необходимой является также разработка более совершенных математических методов решения задач, возникающих в области рентгеновской спектроскопии. Без этого дальнейший прогресс теории тонкой структуры рентгеновских спектров в сложных по строению и составу объектах кажется нам очень затруднительным.

ИМГРЭ, ГЕОХИ, ИГЕМ
Академии наук СССР

Цитированная литература

1. Вайнштейн Э. Е., Баринский Р. Л., Нарбутт К. И., ЖЭТФ, 23, 593 (1952).
2. Баринский Р. Л., Вайнштейн Э. Е., Нарбутт К. И., ДАН СССР, 82, 355 (1952).
3. Вацковский J. Ceskosl. časop. fys., 4, 118 (1954).
4. Вайнштейн Э. Е., ДАН СССР, 91, 1059 (1953).
5. Вайнштейн Э. Е., Нарбутт К. И., Баринский Р. Л., ДАН СССР, 82, 701 (1952).
6. Нарбутт К. И., ДАН СССР, 93, 21 (1953).
7. Нарбутт К. И., Изв. АН СССР, Серия физич., 20, 780 (1956).
8. Нарбутт К. И., ДАН СССР, 92, 273 (1953).
9. Баринский Р. Л., см. настоящий номер журнала стр. 1381.
10. Вайнштейн Э. Е., Баринский Р. Л. и Нарбутт К. И., ДАН СССР, 105, 1196 (1955).
11. Kiyono S., Sci. Rep. Tohoku Univ., Ser. I, 36, 1 (1952).
12. Нарбутт К. И., Вайнштейн Э. Е., Баринский Р. Л., ДАН СССР, 87, 381 (1952).

И. Я. НИКИФОРОВ

К ВОПРОСУ О НАХОЖДЕНИИ ПО РЕНТГЕНОВСКИМ СПЕКТРАМ РАСПРЕДЕЛЕНИЯ ПЛОТНОСТИ ЭЛЕКТРОННЫХ СОСТОЯНИЙ ПО ЭНЕРГИЯМ

Форма рентгеновского спектра характеризует распределение плотностей электронных состояний по энергиям (если пренебречь изменением вероятности перехода) с некоторым искажением, зависящим от ширины внутреннего уровня, а также от разрешающей силы аппаратуры. Так как внутренние уровни имеют дисперсионную форму, а форма искажения аппаратуры в ряде случаев может быть с достаточной точностью также принята дисперсионной [1], то задача определения плотности электронных состояний в случае эмиссионного спектра сводится к решению интегрального уравнения:

$$F(x) = \int_{-\infty}^{+\infty} f(t) D(t-x, \gamma) dt, \quad (1)$$

где $D(t-x, \gamma) = 1/\pi\gamma [1 + (t-x)^2/\gamma^2]^{-1}$, $f(x)$ — распределение плотности электронных состояний, $F(x)$ — форма экспериментально полученного спектра, γ — сумма полуширины внутреннего уровня и полуширины дисперсионной кривой искажения аппаратурой. В случае спектра поглощения уравнение (1) придется решать дважды: для кривой интенсивности (исправление искажения аппаратурой) и для кривой коэффициента поглощения (исправление на расширение за счет внутреннего уровня). Существующие методы решения уравнения (1) обладают большими недостатками. Метод последовательных приближений Ван-Ситтерта [2,3] требует утомительного графического интегрирования или оптического интегрирования, сопряженного с построением сложной оптической системы. Этот метод распространения не получил и применяется в случаях слабого искажения простой формы линий спектра [4].

Метод, основанный на разложении $F(x)$ на арктангенсоиды [5], в практике совсем не применяется из-за своей сложности. Для нахождения параметров арктангенсоид необходимо решить сложную систему уравнений с большим количеством неизвестных, что практически оказывается неосуществимым. Это же относится и к разложению $F(x)$ на дисперсионные кривые. Решение путем представления $F(x)$ тригонометрическим рядом (до 25—35 нечетных синусоид) [6] имеет серьезные недостатки. За счет гармонического продолжения функции возникает краевой эффект, а увеличение интервала исправления ухудшает сходимость гармонического ряда и приводит к значительному возрастанию необходимого числа гармоник. На крутых спадах исправленной кривой возникают значительные искажения за счет эффекта Гиббса. В связи с указанными недостатками упомянутых выше методов был разработан новый метод, свободный от этих недостатков.

В предлагаемом методе график кривой $F(x)$ разбивается на ряд горизонтальных прямоугольников (рис. 1). Каждый из прямоугольников можно представить в виде разности двух ступеней, одна из которых имеет уступ на правой ветви кривой, а другая — на левой. Если условиться всегда брать ступень, имеющую уступ на левой ветви, со знаком минус, называ-

отрицательной ступенью, то прямоугольник будет представлен в виде суммы положительной (правая ветвь) и отрицательной (левая ветвь) ступеней, а вся кривая $F(x) = \sum_{i=1}^N a_i \delta_i(x)$, где a_i — высота i -той ступени, N —

число всех ступеней, $\delta_i(x) = \begin{cases} 0 & \text{при } x \geq x_i \\ 1 & \text{при } x < x_i \end{cases}$ для положительной ступени $\delta_i(x) = \begin{cases} -1 & \text{при } x \leq x_i \\ 0 & \text{при } x > x_i \end{cases}$ для отрицательной ступени. Число ступеней и вы-

сота каждой из них выбираются таким образом, чтобы кривая $F(x)$ была хорошо аппроксимирована. Очевидно, нет необходимости разбивать каждый прямоугольник на две ступени, достаточно только, чтобы сумма всех ступеней дала аппроксимацию кривой.

При нахождении функции, которая после искажения дает ступень высотой, равной 1, можно воспользоваться методом последовательных приближений, примененным Ван-Ситертом [2,3];

n -ое приближение для этой функции (если граница ступени выбрана в абсциссе 0) найдется по формуле:

$$\Phi_n(x) = \sum_{k=0}^n (-1)^k C_{n+1}^{k+1} \hat{D}^k \delta(x), \quad (2)$$

$$\Phi(x) = \int_{-\infty}^{+\infty} D(t-x, \gamma) \delta(t) dt, \quad \hat{D}^2 \delta(x) = \int_{-\infty}^{+\infty} dt \int_{-\infty}^{+\infty} D(t-x, \gamma) D(s-t, \gamma) \delta(s) ds$$

т.д.

В результате интегрирования для положительной ступени получается:

$$\Phi_n(x) = \frac{1}{2} \left[1 - \frac{x}{|x|} (n+1) \right] + \frac{1}{\pi} \sum_{k=1}^n (-1)^{k+1} C_{n+1}^{k+1} \operatorname{arctg} \frac{x}{k\gamma}. \quad (3)$$

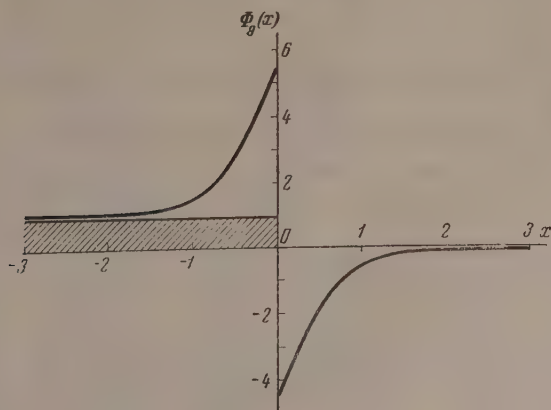


Рис. 2. Функция $\Phi_0(x)$, дающая после искажения ступень, в девятом приближении. За единицу масштаба принята γ

Для отрицательной ступени функция $\Phi_n(x)$ имеет другой знак. Функция $\Phi_n(x)$ вычислялась в девятом приближении; сама ступень принимает

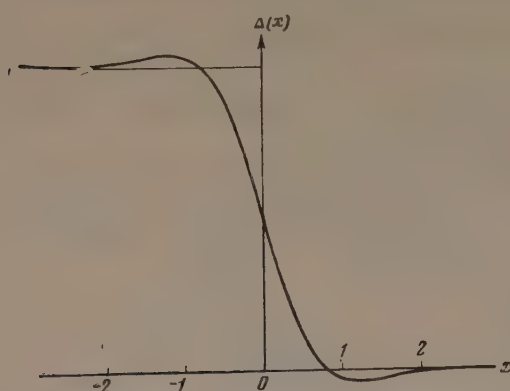


Рис. 3. Функция $\Delta(x)$, полученная после аналитического искажения $\Phi_9(x)$

за нулевое приближение эту функции, т. е. функция $F(x)$ принимается за нулевое приближение $f(x)$. На рис. 2 видно, что эта функция симметрична относительно средней точки группы ступени. Для исправления удобно пользоваться разностью $\Phi_n(x) - \delta(x)$; эту величину надо прибавить к ординате той точки искаженной кривой, истинную ординату в которой определяю

Все расчеты удобно вести, построив предназначенную для исправления кривую в масштабе (по оси x), за единицу которого принята полуширина γ ; следовательно брать всегда одной дли

ны, например, 20 мм. Значения $\Phi(x) - \delta(x)$ наносят на линейку в обе стороны от середины, согласно расчету, приведенному в таблице. При помощи этой линейки можно исправлять любые кривые, построенные в соответствии с указанным выше выбором масштаба.

Если перемещать линейку так, чтобы ее начало оставалось на абсциссе интересующей нас точки, и записывать числа, получающиеся на линейке против

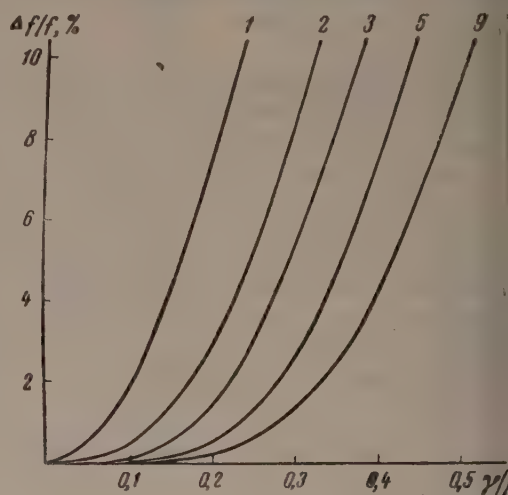


Рис. 4. Зависимость относительной ошибки исправления максимума дисперсионной кривой от порядка приближения функции $\Phi(x)$ (цифры на кривых) и отношения величины расширения γ к полуширине исправляемой линии β

Расчет линейки для исправления формы спектра при $\gamma = 20$ мм и ступени высоты $a = 1$

$\Phi_9(x) - \delta(x)$	x , мм	$\Phi_9(x) - \delta(x)$	x , мм	$\Phi_9(x) - \delta(x)$	x , мм	$\Phi_9(x) - \delta(x)$	x , мм
4,00	1,6	0,80	16,9	0,30	24,9	0,09	63,0
3,50	3,3	0,75	17,4	0,25	26,4	0,08	76,4
3,00	5,1	0,70	17,9	0,20	28,4	0,07	90,0
2,50	7,0	0,65	18,5	0,15	31,8	0,06	105,0
2,00	9,2	0,60	19,1	0,14	33,2	0,05	126,0
1,50	11,7	0,55	19,8	0,13	34,6	0,04	159,0
1,00	15,1	0,50	20,6	0,12	36,0	0,03	204,0
0,95	15,5	0,45	21,4	0,11	38,4	0,02	320,0
0,90	15,9	0,40	22,4	0,10	44,4	0,01	640,0
0,85	16,4	0,35	23,5				

едины грани каждой ступени, затем умножать их на высоту ступени, суммировать их со знаками, определяемыми с учетом знака ступени, дает поправку для ординаты точки исправляемой кривой $F(x)$. Этот способ требует брать точку для исправления на середине грани какой-либо ступени, в противном случае получается большое искажение. Это ограничивает число точек, для которых можно найти «истинную» ординату при данной высоте ступеней; опыт показывает, что для несложных функций (1—2 максимума) достаточно взять 20—25 ступеней равной высоты для каждой ветви кривой.

Функция $\Phi(x)$ должна после искажения дать ступень. Аналитическое искажение функции $\Phi_9(x)$ показывает, что на самом деле функция $F(x)$ аппроксимируется ступенями, а функциями $f_i(x)$, имеющими вид, представленный на рис. 3. Это характеризует степень приближения решения и показывает, что нет смысла брать большое число ступеней, уменьшая их высоту.

Для того чтобы оценить, как зависит ошибка метода от порядка приближения функции $\Phi_9(x)$ и относительной ширины исправляемой кривой, проведен расчет относительной ошибки определения ординаты максимума исправленной дисперсионной кривой при различных соотношениях величины γ , характеризующей расширение, полуширине искаженной кривой β и различных порядках приближения функции $\Phi(x)$ (рис. 4). Как видно, например, найденная относительная ошибка ординаты максимума (не превышает 1,5% при $\gamma/\beta=0,3$, для малых точек дисперсионной кривой ошибка оказывается во много раз меньше.

С увеличением ширины линии β ошибка быстро уменьшается. Проверка метода проводилась следующим образом. В качестве искаженной кривой $F(x)$ бралась сумма тангенсоиды и дисперсионной кривой (рис 5):

$$F_1(x) = 100 \left(1 - \frac{2}{\pi} \arctg \frac{x-15}{2} \right) + \frac{25}{1 + \left(\frac{x-28}{2} \right)^2},$$

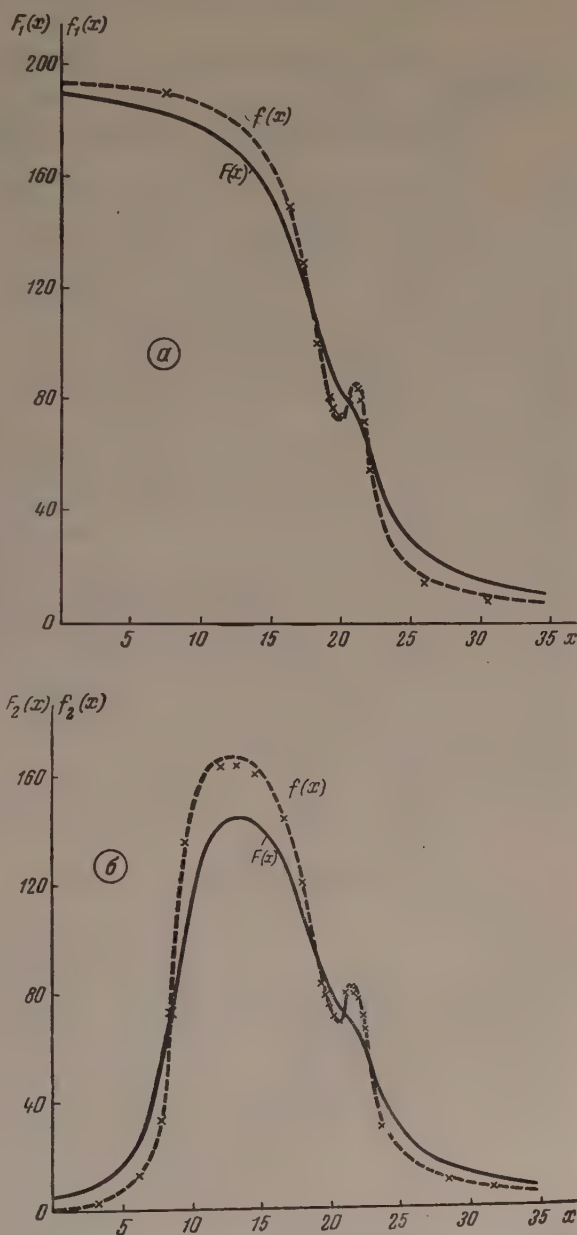


Рис. 5. Проверка метода: а — имитация спектра поглощения, б — имитация спектра испускания

эта кривая близка по форме реальным кривым рентгеновского абсорбционного спектра, и получающаяся из предыдущей кривая, близкая к форме эмиссионным рентгеновским полосам,

$$F_2(x) = \frac{-200}{\pi} \left(\operatorname{arctg} \frac{x-15}{2} - \operatorname{arctg} \frac{x-25}{3} \right) + \frac{25}{1 + \left(\frac{x-28}{2} \right)^2}.$$

Математически определяемая исправленная форма нанесена на тот же график:

$$f_1(x) = 100 \left[1 - \frac{2}{\pi} \operatorname{arctg} (x-15) \right] + \frac{50}{1 + (x-28)^2}$$

и

$$f_2(x) = \frac{-200}{\pi} \left[\operatorname{arctg} (x-15) - \operatorname{arctg} \frac{x-25}{2} \right] + \frac{50}{1 + (x-28)^2}.$$

Определенные по методу значения $f_1(x)$ и $f_2(x)$ нанесены на график (то же). Отчетливо видно, что, несмотря на большую величину коэффициента $\gamma/\beta=0,5$, точки не отступают от вычисленных кривых $f_1(x)$ и $f_2(x)$ более чем на 5 % максимальной ординаты, а в большинстве случаев ошибка не превышает 1 %.

Преимущества метода перед указанными в начале настоящей статьи очевидны, ибо не приходится прибегать ни к каким расчетам для определения параметров ступеней, как то приходится делать в случае методов арктангенсоид, дисперсионных кривых и тригонометрических рядов. В противоположность последнему изложенный в данной работе метод свободен от краевых искажений. Недостатками метода является то, что его применение ограничено случаем дисперсионного искажения и с увеличением отношения расширения к полуширине исправляемой линии точность метода падает. В случае сложного спектра с многочисленными близко один к другому расположенными максимумами число отсчетов будет сравнительно велико.

В заключение выражаю искреннюю благодарность доктору физико-математических наук М. А. Блохину за советы и помощь при написании данной работы.

Ростовский институт
сельскохозяйственного машиностроения

Цитированная литература

1. Вайнштейн Э. Е., Рентгеновские спектры атомов в молекулах химических соединений и в сплавах, стр. 37. — Изд. АН СССР, М.—Л., 1950.
2. Van Cittert P. H., ZS. f. Phys., 69, 289 (1931).
3. Van Cittert P. H., Burger H. C. ZS. f. Phys., 79, 722 (1932).
4. Чулановский В. М., Тиморева А. В., Известия АН СССР, Серия физич., 11, 376 (1947).
5. Вайнштейн Э. Е., Успехи химии, 15, 269 (1946).
6. Блохин М. А., ДАН СССР, 107, 229 (1956).

К. И. НАРБУТТ и И. С. СМЕРНОВА

О ВЛИЯНИИ АКТИВАТОРА НА РЕНТГЕНОВСКИЙ СПЕКТР
ПОГЛОЩЕНИЯ ЛЮМИНЕСЦЕНТНОГО КРИСТАЛЛА

На протяжении ряда последних лет группой исследователей [1—6] развиваются методы расчета тонкой структуры рентгеновского спектра поглощения. Согласно представлениям, положенным в основу этих методов расчета, наблюдаемая на опыте тонкая структура представляет собой результат суперпозиции линий селективного поглощения, соответствующих разрешенным правилами отбора переходам внутренних электронов на свободные возбужденные уровни, и непрерывного поглощения, связанного с переходом внутренних электронов в область непрерывных значений энергии. С другой стороны, была высказана противоположная точка зрения на природу тонкой структуры рентгеновского спектра поглощения [7,8], согласно которой утверждалось, что тонкая структура рентгеновских спектров поглощения может возникнуть лишь в дефектных ионных кристаллах, связанная с перебросом внутренних электронов на локальные уровни, связанные с дефектами решетки.

Кроме большого экспериментального материала, к которому успешно был применен развиваемый в работах [1—6] метод анализа тонкой структуры рентгеновских спектров поглощения, веским подтверждением справедливости этого взгляда на природу тонкой структуры могла бы явиться работа, в которой экспериментально было бы определено место локальных уровней в тонкой структуре рентгеновского края поглощения. Теоретически положение линий селективного поглощения, происхождение которых связано с переходом на локальные дефектные уровни, было предсказано в работе [3] на примере кристалла KCl. В упомянутой работе было показано, что эти линии должны появиться между самой коротковолновой эмиссионной линией и первой линией селективного поглощения.

Недавно [9] была сделана попытка обнаружить в тонкой структуре края поглощения хлора в кристалле KCl проявление дефектных уровней, подвергнув поглотитель предварительной мощной рентгенизации. В этой работе не удалось обнаружить ожидаемого проявления дефектных уровней, и вопрос, таким образом, оставался открытым. Тем не менее, можно было надеяться обнаружить рентгеновское поглощение, связанное локальными уровнями в кристалле, подвергнув кристалл более сильному воздействию, чем рентгенизация, а именно, введя в него активатор, тем самым создав в нем локальные уровни активатора. Этот вопрос и стал предметом наших исследований в настоящей работе.

В то же время можно было ожидать проявления влияния активатора на всю кристаллическую решетку, что могло сказаться на всей структуре рентгеновского спектра поглощения. С этой точки зрения работа связана с исследованиями, в которых решается вопрос о влиянии малых добавок на тонкую структуру рентгеновских спектров поглощения.

В качестве объектов исследования мы выбрали кристаллы NaJ (Tl), CsJ (Tl), нашедшие применение в сцинтилляционных счетчиках для регистрации рентгеновых лучей. Кроме практического значения этих кристаллов для рентгеновской спектроскопии, при выборе их в качестве объектов исследования сыграл роль и тот факт, что нами уже была изучена [10] экспериментально и теоретически тонкая структура L_{III} -спектров погло-

щения обоих компонентов в неактивированном кристалле CsJ и йода в неактивированном NaJ, что значительно упрощало задачу.

Техника эксперимента

L_{III} -спектры поглощения йода в кристаллах NaJ, CsJ, NaJ(Tl) и CsJ(Tl) и цезия в кристаллах CsJ и CsJ(Tl) были получены на длинноволновом фокусирующем рентгеновском спектрографе с кристалло-кварца в качестве анализатора. Использовались плоскости (1010) во втором порядке отражения с дисперсией $6,91 \text{ ХЕ мм}^{-1}$ в области L_{III} -края цезия и $6,53 \text{ ХЕ мм}^{-1}$ в области L_{III} -края йода. Применялась фотографическая регистрация спектров с последующим фотометрированием на микрофотометре МФ-2 и усреднением по пяти микрофотометрическим кривым. Применялась весьма мелкозернистая фотопленка, благодаря чему вредное влияние зерна не сказывалось, и даже единичные кривые удовлетворительно выявляли структуру края поглощения. Опорными линиями для определения длин волн в области L_{III} -края йода служили III $\text{Cs } K_{\alpha_{1,2}}$ и IV $\text{Cu } K_{\beta_1}$, а для L_{III} -края цезия — IV $\text{W } L_{\beta_2}$ и III $\text{Co } K_{\beta_1}$. Для исследования нами были выбраны кристаллы NaJ(Tl) и CsJ(Tl), испробованные ранее как кристаллы для сцинтилляционного счетчика и обнаружившие хорошие качества при регистрации рентгеновских квантов. Ориентировочно содержание таллия в них составляло 0,01—0,1%. Особую трудность представлял выбор способа приготовления поглотителей. Необходимо было приготовить тонкие экраны, состоящие из неразрушенных мелких кристалликов люминофора, кроме того, следовало учесть сильную гигроскопичность кристалла NaJ. Поглотители готовились растиранием кристалла в вакуумном вазелиновом масле и нанесением полученной массы ровным тонким слоем на папиросную бумагу. Для соблюдения идентичности условий таким же способом были приготовлены и поглотители из неактивированных веществ. При таком способе приготовления трудно было определить толщину поглотителя, поэтому производилась многократная съемка спектров поглощения как активированных, так и неактивированных кристаллов с поглотителями различной толщины.

Результаты эксперимента и их анализ

На рис. 1 приведены L_{III} -края поглощения цезия в активированном и неактивированном кристалле CsJ. Аналогично тому, как это сделано нами для L_{III} -края цезия в неактивированном кристалле CsJ [10], можно провести разложение L_{III} -края цезия в кристалле CsJ(Tl) на линии селективного поглощения, соответствующие переходам $2p$ -электронов, на свободные полосы d -симметрии и выделить остаток, соответствующий переходам $2p$ -электронов, на свободные полосы s -симметрии. В верхней части рис. 1 приведены выделенные при разложении L_{III} -краев цезия остатки, представляющие собой суммарное поглощение, связанное с переходами на полосы s -симметрии, начиная с $6s$. Как видно из рисунка, введение активатора приводит к расщеплению $6s$ -полосы. Кроме того, как это и ожидалось, с длинноволновой стороны появляются слабые максимумы поглощения, которые мы связываем с переходами $2p$ -электронов на локальные уровни.

Такое же проявление локальных уровней наблюдается и в L_{III} -спектре йода в кристалле CsJ(Tl) (рис. 2). Влияние активатора на s -полосы в этом случае выражено менее четко.

В целях устранения сомнений относительно возможного влияния толщины поглотителя на проявляющуюся структуру, L_{III} -спектры поглощения йода в NaJ и NaJ(Tl) были сняты при минимально и максимально возможных толщинах поглотителей. Результаты приведены на рис. 3 и 4. Из их сравнения видно, что разница в структуре краев в случае активи-

ованного и неактивированного поглотителей обусловлена не возможным изменением их толщин, а влиянием активатора. И в случае кристалла NaJ введение активатора приводит к появлению дополнительных максимумов поглощения с длинноволновой стороны края и к расщеплению 6s-полосы. Таким образом, изменения в структуре L_{III} -краев поглощения йода цезия в кристаллах NaJ и CsJ при введении активатора сводятся к следующему.

1. С длинноволновой стороны края появляется дополнительная структура в виде слабых максимумов поглощения или перегибов на длинноволновой ветви края поглощения.

2. Изменяется структура, связанная с переходами $2p$ -электронов на свободные полосы s -симметрии (начиная с $2p \rightarrow 6s$).

3. Край поглощения галоида смещается в длинноволновую сторону, металла — в коротковолновую; величина смещения 0,6—1eV. Два последних эффекта, по-видимому, являются проявлением общего влияния алой примеси на систему энергетических зон в кристалле.

Как уже говорилось, в проведенной недавно работе [9] не удалось обнаружить в тонкой структуре рентгеновского K -спектра поглощения хлора кристалле KCl проявления локальных уровней, созданных мощной рентгенизацией кристалла. В упомянутой работе степень рентгенизации кристалла была такова, что можно было ожидать появления в нем значительного числа локальных уровней, порядка 0,1% от общего числа атомов кристалла. В исследованных нами активированных кристаллах число локальных уровней было не больше, чем в работе [9], поскольку содержание таллия в них не превышало 0,1%. Тем не менее, в случае активированного кристалла проявление локальных уровней в рентгеновском спектре поглощения удалось обнаружить. Таким образом, для того чтобы обнаружить в рентгеновском спектре проявление локальных уровней, оказалась существенной не количественная сторона дела, а качественное отличие локальных уровней, создаваемых активатором.

Как было показано [2], на основании анализа структуры края поглощения возможно вычислить длины волн линий ультрафиолетового спектра при условии, что нам известно энергетическое положение последней заполненной зоны в кристалле. Эта величина может быть определена, если известна длина волны последней эмиссионной линии рентгеновского спектра данной серии.

В случае йода переход с последней заполненной полосы $O_{II,III}$ на III -уровень запрещен правилами отбора, так что непосредственное определение относительного положения последней заполненной зоны не представляется возможным. Однако можно искусственным путем определить положение последней эмиссионной линии, воспользовавшись значением терма для линии $\gamma_4'4$, соответствующей переходу $O_{II,III} \rightarrow L_I$ и соотношением

$$O_{II,III} \rightarrow L_{III} = (O_{II,III} \rightarrow L_I) - (L_{III} \rightarrow L_I).$$

Ниже приводится расчет для кристалла NaJ.

Для определения разности термов $L_{III} - L_I$ нельзя пользоваться табличными значениями термов L_I и L_{III} , вычисленными, как это обычно делается, по точкам перегиба длинноволновых ветвей краев поглощения. Поскольку первые максимумы поглощения в краях L_I и L_{III} соответствуют переходам с уровней L_I и L_{III} , соответственно, на полосы $P_{II,III}$ и $O_{IV,V}$, взятая таким образом разность включает в себя и разность между конечными полосами перехода, т. е.

$$(P_{II,III} - L_I) - (O_{IV,V} - L_{III}) = (L_{III} - L_I) - (O_{IV,V} - P_{II,III}).$$

Чтобы по L_I - и L_{III} -краям поглощения определить разность $L_{III} - L_I$, следует брать не точки перегиба на длинноволновой ветви края погло-

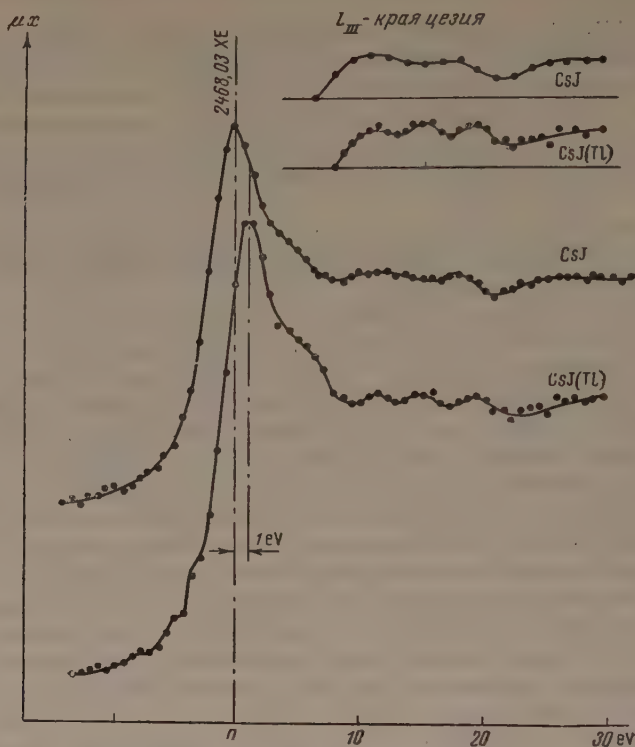


Рис. 1. Экспериментальные рентгеновские L_{III} -спектры поглощения цезия в кристаллах CsJ и CsJ(Tl). В верхней части рисунка приведены s -остатки, выделенные при анализе спектров и соответствующие поглощению, связанному с перебором $2p$ -электронов на уровни s -симметрии

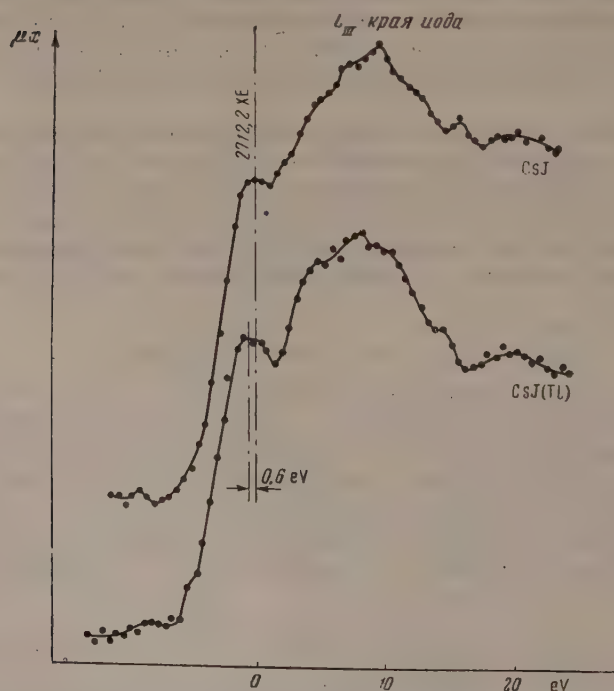


Рис. 2. Экспериментальные рентгеновские L_{III} -спектры поглощения йода в кристаллах CsJ и CsJ(Tl)

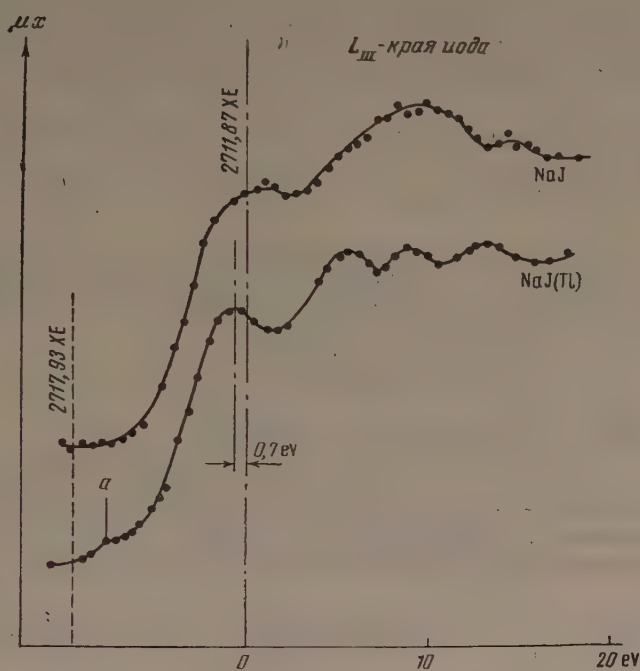


Рис. 3. Рентгеновские L_{III} -спектры поглощения йода в кристаллах NaJ и NaJ(Tl), полученные при минимальной толщине поглощающего экрана

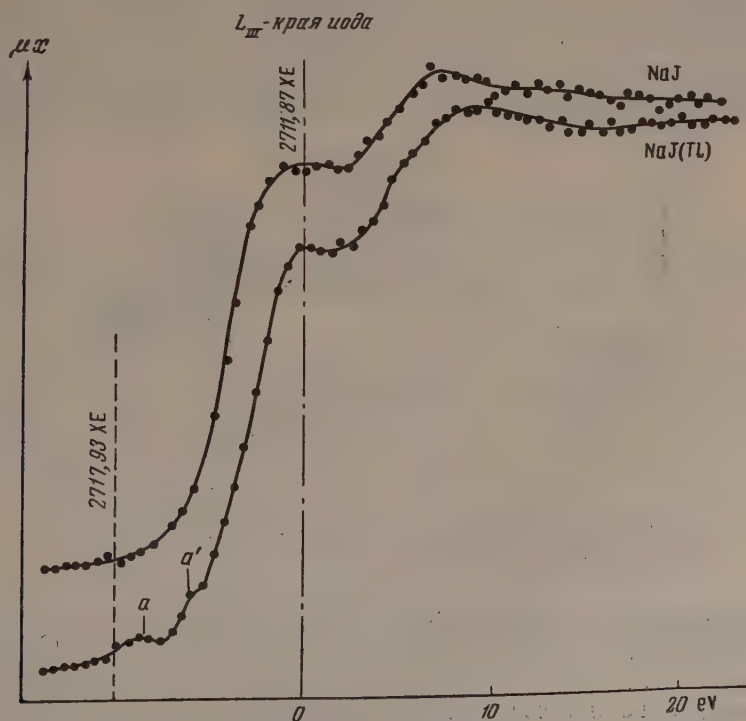


Рис. 4. Рентгеновские L_{III} -спектры поглощения йода в кристаллах NaJ и NaJ(Tl), полученные при максимальной толщине поглощающего экрана

щения, а точки перегиба арктангенсоид в разложениях краев, соответствующие непрерывному поглощению. Этим путем нами были получены для точек перегиба истинных краев поглощения следующие значения:

$$\text{для } L_{\text{I-истинного края}} \quad \lambda = 2378,76 \text{ ХЕ; } \frac{\nu}{R} = 383,08,$$

$$\text{для } L_{\text{III-истинного края}} \quad \lambda = 2708,18 \text{ ХЕ; } \frac{\nu}{R} = 336,48.$$

Линия $\gamma_4\gamma_4'$ была получена нами первичным методом при пониженном режиме рентгеновской трубки. При вычислении ее длины волны были использованы в качестве опорных линий IV $W L_{\beta}$ и II $Cu K_{\alpha_2}$. Было получено

$$\lambda_{\gamma_4\gamma_4'} = 2386,22 \text{ ХЕ}$$

и соответствующее значение терма $\frac{\nu}{R} = 381,88$.

Пользуясь определенным нами указанным выше способом значением разности термов ($L_{\text{I}} - L_{\text{III}}$) и термом линии $\gamma_4\gamma_4'$, мы определили относительное положение (по отношению к L_{III} -краю) последней эмиссионной линии, характеризующее положение последней заполненной электронами полосы:

$$\left(\frac{\nu}{R}\right)_{L_{\text{III}} \rightarrow O_{\text{II,III}}} = 381,88 - (383,08 - 336,48) = 335,28,$$

$$\lambda_{L_{\text{III}} \rightarrow O_{\text{II,III}}} = 2717,93 \text{ ХЕ.}$$

Положение этой линии изображено на рис. 3 и 4 пунктиром.

Используя последнее значение, можно оценить длину волны полосы в оптическом спектре кристалла NaJ(Tl), соответствующей слабому максимуму поглощения a (см. рис. 3—4), появившемуся в длинноволновой части L_{III} -края при введении активатора. Нами получено значение $\lambda = 5600 \text{ \AA}$, находящееся в хорошем согласии с обнаруженной экспериментально [11] длиной волны F -полосы поглощения в кристалле NaJ(Tl) $\lambda_{\text{эксп}} = 5880 \text{ \AA}$. Длина волны полосы в оптическом спектре, соответствующей

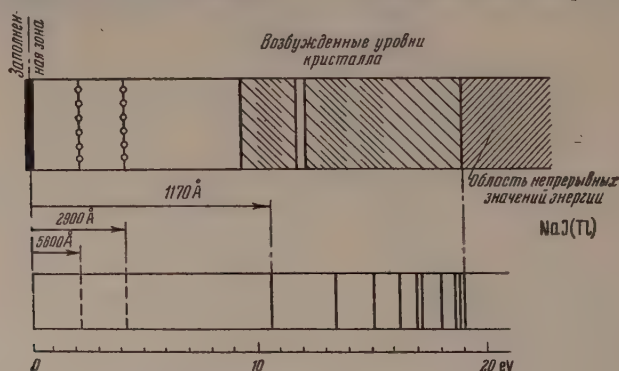


Рис. 5. Энергетическая схема кристалла NaJ(Tl), построенная на основании рентгено-спектральных данных

слабому максимуму поглощения a' (см. рис. 4), более четко проявившемуся при увеличении толщины поглотителя, равна 2900 \AA . Экспериментально для кристалла NaJ(Tl) была найдена полоса 2930 \AA [12]. Соответствие вычисленных длин волн полос ультрафиолетового поглощения с измеренными экспериментально следует признать вполне удовлетворительным, поскольку точность наших измерений не превышает $0,11 \text{ eV}$, что соответствует ошибке в вычислении длин волн в оптической области $\pm 300 \text{ \AA}$.

На основании полученных экспериментальных данных по рентгеновскому спектру поглощения кристалла NaJ(Tl) и проведенного анализа этого спектра была построена энергетическая схема кристалла NaJ(Tl) (рис. 5). На этой схеме указано положение последней заполненной полосы, также энергетическое положение локальных уровней, штриховкой показаны возбужденные полосы кристалла; стрелками изображены электронные переходы, соответствующие полосам, которые должны наблюдаться в оптическом спектре данного кристалла.

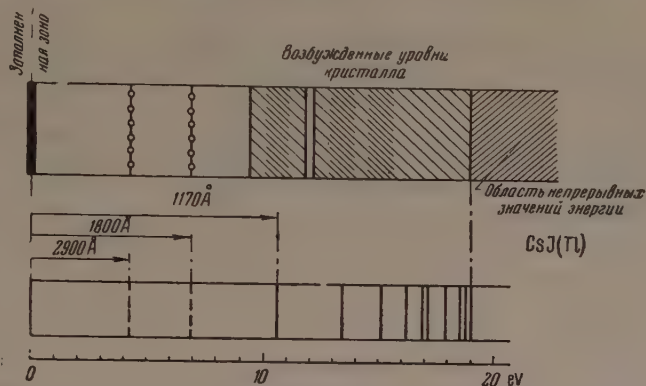


Рис. 6. Энергетическая схема кристалла CsJ(Tl), построенная на основании рентгеноспектральных данных

Аналогичная энергетическая схема была построена и для кристалла CsJ(Tl) (рис. 6). Следует отметить, что в случае кристалла CsJ(Tl) локальные уровни проявились как в L_{III} -спектре поглощения йода, так и в L_{III} -спектре поглощения цезия, причем их энергетическое положение по отношению к положению селективных линий поглощения d -серий, в пределах ошибки эксперимента, оказалось одинаковым. Из наших расчетов следует, что в оптическом спектре кристалла CsJ(Tl) должны наблюдаться следующие полосы: 2990, 1800, 1170 Å. По литературным источникам для этого кристалла была обнаружена полоса с длиной волны 2900 Å [12].

Выводы

1. Обнаружено влияние активатора на рентгеновский спектр поглощения люминесцентного кристалла на примере кристаллов NaJ и CsJ, активированных таллием.

2. С длинноволновой стороны от скачка поглощения в L_{III} -спектрах поглощения йода и цезия в кристалле CsJ(Tl) и йода в кристалле NaJ(Tl) обнаружено появление дополнительных максимумов поглощения, энергетическое положение которых соответствует переходам электронов на локальные уровни.

3. На основе анализа длинноволновой ветви L_{III} -спектра поглощения йода в кристалле NaJ(Tl), а также L_{III} -спектров поглощения йода и цезия в кристалле CsJ(Tl) вычислены значения длин волн полос в оптической области. Эти значения находятся в удовлетворительном согласии найденными в оптике экспериментально длинами волн полос поглощения, в частности с длиной волны F -полосы кристалла NaJ(Tl).

4. Изменения с коротковолновой стороны от скачка поглощения в L_{III} -спектрах поглощения йода и цезия в кристаллах NaJ и CsJ, наблюдаемые при введении активатора, сводятся к расщеплению второго интенсивного максимума поглощения, что, согласно проведенному нами анализу, указывает на расщепление $6s$ -полосы, по крайней мере, на две полосы.

5. При введении активатора край поглощения галоида смещается в длинноволновую сторону, а металла — в коротковолновую, на величину около 1eV.

6. На основании полученных в настоящей работе рентгеноспектральных данных построены энергетические схемы кристаллов NaJ(Tl) и CsJ(Tl).

ИГЕМ

Академии наук СССР

Цитированная литература

1. Вайнштейн Э. Е., Баринский Р. Л., Нарбутт К. И., ЖЭТФ, 23, 593 (1952).
2. Вайнштейн Э. Е., Нарбутт К. И., Баринский Р. Л., ДАН СССР, 82, 701 (1952).
3. Нарбутт К. И., Вайнштейн Э. Е., Баринский Р. Л., ДАН СССР, 87, 381 (1952).
4. Вайнштейн Э. Е., Баринский Р. Л., Нарбутт К. И., ЖЭТФ, 23, 521 (1954).
5. Вайнштейн Э. Е., Баринский Р. Л., Нарбутт К. И., ДАН СССР, 105, 1196 (1955).
6. Баринский Р. Л., Вайнштейн Э. Е., Нарбутт К. И., см. настоящий номер журнала, стр. 1351.
7. Костарев А. И., ЖЭТФ, 22, 628 (1952).
8. Костарев А. И., Боровский И. Б., ЖЭТФ, 26, 377 (1954).
9. Баринский Р. Л., Тезисы докладов V Всесоюзного совещания по применению рентгеновых лучей к исследованию материалов, стр. 84. ЛОНИТОМАП Л., 1955.
10. Смирнова И. С., Нарбутт К. И., см. настоящий номер журнала, стр. 1375.
11. Landolt-Börnstein, Atom und Molekylphysik, 4. Teil, Kristalle, S. 982, — Springer-Verlag, 1955.
12. Hilsch R., Phys. f. ZS., 38, 1031 (1937).

И. С. СМЕРНОВА и К. И. НАРБУТТ

ИССЛЕДОВАНИЕ ТОНКОЙ СТРУКТУРЫ РЕНТГЕНОВСКИХ СПЕКТРОВ
ПОГЛОЩЕНИЯ ЩЕЛОЧНО-ГАЛОИДНЫХ СОЕДИНЕНИЙ

Плодотворный подход к решению вопросов структуры рентгеновских спектров поглощения мы видим в последовательном изучении спектров объектов возрастающей сложности, начиная с газов. Известно, что на этом пути уже удалось достигнуть положительных результатов [1—4].

Переходя к изучению структуры рентгеновских спектров поглощения твердых тел, мы в первую очередь останавливаемся на группе щелочно-галогидных соединений. Работа по анализу спектров калия и хлора в ионном кристалле KCl [5, 6] и работа, посвященная анализу K -спектров галогенидов калия [7], показали, что наличие систематического экспериментального материала по ионным кристаллам позволяет не только провести анализ спектров с единой точки зрения, но и выявить некоторые важные закономерности. Исследованием тонкой структуры рентгеновских спектров поглощения щелочно-галогидных соединений занимались ряд исследователей. Все щелочно-галогидные соединения приведены в следующей таблице; кружочком обведены те элементы, рентгеновские спектры погло-

LiF	Li(Cl)	LiBr	LiI
(Na)F	(Na)Cl	(Na)Br	(Na)I
(K)F	(K)Cl	(K)Br	(K)I
RbF	Rb(Cl)	RbBr	RbI
CsF	Cs(Cl)	CsBr	CsI

щения которых уже исследовались. Так, K -спектры натрия во всех галогенидах натрия были экспериментально исследованы Рулом [8], а L_{III} -спектры натрия — О'Брайеном [9]. K -спектры калия во всех галогенидах калия исследованы в уже цитированной работе [7], а также в работах Гришки [10] и Кийоно [11]; K -спектры хлора экспериментально и теоретически исследованы Баринским [12].

Мы ставили целью по возможности завершить экспериментальное исследование этой группы соединений в той мере, в какой это позволяли экспериментальные возможности, которыми мы располагали. Если исключить из рассмотрения ультрадлинноволновую область рентгеновского спектра (спектры поглощения лития и фтора), то, как видно, неисследованными до последнего времени оставались спектры йода в ряду йодидов, брома — в ряду бромидов, а также цезия и рубидия в их галогенидах. В настоящем

сообщении излагаются результаты исследования структуры L_{III} -спектров поглощения йода в йодидах всех щелочных металлов (LiJ , NaJ , KJ , RbJ , CsJ) и L_{III} -спектров поглощения цезия во всех его галлоидных соединениях (CsF , $CsCl$, $SsBr$, CsJ). Рентгеновские спектры поглощения брома в ряду бромидов и рубидия в его галогенидах также исследованы нами, но полученные результаты излагаются в отдельной статье.

Методика эксперимента

Спектры поглощения йода в йодидах щелочных металлов и цезия в галогенидах цезия были получены на длинноволновом рентгеновском спектрографе с изогнутым кристаллом кварца в качестве анализатора во втором порядке отражения от плоскостей $(10\bar{1}0)$ с дисперсией $6,913 \text{ XE } \text{мм}^{-1}$ в области L_{III} -края цезия и $6,53 \text{ XE } \text{мм}^{-1}$ в области L_{III} -края йода. Эти спектры получены фотографическим методом с последующим фотометрированием на микрофотометре МФ-2 и усреднением по пяти микрофотометрическим кривым. Применялась весьма мелкозернистая фотопленка, благодаря чему вредное влияние зерна было исключено, и даже единичные кривые удовлетворительно выявляли структуру края поглощения. Опорными линиями при определении длин волн элементов структуры L_{III} -края йода служили $III \text{ Co } K_{\alpha_{1,2}}$ и $IV \text{ Cu } K_{\beta_1}$, а для L_{III} -края цезия $IV \text{ W } L_{\beta_2}$ и $III \text{ Co } K_{\beta_1}$. Поглотители готовились путем промачивания папиросной бумажки в водном растворе исследуемого вещества. Толщины поглотителей подбирались экспериментально. При исследовании L_{III} -краев J эффективная толщина поглотителя была порядка 5μ йода, а для L_{III} -краев Cs $5-8 \mu$ цезия.

Результаты эксперимента и их анализ

На рис. 1 приведены полученные нами L_{III} -спектры цезия во всех галогенидах и L_{III} -спектры йода во всех йодидах.

Переходя к интерпретации полученных результатов, следует отметить, что только наличие систематического материала, т. е. результатов исследования L_{III} -спектров цезия во всей серии галогенидов и L_{III} -спектров йода во всех йодидах, позволило разобраться в полученных результатах, применив к данному случаю общий метод анализа структуры краев поглощения, развитый в ряде уже цитированных [2, 3, 5, 7] работ. Специфика рассматриваемого случая состоит в том, что мы имеем дело с L_{III} -спектром поглощения, в то время как ранее рассматривались только K -спектры.

L_{III} -спектр поглощения мы представляем себе как результат суперпозиции линий селективного поглощения, соответствующих разрешенным правилами отбора переходам $2p$ -электронов на свободные полосы s - и d -симметрии ($2p \rightarrow ns$ и $2p \rightarrow nd$). Как минимум, L_{III} -спектр есть суперпозиция двух серий линий: серии s и серии d ; но это лишь в простейшем случае. Как было показано на примере K -спектров поглощения K и Cl в ионном кристалле KCl [5], K -спектр каждого из компонентов кристалла представляет собой суперпозицию двух серий линий селективного поглощения: основной и побочной. Применяя эти представления к рассматриваемому случаю, мы должны ожидать наличие в L_{III} -спектре, соответственно, четырех серий: двух s -серий (основной и побочной) и двух d -серий (основной и побочной).

Обратимся к анализу на этой основе полученных нами спектров поглощения, причем мы выбираем для более подробного анализа кристалл CsJ , поскольку в данном случае были исследованы оба компонента соединения. При рассмотрении L_{III} -краев цезия мы видим на всех краях хорошо выраженную интенсивную белую линию. Естественно предположить, что ее происхождение связано с электронными переходами $2p \rightarrow 5d$. Таким

образом устанавливается начало основной d -серии. Бугор в коротковолновой части края, интенсивность которого максимальна в случае наиболее ионного соединения CsF и снижается по мере перехода к последующим соединениям меньшей ионности (до CsJ), мы связываем с переходами в s -состояния. Первый максимум основной d -серии выражен хорошо, наплыв в коротковолновой стороны главного максимума мы отождествили со второй линией основной d -серии и в этом предположении вычислили эффективное квантовое число n^* для основной d -серии ($n^*=1,41$). Была построена вся основная d -серия и истинный край. Суммарная кривая вычтена из экспериментальной и получен остаток в виде двух линий, что указывало на существование второй d -серии. Этот остаток был представлен в виде серии с $n^*=1,55$.

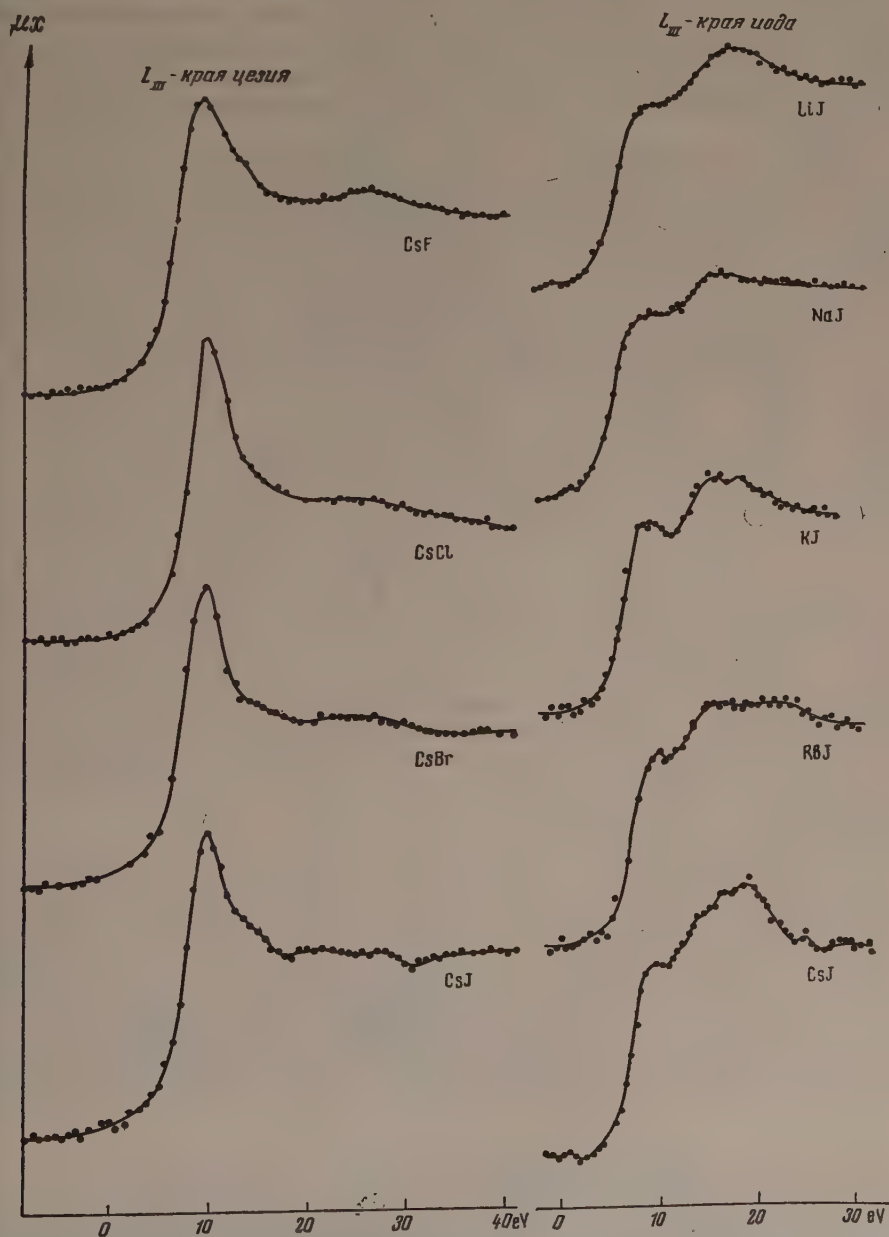


Рис. 1. Экспериментальные рентгеновские L_{III} -спектры поглощения цезия и йода в щелочно-галогидных соединениях

На рис. 2 изображено проведенное нами разложение. Здесь изображены селективные линии основной d -серии, а побочная d -серия заштрихована. Суммарная кривая для d -серий дана пунктиром. Получающийся остаток в коротковолновой части идентифицируется с переходами в s -состояния, начиная с $6s$, и содержит в себе две s -серии (основную и побочную).

Обратимся теперь к L_{III} -спектру йода. Исходя из общих представлений [5,7], порядок расположений серий должен оставаться тем же, что и в L_{III} -спектре цезия. Поэтому первый максимум L_{III} -края йода мы совместили с первым максимумом L_{III} -края цезия. Такое совмещение позволило определить положение первой линии побочной d -серии L_{III} -спектра йода. Положение первой линии основной d -серии йода определяется по положению первой линии побочной d -серии в спектре цезия. Пользуясь теми же, что и в случае L_{III} -края цезия, эффективными квантовыми числами ($n_{Cs}^* = 1,41$ и $n_J^* = 1,55$), мы построили основную и побочную d -серии. Остаток, полученный при вычитании суммарной кривой из экспериментальной, содержит в себе две s -серии (изображен в верхней части рис. 2).

Обращают на себя внимание некоторые особенности в структуре L_{III} -краев цезия и йода в кристалле CsJ. В спектре цезия основная d -серия намного интенсивнее побочной, тогда как в L_{III} -спектре йода побочная d -серия приближается по интенсивности к основной. Объяснение этому, по-видимому, следует искать в разной степени оформления $5d$ -оболочки у йода и у цезия (атомные номера Cs^{55} и J^{53}), а также в том обстоятельстве, что заполнение $5d$ -оболочки начинается с атомного номера 57.

Из проведенного нами анализа спектров поглощения цезия и йода (рис. 2) видно, что в спектре $L_{III}J$ s -состояния выражены лучше, чем в спектре $L_{III}Cs$, что находится в соответствии с тем фактом, что $6s$ -оболочка в йоде свободна, а $6s$ -оболочка цезия частично заполнена.

Аналогичное разложение можно было бы провести и для остальных соединений, но и не осуществляя такого разложения, из рассмотрения формы экспериментальных кривых (рис. 1), заранее можно сделать вывод, что в L_{III} -спектрах цезия в галогенидах по мере перехода от йода к фтору остаток, который мы связываем с переходами $2p \rightarrow ns (n \geq 6)$, будет расти, что связано с максимальной ионностью соединения CsF. Точнее можно сказать что с увеличением степени ионности соединения должна возрастать интенсивность основной s -серии. Наоборот, в L_{III} -спектрах йода степень ионности соединения не должна сильно сказываться на общей величине s -остатка, поскольку $6s$ -оболочка йода в рассматриваемых соединениях не принимает участия в химической связи. Изменение степени ионности будет однако влиять на интенсивность побочной s -серии, что может вызвать изменение формы s -остатка.

Нами были определены длины волн, соответствующие характерным точкам исследованных спектров. При этом оказалось, что длина волны главного максимума в L_{III} -спектрах цезия остается неизменной во всех соединениях цезия и равна $2468,03 \pm 0,05$ XE. В свете развитых здесь представлений о структуре L_{III} -спектра цезия это означает, что длина волны селективной линии $2p \rightarrow 5d$ основной серии, определяющей в основном положение главного максимума, остается неизменной во всех соединениях цезия. Напротив, длина волны первого (более низкого) максимума поглощения в L_{III} -спектрах йода существенно меняется при переходе от соединения к соединению. Нами получены следующие значения:

LiJ	$2711,55 \pm 0,06$ XE	RbJ	$2711,87 \pm 0,06$ XE
NaJ	$2711,87 \pm 0,06$ XE	CsJ	$2712,20 \pm 0,06$ XE.
KJ	$2712,13 \pm 0,06$ XE		

В свете развитых здесь представлений, а также учитывая постоянство длины волны первого максимума в L_{III} -спектре поглощения цезия, факт вариации длины волны первого максимума в L_{III} -спектре поглощения йода

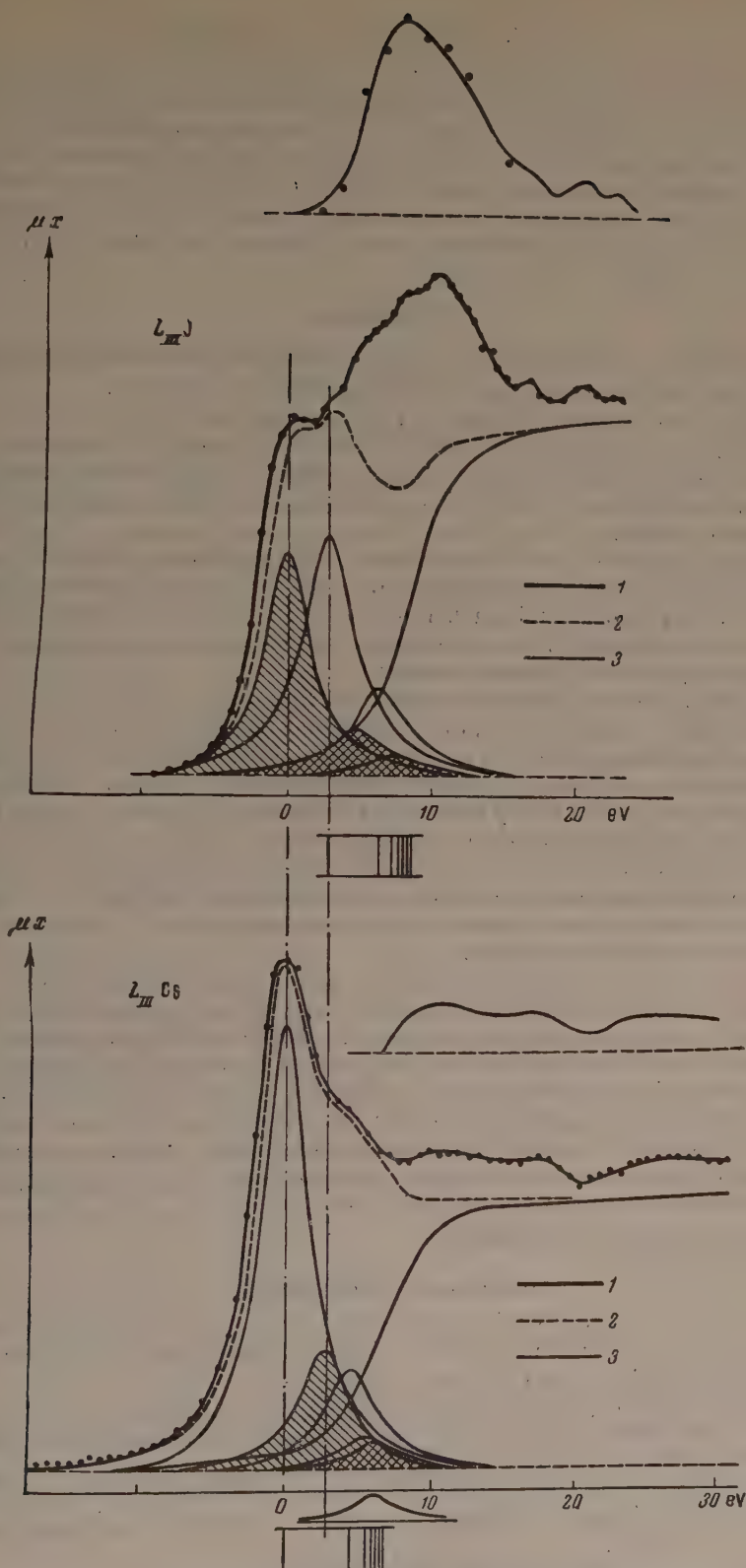


Рис. 2. Рентгеновские L_{III} -спектры поглощения йода и цезия в кристалле CsJ : 1 — экспериментальные кривые, 2 — теоретическая суммарная кривая для главной и побочной d -серий, 3 — линии селективного поглощения главной d -серии и непрерывное поглощение; побочная d -серия заштрихована. В верхней части каждого рисунка изображены s -остатки, получающиеся при вычитании суммарных теоретических кривых для главной и побочной d -серий из экспериментальных кривых поглощения, содержащие в себе главную и побочную s -серии

можно понять как результат изменения соотношения интенсивностей основной и побочной d -серии (рис. 2). Из сказанного также вытекает, что энергетическое положение линий селективного поглощения, связанных с электронными переходами типа $2p \rightarrow nd$, не зависит от химической связи. Этот результат интересно сопоставить с обнаруженным в работе [13] фактом энергетического смещения всего спектра при введении в кристалл небольших добавок (активатора).

Выводы

1. Исследованы L_{III} -края поглощения цезия во всех галогенидах цезия и L_{III} -края поглощения йода во всех щелочных йодидах.

2. Проведен анализ структуры L_{III} -края цезия и L_{III} -края йода в кристалле CsJ на основе представления о том, что L_{III} -спектр является результатом суперпозиции четырех серий линий селективного поглощения (основной и побочной d -серий и основной и побочной s -серий) и непрерывного поглощения.

3. L_{III} -спектры цезия в галогенидах цезия характеризуются интенсивным первым максимумом поглощения и слабым вторым максимумом. Напротив, в L_{III} -спектрах йода в группе йодидов первый максимум поглощения меньше второго. Эти особенности указанных спектров могут быть объяснены двумя обстоятельствами:

а) соотношением интенсивностей основной и побочной d -серий: в спектрах цезия побочная серия сильно подавлена, тогда как в спектрах йода интенсивность основной и побочной серий приблизительно одинаковы;

б) различием в заполнении $6s$ -оболочки йода и цезия: у йода эта оболочка свободна, тогда как у цезия она частично заполнена, что обуславливает существенно различную интенсивность s -серий в спектрах Cs и J.

4. Вариация структуры L_{III} -спектров поглощения цезия и йода при переходе от соединения к соединению в основном сводится к изменению интенсивности и формы второго максимума поглощения, который мы связываем с переходами $2p \rightarrow ns$.

5. Длина волны первого максимума в L_{III} -спектрах цезия остается неизменной для всех галогенидов. Длина волны первого максимума в L_{III} -спектрах йода варьирует в пределах 0,65 ХЕ (1,4 eV). Эти данные, наряду с предложенной интерпретацией структуры спектров, позволяют сделать вывод о том, что энергетическое положение линий селективного поглощения не зависит от химической связи; последняя влияет лишь на отношение интенсивностей линий основной и побочной серии, что приводит к смещению наблюдаемого на опыте максимума, представляющего собой сумму основной и побочной серий линий.

ИГЕМ Академии наук СССР

Цитированная литература

1. Нарбутт К. И., Изв. АН СССР, Серия физич., 15, 231 (1951).
2. Вайнштейн Э. Е., Баринский Р. Л., Нарбутт К. И., ЖЭТФ, 23, 593 (1952).
3. Нарбутт К. И., ДАН СССР, 93, 21 (1953).
4. Нарбутт К. И., Изв. АН СССР, Серия физич., 20, 780 (1956).
5. Вайнштейн Э. Е., Нарбутт К. И., Баринский Р. Л., ДАН СССР, 82, 701 (1952).
6. Нарбутт К. И., Вайнштейн Э. Е., Баринский Р. Л., ДАН СССР, 87, 381 (1952).
7. Вайнштейн Э. Е., Баринский Р. Л., Нарбутт К. И., ДАН СССР, 105, 1196 (1955).
8. Rule K. C., Phys. Rev., 66, 119 (1944).
9. O'Byrne H. M. Phys. Rev., 57, 995 (1940).
10. Trischka J., Phys. Rev., 67, 313 (1945).
11. Kiyono S., Sci. Rep. Tôhoku Univ., Ser. 1, 36, 1 (1952).
12. Баринский Р. Л., см. настоящий номер журнала стр. 1381.
13. Нарбутт К. И., Смирнова И. С., см. настоящий номер журнала, стр. 1367.

Р. Л. БАРИНСКИЙ

K-СПЕКТРЫ ПОГЛОЩЕНИЯ ХЛОРА В ХЛОРИДАХ ЩЕЛОЧНЫХ МЕТАЛЛОВ**Введение**

В работах [1—4] было показано, что рентгеновские *K*-спектры поглощения некоторых щелочно-галогидных кристаллов и молекул газов, включающих два различных атома, можно представить в виде суперпозиции двух серий линий поглощения и непрерывного поглощения. При этом существенно, что построение каждой серии линий и непрерывного поглощения проводилось в соответствии с формулами, полученными, исходя из модели водородоподобного атома. Произвольным оказывался только выбор взаимного положения двух серий и их относительной интенсивности. Однако при наличии экспериментальных данных по *K*-спектрам поглощения обоих компонентов молекулы или кристалла отпадал также произвол и в выборе этих двух величин, и *K*-спектры поглощения обоих компонентов молекулы или кристалла можно было представить в виде двух серий линий достаточно однозначно.

В результате проведенного таким способом разложения *K*-спектров поглощения *K* в кристаллах KF , KCl , KBr и KJ [4] оказалось, что протяженность «побочной» серии линий поглощения и относительная интенсивность «основной» и «побочной» серий, подчиняются вполне определенным закономерностям, а именно, зависят от поляризуемости и атомного номера аниона. Этот вывод был получен, правда, только на примере *K*-спектров поглощения *K* в кристаллах KF , KCl , KBr и KJ , и его физический смысл, так же как и физический смысл основного вывода о возможности представления *K*-спектров поглощения молекул и ионных кристаллов в виде суперпозиции двух серий линий, оставался недостаточно выясненным.

Таким образом, наличие дополнительного экспериментального материала по *K*-спектрам поглощения молекул и кристаллов с непрерывно изменяющимися свойствами одного из компонентов (как это имело место в ряду KF , KCl , KBr и KJ) позволило бы, по-видимому, уточнить полученные ранее выводы и создать основу для разработки конкретной теоретической модели, из которой непосредственно вытекали бы полученные ранее эмпирические выводы.

В качестве объектов исследования были выбраны *K*-спектры поглощения хлора в хлоридах щелочных металлов Li , Na , K , Rb и Cs . Соответствующие кристаллы (кроме $CsCl$) обладают простейшей кубической решеткой и включают в себя катионы с последовательно изменяющимися параметрами: ионным радиусом, поляризуемостью, потенциалом ионизации и т. д., что должно было бы найти непосредственное отражение в характере тонкой структуры *K*-спектров поглощения хлора в этих кристаллах.

Экспериментальные результаты

K-спектры поглощения хлора в хлоридах Li , Na , K , Rb и Cs исследовались на вакуумном рентгеновском спектрографе с кристаллом кварца (плоскость призмы), изогнутым по радиусу 0,5 м. Спектры регистрировались в первом порядке отражения на мелкозернистую позитивную киноплёнку.

Дисперсия прибора составляла 14 X мм^{-1} (9 eV мм^{-1}). Рентгеновская трубка с вольфрамовым анодом работала при режиме 30—50 мА и 5,5 кВ. Экспозиция составляла 5—8 час. Спектры фотометрировались на микрофотометре МФ-2 и 4—5 точках на различной высоте спектра с последующим усреднением результатов по 3—5 пленкам.

Образцы для исследования готовились прессованием порошка химически чистого соединения между двумя папиросными бумажками.

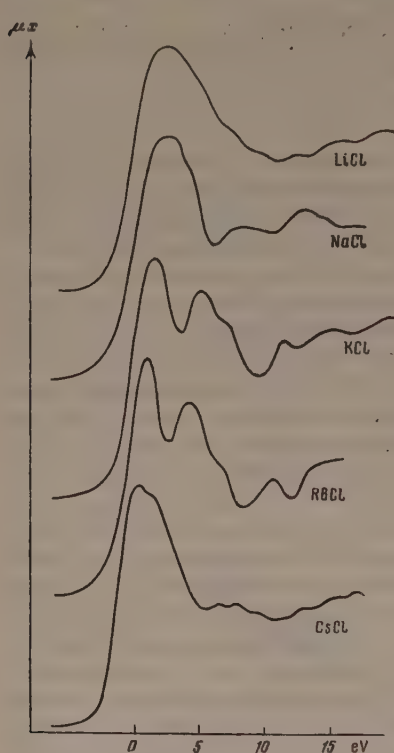


Рис. 1

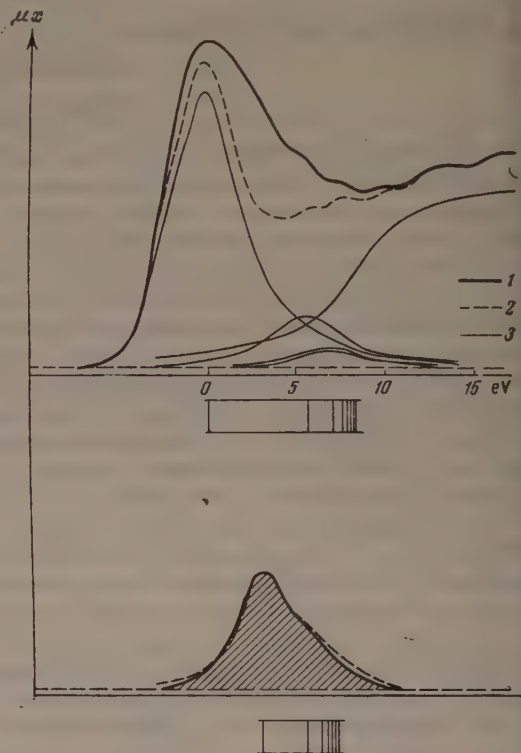


Рис. 2

Рис. 1. К-спектры поглощения хлора в соединениях LiCl, NaCl, KCl, RbCl и CsCl

Рис. 2. К-спектр поглощения хлора в LiCl: 1 — экспериментальные данные, 2 — отдельные компоненты разложения «основной» серии линий, 3 — суммарная теоретическая кривая «основной» серии.

Нижняя половина рисунка: заштрихована разность экспериментальной и суммарной теоретической кривых (основной серии), пунктир — суммарная теоретическая кривая «побочной» серии линий (эти же обозначения относятся к рис. 3—6 и 9)

Толщина полученного таким способом поглотителя определялась взвешиванием и варьировала от 3 до 7 мг см^{-2} . Наилучшие результаты давали тонкие поглотители ($\sim 3 \text{ мг см}^{-2}$).

Исключительно сильная гигроскопичность LiCl потребовала разработки специальной методики приготовления и взвешивания этого вещества, окончательная просушка которого происходила в условиях высокого вакуума непосредственно в баке спектрографа.

На рис. 1 приведены микрофотометрические кривые К-спектров поглощения хлора в соединениях LiCl, NaCl, KCl, RbCl и CsCl, пересчитанные при помощи сенситометрической кривой фотопленки к масштабу μx , где μ — коэффициент поглощения, x — толщина образца. По оси абсцисс отложена энергия в электронвольтах.

Из рис. 1 видно, что при переходе от Li к Cs длинноволновая ветвь и максимум тонкой структуры К-спектров поглощения последовательно

сдвигаются в длинноволновую сторону. Весьма существенно меняется также и сама тонкая структура, причем характер этих изменений не обна-руживает, на первый взгляд, каких-либо определенных закономерностей.

Интерпретация результатов

В качестве основы для разложения К-спектров поглощения хлора в указанных выше соединениях на две серии линий и непрерывное поглощение был взят К-спектр хлора в KCl, поскольку такое разложение уже было проведено ранее [1] на примере К-спектров обоих компонентов (K и Cl). Результаты разложения приведены на рис. 4, где сплошной жирной линией показан экспериментальный К-край поглощения хлора в KCl, тонкими сплошными линиями — отдельные компоненты разложения (линии поглощения до четвертой включительно и непрерывное поглощение), пунктирной линией — суммарная теоретическая кривая основной серии. В нижней половине рис. 4 заштрихована побочная серия — разность экспериментальной и суммарной теоретической кривых. Пунктиром показана суммарная теоретическая кривая побочной серии. Местоположение линий поглощения указано вертикальными штрихами. Полученные при этом разложении величины n^* основной и побочной серий и их относительная интенсивность оказались идентичными с более ранними данными [1].

Чтобы осуществить разложение К-спектров поглощения хлора в остальных соединениях, необходимо в первом приближении предположить (как это делалось ранее [4]), что основная серия претерпевает сравнительно слабые изменения при переходе от К-спектра хлора в LiCl к К-спектру хлора в CsCl и что все изменения в структуре этих

спектров сказываются на побочной серии. Далее, из вида К-спектров, приведенных на рис. 1, следует, что ширина линий поглощения прогрессивно возрастает в ряду соединений CsCl—LiCl, причем ее величина может быть выбрана из экспериментальных данных.

При этих условиях и было выполнено разложение К-спектров поглощения хлора в соединениях LiCl, NaCl, KCl, RbCl и CsCl. Соответствующие результаты представлены на рис. 2—6 с теми же обозначениями, что и на рис. 4.

Анализ полученных данных показывает, что, как и ранее [4], величина эффективного главного квантового числа n^* побочной серии линий связана прямо пропорциональной зависимостью с величиной поляризуемости катиона. Однако наклон соответствующей прямой несколько меньше, чем в работе [4]. Аналогичная [4] зависимость (с тем же показателем 0,2) наблюдается также и между относительной интенсивностью линий основной и побочной серии (I_1/I_2) и атомным номером катиона.

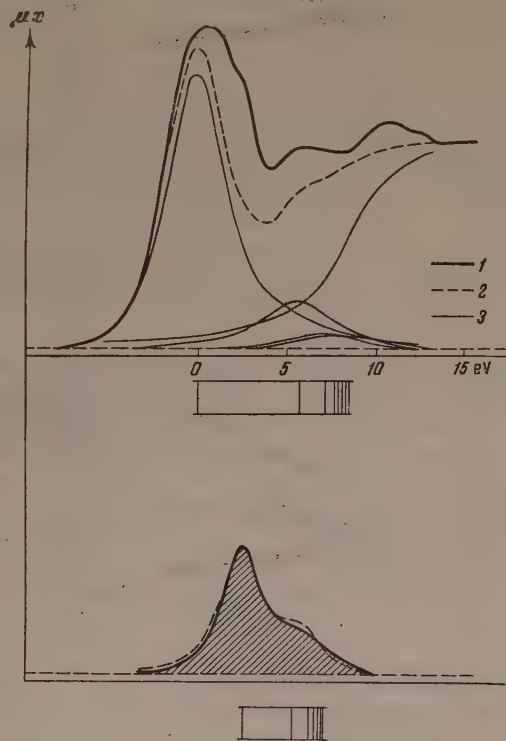


Рис. 3. К-спектр поглощения хлора в NaCl

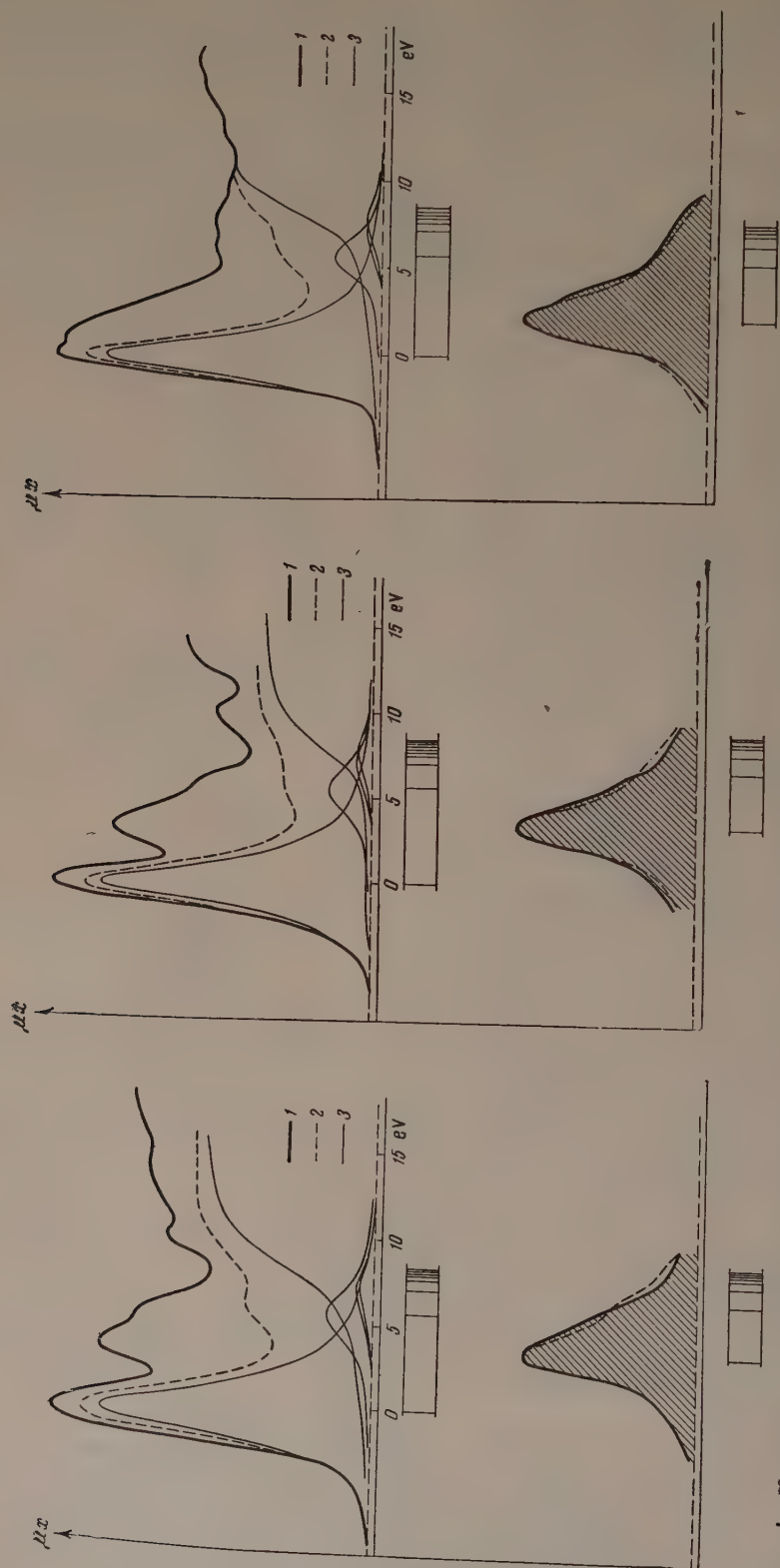


Рис. 4. К-спектр поглощения хлора в KCl Рис. 5. К-спектр поглощения хлора в RbCl Рис. 6. К-спектр поглощения хлора в CsCl

Более отчетливо физический смысл этого соотношения можно понять, если построить график зависимости I_1/I_2 от J — потенциала ионизации катиона (рис. 7). В этом случае зависимость также оказывается прямо пропорциональной и указывает на то, что с ростом ионного характера связи в соединении интенсивность побочной серии линий увеличивается.

Рассмотрим, какое влияние на тонкую структуру рентгеновских К-спектров поглощения хлора в его соединениях со щелочными металлами оказывает величина ионного радиуса катиона. Выше уже отмечалось, что ширина линий поглощения progressively возрастает в ряду $\text{CsCl} - \text{LiCl}$. Характер этого роста можно отчетливо проследить на рис. 2—6. Такое явление наблюдалось и раньше на примере 2р-, 3s- и 4р-линейных полос щелочно-галоидных кристаллов [5] и связано с уменьшением радиуса металлического иона в ряду $\text{Cs} - \text{Li}$. Действительно, по мере уменьшения

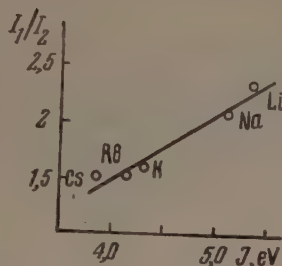


Рис. 7

Рис. 7. График зависимости отношения интенсивностей «основной» и «побочной» серии линий в К-спектрах поглощения хлора в LiCl , NaCl , KCl , RbCl и CsCl от потенциала ионизации атомов щелочных металлов

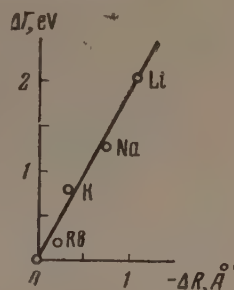


Рис. 8

Рис. 8. График зависимости разности ширины линий поглощения $\Delta\Gamma$ от разности ионных радиусов атомов щелочных металлов ΔR

ионного радиуса катиона ионы галоида постепенно сближаются, а взаимное перекрытие их электронных оболочек возрастает. Это и приводит к увеличению ширины линий. Количественно рассматриваемый эффект иллюстрируется рис. 8, где отложена зависимость разности ширины линий поглощения $\Delta\Gamma$ ($\Delta\Gamma = \Gamma$) в данном соединении — RbCsCl — от ΔR (радиуса щелочного иона минус радиус Cs^+). Правильность проведенного выше разложения спектров поглощения хлора в его соединениях со щелочными металлами была проверена на примере К-спектра поглощения натрия в NaCl , полученного Рулом [6]. Предварительно экспериментальная кривая была приведена к тому же масштабу, что и кривые на рис. 2—6 (сплошная жирная кривая на рис. 9).

В качестве основы для разложения была использована «побочная» серия, выделенная в К-спектре хлора в NaCl и показанная в нижней половине рис. 3. В случае К-спектра натрия эта серия должна быть основной, как это показано в верхней половине рис. 9 тонкими сплошными линиями (пунктир — суммарная теоретическая кривая основной серии линий). Естественно, что остаток, полученный после вычитания основной серии из экспериментальной кривой К-поглощения Na в NaCl и обозначенный штриховкой, а также суммарная теоретическая кривая побочной серии линий в К-спектре Na в NaCl должны совпадать с основной серией в К-спектре Cl в NaCl . В правильности этого вывода можно убедиться при сравнении рис. 3 (основная серия линий) и рис. 9 (побочная серия линий). Тем самым доказана правильность как самого разложения, так и исходных предположений, которые лежат в его основе.

Выводы

1. К-спектры поглощения хлора в соединениях LiCl , NaCl , KCl , RbCl , CsCl получены в первом порядке отражения на рентгеновском спектрографе с кристаллом кварца, изогнутым по радиусу 0,5 м.

2. Полученные экспериментальные кривые обнаруживают смещение длинноволновую сторону при переходе от LiCl к CsCl. Тонкая структура спектров также претерпевает весьма существенные изменения, однако на первый взгляд, без каких-либо существенных закономерностей.

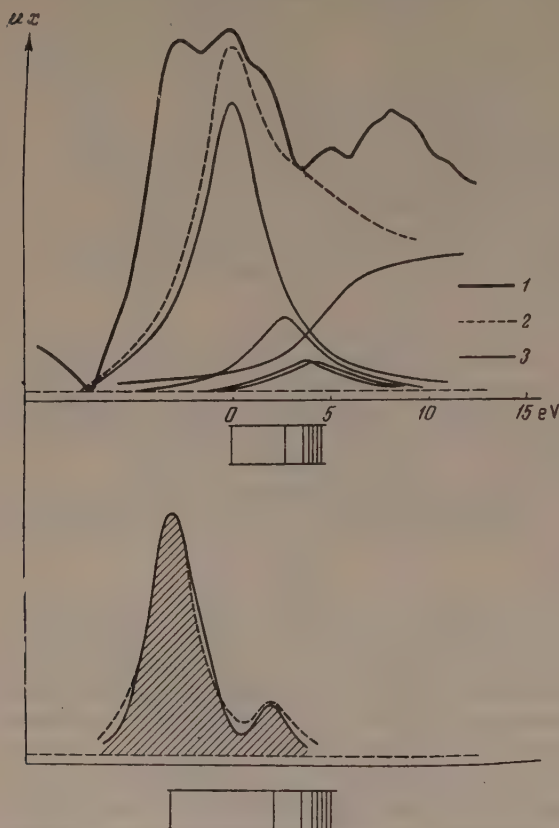


Рис. 9. К-спектр поглощения натрия в NaCl

нованная на учете изменения ионного характера связи в щелочно-галогидных кристаллах и степени перекрытия электронных оболочек ионов хлора.

7. Полученные в настоящей работе результаты вместе с известным ранее данными позволили предложить [7] теоретическую схему процессов происходящих при К-поглощении рентгеновых лучей в молекулах газов и щелочно-галогидных кристаллах. Все выводы, вытекающие из такой модели, находятся в удовлетворительном согласии с полученными ранее эмпирическими обобщениями.

Институт минералогии, геохимии
и кристаллохимии редких элементов
Академии наук СССР

Цитированная литература

1. Вайнштейн Э. Е., Нарбутт К. И., Баринский Р. Л., ДАН СССР, 82, 701 (1952).
2. Нарбутт К. И., ДАН СССР, 93, 21 (1953).
3. Нарбутт К. И., Изв. АН СССР, Серия физич., 20, 780 (1956).
4. Вайнштейн Э. Е., Баринский Р. Л. и Нарбутт К. И., ДАН СССР, 105, 96 (1955).
5. Мотт Н., Герни Р., Электронные процессы в ионных кристаллах, — ИЛ, М., 1955.
6. Rule K., Phys. Rev., 66, 199 (1944).
7. Баринский Р. Л. Вайнштейн Э. Е., Нарбутт К. И., См. настоящий номер журнала, стр. 1351.

3. Проведено разложение К-спектров поглощения Cl в указанных соединениях на основную и побочную серии линий истинный край.

4. Правильность такого разложения доказана на примере К-спектра поглощения Na в NaCl, полученного значительно ранее Рулом в совершенно иных экспериментальных условиях. Одновременно доказана также и правильность самого метода разложения.

5. В результате разложения К-спектров поглощения хлора в его соединениях со щелочными металлами удалось выявить закономерный характер тех изменений в структуре К-спектров, которые наблюдаются на опыте, и связать эти изменения с такими параметрами кристалла, как поляризуемость катиона, его потенциал ионизации и ионный радиус.

6. Дана физическая интерпретация обнаруженных закономерностей, основанная на учете изменения ионного характера связи в щелочно-галогидных кристаллах и степени перекрытия электронных оболочек ионов хлора.

Р. Л. БАРИНСКИЙ и Э. Е. ВАЙНШТЕЙН

РЕНТГЕНОВСКИЕ L -СПЕКТРЫ ПОГЛОЩЕНИЯ И ЭМИССИИ
МОЛИБДЕНА В КАРБИДЕ И НЕКОТОРЫХ
ДРУГИХ СОЕДИНЕНИЯХ

Введение

Вопрос о природе сил химического взаимодействия между атомами карбидах, нитридах и других «фазах внедрения» переходных элементов, как же как и вопрос о степени и характере участия в этих связях nd -электронов металла, относится к числу интереснейших и до сих пор еще недостаточно выясненных проблем современной химии и металлостроения. Было высказано много [1, 2] гипотез и более или менее правдоподобных предположений о характере сил связи между атомами металла и металлоида в этих соединениях, отличающихся, как известно, рядом замечательных и практически важных свойств. Несмотря на то, что эти гипотезы находятся в значительном противоречии одна с другой, их экспериментальная проверка затруднялась до сих пор из-за отсутствия или недостаточной разработанности прямых и однозначных по своим результатам экспериментальных методов. Косвенные же заключения, которые делаются обычно на основании анализа данных о магнитных и электрических свойствах этих веществ или кристаллохимических соображений, часто приводят к противоречивым и не поддающимся однозначной интерпретации выводам.

Новые и до сих пор совершенно неиспользованные возможности в этом направлении открывает, как нам кажется, широкое применение для решения этих вопросов методов рентгеновской спектроскопии, основанных на экспериментальном изучении и теоретической обработке данных по тонкой структуре рентгеновских спектров в различных сериях. Современный уровень развития экспериментальной техники и прогресс, достигнутый в последние годы в области теории структуры рентгеновских спектров, превращают рентгено-спектральный метод исследования веществ в один из наиболее прямых и многообещающих экспериментальных средств для изучения энергетической структуры твердых тел и связанных с этим вопросов химической связи.

Первые систематические исследования тонкой структуры рентгеновских спектров атомов переходных элементов в карбидах, нитридах и некоторых других «фазах внедрения» были предприняты в двух недавно опубликованных исследованиях [3, 4] по K -спектрам испускания титана в ряде соединений и сплавах системы $Ti - C$. В настоящее время в нашей лаборатории исследуются K -спектры поглощения тех же веществ. Однако для более четких результатов можно, по-видимому, получить при исследовании тонкой структуры L_{III} -спектров переходного металла в карбиде и некоторых других соединениях. Действительно, в L_{III} -спектрах наибольшей интенсивностью должны обладать те линии поглощения и эмиссии, которые обусловлены переходом электронов на возбужденные уровни энергии d - и s -симметрии. Это делает L_{III} -края поглощения и соответствующие эмиссионные спектры переходных элементов с недостроенными nd -оболочками особенно удобными для изучения процессов, связанных с вовлечением электронов этих атомов в химическую связь, и, в частности, очень чувствительными ко всем изменениям, которые возникают при этом в

nd-оболочке атомов этих металлов. Перспективность исследования свойств переходных элементов в соединениях по их L_{III} -спектрам поглощения уже была проиллюстрирована в работе [5].

Основной задачей настоящей работы являлось исследование тонкой структуры рентгеновского L_{III} -края поглощения молибдена в карбиде Mo_2C с целью выяснения некоторых спорных вопросов теории о характере химической связи между атомами в этом соединении. Для большей определенности в интерпретации полученных результатов параллельно с карбидом в идентичных условиях изучалась тонкая структура L_{III} -спектров Mo в четырех других соединениях: $(NH_4)_2MoO_4$, MoO_3 , MoS_3 , MoS_2 , так как характер химической связи атомов в этих соединениях исследован достаточно подробно. С этой же целью для карбидов и некоторых других соединений Mo изучалась структура наиболее коротковолновой L_{III} -эмиссионной полосы Mo — линии L_{β_2} .

В молибденовокислом аммонии атомы Mo шестивалентны и находятся в центре тетраэдра. В нем, по [6], должна иметь место sp^3 -гибридизация. Таким образом, это вещество являет собой пример соединения, в котором все 10 мест в $4d$ -оболочке атомов Mo свободны и при благоприятных условиях способны принять вырванные в процессе поглощения рентгеновых лучей $2p$ -электроны. Наблюдающаяся в этих условиях структура L_{III} -края поглощения должна быть, очевидно, наиболее сложной и отражать максимальные возможности поглощения рентгеновых лучей в той области спектра, которая обусловлена перебросом $2p$ -электронов Mo на возбужденные уровни соединения, обладающие по преимуществу d -симметрией. Два других изученных в настоящей работе соединения (MoO_3 и MoS_2), в которых атомы металлоида образуют вокруг шестивалентного и четырехвалентного молибдена соответственно сильно деформированный октаэдр и треугольную призму с гибридизацией d^2sp^3 и d^4sp , являются примерами соединений с последовательно возрастающей долей участия $4d$ -электронов центрального атома в химической связи. В соответствии с этим следует ожидать закономерного изменения вида тонкой структуры L_{III} -края поглощения Mo в этих соединениях по сравнению с $(NH_4)_2MoO_4$, уменьшения относительной интенсивности, а также изменения энергетической протяженности и вида соответствующих областей рентгеновского спектра в пределах основного края поглощения элемента.

Методика измерений

Работа выполнена на длинноволновом вакуумном рентгеновском спектрометре типа ДРУС выпуска 1956 г. В качестве кристалла — анализатора служила пластинка кварца (плоскость призмы) рабочей длиной 15 мм, изогнутая по радиусу 0,5 м. Излучение регистрировалось счетчиком Гейгера типа РМ-3. Кристалл предварительно тщательно фокусировался фотографически (на воздухе) при помощи запаянной рентгеновской трубки, причем качество и точность фокусировки на круге Родланда проверялись по второму, третьему и четвертому порядкам отражения $K\alpha_{1,2}$ -дублета меди. Расширение линий в фокусе, обусловленное дефокусировкой в методе Иоганссона, составляло 0,7 X по сравнению с расчетной величиной $\sim 1X$. Дальнейшая юстировка кристалла производилась в баке спектрометра также при помощи запаянной рентгеновской трубки и осуществлялась вращением юстировочных винтов столика кристаллодержателя и щели счетчика. Ширина последней была выбрана равной 0,05 мм. Окончательные результаты юстировки, определяющие разрешающую способность прибора, проверялись сравнением ширины $K\alpha_{1,2}$ -линий меди в третьем порядке отражения с шириной этих линий при измерении на двухкристальном спектрометре. При этом оказалось, что ширина $K\alpha_{1,2}$ -линий меди (в третьем порядке), измеренная при помощи спектрометра ДРУС, превышает истинную ширину этих линий на 0,7 X. Таким образом, разрешающая

способность прибора для длины волны 4600X составляет $\sim 7\ 000$, дисперсия в исследуемой области спектра — 15, 1X/деление лимба, точность отсчета 0,01 деления лимба.

Съемка L_{III} -спектров поглощения молибдена производилась с вольфрамовым анодом при режиме 5 kV и 15—20 mA. При исследовании спектров испускания первичным методом вещество наносилось на поверхность медного анода. Полосы испускания $L_{\beta 2}$ -молибдена снимались при режиме В—3,5 kV и 4—5 mA.

Анодный ток рентгеновской трубки стабилизировался при помощи электронного стабилизатора с точностью $\pm 0,5\%$ (при колебаниях напряжения в сети около 10%). Стабилизация напряжения на входе высоковольтного трансформатора и всей питающей схемы осуществлялась при помощи феррорезонансного стабилизатора. Стабильность выпрямленного

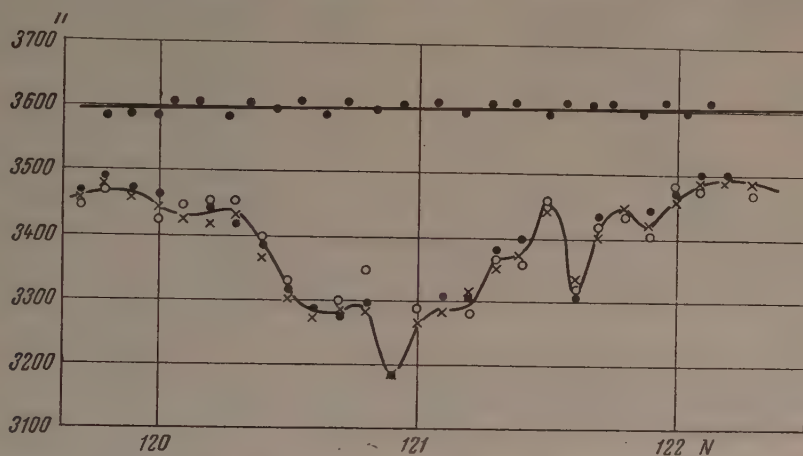


Рис. 1. L_{III} -спектр поглощения Мо в $(NH_4)_2 MoO_4$; сверху форма непрерывного спектра от вольфрамового анода

высокого напряжения контролировалась киловольтметром типа С-96, причем в процессе работы колебания напряжения на выходе не превышали $\pm 0,5\%$. Питание счетчика Гейгера осуществлялось от специального блока; стабильность выпрямленного напряжения (при величине последнего 500 V) была не хуже $\pm 0,5\%$. Наклон плато счетчика Гейгера (длиной 100 V) не превышал 5—7%. Импульсы со счетчика подавались на пересчетную схему типа Б-2 и интегрирующую схему с $RC=1$ мин. Последняя служила для грубой настройки прибора.

Интенсивность рентгеновского излучения зависела от режима работы рентгеновской трубки и в среднем не превышала 500 имп мин⁻¹. Для увеличения точности отсчета длин волн (с учетом возможных ошибок в механизме перемещения счетчика) все кривые снимались при перемещении счетчика только в одном направлении. Возможная ошибка в отсчете длины волны не превышала при этом 0,5X (0,3 eV). При съемке кривых для каждой точки подсчитывалось от 3 000 до 5 000 импульсов. Для проверки воспроизводимости результатов обычно снималось несколько кривых (от 3 до 5), которые в дальнейшем усреднялись, причем общее число отсчетов на точку было не меньше 10 000. Таким образом, статистическая ошибка составляла около 1%, а обычно 0,8%.

При описанных выше экспериментальных условиях воспроизводимость результатов была вполне удовлетворительной. Для иллюстрации полученной воспроизводимости на рис. 1 приведены три серии измерений L_{III} -спектра поглощения молибдена в соединении $(NH_4)_2 MoO_4$. Они обозначены соответственно кружками, точками и крестиками. Результаты усреднения показаны сплошной кривой. На этом же рисунке показана

форма непрерывного спектра от вольфрамового анода (сплошная кривая) и точки, являющиеся результатом усреднения отдельных измерений.

При изготовлении поглотителей для съемки спектров поглощения молибдена использовался метод впрессовывания тонко измельченного вещества в поры тончайшей папиросной бумаги. Эта методика достаточно проста и имеет целый ряд преимуществ перед известными из литературы,

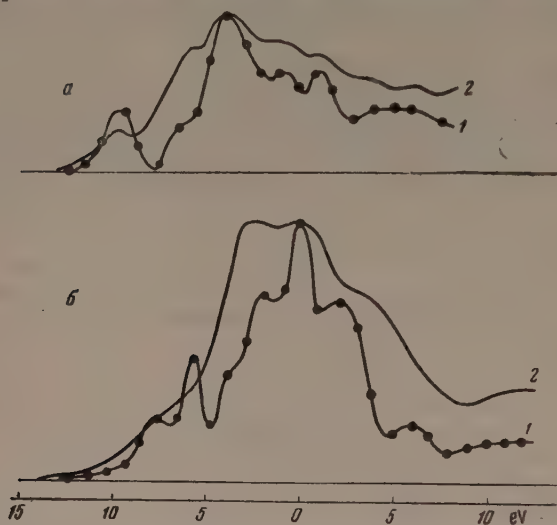


Рис. 2. Сопоставление L_{III} -краев поглощения Mo: а — в MoS_2 , б — в $(\text{NH}_4)_2\text{MoO}_4$, полученных на спектрографе с фотографической регистрацией спектров (2) и в настоящей работе (1)

метра служила, с одной стороны, идентичность кривых, снятых последовательно в течение нескольких дней, и, с другой — отсутствие изменений во внешнем виде поглотителей.

В качестве иллюстрации преимуществ описанной выше аппаратуры по сравнению с использованной ранее [5] можно привести рис. 2, на котором сопоставлены L_{III} -края поглощения молибдена в соединениях $(\text{NH}_4)_2\text{MoO}_4$ и MoS_2 , снятые на спектрометре типа ДРУС и на аналогичном спектрографе с фотографической регистрацией. Это сопоставление имеет также целью выяснить степень соответствия результатов, полученных разными методами*.

Как видно из рис. 2, кривые 1 и 2, полученные различными методами, качественно хорошо согласуются друг с другом. Положение отдельных флюктуаций в пределах основного края совпадает полностью. Что касается их относительной интенсивности, то она отличается так, как этого можно ожидать, учитывая большую разрешающую способность прибора, на котором получены кривые 1, а также эффекты [7], обусловленные влиянием на структуру края фоторегистрации и толщины поглотителя.

Как уже указывалось, при исследовании L_{β_2} -полос испускания молибдена использовался первичный метод возбуждения. Для исследования были выбраны два вещества — MoS_2 и Mo_2C , которые, казалось бы, не должны были претерпевать каких-либо существенных изменений в процессе электронной бомбардировки на аноде. Критерием отсутствия таких превращений (помимо неизменности внешнего вида вещества), служило также сравнение ряда последовательно снятых кривых. При этом оказалось, что через 1—1,5 часа после начала съемки свеженанесенного на анод

* На рис. 1 и 2 работы [5] масштаб (в электронвольтах) по оси абсцисс ошибочен. Правильный масштаб указан на рис. 2 настоящей статьи.

так как не вызывает порчи вещества и дает возможность получать весьма однородные поглотители толщиной до 0,2—0,5 μ . Вопрос о выборе толщины поглотителя при съемке спектров поглощения, в основном крае которых присутствует весьма интенсивная линия поглощения, уже был рассмотрен нами ранее [7] применительно к фотографической регистрации спектров. При наличии фона те же выводы справедливы и для ионизационной регистрации спектров; поэтому настоящая работа проводилась на поглотителях толщиной 0,5 μ . Доказательством отсутствия каких-либо изменений образца в кожухе спектро-

вещества последнее испытывало заметные изменения. Так, были основания предполагать, что Mo_2C постепенно превращался в металлический молибден. Соответствующие изменения наблюдались также на кривых испускания. Учитывая это обстоятельство, для усреднения использовались только кривые, которые были получены для свежeverтого в анод вещества. Не обнаруживали упомянутых изменений. Для термически менее устойчивых соединений $(\text{NH}_4)_2\text{MoO}_4$ и MoO_3 была сделана попытка получить необходимые данные методом флуоресценции. Однако малая интенсивность этих спектров и сильное искажающее влияние, которое оказывает на них эффект реабсорбции, не позволили пока получить достаточно воспроизводимых и надежных результатов. Поэтому в настоящей работе мы вынуждены ограничиться рассмотрением данных по эмиссии, полученных первичным методом лишь для двух соединений.

В литературе уже неоднократно сообщалось о том (см., например, [8]), что наличие в крае поглощения яркой абсорбционной линии приводит к сильным искажениям в структуре последней эмиссионной полосы, снятой при напряжении, намного превышающем потенциал возбуждения (за счет так называемого эффекта реабсорбции). Аналогичные искажения наблюдались и в настоящей работе. Поэтому напряжение на рентгеновской трубке при съемке L_{β_2} -полосы молибдена было выбрано минимально возможным. Тем не менее, с коротковолновой стороны L_{β_2} -полосы молибдена в Mo_2C был обнаружен спад интенсивности, простирающийся за пределы обычного уровня фона. Еще более любопытный факт был обнаружен в тонкой структуре L_{β_2} -полосы молибдена в MoS_2 . Для его иллюстрации на рис. 3 приведены L_{III} -спектры поглощения молибдена в MoS_2 и Mo_2C и L_{β_2} -полосы этих соединений. Обращает на себя внимание (помимо отмеченного выше аномального уменьшения фона с коротковолновой стороны L_{β_2} -полосы молибдена в Mo_2C) точное соответствие минимумов интенсивности в пределах L_{β_2} -полосы Мо в MoS_2 максимумам поглощения в L_{III} -краях этого соединения. Это, очевидно, тот же эффект реабсорбции, но его искажающее влияние сказывается на тонкой структуре эмиссионной полосы уже на всем ее протяжении и приводит к появлению ложной тонкой структуры. Такое явление оказывается возможным благодаря очень сильному перекрытию L_{β_2} -полосы и L_{III} -края, перекрытию, настолько сильному, что L_{β_2} -полоса Мо в MoS_2 находится по существу в пределах основного края металла в этом соединении. Насколько нам известно, аналогичное явление было замечено только однажды [9] на примере $M_{\text{IV},\text{V}}$ -спектров поглощения и $M_{\alpha,\beta}$ -полос Ег. Учитывая, что Ег является редкоземельным элементом, можно сделать вывод, что рассматриваемое явление присуще спектрам испускания и поглощения дефектных элементов.

Более подробно этот вопрос будет рассмотрен в следующем разделе.

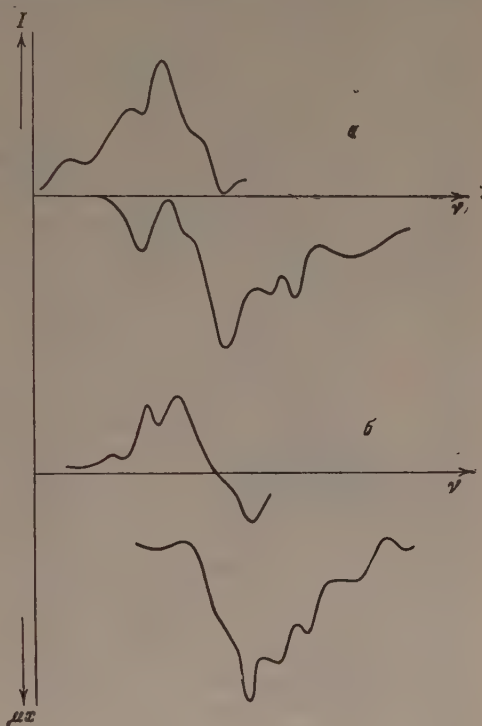


Рис. 3. L_{III} -спектры поглощения и L_{β_2} -полосы Мо: а — в MoS_2 , б — в Mo_2C

Экспериментальные результаты и их обсуждение

Полученные в настоящей работе экспериментальные результаты, относящиеся к L_{III} -спектрам поглощения Мо в соединениях $(NH_4)_2MoO_4$, MoO_3 , MoS_2 , Mo_2C , сопоставлены друг с другом на рис. 4. По оси абсцисс отложена энергия

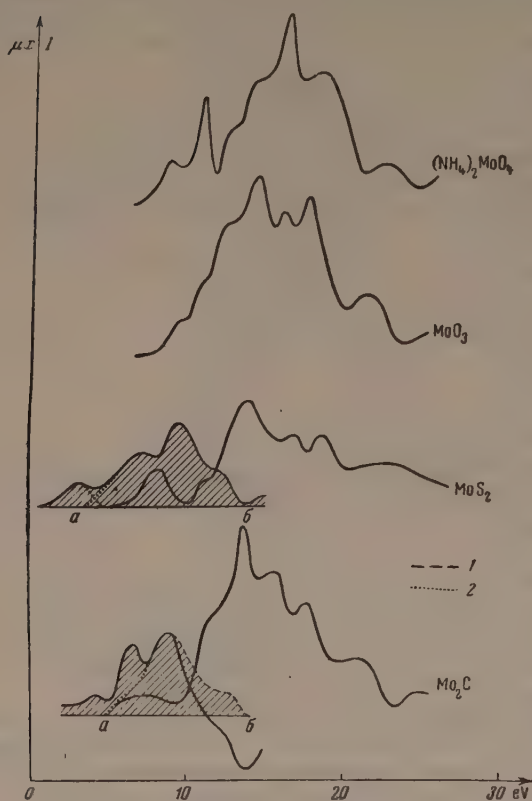


Рис. 4. L_{III} -спектры поглощения и L_{β_2} -полосы Мо (заштрихованы) в различных соединениях: 1 — результат исправления коротковолнового края эмиссионной полосы за счет эффекта реабсорбции, 2 — приблизительное разложение эмиссионной полосы на две компоненты

обязанная своим возникновением переходам тех же электронов на возбужденные уровни, обладающие преимущественно s -симметрией. Как и следовало ожидать, этот коротковолновый участок спектра обладает значительно меньшей, чем длинноволновая группа линий, относительной интенсивностью, которая (за исключением спектра Мо в MoS_2) не претерпевает значительных изменений при переходе от одного соединения к другому. Эти соединения различаются валентностью поглощающего атома, кристаллической структурой и координацией поглощающего атома, а также типом межуатомного взаимодействия.

Совсем по-иному ведет себя длинноволновая группа линий поглощения. При переходе от одного вещества к другому структура спектров в этой области закономерно изменяется вслед за изменением характера сил связи

между атомами. По оси ординат — величины, пропорциональные коэффициенту поглощения. Заштрихованные контуры L_{β_2} -полос поглощения Мо, полученные при помощи первичного метода возбуждения спектров.

Общей особенностью всех рассматриваемых спектров поглощения Мо является присутствие в них группы селективных линий, расположенных (на протяжении 11—15 eV от границы края) в длинноволновой части спектра и по интенсивности значительно превосходящих интенсивность остального участка края. Эти линии появляются в спектре в результате (разрешенных дипольными правилами отбора) переходов $2p$ -электронов поглощающего атома на возбужденные уровни [соединения, обладающие преимущественно d -симметрией. Эти уровни характеризуются, как известно, относительно малой энергетической протяженностью и высокой плотностью. Вправо от этой группы линий должна располагаться область спектра,

* Структура L_{III} -спектра поглощения Мо в MoS_3 практически идентична той, которая наблюдалась в MoO_3 .

в соединении и типа гибридизации, определяющего сочетание электронов, участвующих в образовании устойчивых σ -связей. Обратимся к более подробному рассмотрению наблюдающихся при этом изменений в структуре спектров и выводам, следующим из анализа экспериментального материала.

1. При переходе от $(\text{NH}_4)_2\text{MoO}_4$ к MoS_2 и Mo_2C валентность Мо изменяется, соответственно, от 6 к 4 и 2. В первом из этих веществ $4d$ -полоса Мо полностью свободна. В MoS_2 имеет место d^4sp -гибридизация, а единственная из не участвующих в связи $4d$ -орбит атома Мо в этом соединении занята двумя электронами. У двухвалентного Мо в соединении Mo_2C свободными или способными к участию в химической связи могут быть не более трех $4d$ -орбит, на которых может расположиться шесть электронов. Две $4d$ -орбиты Мо в этом веществе заполнены четырьмя электронами.

Указанные изменения в степени заполнения $4d$ -полосы Мо в рассматриваемых соединениях находят свое выражение в структуре его спектров поглощения. Наиболее богатой является структура спектра шестивалентного Мо в $(\text{NH}_4)_2\text{MoO}_4$. Наряду с характерной для всех спектров широкой трехглавой полосой поглощения с небольшими флюктуациями с длинноволновой стороны, этот спектр содержит также две дополнительные узкие линии поглощения, расположенные с длинноволновой стороны от основной полосы поглощения. Именно эти две линии оказываются особенно чувствительными к изменению валентности металлического атома в соединениях. Интенсивность поглощения в этой области спектра значительно уменьшается при переходе к четырехвалентному Мо в MoS_2 , в спектре которого в этом месте наблюдается лишь одна линия значительно меньшей интенсивности, доходит практически до нуля в спектре Mo_2C , в котором формальная валентность Мо становится равной 2. Сказанное выше позволяет думать, что появление в спектре поглощения Мо в $(\text{NH}_4)_2\text{MoO}_4$ двух наиболее длинноволновых максимумов поглощения, составляющих относительно обособленную группу линий, обязано своим возникновением переходам $2p$ -электронов поглощающего атома на две (из пяти) наиболее глуболежащие $4d$ -орбиты металла в соединении, способные, в принципе, вместить четыре электрона. В соединении $(\text{NH}_4)_2\text{MoO}_4$, в котором $4d$ -полоса Мо полностью свободна, эта возможность реализуется целиком, в MoS_2 — лишь наполовину, в карбиде же, у которого соответствующие $4d$ -орбиты Мо заняты своими электронами, захват в эту область $2p$ -электронов атома оказывается невозможным.

На примере тех же спектров поглощения Мо в трех соединениях с различной валентностью может быть, как нам кажется, хорошо проиллюстрирована также мысль о том, что возбужденные уровни энергии, составляющие $4d$ -полосу атома переходного элемента в кристалле, могут быть естественно разбиты на две категории в зависимости от степени воздействия на них полей их соседей по соединению. Одну группу уровней образуют возбужденные (гибридные) энергетические состояния электрона в соединении, участвующие в химической связи; другую группу — «квазиатомные уровни», обладающие значительно меньшей энергией и у атомов свободном состоянии занятые электронами.

В нашем случае присутствие двух таких групп уровней энергии находит свое выражение в появлении длинноволновой группы линий поглощения (которые очень узки и, как можно из этого заключить, почти не несут на себе следов влияния поля кристаллической решетки соединения) и одной широкой (трехглавой) полосы поглощения.

Если при неизменной валентности атома переходного элемента его d -уровни, хотя бы частично, вовлекаются в химическую связь (гибридируются), это приводит к дальнейшему возмущению соответствующих уровней, их еще большему расширению и может повлечь за собой частичную или полную утрату ими «квазиатомного» характера. Примером, иллюстрирующим такую возможность, является спектр поглощения Мо в MoO_3 .

Структуру этого спектра и его отличие от спектра шестивалентного Мо в молибденовокислом аммонии качественно можно понять, если учесть, что в этом соединении имеет место d^2sp^3 -гибридизация. Вследствие этого длинноволновая структура L_{III} -края поглощения Мо, хорошо разрешенная у $(NH_4)_2MoO_4$, утрачивает свою первоначальную четкость и самостоятельность, связанную с «квазиатомным» характером наиболее глубоких $4d$ -уровней Мо в соединении, и в спектре MoO_3 почти сливается с находящейся рядом с ней широкой трехглавой полосой поглощения. Это приводит к образованию единой, более широкой, чем в спектре $(NH_4)_2MoO_4$, полосы поглощения и некоторому перераспределению интенсивности флюктуаций на ее длинноволновой стороне.

Существенно, что участие $4d$ -орбит Мо в образовании гибридных связей в соединении не приводит в спектрах поглощения к полному исчезновению соответствующих линий поглощения, а сопровождается лишь резким ослаблением их интенсивности по отношению к другим участкам спектра. В этом можно убедиться при сопоставлении длинноволновой структуры спектров поглощения Мо в $(NH_4)_2MoO_4$ и MoO_3 и, особенно, при рассмотрении спектра поглощения Мо в MoS_2 . В последнем соединении осуществляется d^4sp -гибридизация, и большая часть $4d$ -уровней металлического атома принимает участие в образовании химической связи. Между тем, это не приводит к полному исчезновению длинноволновой структуры рентгеновского спектра поглощения или к коренному изменению его структуры, а имеет своим следствием лишь резкое уменьшение относительной интенсивности рассматриваемого участка спектра по сравнению с более коротковолновой его частью (в отличие от того, что имеет место при заполнении соответствующих $4d$ -уровней Мо «своими» электронами). В случае MoS_2 это сопровождается также и общим уменьшением скачка L_{III} -поглощения Мо по сравнению со всеми другими изученными соединениями.

Таким образом, вовлечение $4d$ -уровней атома переходного элемента в гибридную связь сказывается лишь на уменьшении вероятности электронных переходов на соответствующие уровни и тем сильнее, чем больше доля участия этих уровней в химической связи.

2. Для уточнения и независимой проверки выводов, следующих из анализа рентгеновских спектров поглощения Мо в рассматриваемых соединениях, была изучена также структура наиболее коротковолновых L_{III} -эмиссионных полос Мо — линий L_{β_1} . Контуры этих линий на рис. 4 заштрихованы. В случае Mo_2C , помимо экспериментального контура L_{β_1} -линии Мо в соединении, пунктиром изображена также коротковолновая ветвь линии испускания после учета искажающего ее форму влияния реабсорбции. В MoS_2 такое исправление коротковолновой стороны эмиссионной полосы проведено не было, так как, по-видимому, из-за общего ослабления скачка поглощения в этом веществе (на которое мы уже указывали выше) влияние реабсорбции здесь оказалось менее значительным.

Как видно из рис. 4, полосы испускания Мо в MoS_2 и Mo_2C отличаются друг от друга как по распределению интенсивности в пределах полосы, так и по их общей протяженности. Однако и в этом случае изложенные выше представления о характере $4d$ -состояний Мо в соединениях позволяют понять структуру этих полос и прийти к заключению, которое находится в хорошем согласии с выводами, следовавшими из анализа структуры соответствующих спектров поглощения. По аналогии со спектрами поглощения Мо в этих соединениях рассматриваемые L_{β_1} -полосы испускания можно также представить себе состоящими из двух частей — коротковолновой широкой полосы (участок ab), по форме очень напоминающей характерный широкий максимум поглощения в L_{III} -спектрах Мо в MoS_2 и Mo_2C , и группы узких полос испускания (одной в случае MoS_2 и двух в случае Mo_2C), образующих длинноволновую ветвь L_{β_1} -линии. Возникновение участка ab полосы испускания можно связать с переходом электронов с гибридных уровней энергии Мо в MoS_2

Мо₂С. Что же касается наиболее длинноволнового узкого максимума пределах полосы испускания Мо в МоS₂ и двух таких же узких максимумов в спектре карбида, то они при такой интерпретации могут быть понятны (в полном соответствии с данными по спектрам поглощения) как «квазиатомные» линии испускания, возникающие при переходе двух 4d-электронов Мо в МоS₂ и четырех 4d-электронов в Мо₂С на освободившиеся в процессе поглощения рентгеновых лучей 2p-уровни атома. Это проявляют себя в эмиссии те самые два наинизших уровня энергии в пределах 4d-полосы переходного элемента в соединениях, за степенью заполнения которых в различных веществах мы имели возможность следить ранее по уменьшению соответствующих селективных линий в спектрах поглощения Мо.

Достоинством изложенной интерпретации структуры L_{β₂}-полос Мо в МоS₂ и Мо₂С является также и то, что она позволяет понять кажущийся на первый взгляд странным факт значительного перекрытия полос испускания и спектров поглощения Мо в этих соединениях*. Для этого нужно только предположить, что возбужденные «квазиатомные» 4d-уровни Мо в соединениях могут обладать значительно меньшей энергией, чем соответствующие им возбужденные гибридные состояния, и что величина этой энергии может быть сравнимой с энергией гибридных уровней соединения, заполненных электронами. С этой точки зрения становятся понятными такие характерные особенности рассматриваемого явления, как существование приблизительного подобия формы основного края поглощения эмиссионной полосы**, приуроченность этого явления лишь к мягким рентгеновским спектрам L- и M-серий и тот факт, что это явление наблюдалось до сих пор и, как кажется, должно наблюдаться только на спектрах переходных элементов.

3. Сопоставление тонкой структуры рентгеновского L_{III}-края поглощения и L_{β₂}-эмиссионной полосы Мо в карбиде с соответствующими кривыми для других соединений и приведенная выше интерпретация этих данных позволяют высказать некоторые суждения по поводу развиваемых различными авторами теоретических представлений о природе химического взаимодействия между атомами в Мо₂С и степени участия в связях 4d-уровней переходного металла. Совокупность полученных данных позволяет определенно утверждать, что появление в 4d-оболочке Мо в рассмотренных соединениях двух (МоS₂) или четырех (Мо₂С) электронов приводит (как это и следовало ожидать) к постепенному ослаблению интенсивности двух наиболее длинноволновых максимумов на кривой поглощения Мо, которые наблюдались в соединении (NH₄)₂МоО₄, где эти уровни не были заполнены электронами.

Этот же процесс можно проследить и по изменению структуры эмиссионной L_{β₂}-полосы металла в тех же соединениях. Если бы, как это допускается в некоторых теориях, в процессе образования химической связи между металлом и металлоидом в Мо₂С электроны углерода хотя бы частично использовались для экранирования заряда атома Мо и существенно заполняли его недостроенную 4d-полосу, это неизбежно должно было бы привести к дальнейшему ослаблению интенсивности длинноволновой части рентгеновского L_{III}-края поглощения Мо в карбиде. Этот эффект на опыте не обнаружен. Напротив, протяженность и относительная интенсивность соответствующих групп линий поглощения в L_{III}-крае Мо в карбиде и других соединениях оказались очень близкими друг к другу. Что же касается небольших отличий в относительной интенсивности отдельных флю-

* Разумеется, здесь речь идет не о частичном перекрытии линий испускания и краев поглощения, которое связано с конечной шириной L_{III}-уровней энергии в атоме.

** Обращает на себя внимание сходство упомянутого эффекта с законом зеркальной симметрии спектров поглощения и излучения, установленным Левшиным при изучении люминесценции некоторых классов органических молекул [10].

ктуаций коэффициента поглощения в пределах рассматриваемой группы линий, то они наблюдаются лишь в коротковолновой части L_{III} -спектров и не могут быть следствием заполнения $4d$ -уровней Мо в карбиде электронами углерода. С другой стороны, большая ширина эмиссионной полосы и факт значительного перекрытия коротковолнового участка полосы испускания и длинноволновой ветви спектра поглощения Мо в Mo_2C могут рассматриваться в качестве аргумента в пользу предположения о частичной гибридизации связи в этом соединении и об участии в ней $4d$ -уровней атомов металла.

Выводы

1. При помощи фокусирующего вакуумного рентгеновского спектрометра исследованы рентгеновские L_{III} -спектры поглощения и испускания Мо в карбиде и ряде других соединений. Выяснено влияние на тонкую структуру этих спектров валентности металла и характера химической связи между атомами в соединении.

2. На примере рентгеновских спектров Мо в молибдените показана возможность значительного перекрытия друг с другом L_{β_2} -эмиссионной полосы и L_{III} -спектра поглощения металла. До сих пор подобное явление наблюдалось лишь однажды при исследовании M_{IV} , γ -спектров поглощения и $M_{\alpha,\beta}$ -эмиссии редкоземельных элементов. Высказаны соображения о возможных причинах этого явления и условиях, необходимых для его проявления.

3. Полученные экспериментальные данные, относящиеся к Mo_2C , нельзя согласовать с получившей известное распространение в литературе гипотезой, согласно которой при образовании карбидов переходных элементов имеет место частичное заполнение недостроенных nd -энергетических уровней атомов переходных металлов. Степень общности этого заключения требует проверки на более обширном экспериментальном материале, относящемся к системе Мо — С, и на карбидах других переходных элементов.

Институт минералогии, геохимии и
кристаллохимии редких элементов Академии наук СССР
и Институт геохимии и аналитической
химии им. В. И. Вернадского
Академии наук СССР

Цитированная литература

1. Бернал Д., Металлофизика. — ГТТИ, 1933.
2. Уманский Я. С., Карбиды твердых сплавов. — Металлургиздат, 1947.
3. Вайнштейн Э. Е., Васильев Ю. Н., ДАН СССР, 114, 53 (1957).
4. Вайнштейн Э. Е., Васильев Ю. Н., ДАН СССР, 114, 741 (1957).
5. Баринский Р. Л., ДАН СССР, 83, 381 (1952).
6. Kimball G., J. Chem. Phys., 8, 188 (1940).
7. Нарбутт К. И., Баринский Р. Л., Вайнштейн Э. Е., ДАН СССР, 82, 567 (1952).
8. Баринский Р. Л., Диссертация. — Москва, 1951.
9. Stewardson E. A., Wilson J. E., Proc. Phys. Soc., A69, 93 (1956).
10. Левшин В. Л., Фотолуминесценция жидких и твердых веществ. — Гостехиздат, Москва, 1956.

И. Б. БОРОВСКИЙ и Г. Н. РОНАМИ

ВЛИЯНИЕ ТЕПЛОВЫХ КОЛЕБАНИЙ АТОМОВ НА ЭЛЕКТРОННЫЙ
ЭНЕРГЕТИЧЕСКИЙ СПЕКТР МЕТАЛЛОВ И СПЛАВОВ

Исследование распределения интенсивности $I(\omega)$ по частотам в рентгеновских спектрах испускания и поглощения позволяет получать такую важную характеристику для твердых тел, как распределение электронных состояний по энергиям $N(\omega)$. Между $I(\omega)$, $N(\omega)$ и вероятностью переходов между состояниями $f(\omega)$ существует следующее соотношение [1]:

$$I(\omega) = \frac{e^2 \hbar^3 \omega^2 N_0 \Omega G^3}{6 \pi^3 m^2 c^3} \iint \left\{ \left(\frac{\partial E}{\partial k_1} \right)^{-1} \left[\int \dot{\Psi}_k^* \Delta \Psi_0 d\tau \right]^2 \right\} dk_2 dk_3 = AN(\omega) f(\omega).$$

Расчет величин $N(\omega)$ и $f(\omega)$ может быть доведен до численных результатов лишь в грубых приближениях совершенно свободных или сильно связанных электронов при абсолютном нуле температуры; результаты подобных вычислений многократно обсуждались [2, 3].

В работах [4] были сделаны попытки оценить влияние колебаний атомов с изменением температуры твердых тел на так называемую тонкую структуру спектров поглощения с коротковолновой стороны от основного края и на структуру эмиссионных полос (в ультрадлинноволновой области рентгеновского спектра) [5, 6].

В работах [4, 5] взаимодействие электрона, вырванного в процессе поглощения из атома в кристаллической решетке, с фононным полем этой решетки рассматривается как малое возмущение. Следствием такого построения теоретического рассмотрения явилось предсказание явления исчезновения («таяния») тонкой структуры спектра поглощения с коротковолновой стороны от основного края с повышением температуры твердого тела (увеличение амплитуды колебаний атомов). Так, для меди в [5] температура «таяния» была, в соответствии с опытными данными, оценена 800° .

Предпринятое нами исследование ставило своей задачей тщательную проверку выводов предыдущих теоретических и экспериментальных работ [4, 6], так как физически казалось ясным, что колебания атомов в кристаллических решетках металлов и сплавов, амплитуды которых достигают при высоких температурах (вблизи температур плавления) 15—20% межатомных расстояний, должны влиять не только на процессы рассеяния и не должны рассматриваться как малые возмущения.

Специальный интерес представляло выяснение влияния «малых» процессов на процесс «таяния» тонкой структуры спектров поглощения в связи с развиваемыми в последнее время представлениями [7] об образовании разбавленных твердых растворах «атомных блоков» с уменьшенной подвижностью атомов, входящих в сферу действия этих блоков.

Лин-спектры поглощения свинца в металлическом свинце и в сплавах его с оловом, при содержании последнего 0,2, 0,5, 2,0, 10%, были исследованы на спектрографе с изогнутым кристаллом по методу на прохождение. Линейная дисперсия была 4 XE mm^{-1} ; условия съемки—21,5 kV; 20 mA; экспозиция — 5—12 час.

Структура сплавов определялась по данным рентгеноструктурных исследований, подтвердивших, что все сплавы представляли собой твердые растворы (сплав с 10% Sn был получен закалкой от $t = 200^\circ$). Спектры

Энергия фотонов (eV) основного L_{III} -края, максимумов и минимумов тонкой структуры спектра поглощения свинца

Исследуемое вещество	Максимум и минимум	Температура, °C				
		300	200	100	20	—190

С п л а в ы

Pb	Край		13037	13037	13036	13036
	A		—	—	13046	13047
	a		—	—	13050	13050
	B		—	13059	13060	13059
	β		—	13070	13070	13070
	C		—	13085	13085	13084
	γ		—	13100	—	13100
PbSn (0,2% Sn)	D		—	—	—	13114
	Край	13036	13036		13036	13037
	A	13048	13048		13047	13048
	a	13051	13051		13051	13051
	B	—	13062		13061	13062
	β	—	13071		13071	13071
	C	—	13085		13084	13085
PbSn (0,5% Sn)	γ	—	—		—	13101
	D	—	—		—	13114
	Край		13037		13037	13037
	A		13048		13047	13047
	a		13050		13050	13050
	B		13060		13060	13060
	β		13070		13070	13069
PbSn (2% Sn)	C		—		13084	13084
	γ		—		—	13100
	D		—		—	13114
	Край	13037	13037		13036	13037
	A	—	13048		13046	13047
	a	—	13050		13050	13050
	B	—	13062		13059	13061
PbSn (10% Sn)	β	—	13071		13071	13071
	C	—	—		13084	13085
	γ	—	—		—	13100
	D	—	—		—	13114
	Край		13037		13036	13037
	A		—		13046	13048
	a		—		13049	13050
	B		—		13059	13060
	β		—		13070	13070
	C		—		13084	13084
	γ		—		—	13100
	D		—		—	13114

О к и с л ы

PbO ₂	Край				13044	
	B				13064	
	β				13086	
	C				13121	
O	Край				13042	
	B				13058	
	β				—	

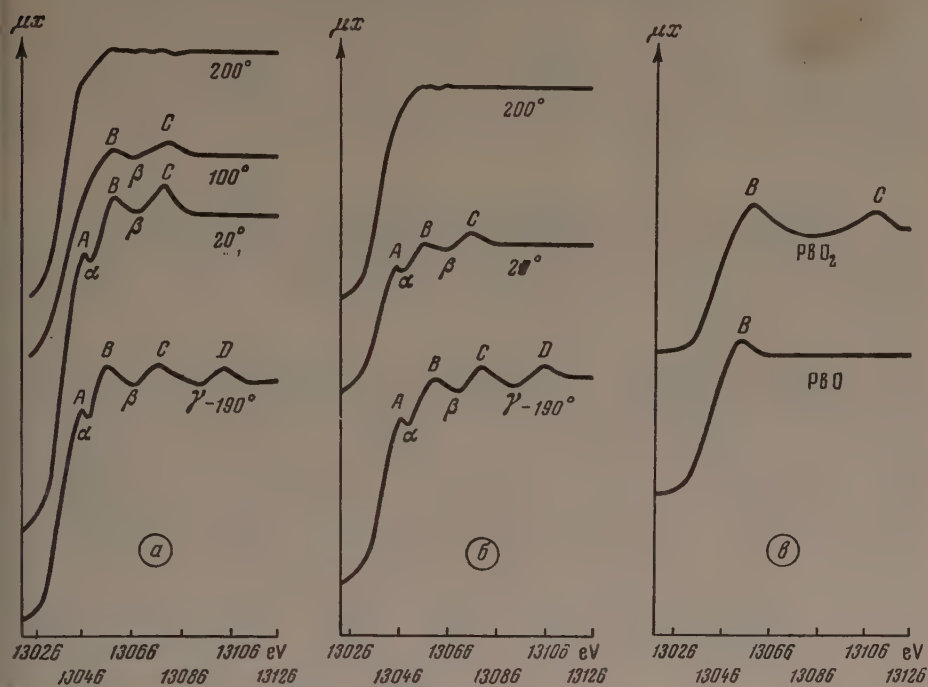


рис. 1. L_{III} — спектры поглощения свинца в металлическом свинце (а), сплаве Pb с 10% Sn (б) и в оксидах PbO и PbO_2 (в)

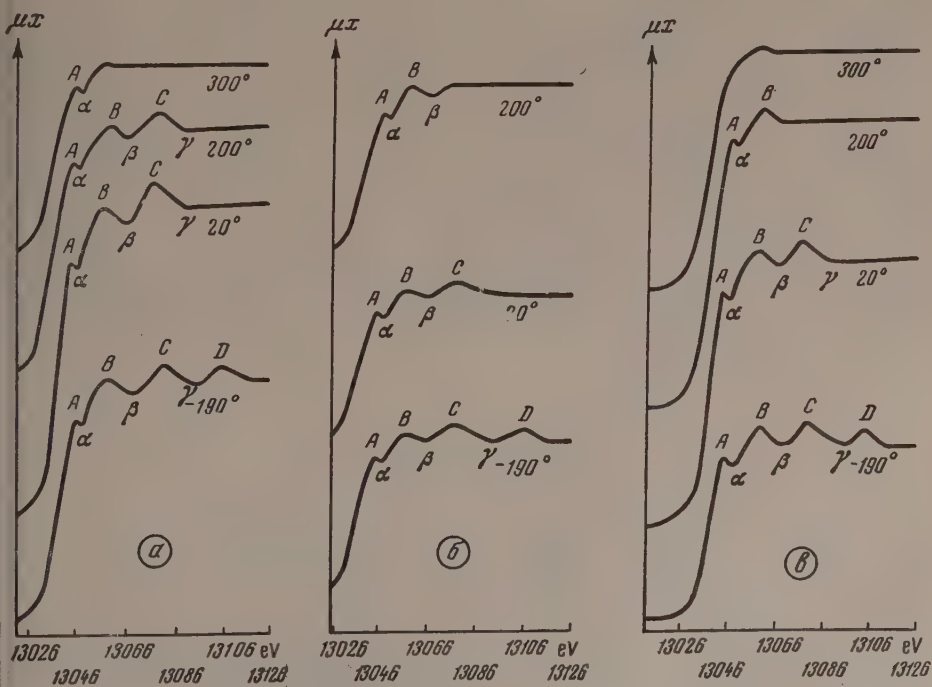


рис. 2. L_{III} — спектры поглощения свинца в сплавах его с оловом: а — 0,2% Sn, б — 0,5% Sn, в — 2% Sn

поглощения были получены при четырех-пяти температурах, в интервале изменения температур от $-190 \div +300^\circ$. Все съемки велись в специальной вакуумной камере (вакуум порядка $1 \cdot 10^{-5}$ мм рт. ст.) Отсутствие окисления при повышенных температурах проверялось съемками одного и того же образца при высокой и после этого при комнатной температурах. Для дополнительного контроля были специально сняты L_{III} -спектры свинца в PbO и PbO_2 .

Усредненные по всем полученным микрофотограммам спектры поглощения представлены кривыми рис. 1—2 (каждая кривая является усреднением по 4—5 спектрограммам). Длины волн характерных точек L_{III} -спектров поглощения свинца в металле и сплавах представлены в таблице.

Анализ полученных экспериментально результатов позволяет сделать следующие выводы.

1. Кроме хорошо известного факта «таяния» тонкой структуры с коротковолновой стороны от основного края поглощения с повышением температуры металла, происходит изменение структуры и самого основного края поглощения. Следовательно, изменение частоты и амплитуды атомных колебаний влияет не только на процессы рассеяния (малое возмущение), но и на весь энергетический спектр кристаллической решетки металла.

2. Интенсивность «таяния» тонкой структуры спектра поглощения и структуры самого основного края поглощения свинца в сплавах с оловом при повышении температуры очень сильно зависит от процентного содержания «легирующего» элемента.

Так, если для чистого металлического свинца и сплава его с 10% олова вся структура спектра поглощения целиком исчезает при температуре, меньшей 200° , то для сплава с содержанием олова 0,2—0,5% структура основного края поглощения сохраняется вплоть до $t = 300^\circ$ (т. е. даже за 27° до температуры плавления).

Следовательно, наличие «малых» примесей (до 1%) существенно изменяет частоты и амплитуды атомных колебаний с возрастанием температуры по сравнению с этими величинами для чистого металла. Следовательно, наличие «примеси» в металле будет влиять как на процессы рассеяния (хорошо известные зависимости, например, остаточного сопротивления при низких температурах, удельной теплоемкости и т. п. от «примесей»), так и на весь энергетический спектр сплава.

Очень грубая оценка влияния амплитуды колебания атомов при данной температуре на искажение потенциала взаимодействия между атомами в чистом металле позволяет говорить, что это искажение может явиться причиной размытия уровней у границы Ферми, что и приведет к исчезновению структуры основного края поглощения.

Моноotonно убывающее влияние «примеси» с увеличением содержания ее находит свое объяснение в развитой ранее теории «атомных блоков» [7].

Более детальные выводы требуют расширения исследования в начатом направлении, поэтому они явятся предметом следующей статьи.

Физический факультет
Московского гос. университета
им. М. В. Ломоносова

Цитированная литература

1. Дирак П., Основы квантовой механики — ОНТИ, М. — Л., 1937; Гейтлер В., Квантовая теория излучения. — М. — К., 1956.
2. Mott N. E., Jones H., Theory a. properties of metals a. alloys., Oxford 1945.
3. Вильсон, Квантовая теория металлов — М. — Л., 1940.
4. Бете и Зоммерфельд, Электронная теория металлов. — ОНТИ, М. — Л., 1938; Костарев А. М., ЖЭТФ, 20, 811 (1950).
5. Костарев А. И., ЖЭТФ, 21, 917 (1951); Докторская диссертация. — 1953.
6. Skinner H. W., Phil. Trans. Roy. Soc., A., 239, 95 (1940); Serpe J., C. R., 202, 1979 (1936).
7. Боровский И. Б. и Гуров К. Л., Физика металлов и металловедение, IV, вып. 1, 1957.

И. Б. БОРОВСКИЙ, К. П. ГУРОВ, С. А. ДИЦМАН, В. А. БАТЫРЕВ
и Н. Д. ЛОБАНОВА

РЕНТГЕНОСПЕКТРАЛЬНЫЕ ИССЛЕДОВАНИЯ ТВЕРДЫХ РАСТВОРОВ

Изучение атомно-электронной структуры сплавов возможно только путем комплексного применения различных методов исследования свойств сплавов (рентгеноспектральных, рентгеноструктурных, диффузионных, оптических, магнитных, электрических, термофизических и т. п.). Среди этих методов исследования рентгеноспектральный метод играет большую роль для изучения электронной структуры металлов и сплавов. Значительная роль этого метода связана с наличием прямой зависимости между распределением интенсивности рентгеновского излучения по частотам и плотностью распределения электронных состояний по энергиям. Поэтому рентгеноспектральный метод может служить чувствительным индикатором изменения электронной структуры сплавов в зависимости от их составов, температуры и т. п.

Настоящее исследование было посвящено изучению изменения электронного энергетического спектра непрерывных бинарных сплавов твердых растворов переходных элементов на примере системы Cr — Mo по всей диаграмме состояний. Специальную часть исследования составляло выяснение влияния относительно малых концентраций одного из компонентов на электронный энергетический спектр атомов основы сплава.

Особый интерес к разбавленным твердым растворам (как мы будем называть в дальнейшем твердые растворы с малым содержанием одного из компонентов) связан с тем, что, как выяснилось в последние годы, особенно чистые металлы обладают физическими свойствами, резко отличающимися от свойств этого же металла с небольшими примесями. Наиболее яркие примеры влияния малых добавок на свойства можно иллюстрировать на Ti, Cr, Mo. Далее, известно большое влияние добавок в сплавы (легирование сплавов малыми добавками) на разнообразные физические свойства сплавов. Наконец, развивая современную теорию сплавов, принципиально следует начинать с рассмотрения бесконечно разбавленных твердых растворов. Поэтому, естественно, наше исследование было начато с изучения рентгеновских спектров образцов металлического хрома различной частоты. Для исследования были выбраны: хром, полученный йодидным путем* (наибольшие примеси в нем составляют газы — азот и кислород), электролитический хром, полученный в ЦНИИЧЕРМЕТ, чистоты 99,90—99,85% и промышленный гидридный, чистоты 99,5%.

Наряду с этим из-за отсутствия в литературе достаточно надежных данных необходимо было провести рентгеноспектральное исследование и чистого металлического молибдена.

С нашей точки зрения, наиболее полные данные о характере изменения электронного энергетического спектра в сплавах или химических соединениях можно получить, исследуя изменения структуры линий и краев поглощения для всех компонентов исследуемого сплава или химического соединения во всех доступных для исследования областях рентгеновского спектра. Поэтому исследование Cr, Mo и сплавов Cr-Mo

* Авторы считают своим приятным долгом выразить благодарность Н. В. Агееву и В. А. Транезникову за предоставление образцов для исследования.

проводилось по следующим линиям испускания: хрома $K_{\alpha_1\alpha_2}$ ($K - L_{II,III}$ -переход), K_{β_1} ($K - M_{II,III}$ -переход) и молибдена K_{β_2} ($K - M_{IV,V}$ -переход), $L_{\alpha_1\alpha_2}$ ($L_{III} - M_{IV,V}$ -переход), L_{β_1} ($L_{II} - M_{IV,V}$ -переход). Эти линии связаны с переходами между глубокими атомными уровнями. Кроме того, изучалась линия хрома K_{β_2} ($K - M_{IV,V}$ -переход) и линия молибдена L_{β_2} ($L_{III} - N_{IV,V}$ -переход), которые обязаны переходам с $3d$ - и $4d$ -полос хрома и молибдена на внутренние $1s$ - и $2p$ -уровни. Исследовались также K - и L_{III} -спектры поглощения хрома и молибдена, соответственно связанные с переходами электронов с $1s$ - и $2p$ -уровней в незаполненную часть полосы проводимости, а также в $3d$ - и $4d$ -полосы.

Сплавы системы $Cr - Mo$ с содержанием Mo до 35% выплавлялись в индукционной печи в вакууме. В качестве основы сплава был взят электролитический хром. Сплавы с содержанием 0,5÷22% гидридного хрома выплавлялись в дуговой печи в атмосфере аргона. Состав полученных сплавов приведен ниже.

Состав сплавов,

% вес Mo 0,1 0,14 0,6 0,8 1,17 1,93 2,64 16,8 30,7 80 94 97 99 99,4 100

Сплавы с содержанием до 35% Mo были подвергнуты гомогенизационному отжигу при температуре 1200° в течение 24 час; сплавы с содержанием от 0,5 до 22% Cr отжигались 12 час при температуре 1400° . Твердый раствор сплавов $Cr-Mo$ фиксировался закалкой в воде со льдом после выдержки в течение 2 час при температуре 1200° .

Металлографический анализ шлифов приготовленных сплавов, травленных 30—40 сек электролитически в 10%-ном растворе щавелевой кислоты при токе 25 мА, показал, что сплавы представляют собой однофазный твердый раствор.

Изучение микротвердости в зависимости от концентрации хрома в сплаве показало, что микротвердость меняется в соответствии с установленной закономерностью изменения твердости для непрерывных твердых растворов. Положение максимума кривой твердости хорошо согласуется с данными [1] (рис. 1).

K -спектр хрома изучался первичным методом на спектрографе с фокусировкой рентгеновского излучения по Иоганну ($R = 500$ мм) во втором порядке отражения от кристалла кварца ориентировки (1010). В качестве линий сравнения использовались K_{α_1} Fe и K_{α_1} Mn во втором порядке отражения.

Во избежание окисления образцов при исследовании спектров испускания режим работы выбирали пониженным (1—2 мА при 25 кВ). Металлографические исследования шлифов хрома, помещавшихся на анод рентгеновской трубки, не показали каких-либо признаков изменения структуры поверхности шлифа и следов окисления после воздействия электронного пучка. Спектры поглощения хрома исследовались при плотности поглопителя 4—5 мг см⁻².

Таблица 1

Положение линий K_{β_1} , K_{β_2} и K -края поглощения йодидного, электролитического, гидридного хромов

Хром	K_{β_1}		K_{β_2}		K -край		Индекс асимметрии K_{α_1}
	ХЕ	eV	ХЕ	eV	ХЕ	eV	
Йодидный	2080,41 ±0,04	5946,1 ±0,1	2066,45 ±0,03	5986,3 ±0,1	2065,76 ±0,08	5988,3 ±0,03	1,30 ±0,06
Электролитический	2080,61 ±0,05	5945,5 ±0,1	2066,59 ±0,03	5986,0 ±0,1	2066,03 ±0,06	5987,5 ±0,2	1,4 ±0,06
Гидридный	2080,79 ±0,04	5945,0 ±0,1	2066,73 ±0,05	5985,5 ±0,1	2066,1 ±0,1	5987,5 ±0,1	1,20 ±0,04

Использовался вольфрамовый анод. Режим работы трубки 30 мА при 25 кВ; экспозиция — 0,25÷1 час. В табл. 1 приведены данные по исследованию параметров указанных линий и краев поглощения как среднее из 8—10 спектров.

На рис. 2 приведен ход коэффициента поглощения в области K -края поглощения йодидного хрома (ход коэффициента поглощения для электролитического и гидридного хрома аналогичен).

L -спектры испускания и поглощения молибдена исследовались на указанном выше спектрографе в первом порядке отражения. Изучался молибден чистоты 99,1 %.

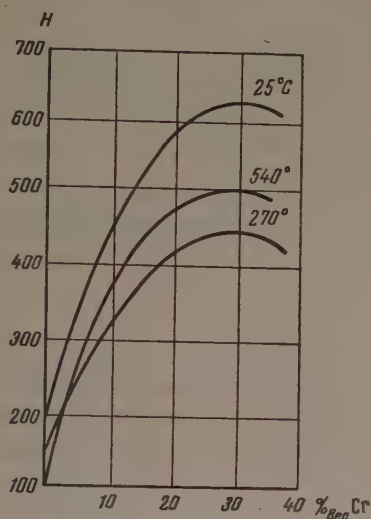


Рис. 1. Микротвердость сплавов Cr-Mo [1]

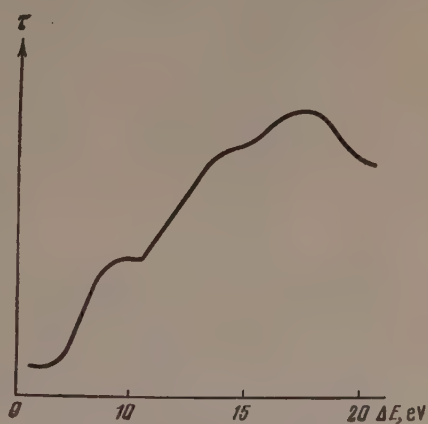


Рис. 2. K -край поглощения Cr для йодидного хрома

В качестве линий сравнения использовались: для L_{α_1, α_2} Mo — K_{α_1} Ti (второй порядок отражения) и K_{α_1} S (первый порядок отражения); для L_{β_1} Mo и L_{β_2} Mo — линии L_{β_1} Ba и L_{β_2} Ba и при исследовании L_{III} -края поглощения молибдена — K_{α_1, α_2} V (второй порядок отражения) и K_{α_1} Cl (первый порядок отражения). Режим работы трубки: 5 мА при 15 кВ и 30 мА при 5,5 кВ (соответственно при съемке спектров испускания и поглощения). Ход коэффициента поглощения в области L_{III} -края поглощения Mo для металлического молибдена и соединений MoS_2 и MoO_3 приведен на рис. 3. В табл. 2 приведены данные о положении в шкале энергий характерных точек края поглощения.

Рентгеноспектральные исследования твердых растворов системы Cr—Mo проводились на указанных ранее сплавах. Спектры хрома и молибдена в сплавах получались в экспериментальных условиях, при-

Таблица 2

Положение характерных точек L_{III} -края поглощения молибдена

Точки спектра	Исследуемое вещество		
	Mo металлич.	MoO_3	MoS_2
A	$2519,3 \pm 0,1$	$2521,3 \pm 0,1$	$2520,1 \pm 0,1$
B	$2522,8 \pm 0,1$	$2525,0 \pm 0,1$	$2523,6 \pm 0,1$
C	—	$2527,2 \pm 0,2$	—

менявшихся при исследовании спектров чистого хрома и молибдена. Были исследованы линии K_{β_1} , K_{β_2} , K_{α_1, α_2} , сателлит $K_{\beta'}$ Cr и K -край поглощения хрома; эмиссионные линии L_{α_1, α_2} , L_{β_1} , L_{β_2} , K_{β_1} , K_{β_2} молибдена и L_{III} -край поглощения молибдена. Данные о положении по длинам волн максимумов изученных эмиссионных линий и краев поглощения приведены в работе [2]. На рис. 4 представлена форма сателлита $K_{\beta'}$ Cr для

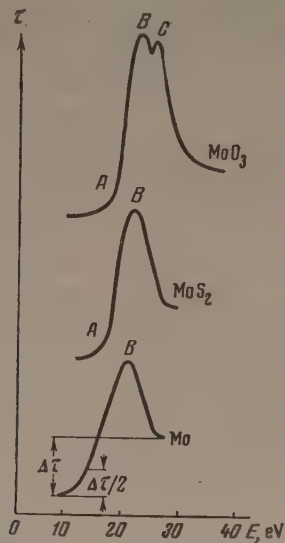


Рис. 3. L_{III} -край поглощения Mo для металлического молибдена и в соединениях

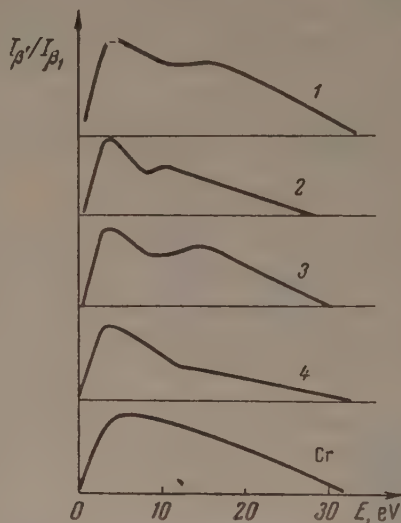


Рис. 4. Форма сателлита $K_{\beta'}$ для чистого хрома и сплавов Cr-Mo: 1 — 97% Mo, 2 — 94% Mo, 3 — 80% Mo, 4 — 30% Mo

чистого хрома и некоторых сплавов. Ход коэффициента поглощения вблизи K - L_{III} -краев поглощения хрома и молибдена в сплавах аналогичен ходу соответствующих кривых чистого хрома и молибдена, представленных на рис. 2 и 3.

Положение линий K_{β_1} и K_{β_2} молибдена в сплавах в пределах ошибок эксперимента не изменяется.

Специальное исследование было проведено с целью выяснения влияния условий возбуждения на основные параметры эмиссионных линий K_{β} Cr и L_{β_2} Mo и поверхностной плотности поглотителя на L_{III} -спектр поглощения молибдена.

Представленная на рис. 5 зависимость формы L_{β_2} -линии молибдена от напряжения, приложенного к рентгеновской трубке, показывает, что коротковолновый край исследованной линии при напряжениях, больших 3,6 kV, искажается реabsорбцией излучения в материале анода. Аналогичное искажение имеет место и для коротковолновой части линии K_{β} хрома. В табл. 3 и 4 приведены данные о зависимости индекса асимметрии и ширины линий K_{β} Cr и L_{β_2} Mo от напряжения на рентгеновской трубке.

В свете установленных нашими исследованиями фактов необходимо с осторожностью подходить к имеющимся в литературе данным об изменении формы последних эмиссионных линий (таких, как K_{β} Cr и L_{β_2} Mo). Во избежание ошибочной интерпретации смещения середины коротковолновой части подобных линий как следствия изменения числа заполненных электронных состояний в различных химических соединениях и сплавах, необходимо в каждом специальном случае учитывать изменение положения и структуры соответствующего края поглощения.

Таблица 3

Индекс асимметрии K_{β_2} линии Cr

Напряжение на трубке, kV	7	8	9	10	30
Индекс асимметрии K_{β_2} Cr	1,8	1,7	2	2,4	2

Таблица 4

Зависимость формы L_{β_2} -линии Mo от напряжения

Напряжение на трубке, kV	3,6	5	5,2	6	10	30
Индекс асимметрии L_{β_2} Mo	1	1,2	1,2	1,2	1,5	1,6
Ширина L_{β_2} Mo, eV	6	5,3	5,3	5,3	5,4	4,9

Исследование зависимости характера L_{III} -края поглощения молибдена от плотности поглотителя показало следующее. Применявшаяся обычно плотность 2—4 мг см⁻² приводит к существенному искажению формы L_{III} -края поглощения и полному исчезновению селективной линии поглощения (рис. 6). Использование в данной работе поглотителей с плотностью порядка 1 мг см⁻² (что для веществ с большой объемной плотностью (Mo и MoS₂) представляет значительные трудности) позволило получить действительный ход коэффициента поглощения в области L_{III} -края поглощения (см. рис. 3) в металле, сплавах и соединениях,

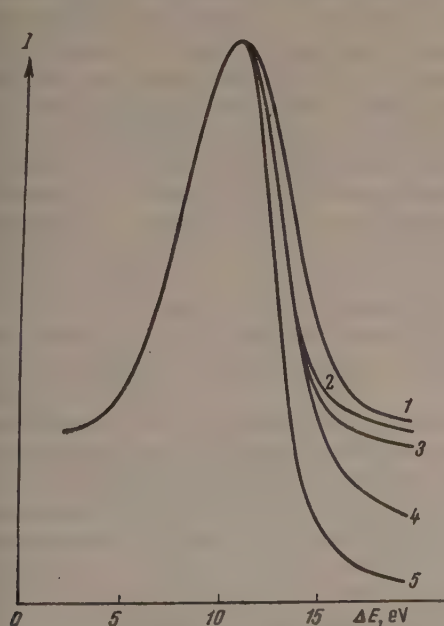


Рис. 5. Форма линии L_{β_2} Mo. Напряжение на трубке: 1—3,6 kV, 2—5 kV, 3—5,2 kV, 4—10 kV, 5—30 kV,

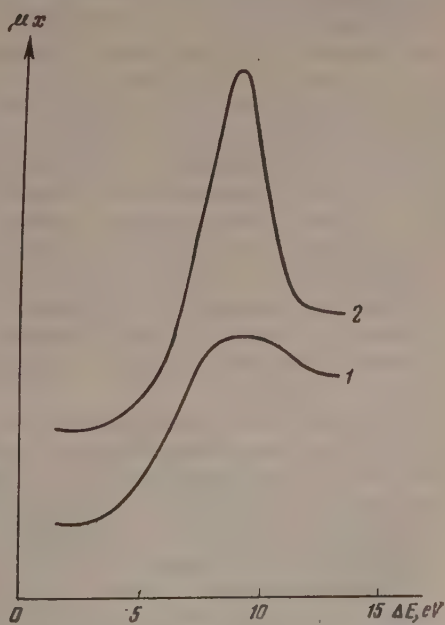


Рис. 6. L_{III} -спектры поглощения Mo при плотностях поглотителя: 1—3 мг см⁻², 2—1 мг см⁻²

во многих основных чертах отличающийся от данных, имеющихся в литературе [3].

Рассмотрение экспериментальных результатов рентгеноспектральных исследований позволяет констатировать следующее.

1. Для трех образцов металлического хрома различной степени чистоты экспериментально надежно фиксируется изменение параметров линий рентгеновского спектра K_{β_1} , K_{α_1} , K_{β_2} . Две из указанных линий K_{α_1} , K_{β_1} обязаны своим происхождением переходам между глубокими атомными уровнями: $K - L_{III} (1s - 2p)$ и $K - M_{II, III} (1s - 3p)$, соответственно; линия K_{β_2} связана с переходом электронов с $3d$ -полосы, перекрывающейся с полосой проводимости, на внутренний K -уровень ($1s$).

По мере уменьшения содержания примеси в хrome от гидридного к йодидному линии K_{β_1} и K_{β_2} смещаются в коротковолновую сторону. Индекс асимметрии линии K_{α_1} меняется очень резко. Положение K -края поглощения и ход коэффициента поглощения не меняется.

2. Для характеристики относительного поведения электронного энергетического спектра при переходе от чистых металлов к сплавам можно выбрать изменение по абсолютной величине энергии уровней Cr и Mo в сплавах $Cr-Mo$ относительно энергии соответствующих уровней чистого хрома и молибдена. При такой сравнительной оценке будем исходить из предположения, что энергия K -уровня ($1s$) для атомов в чистом металле и сплаве сохраняет постоянное значение. Тогда окажется, что энергия уровня $M_{II, III} Cr$ возрастает по абсолютной величине при переходе от электролитического Cr к сплавам с содержанием примеси от 0,14 до 1%, оставаясь далее постоянной до содержания Mo порядка 31%. Аналогичное смещение наблюдается для уровня $M_{IV, V}$ хрома. Однако, испытав заметное смещение в области малых содержаний примеси, этот уровень сохраняет постоянное по абсолютной величине значение энергии относительно чистого хрома вплоть до сплавов с 2,5% Mo . В сплавах с большей концентрацией Mo наблюдается дальнейшее увеличение абсолютного значения энергии $M_{IV, V}$ -уровня хрома. Наибольшее значение смещения $M_{IV, V}$ -уровня в исследованных сплавах имеет место в сплаве с содержанием 80% Mo .

Рассмотрение поведения уровней $M_{IV, V}$ и $N_{IV, V}$ молибдена в сплавах показывает, что при малом содержании примеси хрома в молибдене (до 1%) энергия $M_{IV, V}$ - и $N_{IV, V}$ -уровней по абсолютной величине возрастает. Дальнейшее увеличение концентрации хрома уменьшает абсолютное значение энергии $M_{IV, V}$ и $N_{IV, V}$ -уровней. При этом $M_{IV, V}$ -уровни почти сохраняют абсолютное значение их энергии с тенденцией к небольшому уменьшению в сплавах с большим содержанием Cr . Для $N_{IV, V}$ -уровней характерно начальное резкое уменьшение абсолютного значения его энергии и в области сплавов с 20—70% Cr .

Практически постоянное значение индекса асимметрии линии $K_{\alpha_1 Cr}$ во всех исследованных сплавах (за исключением сплава с 0,07% Mo) является, с нашей точки зрения, экспериментальным подтверждением исходного предположения о неизменности энергии K -уровня в атомах хрома в сплавах.

Дополнительно следует отметить, что для ряда сплавов с последовательным увеличением содержания в них Mo форма сателлита $K_{\beta'}$ Cr существенно меняется и при больших концентрациях молибдена распределение интенсивности в них становится практически идентичным с распределением интенсивности для сателлита $K_{\beta'}$ Mn (элемента атомного номера, на единицу большего, чем у хрома).

Такое поведение электронных энергетических уровней атомов возможно объяснить следующим образом. Увеличение по абсолютному значению энергии уровня связано, в первую очередь, с увеличением эффективного заряда ядра, которое может происходить, например, за счет потери части $3d$ -электронов в результате пространственного перераспределения

электронов под влиянием изменения концентрации второго компонента твердого раствора. Таким образом, увеличение по абсолютному значению энергии уровней атомов свидетельствует о приобретении ими избыточного положительного заряда по сравнению с их зарядностью в чистом металле, тогда как уменьшение абсолютного значения энергий уровней свидетельствует об уменьшении эффективного заряда ядра.

Рассмотрение с этой точки зрения экспериментальных данных приводит к предположению, что в сплавах Cr-Mo Mo как примесь имеет избыточный отрицательный заряд, а хром как основа — положительный; изменение зарядности не сказывается, однако, на форме линий K_{β} , Cr и L_{β_1} Mo, так как в среднем (на атом) это изменение мало.

В сплавах с малым содержанием Cr атом Cr как примесь также имеет некоторый избыточный отрицательный заряд.

В сплавах в интервале концентраций 1÷30% Mo хром имеет положительный избыточный, а молибден — отрицательный избыточный заряд.

* * *

Установленные факты — влияние малых примесей на электронный энергетический спектр атомов элемента — основы сплава и деформация почти всех электронных энергетических уровней атома (включая и наиболее глубокие) — позволили нам развить некоторые новые представления по теории разбавленных твердых растворов на основе элементов переходных групп (элементов с дефектными $(n-1)d$ - и $(n-1)f$ -оболочками). Сущность этих модельных представлений состоит в следующем.

В работах [4, 5] нами уже отмечалось, что малые концентрации примесей замещения оказывают резкое влияние на свойства металла основы и, в частности, на его электронный спектр. Приведенные выше опытные данные по рентгеноспектральным исследованиям позволяют уточнить развиваемые нами теоретические представления. Согласно этим представлениям [6], важнейшим результатом влияния примесей в переходных металлах является образование атомных блоков размерами 10^{-7} см с повышенной прочностью связей атомов в этих блоках. В настоящей статье нас интересует не величина этой дополнительной межатомной связи, а характер изменений в спектре. Эти изменения и являются первичной причиной образования упомянутых связей.

При теоретическом рассмотрении исходной является модель для бесконечно разведенного твердого раствора («одна примесь в металле»).

Пусть зарядность атомных остовов металла-основы равна $+Ze$ — абсолютная величина заряда электрона; следовательно, Z электронов каждого атома отданы в обобществленную полосу проводимости). На основании опытных данных по рентгеноспектральным исследованиям разведенных твердых растворов делается заключение, что металлический примесный атом, попадая в металл, теряет свои слабо связанные валентные электроны, отдавая их в полосу проводимости электронного спектра металла-основы. Тем самым примесный атом приобретает определенную положительную зарядность.

Однако, если примесью является переходный элемент, имеющий недостроенную внутреннюю электронную оболочку, положение с определением зарядности примеси усложняется в связи с тем, что в зависимости от сравнительного расположения энергетического электронного спектра металла-основы и электронного спектра недостроенной оболочки примеси возможны как потеря, так и приобретение электронов этой оболочкой и соответствующее изменение «обычной» зарядности [7]. Зарядность примеси может оказаться как больше, так и меньше зарядности атомных остовов основы.

Задачу о влиянии возмущающего действия примеси замещения на электронный спектр металла-основы удобнее всего решать в представлении, что во всех узлах имеется одинаковая зарядность, создающая

идеальный периодический потенциал решетки, которому соответствует нормальный невозмущенный спектр металла-основы. В узле, где находится примесь, кроме нормального заряда, помещается еще «избыточный заряд», возмущающий электронный спектр. Задача, таким образом, сводится к проблеме определения возмущающего действия избыточного заряда на известный невозмущенный спектр чистого металла-основы. Избыточная зарядность определяется как разность между истинными зарядностями примеси и атомного остова металла-основы. Очевидно, избыточная зарядность может быть как положительного, так и отрицательного знака.

Избыточная зарядность экранируется электронами проводимости (а частично и электронами недостроенных оболочек). Экранирование означает изменение пространственной плотности электронов (уплотнение их в окрестности примеси с положительным избыточным зарядом и разрыхление вокруг примеси с отрицательным избыточным зарядом). С энергетической точки зрения этому соответствуют локальные уплотнения или разрыхления квазиуровней в полосе проводимости [8]. При такой локальной деформации полосы проводимости происходит сдвиг всех квазиуровней полосы проводимости. При этом при локальном уплотнении часть незанятых уровней, лежащих выше уровня Ферми, сместится вниз и окажется под ним; аналогично — при разрыхлении часть занятых уровней в соответствующей локальной области сместится из-под уровня Ферми вверх и окажется над ним. В обоих случаях произойдет пространственное перераспределение электронов для выравнивания их энергий по уровню Ферми. В результате и получается упомянутое выше экранирование избыточного заряда примеси.

Вне этой области влияние примеси практически пренебрежимо мало. Область экранирования ограничивается некоторой окрестностью примесей. Таким образом, эффективный возмущающий потенциал оказывается короткодействующим. Форма и величина деформации электронного спектра в первую очередь определяется видом этого потенциала. Как показывают теоретические и экспериментальные исследования [4, 8—10], возмущающий потенциал в случае бесконечно разведенного твердого раствора достаточно удовлетворительно можно аппроксимировать в виде

$$W(r) = \frac{Z'e}{r} e^{-qr}, \quad (1)$$

где r — расстояние от примеси, $Z'e$ — избыточный заряд (могущий быть обоих знаков) примеси, q — параметр, вообще говоря, зависящий от Z' и определяющий эффективный радиус действия примеси $R_{\text{эф}}$. В случае конечных концентраций примеси форма потенциала, очевидно, сложнее. Однако, если концентрация примеси такова, что между примесями существует только статистическая корреляция в равномерности ее пространственного распределения, но отсутствует прямое взаимодействие (расстояние между примесями больше их эффективного радиуса действия), то при грубо качественных оценках различных характеристик можно использовать для возмущающего потенциала формулу (1). Область концентраций, где допустимо такое приближение, эмпирически можно определить, например, из опытных данных по зависимости коэффициента самодиффузии элемента металла-основы от концентрации примеси (см. [11]).

Математические оценки результатов действия примеси в настоящее время можно производить в так называемом приближении «жесткой полосы», в котором принимается, что все квазиуровни полос спектра электронов металла-основы в какой-либо пространственной точке под влиянием примеси смещаются на одну и ту же величину, определяемую просто потенциальной энергией возмущающего действия примеси на электрон в данной точке (точнее, у данного атомного остова).

Если величину смещения обозначить через ΔE , то в приближении «жесткой полосы» (см. [1, 6]):

$$\Delta E = -eW(r) \quad (2)$$

для любого уровня (с любым значением E^0 — энергии уровня при отсутствии возмущения).

Однако в общей теории возмущения этой формулы получить нельзя. В связи с этим весьма существенно проанализировать характер допущений, неявно делаемых при использовании этого приближения, даже в тех случаях, когда не предполагают малость $|eW(r)|$ по сравнению с энергией уровня Ферми [9].

Наш теоретический анализ [2] показал, что приближение жесткой полосы получается только в том случае, если периодическую часть блоховских функций можно аппроксимировать при помощи атомных функций, подчиняющихся очень жестким условиям локализации. Следовательно, это приближение лучше подходит для внутренних, а не для внешних электронов, что очевидно из физических соображений. Однако применимость приближения к глубоким внутренним электронам обесценивается тем обстоятельством, что влияние примеси на них затушевывается более сильным влиянием изменения энергетического спектра электронов соседней оболочки (более внешней). Кроме того, эффективность влияния примеси понижается для электронов глубоких оболочек (в многоэлектронных атомах для 1s-электронов влияние примеси можно считать исчезающе малым).

Для внешних же электронов и, в первую очередь, для электронов полосы проводимости приближение жесткой полосы может служить лишь для грубо качественных ориентировочных оценок. Более интересны эти оценки будут для электронов недостроенных оболочек, имеющих общий уровень Ферми с электронами проводимости.

Как уже отмечалось, в экранировании избыточной зарядности примеси участвуют также электроны с недостроенных оболочек атомных остовов металла-основы, например 3-d электроны у хрома. Это означает, что при выравнивании энергий электронов по уровню Ферми некоторые атомные остовы хрома в окрестности примеси потеряют или приобретут 3 d-электроны. В среднем эти атомные остовы будут иметь теперь новую зарядность, так что их можно рассматривать как индуцированные примеси с избыточной зарядностью, знак которой противоположен знаку избыточной зарядности основной примеси.

При помощи приближения жесткой полосы оценить эту зарядность можно следующим образом.

Пусть $R_{эф}$ — эффективный радиус действия основной примеси. Тогда общая величина экранирующего заряда, приходящаяся на 3 d-электроны, определится, очевидно, по формуле:

$$(Ze)_{3d} = \int e \{ \rho_{3d}(E_{\Phi}) - \rho_{3d}^0(E_{\Phi}) \} d\tau, \quad (3)$$

где $\rho_{3d}^0(E_{\Phi})$ и $\rho_{3d}(E_{\Phi})$ — пространственные плотности 3 d-электронов в чистом металле и в случае наличия примесей. Далее, имеем

$$\rho_{3d}(E_{\Phi}) = \rho_{3d}^0(E_{\Phi} + \Delta E_{\Phi}). \quad (4)$$

Величина сдвига ΔE ничтожно мала. Поэтому

$$\rho_{3d}(E_{\Phi}) = \rho_{3d}^0(E_{\Phi}) \approx \Delta E_{\Phi} \left(\frac{\partial \rho_{3d}^0}{\partial E} \right)_{E=E_{\Phi}}. \quad (5)$$

В приближении «жесткой полосы»

$$\Delta E_{\Phi} = -eW(r). \quad (6)$$

Кроме того $\left(\frac{\partial \rho_{3d}^0}{\partial E}\right)_{E=E_F} = n_{3d}^0(E_F)$ — плотность уровней $3d$ -полосы около уровня Ферми в чистом металле. Далее, поскольку атомные размеры малы, распределение $3d$ -электронов можно считать во всех случаях сферически симметричным относительно основной примеси. Тогда получим

$$(Ze)_{3d} = -4\pi e^2 n_{3d}^0(E_F) \int_0^{R_{эф}} W(r) r^2 dr. \quad (7)$$

Этот экранируемый заряд распределен в сфере радиуса $R_{эф}$. Число атомных остовов основы в этой сфере равно

$$x \frac{\frac{4\pi}{3} R_{эф}^3}{V_{яч}}, \quad (8)$$

где $V_{яч}$ — объем элементарной ячейки; для хрома с объемно-центрированной кубической решеткой $V_{яч} = a^3$; x — число атомов, приходящих на одну элементарную ячейку (у хрома $x = 2$). Таким образом, средний индуцированный $3d$ -заряд, приходящийся на один атомный остов основы в области, где эффективно действие примеси, равен

$$(\overline{Ze})_{3d} = \frac{-4\pi e^2 n_{3d}^0(E_F) \int_0^{R_{эф}} W(r) r^2 dr}{x \frac{\frac{4\pi}{3} R_{эф}^3}{a^3}}. \quad (9)$$

В оптимальном случае действия примеси, когда блоки охватывают весь объем системы, но основные примеси между собой не взаимодействуют, величина $(\overline{Ze})_{3d}$ будет средней избыточной индуцированной зарядностью, приходящейся на каждый атомный остов системы. Такое изменение средней зарядности должно, согласно правилу Мозли, сказаться на величинах рентгеновских термов; направление изменения этих термов дает однозначный ответ о знаке индуцированной избыточной зарядности атомных остовов основы, а следовательно, и о знаке избыточной зарядности примеси.

В свете этих теоретических соображений можно удовлетворительно объяснить характер изменения рентгеновского спектра переходного металла в зависимости от концентрации примеси.

Итак, для определения величины зарядности атомов примесей и атомов основы необходимо из рентгеновских спектров определить величину $n_{3d}^0(E_{эф})$. По экспериментальным данным, приведенным выше, подобной качественной оценки пока провести невозможно. Для осуществления этой возможности необходимо продолжить исследования в области ультрадлинноволнового спектра, исследовав L - и M -спектры Cr и Mo. В длинноволновой области получается значительно большая разрешающая способность по энергиям (порядка 0,05—0,1 eV); только с подобными величинами разрешающей способности можно рассчитывать получить количественные данные.

Непосредственно величину зарядности атомов примеси можно получить при изучении характера электролиза атомов элементов в твердых растворах [12].

Заключение

В результате рентгеноспектрального исследования электронного энергетического спектра твердых растворов и теоретического анализа проблемы разбавленных твердых растворов мы приходим к следующим общим выводам.

1. В разбавленных твердых растворах вблизи атомов примесей, имеющих отрицательный избыточный заряд, образуются «атомные блоки» эффективным радиусом действия 10^{-7} см (в случае, если атомами основы являются атомы элементов переходных групп). В пределах этих блоков возникают дополнительные силы взаимодействия; потенциал этих сил имеет характер короткодействующего (обрезанного) потенциала.

2. Наиболее сильно влияние этих «блоков» сказывается на энергетический электронный спектр до тех пор, пока отсутствует взаимодействие между примесными атомами.

3. В пределах значительного интервала изменения концентрации возникающая дополнительная связь, имеющая полярный характер, сохраняется для твердых растворов системы $\text{Cr} - \text{Mo}$ (хотя теперь уже нет доков и связь эта слабее). Со стороны Cr этот интервал «постоянной дополнительной связи» сохраняется в пределах $2 \div 30\%$ молибдена; со стороны $\text{Mo} - 3 \div 20\%$ Cr .

4. Когда Mo или Cr являются примесными атомами, каждый из них относительно атомов основы (Cr и Mo соответственно) имеет избыточный отрицательный заряд.

5. Для интервала концентраций $\text{Cr} 38 \div 70\%$ в твердых растворах его Mo Cr имеет положительный, а Mo — отрицательный избыточный заряд, в сравнении с их зарядностью в чистых металлах.

Лаборатория физических методов исследования
Института металлургии им. А. А. Байкова
Академии наук СССР

Цитированная литература

- Kessler, Hansen, Trans. Am. Soc. Met., 42, 1008 (1953).
Боровский И. Б., Гуров К. П., Дидман С. А., Батырев В. А., Лобанова Н. А., Сб. «Исследование по жаропрочным сплавам», т. III, Изд. АН СССР, М., 1957.
Баринский Р. Л., ДАН СССР, 83, 381 (1952).
Боровский И. Б., Гуров К. П., Сб. «Исследование по жаропрочным сплавам», т. II. — Изд. АН СССР, М., 1957.
Боровский И. Б., Дидман С. А., Батырев В. А., там же.
Боровский И. Б., Гуров К. П., Физика металлов и металловедение, 4, вып. 1, 187 (1957).
Jones H., Phil. Mag. 44, 355 (1953).
Friedel J., Adv. in Phys., 3, 12 (1954).
Alfred L. C. R., March N. H., Phil. Mag., 46, 759 (1955).
Mott N. F., Jones H. The theory of the properties of metals and alloys. — Oxford, 1945.
Боровский И. Б., Гуров К. П., Миллер Ю. Г., ДАН СССР, 118, 1958.
Францевич И. Н., Калинин Д. Ф., Сб. «Вопросы порошковой металлургии и прочности материалов». — Киев, 1956.

И. Б. БОРОВСКИЙ и В. В. ШМИДТ

ИСПОЛЬЗОВАНИЕ РЕНТГЕНОВСКОЙ УСТАНОВКИ УРС-50-И
В РЕЖИМЕ ДВОЙНОГО КРИСТАЛЛСПЕКТРОМЕТРА

Применение двойного кристаллспектрометра в рентгеноспектральных и рентгеноструктурных исследованиях позволило решить большое число задач, недоступных при использовании других монохроматоров. Основные особенности метода двухкристального спектрометра — это возможность точного учета несовершенства кристалла монохроматора и строгая монохроматизация излучения. Эти особенности позволяют получать такие важные физические характеристики, как естественную ширину линии характеристического рентгеновского спектра [1], дифракционную картину под очень малыми углами [2], количество дефектов роста монокристаллов (так называемых дислокаций) [3], прецизионное измерение постоянных органических кристаллов (порядка 450—500 Å).

Несмотря на очевидную важность подобных исследований и большую распространенность их за рубежом, в СССР до настоящего времени не было ни одной подобной установки, ни одного подобного исследования.

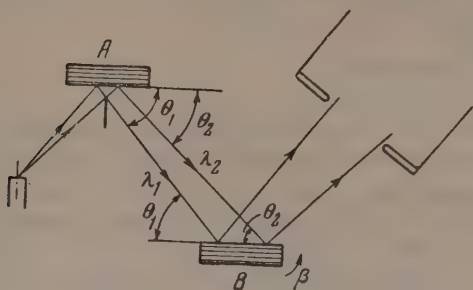


Рис. 1. Положение (1, -1)

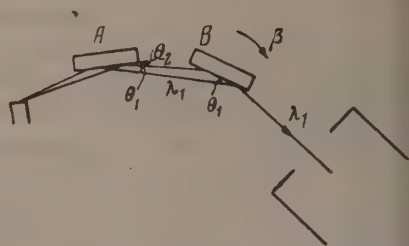


Рис. 2. Положение (1, +1)

После выпуска в Советском Союзе установки УРС-50-И нами были предприняты некоторые усовершенствования ее, позволившие осуществить работу УРС-50-И в режиме двойного кристаллспектрометра. Напомним кратко сущность основных положений двухкристального спектрометра.

Положение (1, -1) (рис. 1): оба кристалла параллельны, отражение в первом порядке. Кристалл А рассортировывает все падающее на него излучение в параллельные пучки по длинам волн. Если луч λ_1 отражается от кристалла А под углом θ_1 , то он падает на кристалл В под тем же углом и, следовательно, может отразиться. То же самое можно сказать и про луч λ_2 . Дисперсия прибора в этом положении равна нулю.

Предположим, что оба кристалла совершенно идеальны, т. е. отсутствуют не только мозаичность, но и динамическая интерференция (отражение точно под углом Вульфа—Брэгга). Тогда ничтожный поворот кристалла В вокруг его оси полностью прекращает отражение в счетчик. Если же кристаллы не идеальны, то интенсивность, регистрируемая счетчиком как функция угла β поворота кристалла В, изобразится некоторой кривой с максимумом. Ширина этой кривой отражения в положении (1, -1) характеризует качества кристаллических поверхностей обоих кристаллов.

Положение (1, +1) (рис. 2): кристаллы антипараллельны, отражение в первом порядке. Если кристалл В образует угол Вульфа—Брэгга θ_1 с лучом λ_1 , то луч λ_2 уже никак отразиться не может. Теперь прибор обладает дисперсией, и кривая отражения дает форму спектральной линии.

Основной частью двухкристального спектрометра является гониометр УР-3. На гониометре имеется монохроматор, в кристаллодержателе которого крепится кристалл *A*. Кристалл *B* крепится в кристаллодержателе образца. Работа в режиме двухкристального спектрометра проводилась при полном удалении всех щелей. На первый кристалл было поставлено излучение. Для исследования тонкой структуры рентгеновских спектров нами использовались кристаллы кальцита, обработанные по методу, описанному [4]. На двухкристальном спектрометре надо уметь фиксировать поворот второго кристалла на несколько секунд. Поскольку цена деления лимба гониометра ГУР-3 равна $1'$, необходимо поставить дополнительную червячную передачу. Передача, дающая поворот второго кристалла на $18''$ при полном обороте червяка, дала вполне надежные результаты.

Удовлетворительной работы УРС-50-И в режиме двухкристального спектрометра можно добиться только в результате чрезвычайно тщательной юстировки. Она сводится в основном к следующему: 1) совмещение оси вращения кристалла *B* с его отражающей плоскостью и

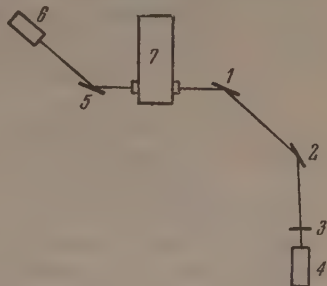


рис. 3. Схема установки для исследования спектра поглощения: 1 — первый кристалл, 2 — второй кристалл, 3 — поглотитель, 4 — счетчик Гейгера-Мюллера, 5 — дополнительный кристалл, 6 — дополнительный контрольный счетчик, 7 — рентгеновская трубка

совмещение оси кристалла *B* с плоскостью, параллельной отражающей плоскости кристалла *A*. Было проведено специальное теоретическое исследование точности показаний двухкристального спектрометра и влия-

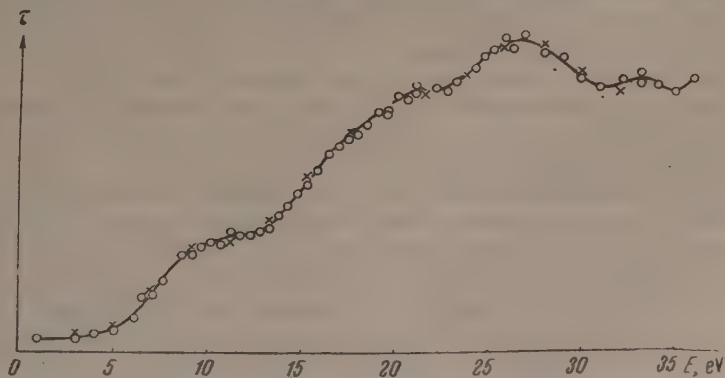


Рис. 4. К-край поглощения Fe

ния на нее указанных разъюстировок. Основные результаты следующие: ось вращения кристалла *B* образует угол δ с его отражающей плоскостью; тогда в положении $(I, -I)$ кривая отражения будет шире кривой отражения при идеальной юстировке на величину

$$\Delta\beta \approx k\varphi_m\delta + \frac{\varphi_m^2\delta^2}{b}, \quad 0 \leq k \leq 1,$$

где φ_m — максимальная вертикальная расхожимость, b — ширина дифракционной картины от кальцита ($\sim 10^{-5}$ радиан).

Если принять $\varphi_m \approx 10^{-2}$, $\delta \sim 1'$, то $\Delta\beta \approx 1''$. Вторая разъюстировка дает к аналогичному результату.

Если предположить, что исследуется спектральная линия, имеющая дисперсионную форму, полуширина которой β_0 , то относительное уширение линии за счет разъюстировки в положении $(1, +1)$ оценивается как

$$\frac{\Delta\beta}{\beta_0} \approx k\varphi_m \frac{\delta}{b} + \frac{\varphi_m^2 \delta^2}{b^2} \approx 0,1 \quad \text{при } \varphi_m \approx 10^{-2}, \delta \approx 1'.$$

Из этих расчетов видно, что юстировку надо производить с точностью $\delta = 1'$. Такая юстировка была проведена при помощи катетометра КМ-5.

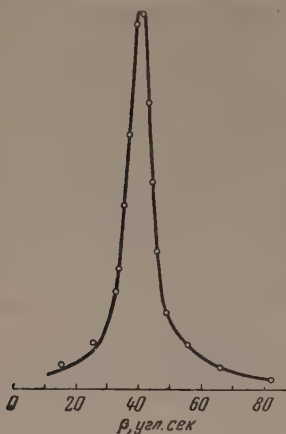


Рис. 5. Кривая отражения в положении $(1, -1)$. Сплошная линия — дисперсионная кривая; точки — экспериментальные

После этого в положении $(1, -1)$ на излучении K_α Мо ширина полученной кривой отражения равнялась $6,5''$, теоретическое значение этой ширины в предположении полного отсутствия мозаичности кристалла равно $4,5''$ [5].

Согласно [6], для регистрации спектра поглощения необходимо произвести измерение интенсивности в каждой точке спектра два раза — с поглотителем и без него. Кроме того, тогда надо предусмотреть специальное устройство, позволяющее ставить поглотитель каждый раз на одну и то же место. Эта методика была нами усовершенствована введением дополнительного контрольного счетчика 6 (рис. 3). При помощи кристалла 5 вырезается участок белого излучения, соответствующий исследуемому интервалу длин волн. Кристалл 5 и счетчик 6 всегда неподвижны, таким образом, показания контрольного счетчика зависят только от режима установки. Если поделить показания счетчика 4 на показания счетчика 6, то получится величина, не зависящая от случайных измене-

ний режима установки в процессе съемки данной точки. Счетчики облокированы так, что запускаются и останавливаются одновременно. Наличие контрольного счетчика дало возможность получить кривую белого излучения в исследуемом интервале длин волн, т. е. $I_4/I_6 = j(\lambda)$ при удаленном поглотителе 3, где I_4 и I_6 — показания счетчиков 4 и 6, соответственно. Эта кривая не зависит от режима установки и является постоянной для данного интервала углов. Эксперимент показал, что эта функция является прямой, параллельной оси абсцисс.

Поэтому в дальнейшем весь спектр снимался с постоянно укрепленным поглотителем. Это существенно сократило время съемки одного спектра.

Выведенный на K -край поглощения Fe ($\lambda = 1,74 \text{ \AA}$), наш прибор обладает дисперсией $D = 0,35 \text{ \AA}^{-1}$, шириной кривой отражения в положении $(1, -1)$ $W = 11,5''$, разрешающей способностью в положении $(1, +1)$ $\frac{\lambda}{\delta\lambda} = \frac{\lambda D}{W} = 10\,000$. В этом положении из непрерывного спектра вырезается луч, монохроматичность которого $\Delta\lambda \approx 0,2 \text{ XE}$.

В качестве примера на рис. 4 приведен край поглощения Fe.

Неоднократно проверялась повторяемость работы прибора. Повторная съемка указана крестиками. Из рисунка видна вполне удовлетворительная воспроизводимость.

Кривая отражения в положении $(1, -1)$ имеет дисперсионную форму. В этом мы убедились непосредственно на опыте (рис. 5).

Лаборатория физических методов исследования
Института металлургии им. А. А. Байкова
Академии наук СССР

Цитированная литература

1. Комптон А., Аллисон С., Рентгеновские лучи. Теория и эксперимент. — Гостехиздат, Л. — М., 1941.
2. Порай-Кошиц Е. А., УФН, 39, 573 (1949).
3. Kurtz A. D., Kulin S. A., Averbach B. L., Phys. Rev., 101, 1285 (1956).
4. Manning, Rev. Sci. Inst., 5, 316 (1934).
5. Nordling C., Ark. f. Fys., 11, 79 (1956).
6. Beeman W. W., Friedman H., Phys. Rev., 56, 392 (1939).

И. Б. БОРОВСКИЙ, Н. П. ИЛЬИН, Л. Е. ЛОСЕВА, И. Д. МАРЧУКОВА и А. Н. ДЕЕВ

РЕНТГЕНОСПЕКТРАЛЬНЫЕ ИССЛЕДОВАНИЯ ХИМИЧЕСКОГО
СОСТАВА В МИКРООБЪЕМАХ СПЛАВОВ

В настоящей работе излагаются некоторые из полученных результатов по исследованию микросоставов сложных образцов и показываются на их примере те возможности, которые открывает рентгеноспектральный метод исследования химического состава в микрообъемах образцов при решении большого числа задач металловедения, физики металлов и смежных с ними областей исследования.

Этот метод разрабатывался с 1951 г. Кастином во Франции и одновременно у нас, в Советском Союзе. В настоящее время можно уже отчетливо представить его основные возможности и перспективы развития.

Кратко сущность метода заключается в следующем. Исследуемый металлографический шлиф образца устанавливается в специальной разборной рентгеновской трубке на место анода, так что «зеркалом» анода является поверхность шлифа, микроструктуру которого можно рассматривать в металломикроскоп, вмонтированный в трубку. При помощи специальных микроинтов образец может прецизионно перемещаться в плоскости анода. Это позволяет подвести под электронный пучок любую микрообласть шлифа. Электронный пучок сфокусирован; диаметр его в плоскости анода-шлифа 2—3 μ . Электроны возбуждают атомы материала анода в микрообъеме около 10^{-10} г, что соответствует анализируемой массе вещества около 10^{-13} г. Таким образом, при средней чувствительности анализа 0,1 % удается обнаружить присутствие в фокальном пятне на аноде-шлифе 10^{-13} г элемента. Анализ химического состава «вточке» по рентгеновскому спектру производится обычными приемами рентгеновской спектроскопии.

Во Франции разработка метода велась путем создания спектрографа фокусировкой рентгеновского монохроматического излучения изогнутым кристаллом по методу Иоганссона и микрофокусной трубки с электромагнитической фокусировкой электронного пучка. В Институте металлургии АН СССР была разработана установка РСАШ-2 — рентгеновский спектрограф для анализа шлифов — на элементы от Fe^{26} до Mo^{42} и от Hf^{72} до U^{92} . В настоящее время создана также модель установки РСАШ-3Д, на которой возможно будет проводить анализы шлифов на элементы от Fe^{26} до Mg^{12} включительно.

Установка РСАШ-2 состоит из собственно рентгеновского спектрографа, микрофокусной рентгеновской трубки, блоков питания и блоков регистрации.

Для разложения в спектр рентгеновского излучения впервые был использован обращенный метод «на прохождение», разработанный Дюрандом для анализа γ -спектров радиоактивных элементов. Рентгеновский коротковолновой спектрограф имеет неподвижный, изогнутый по радиусу 50 мм монокристалл кварца (1010) и два подвижных плеча, несущих рентгеновскую трубку и регистратор излучения — счетчик Гейгера.

Микрофокусная рентгеновская трубка представляет собой электронно-оптическую систему с электромагнитной фокусировкой электронного пучка. При оптимальном диаметре фокального пятна 2—3 μ и тока через трубку 10^{-7} — 10^{-8} А при 35—50 kV удельная нагрузка на аноде-шлифе

составляет несколько kW мм^{-2} . При такой удельной нагрузке температура в фокальном пятне не превышает 50° .

При разработке конструкции объектного столика было принято за основу то обстоятельство, что наибольший практический интерес имеют исследования непрерывного распределения элементов в образцах, т. е. непрерывный анализ «по точкам». Созданная конструкция столика позволяет прецизионно с точностью около 1 мк непрерывно перемещать образец под электронным пучком со скоростями $10 \div 150 \text{ мк мин}^{-1}$. При одновременной непрерывной регистрации интенсивности линии анализируемого элемента на диаграммной ленте самопишущего потенциометра записывается концентрационная кривая данного элемента по проанализированному участку шлифа с увеличением получающейся картины в $1000 \div 20\,000$ раз.

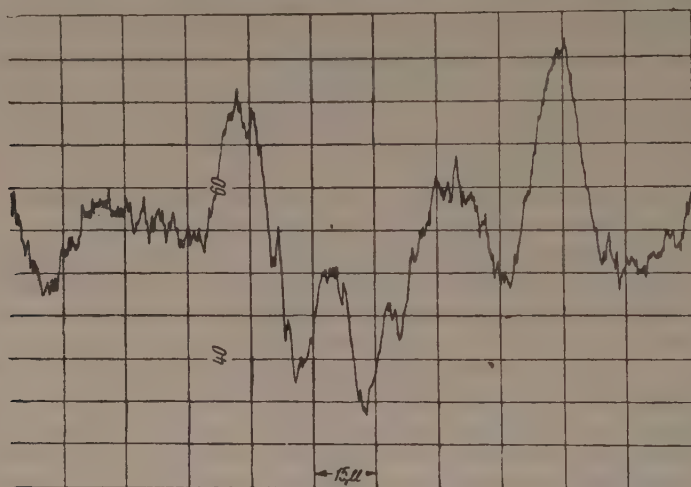


Рис. 1. Распределение рения в твердом растворе рений-никель

Увеличение определяется соотношением скорости движения образца и диаграммой ленты потенциометра.

Ниже приводятся результаты некоторых исследований, проведенных при помощи описанной выше установки.

Анализ однородности. Используя непрерывную запись распределения элемента по выбранному направлению на шлифе, можно проверить степень гомогенизации сплава, исследовать распределение элементов в процессе кристаллизации слитков. Существенно то, что при этом нет необходимости выявлять микроструктуру, что особенно важно при исследовании твердых растворов переменных концентраций, или, например, некоторых металлокерамических образцов. В качестве примера такого исследования на рис. 1 приведено распределение рения в твердом растворе рений—никель.

Таблица 1

Состав фаз, %ат	Элемент			
	Ni	Re	W	Mo
Основная фаза сплава	60 ± 2	14	2,8	2,6
Выделившаяся фаза	$11 \pm 0,5$	75	11	6,1
Исходный сплав	65 ± 2	—	3,3	2,7

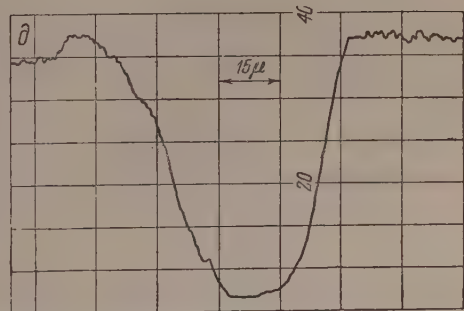
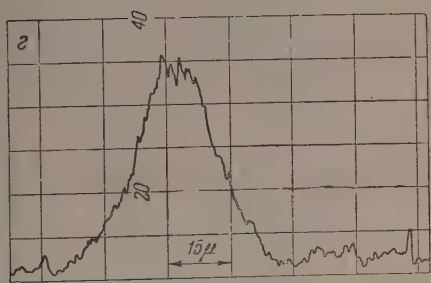
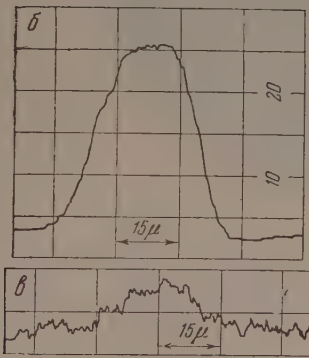
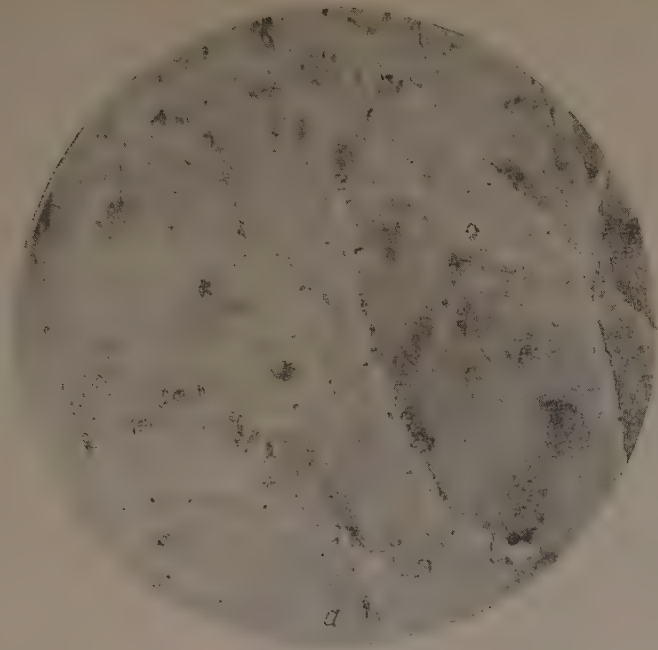


рис. 2. Анализ состава фаз многокомпонентного сплава с добавкой рения: микроструктура (а) и кривые распределения: Re (б), Mo (в), W (г), Ni (д)

Анализ состава фаз. На рис. 2 дана микрофотография шлифа многокомпонентного сплава на никелевой основе, в состав которого дополнительно вводилась легирующая добавка рения. Введение рения в сплав привело к выделению новой фазы, видимой в виде светлых зерен. Ниже на этом же рисунке приведены концентрационные кривые, полученные при прохождении через одно из зерен этой фазы. Из приведенных кривых распределения рения, молибдена, вольфрама, никеля следует, что выделяющаяся фаза значительно обогащена рением, вольфрамом, молибденом. Результаты количественного анализа состава фаз сплава на эти элементы приведены в табл. 1.

Анализ сварных и паяных швов. В качестве примера приводится ис-

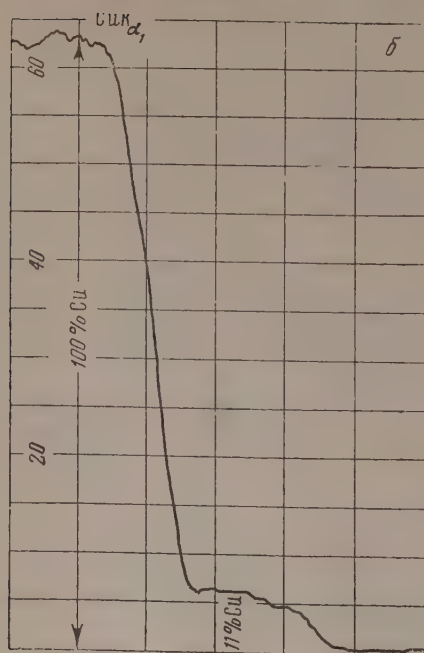
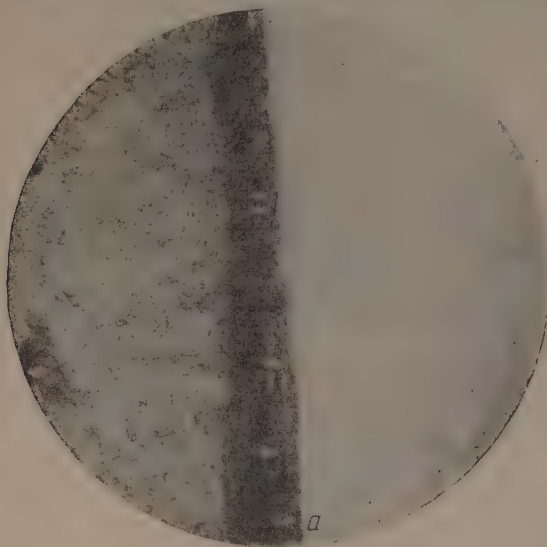


Рис. 3. Сварной шов: а — микроструктура, б — распределение меди в шве

следование сварного шва, полученного при наплавлении меди на холодную сталь. Металлографический анализ (рис. 3, а) показал, что в данном случае образуется промежуточный слой, имеющий переменную ширину 15÷40 м. Из кривой (рис. 3, б) распределения меди поперек этого слоя, записанной по изменению интенсивности линии K_{α_1} Cu, видно, что образующийся слой представляет собой метастабильную фазу постоянного состава, содержащую около 12 % меди.

Применение установки РСАН-2 впервые позволило провести также исследование микросоставов паяных швов жаропрочных сплавов. Образцы были изготовлены путем газопламенной пайки тремя типами жаропрочных припоев. Было изучено распределение никеля, железа, кобальта, вольфрама, молибдена, марганца по фазам паяного шва, а также изменение химического состава материала швов вдоль и поперек паяного соединения. На рис. 4 даны микрофотография шва одного из образцов и примеры концентрационных кривых, на микрофотографии (рис. 4, а) видны две фазы — светлая и темная. На рис. 4, б дано распределение молибдена в паяном шве.

Из сопоставления кон-

концентрационной кривой с микроструктурой образца в процессе анализа был сделан вывод, что места с повышенным содержанием молибдена соответствуют темной фазе. На рис. 4 (в и г) приведены концентрационные кривые соответственно — никеля и марганца в начале (место пайки) и конце (место выхода припоя) шва. Из этих кривых следует, что количество никеля уменьшается в конце шва, а количество марганца — увеличивается. Количественный анализ показал, что в данных образцах в белой фазе никеля содержится в начале шва 62 %, а в конце — 50 %, марганца в белой фазе в начале шва содержится 2 %, а в конце — 5,5 %. Полukoличественный анализ путем непрерывной записи распределения элементов по шву и количественный анализ «в точке» с применением эталонов для всех образцов привели, в частности, к следующим результатам: 1) в темной фазе количество никеля и железа меньше, чем в светлой, а количество молибдена и марганца больше; 2) по мере течения припоя от места пайки к месту выхода припоя количество никеля, вольфрама и железа в них уменьшается, а количество молибдена и марганца увеличивается; 3) при пайке стали Я-1-Т припой в шве значительно обогащается железом (26 % вместо 1—2 %); 4) при пайке выгорает значительное количество марганца. На основании полученных

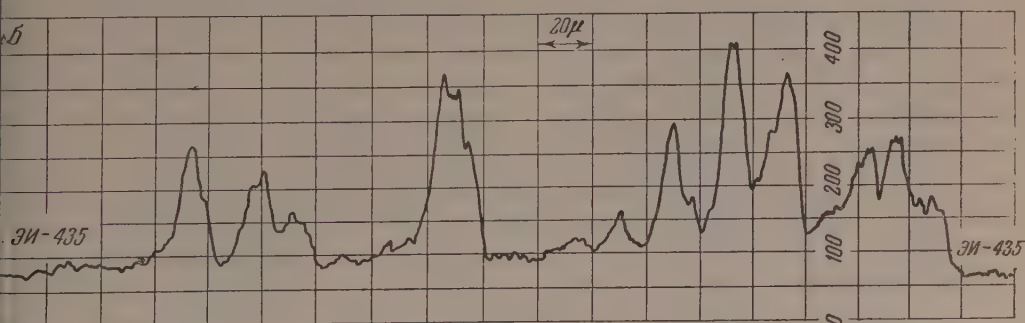


Рис. 4. Паяный шов: а — микроструктура, б — распределение молибдена в шве

результатов были сделаны практические рекомендации по составам жаропрочных припоев.

Исследование диффузионных слоев. С целью выявления возможностей метода при изучении процессов диффузии были исследованы системы медь — никель и медь — цинк. Компоненты первой системы, согласно диаграмме состояния, образуют между собой непрерывный ряд твердых растворов; на концентрационной кривой распределения меди (рис. 5), полученной при прохождении электронного зонда поперек диффузионного

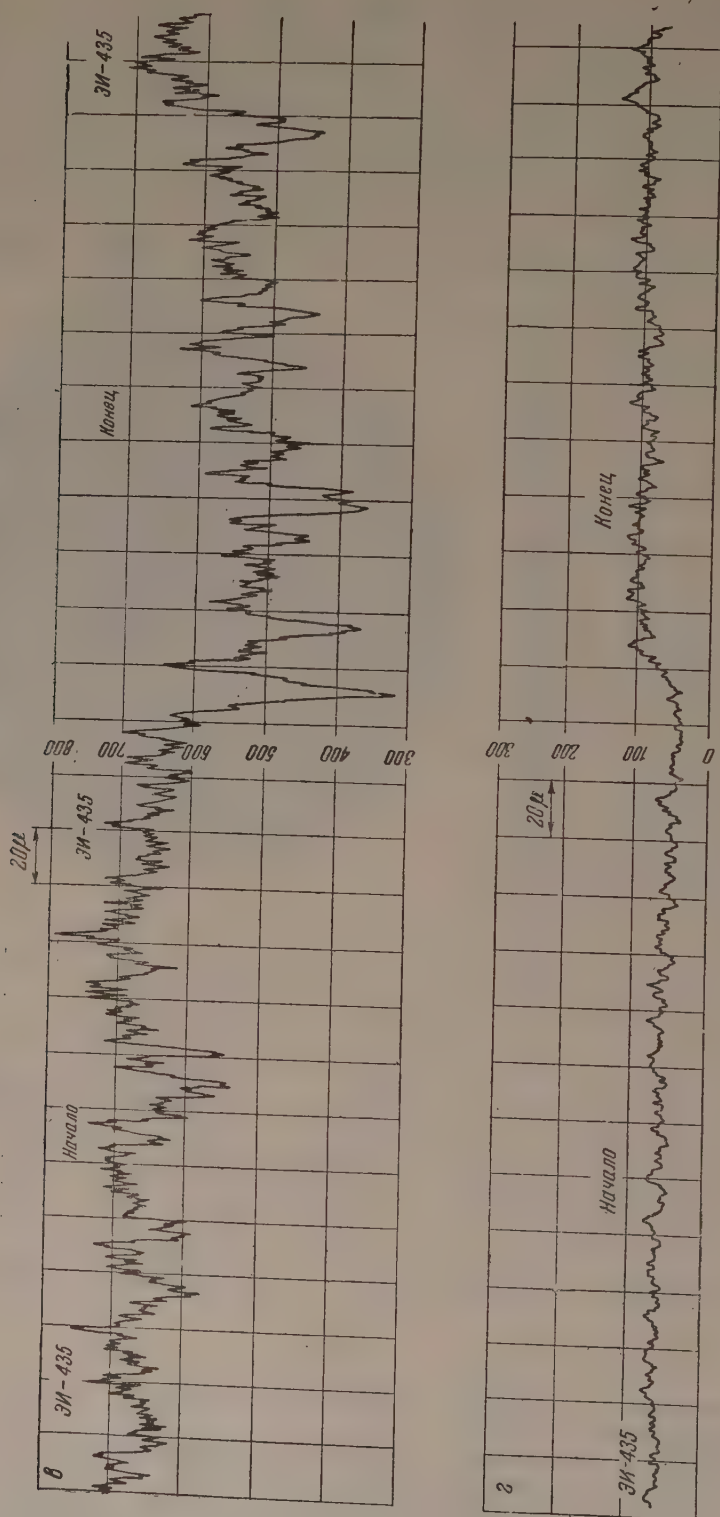


Рис. 4. Паяный шов:

1 и 2 — распределение никеля и марганца в начале и конце шва (соответственно)

ная (полученного при температуре 600° и времени отжига 4 час), наблюдается характерное непрерывное изменение концентрации элемента.

Компоненты системы медь — цинк, согласно диаграмме состояний, образуют между собой как твердые растворы, так и несколько фаз постоянного состава. Были получены концентрационные кривые распределения меди и цинка поперек диффузионного слоя в образцах, отожженных при температурах ниже температуры плавления цинка; также исследовался количественный состав диффузионных слоев в различных участках.

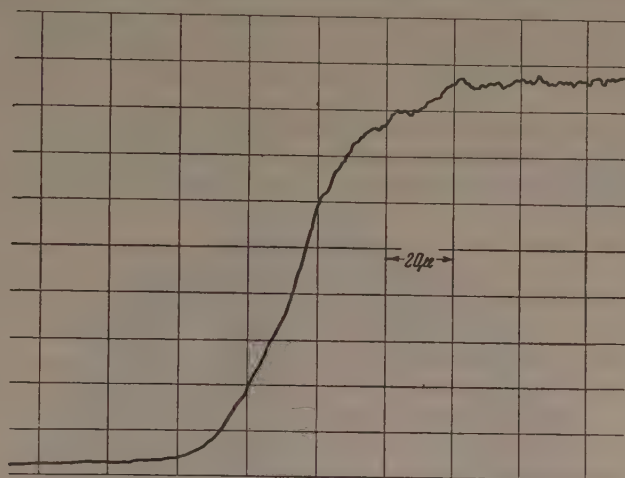


Рис. 5. Распределение меди в диффузионном слое медь — никель, $t = 600^\circ$, $\tau = 4$ час

На рис. 6, а приведена микрофотография шлифа, из которой видно, что диффузионный слой состоит из двух резко ограниченных фаз. Концентрационные кривые меди и цинка (рис. 6, б), записанные при прохождении одного и того же участка диффузионного слоя под электронным пучком, также указывают на наличие в диффузионном слое ($T = 320^\circ$, $\tau = 3$ час 0 мин) двух фаз постоянного состава. Резкий спад концентрационных кривых при переходе от чистого металла к фазе и от одной фазы к другой в пределах локальности измерения (т. е. примерно $2-3 \mu$, что для диффузионного слоя шириною в 200μ составляет точность около 1 %) позволяет говорить об отсутствии областей твердых растворов и смеси фаз. Небольшое отклонение концентрационных кривых от вертикали в переходных областях полностью объясняется конечными размерами фокуса. Концентрационные кривые позволяют проводить полуколичественный анализ на элементы, для которых они записаны. Точность такого анализа 5—10 процентных процентов. Так, в данном случае для фазы, наиболее богатой цинком, было установлено, что содержание цинка в ней равно приблизительно 85 %, что соответствует ϵ -фазе; содержание цинка во второй фазе составляло приблизительно 65 %, что соответствует γ -фазе.

Запись концентрационных кривых при прохождении поперек слоя фазы, сделанная при большом увеличении, позволила обнаружить изменение состава в пределах одной фазы и установить линейность этого изменения. Концентрационные кривые, записанные для образцов, отожженных при различных температурах и временах отжига, позволяют также вычислить ширину слоя фазы и тем самым определить коэффициенты диффузии.

Следует отметить, что при измерении ширины слоев фаз на РСАП-2 достигается большая точность по сравнению с другими методами, так как величение получающейся концентрационной кривой ($\times 20\,000$) в несколько раз превышает возможное оптическое увеличение при наблюдении микроструктуры, и прибор позволяет вследствие непрерывной записи

Таблица 2

Значения коэффициентов диффузии, полученные для γ - и ϵ - слоев

Прибор	γ -фаза		ϵ -фаза	
	$Q, \frac{\text{кал}}{\text{г. атом}}$	$\frac{D_0, \text{см}^2}{\text{час}^{-1}}$	$Q, \frac{\text{кал}}{\text{г. атом}}$	$\frac{D_0, \text{см}^2}{\text{час}^{-1}}$
РСАШ-2	11740 ($\pm 8\%$)	11,0	20680 ($\pm 26\%$)	93
Микроскоп	13400 ($\pm 12\%$)	9,84	20800 ($\pm 25\%$)	93

распределения того или иного элемента с большой точностью установить границы между отдельными фазами, особенно между твердым раствором и фазой, что нельзя четко определить на металлографическом микроскопе.

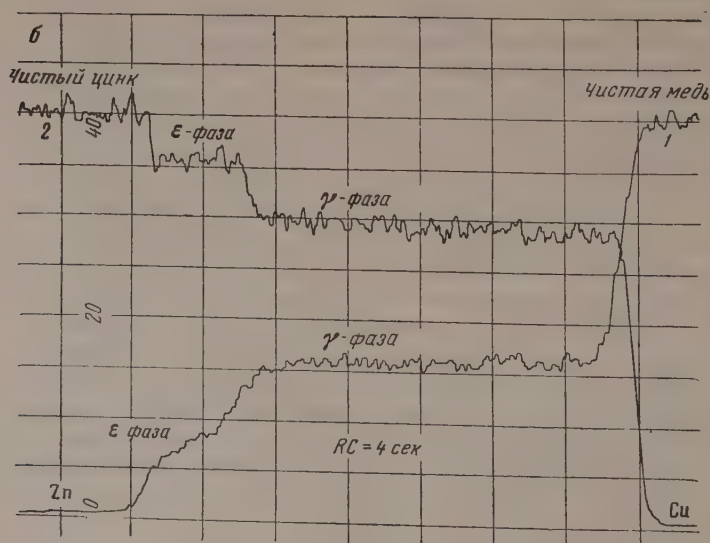
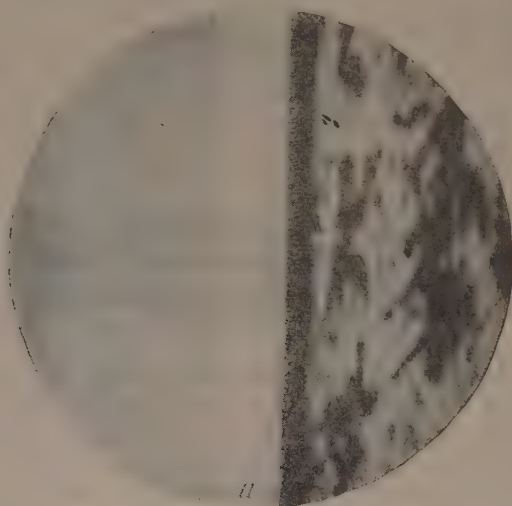


Рис. 6. а — Микроструктура диффузионного слоя системы медь — цинк, б — Концентрационные кривые: 1 — меди и 2 — цинка, $t = 320^\circ$, $\tau = 3$ час 10 мин

Полученные результаты по вычислению коэффициентов диффузии хорошо согласуются с данными других авторов.

Наряду с исследованием концентрационных кривых был проведен анализ количественного состава в различных участках слоя каждой из фаз путем сопоставления с эталонами. Так, например, для γ -фазы было обнаружено изменение концентрации цинка при перемещении от границы с медью до границы с ϵ -фазой от 66 до 68 % (и меди — соответственно 34 ÷ 32 %).

Благодаря высокой локальности анализа удалось исследовать тонкие диффузионные слои до 10 μ , где обнаружено, что кинетика роста фаз носит другой характер, чем для толстых слоев. Эти результаты, по-видимому, помогут подойти к изучению процессов, происходящих на границах зерен многокомпонентных гетерофазных сплавов.

Таким образом, опыт применения нового метода позволяет заключить, что если до последнего времени рентгеновская спектроскопия развивалась по линии теоретических работ, связанных с изучением по тонкой структуре спектров характера взаимодействия между атомами, и по линии прикладного применения для валового анализа химического состава, то новый метод анализа в микрообъемах открывает новые широкие перспективы применения рентгеновской спектроскопии в такой важной области исследований, как металловедение и физика металлов. Целый ряд очень важных вопросов, которые до настоящего времени не могли быть решены из-за отсутствия количественных методов исследования микросоставов, при помощи этого метода решаются быстро и надежно. К таким вопросам относятся: анализ фазового состава сложнолегированных сплавов, исследование степени гомогенизации сплава, изучение топографии распределения легирующих добавок в сплаве и их перераспределение в процессе старения, деформации, термической обработки, исследование диффузионных и других промежуточных слоев, в частности, границ зерен сплава и процессов в них. Высокая локальная чувствительность количественного анализа (до 10^{-13} г) позволит применить метод к определению малых содержаний элементов также в минералах, шлаках, рудах.

В заключение авторы считают своим приятным долгом выразить благодарность Е. М. Савицкому, М. Х. Шоршову и В. А. Горохову за любезно представленные образцы для исследований.

Лаборатория физических методов исследования
Института металлургии им. А. А. Байкова
Академии наук СССР

Н. Д. БОРИСОВ, В. В. НЕМОШКАЛЕНКО и А. М. ФЕФЕР
**РЕНТГЕНОСПЕКТРАЛЬНЫЙ МЕТОД ИССЛЕДОВАНИЯ
РАСПРЕДЕЛЕНИЯ ЭЛЕКТРОНОВ ПО СОСТОЯНИЯМ В МЕТАЛЛАХ
И СПЛАВАХ**

Введение

Современная машиностроительная практика все настойчивее выдвигает перед металлургами задачу создания многочисленных сплавов с самыми различными, заранее заданными свойствами. Одной из основных тормозящих причин на этом пути является отсутствие до настоящего времени законченной физической теории металлов.

Существующая зональная теория, даже при использовании метода самосогласованного поля, в рамках одноэлектронной модели бессильна учесть взаимодействие электронов одного с другим. Создание законченной многоэлектронной теории металлов требует больших усилий физиков-теоретиков.

Знание распределения электронов по состояниям в металлах и сплавах и изменения этого распределения под влиянием различных факторов является одним из важнейших вопросов современной теории металлов.

Совершенно естественно, что теоретические расчеты Мотта, Джонса и Скиннера [1], связанные с распределением электронов по состояниям, сейчас же потребовали экспериментальной проверки и послужили основой для создания нового метода физического металловедения, удачно названного Скиннером [2] «спектроскопией твердого состояния».

Сущность этого метода заключается в следующем. Учитывая, что переход вещества в различные физические и физико-химические состояния сопровождается определенными изменениями состояний атомов в нем, приводящими к энергетическим изменениям состояний электронов атомов вещества, можно ожидать, что все эти процессы неизбежно должны отражаться на структуре рентгеновских спектральных линий.

Можно также ожидать, что изучение структуры, формы, ширины, интенсивности рентгеновских спектральных линий, положения их максимумов по длинам волн даст возможность совершенно однозначно связывать изменения в структуре рентгеновских спектральных линий с внутриатомными процессами, происходящими при «переходе» вещества из одного состояния в другое.

Развитие работ в этой области и направлено на создание нового метода физического металловедения, способного играть видную роль при решении практических задач «металлургии будущего».

С точки зрения современной теории твердого тела структура энергетического спектра электронов является ключом к пониманию основных его физических и физико-химических свойств.

Современные задачи спектроскопии твердого состояния связаны с изучением следующих вопросов: межатомной связи при образовании твердого тела, распределения электронов по состояниям, заполнения электронами зоны проводимости полупроводников при повышении их температуры, распределения электронов по уровням энергии в зоне проводимости металлов и сплавов, влияния температуры на это распределение, а также с целым рядом других специфических для металлов и сплавов факторов, связанных с изменением энергетического состояния их атомов (полиморфных превра-

ений, фазовых переходов, распада в твердом состоянии, влияния легирующих примесей, степени упорядочения, перехода в ионные окисные соединения и т.п.).

Развитие работ в области спектроскопии твердого состояния за рубежом часто было Скиннером и Фарино, применившими для указанных целей рентгеновские спектрометры с дифракционными решетками, позволяющие ставить работы в мягкой и ультрамягкой областях рентгеновского спектра ($50 \div 500 \text{ \AA}$).

Систематические работы в области спектроскопии твердого состояния в Советском Союзе в последнее время ведутся в Киеве, Москве, Одессе, Ростове-на-Дону, Свердловске и Харькове.

В нашей лаборатории эти работы ведутся с 1940 г. на спектрографах изогнутым кристаллом в средней области рентгеновского спектра.

Созданная экспериментальная база, связанная с построением и пуском эксплуатации рентгеновских трубок для съемок эмиссионных спектров в широком температурном интервале, рентгеновских светосильных спектрографов с большой разрешающей способностью, позволяет нам, правда, в ограниченной области спектра, ставить работы в области спектроскопии твердого состояния.

В докладе на V Всесоюзном совещании по применению рентгеновых лучей к исследованию материалов мы подробно останавливались на общих задачах нового метода, ставящего своей задачей:

1) объяснить физические и физико-химические свойства твердых тел (в частности, металлов и сплавов) на базе энергетического спектра электронов;

2) установить законы, позволяющие сознательно создавать композиции сплавов с заданными свойствами.

В этой работе были освещены пути подхода к решению поставленных задач, рассмотрены возможности, связанные с изучением структуры рентгеновских эмиссионных K_{β} -полос элементов переходной группы железа; рассмотрены вопросы интенсивности, ширины и формы рентгеновских эмиссионных полос с точки зрения представлений современной физики.

Настоящая работа являлась непосредственным продолжением ранее введенных и ставила своей целью изучить характерные изменения в структуре энергетического спектра электронов хрома и железа, вызванные влиянием концентрации компонентов сплавов Fe-Cr и переходом (по составу) γ - в α -твердый раствор.

1. Объекты исследования

Объектами исследования служили: K_{β} -линии хрома и железа, обусловленные переходом электронов из полосы проводимости на K -уровень, K_{β} -линии тех же элементов, обусловленные переходом электронов Zr -слоя на K -уровень, в сочетании с длинноволновым K_{β} -сателлитом.

Указанные спектральные линии были сняты при 1000° от чистых металлов хрома и железа и от сплавов Fe-Cr, № 1, 2, 3, 4, 5, 6, 7 и 8, содержащих соответственно: 4, 5, 8, 20, 30, 45, 50, и 75 весовых процентов хрома. Спектральные линии K_{β} -группы хрома от сплавов № 1, 2, 3 и 4 не снимались из-за слабой их интенсивности.

Исходными металлами служили хром и железо — электролитические, высокой степени чистоты.

Сплавы Fe-Cr были изготовлены отделом технологии Института металлургии АН УССР в вакуумной высокочастотной печи.

Из указанных объектов изготавливались специальные пластинки, которые крепились потом на первичном антикатоде рентгеновской трубки.

2. Аппаратура и методика работы

Высоковольтным аппаратом служил четырехкеноotronный аппарат, собранный по схеме Гретца. Питание аппарата осуществлялось от ферро-

резонансного стабилизатора, поддерживающего постоянство первичного напряжения с точностью до 0,5%.

Для всех съемок рентгеновских спектров чистых металлов и их сплавов применялась построенная нами [3] рентгеновская трубка для получения спектров флуоресценции от объектов, находящихся при высоких температурах. После замены электродов указанная трубка использовалась для получения рентгеновских спектров методом первичного возбуждения.

Откачка трубки производилась масляным форвакуумным насосом ртутным диффузионным и высоковакуумным паромасляным насосом ММ-40, включенными последовательно. Вакуум в системе был порядка $2 \div 3 \cdot 10^{-5}$ мм рт. ст. и контролировался ионизационными манометрами НГ-200 и ВИ-3.

Дифракционным аппаратом служил невакуумный рентгеновский светосильный спектрограф нашей конструкции [4] с радиусом R -изгиба кристалла 500 мм.

Для разложения рентгеновского излучения образца в спектр применялся кристалл кварца — грань призмы (10 $\bar{1}$ 0). В отличие от прежних работ, все спектры получались от качающегося в области 2° кристалла. Необходимость применения качающегося кристалла при изучении тонкой структуры рентгеновских полос, полученных методом первичного возбуждения, диктовалась трудностями вычитания фона (спектра торможения), имеющего, как известно, свою форму, и накладывающегося на интенсивность изучаемых рентгеновских полос. При выборе угла качания кристалла мы руководствовались правилами, приведенными в нашей работе [5].

Линейное отверстие кристалла определялось установкой ножа (диафрагмы) и не превышало в нашем случае 1,5 мм. Необходимость применения столь малого линейного отверстия кристалла была показана нами в специальной работе [6].

Режим для съемок рентгеновских спектров исследуемых образцов подбирался путем замера их температуры Pt—PtRh-термопарой, горячий спай которой приваривался непосредственно в центре фокусного пятна, зафиксированного ранее при неизменном положении нити накала трубки.

Такой способ определения температуры излучающей части образца, однако, не является совершенным, так как он не гарантирует постоянства температуры вдоль диаметра фокусного пятна. Только принудительный нагрев образца при вторичном методе возбуждения может обеспечить в узких пределах стабильность температуры фокусного пятна. В целях уменьшения температурного градиента вдоль диаметра фокусного пятна последний не превышал 1 мм и регулировался фокусирующим стаканчиком катода трубки. Регистрация температуры излучающих образцов производилась терморегистратором «Кент».

Нитью накала трубки служила вольфрамовая спираль, изготовленная из проволоки диаметром 0,25 мм. Срок службы спирали составлял примерно 500—700 час.

Исследуемый образец, представляющий собой металлическую пластинку толщиной в 3 мм, вырезанную в форме усеченной трапеции с наклонными краями, плотно забивался в соответствующее углубление, «ласточкой хвост» медной насадки антикатода.

Все спектры фиксировались на односторонней пленке «Агфа» и проявлялись в термостате при 18° в течение 5 мин каждый раз свежим методом гидрохиноновым проявителем постоянной концентрации.

При выборе экспозиции учитывалась необходимость получения фотографических плотностей изучаемых спектральных линий, лежащих на прямом участке сенситометрической кривой данной пленки.

$$t_{\text{опт}} = \frac{\lg \frac{S_{\text{н}}}{S_{\text{ф}}}}{S_{\text{н}} - S_{\text{ф}}} t, \quad (1)$$

Выбор оптимального времени экспозиции производился по формуле [7], где S_{Π} и S_{Φ} — фотографические плотности пика линии и фона, полученные за время экспозиции t . При этом условия оптимальные значения фотографических плотностей S_{Φ} — фона и S_{Π} — пика соответственно будут

$$S_{\Phi} = \frac{\lg |\chi + 1|}{\chi}, \quad (2)$$

$$S_{\Pi} = \frac{\chi + 1}{\chi} \lg |\chi + 1|, \quad (3)$$

где χ — отношение интенсивности линии к интенсивности фона.

Можно показать, что наибольшая контрастность слабых спектральных линий получается при экспонировании фона до фотографической плотности $0,2 \div 0,4$.

Фотометрирование спектрограмм производилось на регистрирующем микрофотометре МФ-4 при увеличении $7\times$, растяжений $20\times$ и щели $0,7 \times 14$ мм, применялась методика фотометрирования, изложенная в работе [8]. Скорость перемещения фотографической пластинки составляла 60 мм в минуту. Фотометрированию каждой дублированной спектрограммы предшествовало получение на одной фотопластинке сложной предварительно микрофотограммы, состоящей из шести микрофотограмм различных по высоте участков K_{β} -полосы. Такой способ фотометрирования давал возможность видеть структуру всей линии по высоте и гарантировал экспериментатора от возможных случайностей.

3. Экспериментальные данные

При температуре 1000° были получены FeK_{β} и $FeK_{\beta, \beta'}$ -линии четвертого порядка отражения от чистого железа и от сплавов Fe-Cr с 4, 5, 8, 20, 30, 45, 50 и 75 %-ным содержанием хрома и CrK_{β} и $CrK_{\beta, \beta'}$ -линии третьего порядка отражения от чистого хрома и сплавов Fe-Cr с 20, 45, 50 и 75 %-ным содержанием хрома.

В табл. 1 приведены экспериментальные условия съемок дублированных спектрограмм.

Таблица 1

Объект исследования	Символ линии	Режим съемки		
		kV	mA	mA час
Железо	IV $FeK_{\beta', \beta_1, \beta_5}$	35	6,4	60
Сплав № 1 (4% Cr)	IV $FeK_{\beta', \beta_1, \beta_5}$	35	5,0	60
Сплав № 2 (5,8% Cr)	IV $FeK_{\beta', \beta_1, \beta_5}$	35	7,4	60
Сплав № 3 (8% Cr)	IV $FeK_{\beta', \beta_1, \beta_5}$	35	4,6	60
Сплав № 4 (20% Cr)	IV $FeK_{\beta', \beta_1, \beta_5}$	35	4,5	80
Сплав № 5 (30% Cr)	IV $FeK_{\beta', \beta_1, \beta_5}$	35	4,5	90
	III $CrK_{\beta', \beta_1, \beta_5}$			100
Сплав № 6 (45% Cr)	IV $FeK_{\beta', \beta_1, \beta_5}$	35	4,4	115
	III $CrK_{\beta', \beta_1, \beta_5}$			115
Сплав № 7 (50% Cr)	IV $FeK_{\beta', \beta_1, \beta_5}$	35	4,5	100
	III $CrK_{\beta', \beta_1, \beta_5}$			120
Сплав № 8 (75% Cr)	IV $FeK_{\beta', \beta_1, \beta_5}$	35	5,0	150
	III $CrK_{\beta', \beta_1, \beta_5}$			80
Хром	III $CrK_{\beta', \beta_1, \beta_5}$	35	6,0	50

4. Данные расчетов спектрограмм

При вычислении длин волн спектральных линий мы пользовались формулой

$$\lambda_X = \frac{2d_n}{n} \sin \varphi_X = \frac{2d_n}{n} \sin \left[|l_0 \mp \Delta l| \frac{90}{\pi r} \right], \quad (4)$$

где d_n — постоянная решетки кристалла с учетом n -порядка отражения, l — вычисленное расстояние от центра кристалла до стандартной спектральной линии; Δl — измеренное расстояние от искомой до стандартной линии в миллиметрах, $\frac{90}{\pi r}$ — постоянная.

Определение величины постоянной производилось по формуле:

$$l_1 - l_2 = \frac{\pi r}{90} |\varphi_1 - \varphi_2|, \quad (5)$$

где $l_1 - l_2$ — измеренное расстояние в миллиметрах между известными стандартными спектральными линиями, зафиксированными на фотопленке, φ_1, φ_2 — вычисленные углы Вульфа — Брэгга для тех же линий.

На основании измерений путем фотометрирования спектрограмм расстояние Δl — между III Cr K_{α_1} ($\lambda = 22850$, XE) и IV Fe K_{β_1} ($\lambda = 1752,99$ XE) линиями — в нашем случае оказалось равным 16,01 мм.

Подставив это значение в уравнение (5) и соответствующие вычисленные данные для углов Вульфа — Брэгга III Cr K_{α_1} и IV Fe K_{β_1} -линий, находим

$$\frac{90}{\pi r} = \frac{\Delta \varphi}{\Delta l} = \frac{55,66\ 188 - 53,82\ 805}{16,01} = \frac{1,83\ 383}{16,01} = 0,11456 \text{ град мм}^{-1}.$$

Постоянство этого значения на протяжении всей работы контролировалось через определенные промежутки времени.

В качестве стандартных спектральных линий, для расчета спектрограмм с линиями хрома и железа, соответственно были взяты IV Cu K_{α_1} и III Cr K_{α_1} .

Для расчета l_0 — расстояний K_{α_1} -линий хрома и меди от центра кристалла — были взяты табличные данные [9] их длин волн:

$$\lambda_{\text{Cr } K_{\alpha_1}} = 2285,00 \text{ XE},$$

$$\lambda_{\text{Cu } K_{\alpha_1}} = 1537,40 \text{ XE}.$$

Расчет l_0 производился по формуле

$$l_0 = \frac{\pi r}{90} \varphi_0, \quad (6)$$

где φ_0 находилось из соотношения

$$\sin \varphi_0 = \frac{\lambda_{0n}}{2d_n}. \quad (7)$$

В нашем случае l_0 — расстояния от центра кристалла до K_{α_1} -линий хрома и меди — соответственно были 469,864 и 405,026 мм.

Дальнейшие расчеты положения максимумов $K_{\alpha_1}K_{\beta_1}$ -линий хрома и железа производились по формуле (4).

Расчеты других величин, связанных с найденной длиной волны, производились по формулам

$$\lg v/R = 5,9596486 - \lg \lambda, \quad (8)$$

$$\lg V = 7,0914911 - \lg \lambda, \quad (9)$$

где λ измеряется в XE.

В табл. 2 приведены данные дисперсии в области K_{β_1} -линий хрома и железа, вычисленные по формулам

$$\frac{\Delta \lambda}{\Delta l} = \frac{2d_n}{nR} \cos \varphi \frac{\text{XE}}{\text{мм}} \quad (10)$$

$$\frac{\Delta V}{\Delta l} = \frac{\text{ctg} \varphi |n\lambda|}{8,09 R \lambda} 10^8 \frac{\text{eV}}{\text{мм}} \quad (11)$$

$$\frac{\Delta v/R}{\Delta l} = \frac{\text{ctg} \varphi |n\lambda|}{R \lambda} 9,1245 \cdot 10^5 \frac{v/R}{\text{мм}} \quad (12)$$

Таблица 2

Линии	$\Delta\lambda/\Delta l$ в ХЕ/мм	$\Delta V/\Delta l$ в еВ/мм	$\frac{\Delta v}{\bar{R}/\Delta l}$ $\frac{v}{\bar{R}}/\text{мм}$
III Cr K_{β_1}	4,144	11,195	0,826
IV Fe K_{β_1}	2,430	9,917	0,732

В табл. 3 приведены сводные расчетные данные для длин волн K_{β_1} и K_{β_2} -линий и коротковолнового края хрома и железа, составленные по данным промеров соответствующих спектрограмм. Из данных таблицы 3 следует, что только у Cr K_{β_2} -линии наблюдается значительное смещение максимумов в сторону длинных волн по мере увеличения концентрации железа в сплавах системы Fe — Cr. Положения максимумов других линий во всех случаях в пределах ошибок измерений остаются постоянными.

Таблица 3

Объект исследования	Символ линии	Источник данных	λ			Коротковолновый край
			ХЕ	еВ	v/R	
Железо	Fe K_{β_1}	Табличн.	1752,99	—	519,84	—
	Fe K_{β_2}		1740,54	—	523,56	1739,83
Железо и сплавы Fe-Cr № 1, 2, 3, 4, 5, 6, 7, 8	Fe K_{β_1}	Экспер.	1752,99	7042,25	519,84	—
	Fe K_{β_2}		1740,43	7093,06	523,59	1739,97
Хром	Cr K_{β_1}	Табличн.	2080,60	—	437,98	—
	Cr K_{β_2}		2066,53	—	440,97	2065,95
Хром и сплавы Fe-Cr № 5, 6, 7, 8	Cr K_{β_1}	Экспер.	2080,48	5933,73	438,01	—
Хром	Cr K_{β_2}	Экспер.	2066,53	5973,77	440,97	2065,92
Сплав № 8	Cr K_{β_2}	Экспер.	2066,64	5973,46	440,94	2065,89
Сплав № 7	Cr K_{β_2}	Экспер.	2066,69	5973,32	440,93	2065,84
Сплав № 6	Cr K_{β_2}	Экспер.	2066,88	5972,77	440,89	2065,88
Сплав № 5	Cr K_{β_2}	Экспер.	2067,16	5971,96	440,83	2066,11

5. Данные фотометрической обработки спектрограмм

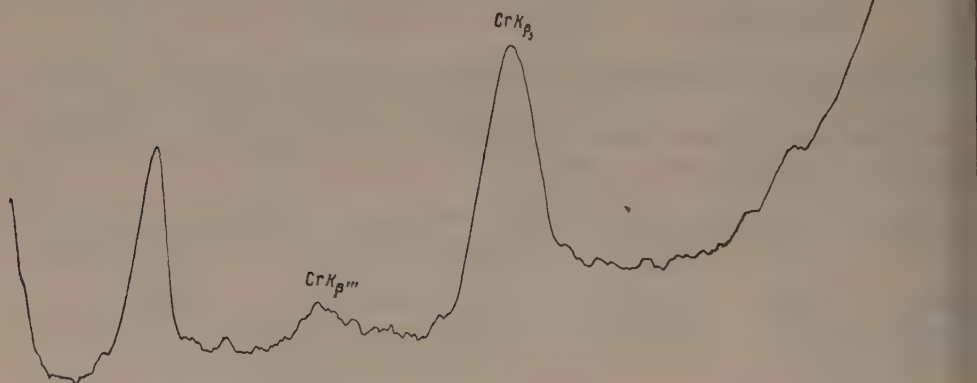
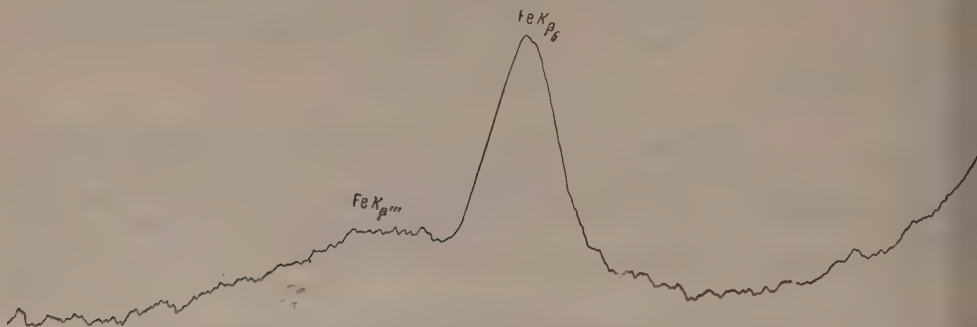
На рис. 1—4 приведены некоторые микрофотограммы дублированных спектрограмм K_{β_2} -линий хрома и железа, полученных при 1000° от чистых металлов и сплавов Fe-Cr.

Из рассмотрения микрофотограмм следует, что только у Cr K_{β_2} -полосы коротковолновая ветвь ее свободна от наложения K_{β_2} -сателлита и может быть рассмотрена в чистом виде. У железа K_{β_2} -сателлит явно уже накладывается на коротковолновую ветвь K_{β_2} -полосы и имеет простую форму. Приведенные микрофотограммы говорят о том, что при изучении формы ширины Fe K_{β_2} -линии совершенно необходимо разлагать ее на составные части.

6. Данные обработки микрофотограмм

Метод обработки микрофотограмм заключался в следующем. С целью учета интенсивности коротковолновой ветви K_{β_1, β'_1} -линии, накладывавшейся на интенсивность K_{β_s} -полосы, касательно двум ветвям ее, проводилась прямая линия. Через точку с минимальной плотностью фона проводилась прямая, параллельная темновой линии, зафиксированной на микрофотограмме. Эта линия принималась за линию вуали. Вся микрофотограмма через каждые 1,5 мм делилась вертикальными линиями на равные участки, что при растяжении $\times 20$ составляло 0,075 мм по пленке. Для каждой точки пересечения вертикальных прямых с контуром полосы вычислялись фотографические плотности контура без фона — $S_{K'}$ по формуле:

$$S_{K'} = S_K - S_\Phi = \lg \frac{i_\Phi}{i_K}, \quad (13)$$

Рис. 1. Микрофотограмма SrK_{β_s} -линии от Sr при $t = 1000^\circ$ Рис. 2. Микрофотограмма FeK_{β_s} -линии от Fe при $t = 1000^\circ$

где i_Φ и i_K — расстояния от темновой линии до соответствующих точек фона и контура полосы, промеренные по микрофотограмме. Для найденных значений $S_{K'}$ вычислялись значения $i_{K'}$ — расстояний от темновой линии до соответствующих точек контура K_{β_s} -полосы, приведенных к общей вуали, по формуле

$$\lg i_{K'} = \lg i_K - S_{K'}, \quad (14)$$

где i_K — расстояние от темновой линии до линии вуали. По найденным значениям $i_{K'}$ строился контур K_{β_s} -полосы, без фона, приведенный к общей вуали.

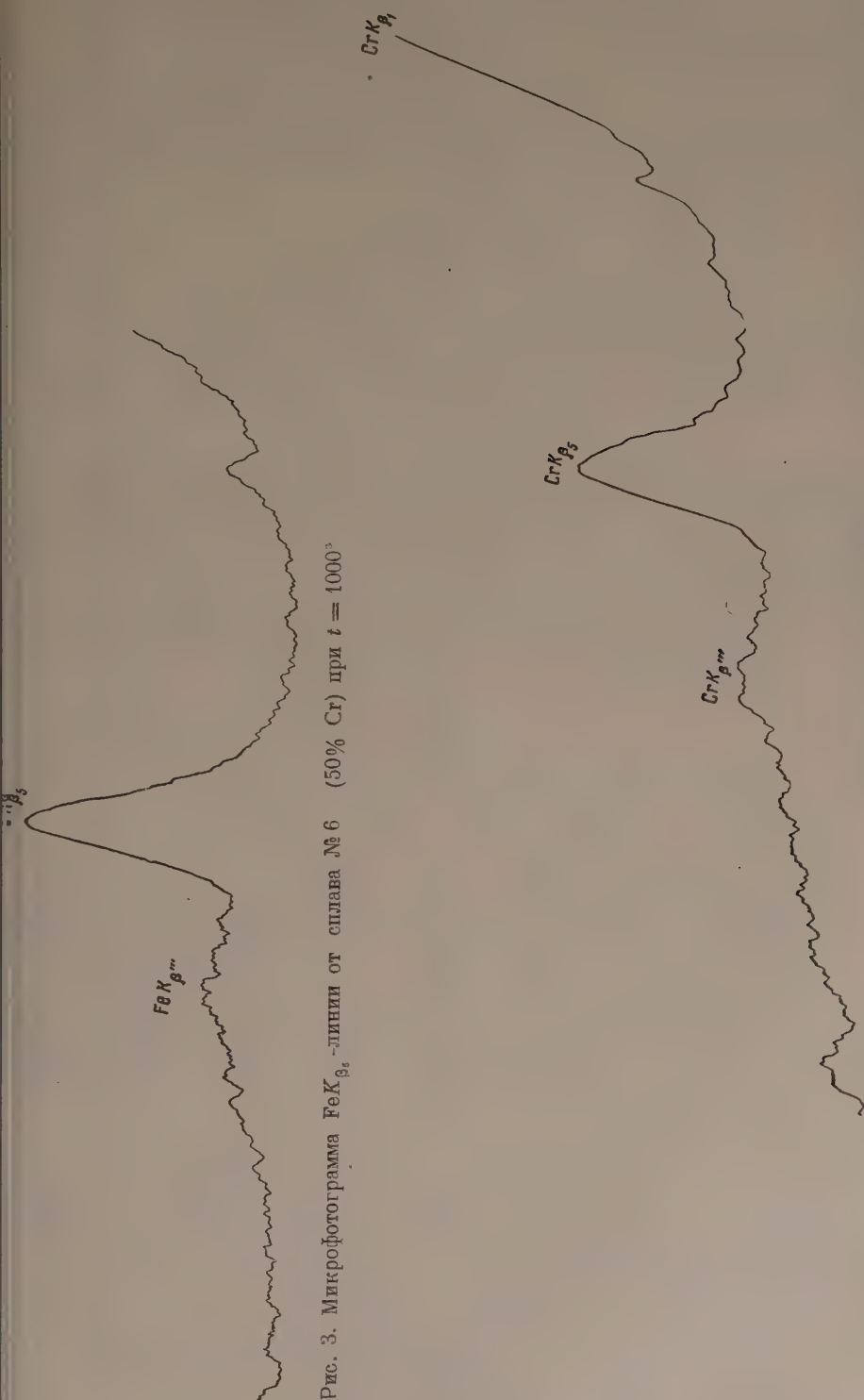


Рис. 3. Микрофотограмма $Fe K_{\beta_s}$ -линии от сплава № 6 (50% Cr) при $t = 1000^\circ$

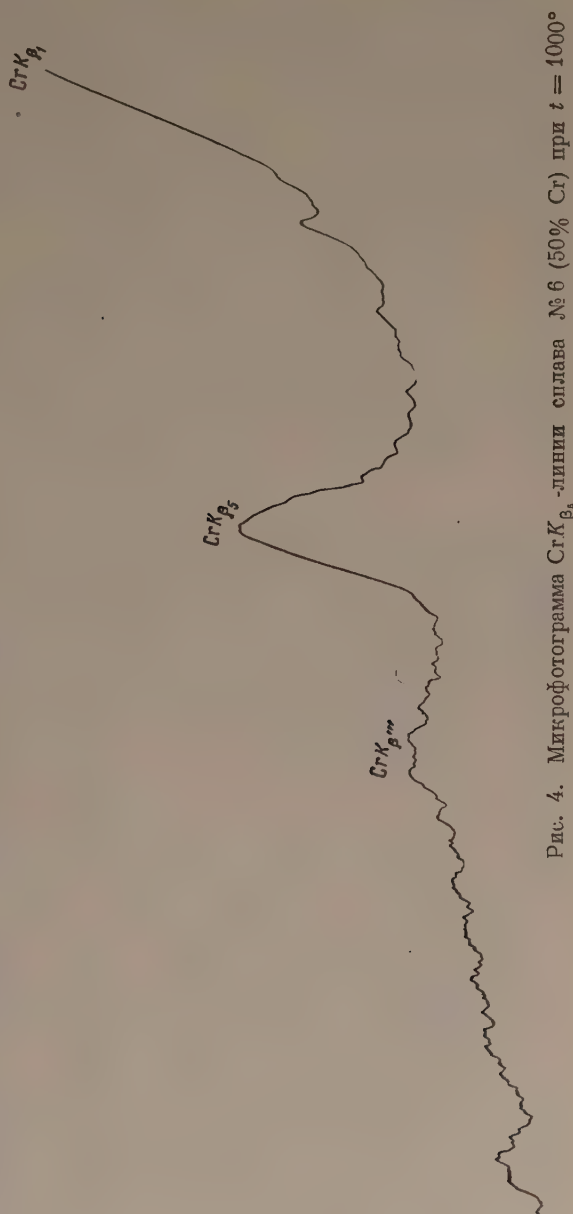


Рис. 4. Микрофотограмма $Cr K_{\beta_s}$ -линии сплава № 6 (50% Cr) при $t = 1000^\circ$

Разложение сложного контура $Fe K_{\beta_s}$ -полосы на составные части производилось методом последовательного вычитания в каждой точке контура K_{β_s} -полосы фотографических плотностей $K_{\beta_s^{III}}$ -сателлита. Учитывая полную симметрию разрешенного $Cr K_{\beta_s^{III}}$ -сателлита, предполагалось, что эта форма сохраняется и у $Fe K_{\beta_s^{III}}$ -сателлита.

Ширина K_{β_s} -полосы определялась как сумма двух слагаемых $T = T_1 + T_2$, где T_1 — ширина коротковолновой ветви, измеренной на половине максимальной интенсивности (т. е. от точки перегиба коротковолновой ветви, соответствующей энергии Ферми, до максимума полосы) T_2 рассчитывалась по формуле [10]:

$$T_2 = \frac{\gamma_{2n}}{1 - \frac{1}{n^{2/3}}}, \quad (15)$$

где γ_{2n} — ширина длинноволновой ветви K_{β_s} -полосы, измеренная в различных сечениях ее контура, при

$$n = \frac{I_{max}}{I_n} = \frac{S_{max}}{S_n}.$$

В полученное значение ширины K_{β_s} -полосы вводилась поправка на расширение полосы, вызванное конечной шириной K -уровня и косым падением лучей на пленку. Исправленное значение ширины K_{β_s} -полосы принималось за $T_{max} = |E_{max} - E_0|$ — кинетическую энергию электронов в полосе проводимости.

В табл. 4 приведен расчет одной из микрофотограмм, из которого видно, что уравнение (15) достаточно хорошо описывает ход длинноволновой ветви K_{β_s} -полосы.

Таблица 4

n	$1 - \frac{1}{n^{2/3}}$	S_n	$\lg t_n$	t_n	$\gamma_2 \times 20$, мм	γ_2 , мм	γ_2 , eV	T_2 , eV
1,00	0,00000	0,16080	1,88138	76,1	0,000	0,000	0,000	—
1,50	0,23686	0,10720	1,93498	86,1	5,5	0,275	3,076	12,986
2,00	0,37004	0,08040	1,96178	91,6	7,0	0,350	3,915	10,579
2,50	0,45712	0,06432	1,97786	95,0	8,1	0,405	4,530	9,909
3,00	0,51926	0,05360	1,98858	97,4	9,2	0,460	5,145	9,908
3,50	0,56620	0,04594	1,99624	99,2	9,9	0,495	5,537	9,779
4,00	0,60315	0,04020	2,00198	100,5	10,6	0,530	5,928	9,828
4,50	0,63312	0,03573	2,00645	101,5	11,1	0,555	6,208	9,805
5,00	0,65801	0,03216	2,01002	102,3	11,6	0,580	6,487	9,858
7,00	0,72672	0,02297	2,01921	104,5	12,6	0,645	7,214	9,926

Примечание:

$T_{2cp} = 9,859$ eV для $n = 2,5, 3,0, 3,5, 4,0, 4,5, 5,0, 7,0$;

$T_1 = 2,908$ eV для $\gamma_1 \times 20 = 5,2$.

В табл. 5 приведены сводные расчетные данные для T_{max} — кинетической энергии электронов и для n — числа «внешних» электронов на атом в полосе проводимости.

Расчет n производился по формуле (7):

$$n = 0,00453 V_a T_{max}^{2/3}, \quad (16)$$

где V_a — атомный объем, выраженный в \AA^3 .

Корреляция значения постоянных решеток Cr , $Fe\gamma$ и сплавов $Fe-Cr$ для температуры 1000° производилась с учетом коэффициентов линейного расширения, полученных из дилатометрических кривых.

Таблица 5

Объект исследования	Состав, %		T_{max}, eV		$V_a, \text{\AA}^*$	n	
	Fe	Cr	Fe K_{β_s}	Cr K_{β_s}		Fe	Cr
Fe	100	0	10,70	—	12,250	1,94	—
Сплав № 1	96	4	9,93	—	12,241	1,71	—
Сплав № 2	94,2	5,8	9,85	—	12,239	1,73	—
Сплав № 3	92	8	10,59	—	12,236	1,91	—
Сплав № 4	80	20	10,19	—	11,932	1,76	—
Сплав № 5	70	30	9,72	11,04	11,904	1,63	1,98
Сплав № 6	55	45	9,17	11,08	11,857	1,49	1,98
Сплав № 7	50	50	9,08	10,67	11,857	1,47	1,87
Сплав № 8	25	75	10,43	9,56	—	—	—
Cr	0	100	—	8,49	12,470	—	1,40

На рис. 5 и 6 приведены графики зависимости T_{max} и числа n «внешних» электронов на атом в полосе проводимости от концентрации компонентов сплавов.

Из этих рисунков видно, что ширина K_{β_s} -полосы хрома и железа достигает максимального значения для хрома и минимального для железа в средней области концентраций компонентов сплавов Fe-Cr; ширина K_{β_s} -полосы и число n для всех областей концентраций компонентов железо-хромистых сплавов (по-видимому, кроме двух), остаются разными для хрома и железа; переход по оси состава γ в α -твердый раствор для железа характеризуется резким изменением хода кривой зависимости T_{max} от концентрации компонентов сплавов Fe-Cr.

Показанное различие энергетического состояния атомов хрома и железа в исследованной области концентраций компонентов железо-хромистых сплавов открывает новые пути для исследования металлов и сплавов.

Детальное исследование тонкой структуры энергетического спектра электронов металлов и сплавов и характерных изменений в нем, вызванных влиянием различных факторов на энергетическое состояние атомов указанных объектов, становится неотложной задачей сегодняшнего дня.

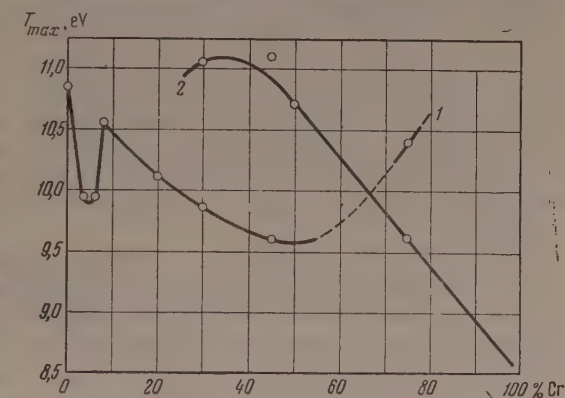


Рис. 5. Зависимость T_{max} от концентрации Cr в сплаве для: 1 — Fe и 2 — Cr

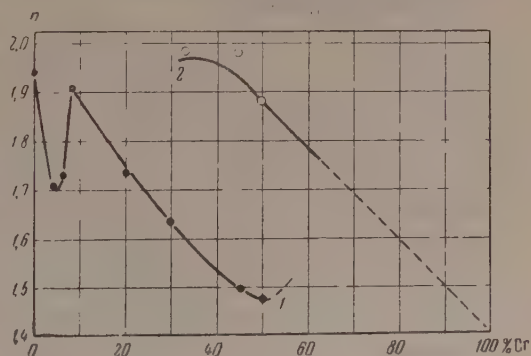


Рис. 6. Зависимость n от концентрации Cr в сплаве для: 1 — Fe и 2 — Cr

Выводы

1. На светосильном спектрографе с радиусом изгиба кристалла 500 мм и трубке для съемок рентгеновских спектров от образцов, находящихся

при высоких температурах, методом первичного возбуждения, при температуре 1000° в условиях качающегося кристалла, получены эмиссионные линии K_β -группы от чистых хрома и железа и от сплавов Fe-Cr с 4, 5, 8, 8, 20, 30, 45, 50 и 75%-ным содержанием хрома.

2. Переход хрома и железа в сплав Fe-Cr в изученной области концентраций компонентов сплавов, а также переход по оси состава γ в α -твердый раствор в пределах ошибок измерений не сказываются на положении максимумов FeK_{β_1} -, FeK_{β_2} - и CrK_{β_1} -линий.

3. Положение максимума CrK_{β_1} -полосы по мере увеличения концентрации железа в сплавах Fe-Cr смещается в сторону длинных волн.

Положение коротковолнового края CrK_{β_1} -полосы по мере увеличения концентрации железа смещается в сторону коротких волн, достигая минимального значения в средней области концентраций компонентов железохромистых сплавов.

4. Ширина полосы проводимости и число n «внешних» электронов на атом — для всех концентраций компонентов сплавов, кроме, по-видимому, двух, остаются разными для хрома и железа; достигают минимального значения для железа и максимального для хрома в средней области концентраций компонентов железохромистых сплавов.

5. Изменения ширины K_β -полосы хрома и железа и положения коротковолнового края полосы хрома говорят о сложном изменении электронной структуры атомов хрома и железа в сплавах Fe-Cr по мере изменения концентрации компонентов железохромистых сплавов.

6. Переход по оси состава γ в α -твердый раствор для железа характеризуется резким изменением хода кривой зависимости T_{max} — кинетической энергии электронов в полосе проводимости — от концентрации компонентов сплавов Fe-Cr.

7. Показанные различия энергетического состояния атомов хрома и железа в исследованной области концентрации компонентов железохромистых сплавов, полученные при температуре сплавов 1000° , требуют дальнейшего детального изучения тонкой структуры рентгеновских полос и установления характера влияния на эту структуру отдельных факторов; открывают новые пути для установления связи между физическими свойствами металлов и сплавов и структурой их энергетического спектра.

Институт металлофизики
Академии наук УССР;

Цитированная литература

1. Mott N. F., Jones H., Skinner H. W. B., Phys. Rev., 45, 370 (1934).
2. Skinner H. W. B., Phil. Trans. Roy. Soc. A., 239, 801, 95 (1940).
3. Борисов Н. Д., Фогель Я. М., ИТФ, 16, вып. 12, 1471 (1946).
4. Борисов Н. Д., Фогель Я. М., ИТФ, 7, вып. 2, 164 (1937).
5. Борисов Н. Д., ЖЭТФ, 6, вып. 5, 433 (1936).
6. Борисов Н. Д., Труды Института черной металлургии АН УССР, 6, (1953).
7. Блохин М. А., Физика рентгеновых лучей. — М., 1953.
8. Борисов Н. Д., Сб «Вопросы физики металлов и металловедения», 8 (1957).
9. Вайнштейн Э. Е., Кахана М. М., Справочные таблицы рентгеновской спектроскопии. — Изд. АН СССР, М., 1953.
10. Вайнштейн Э. Е., Рентгеновские спектры атомов в молекулах химических соединений и в сплавах. — Изд. АН СССР, М. — Л., 1950.

И. А. РУМЯНЦЕВ и М. И. КОРСУНСКИЙ
 ЛИНИИ L_{β_2} и L_{γ_2} В СПЕКТРАХ Cu и Zn

В настоящем сообщении излагаются первые результаты исследований, проведенных нами в L -серии рентгеновских спектров Cu и Zn.

В свободных атомах меди и цинка полоса $3d$ заполнена, и $4s$ -электроны являются валентными. Однако в твердом состоянии этих элементов переходы на уровень $4s$ не обнаружены. В K -серии переход на этот уровень вообще невозможен, а в L -серии — до сих пор не наблюдался.

Поскольку у Cu существует в K -серии линия K_{β_2} , соответствующая переходу $K - N_{II, III}$, то не вполне ясно, имеются ли электроны на L -уровне Cu в твердом состоянии.

Цель нашей работы — выяснить, существуют ли переходы $L_{II, III} - N_I$ Cu и Zn в твердом состоянии. При этом следует иметь в виду, что в германии, как явствует из статьи [1], такие переходы обнаружены, причем линии, соответствующие этим переходам, весьма интенсивны.

Линия L_{β_2} соответствует переходу $L_{III} - N_I$, линия L_{γ_2} — переходу $L_{II} - N_I$.

Линии L_{β_2} и L_{γ_2} германия расположены в спектре довольно близко к линиям $L_{\alpha_{1,2}}$ и L_{β_1} , соответственно. Поэтому можно было ожидать, что эти линии в спектре Cu и Zn также окажутся близкими к $L_{\alpha_{1,2}}$ и L_{β_1} . Исходя из этих соображений, мы исследовали L -спектр Cu и Zn в области близости линий $L_{\alpha_{1,2}}$ и L_{β_1} этих элементов.

Спектры L -серии Cu и Zn ранее исследовались в целом ряде работ [2—6]; линии L_{β_2} и L_{γ_2} не были в них обнаружены. Форма линий $L_{\alpha_{1,2}}$ и L_{β_1} Cu и Zn весьма различна у разных авторов. Расхождение общего вида спектров могло быть следствием того факта, что эти авторы работали при различных условиях возбуждения спектров, т. е. эти различия могли быть обусловлены образованием соединений (в частности, окислов) на поверхности исследуемых образцов.

Исходя из этого, решено было изучить зависимость вида спектров Cu и Zn от условий возбуждения. Условия возбуждения отличались в основном степенью нагрева анода и длительностью его работы.

Изучение спектров производилось на вакуумном светосильном рентгеновском спектрографе с изогнутым кристаллом слюды и фотографической регистрацией (см. [1]).

Для исследования спектра Cu был изготовлен анод из электролитической меди. Цинк применялся в виде пластинок толщиной 2 мм, укрепленных на медном аноде, а также в виде тонкого слоя, напыленного на поверхность анода.

Напряжение на трубке было 5—7 кВ, ток через трубку 10—15 мА; время экспозиции 2—6 час. Температура анода контролировалась посредством термопары медь — константан. Вакуум составлял $1,2-1,5 \cdot 10^{-5}$ мм рт. ст. Полученные снимки фотометрировались на регистрирующем микрофотометре МФ-4.

Как показали наши измерения, вид линий $L_{\alpha_{1,2}}$ и L_{β_1} Cu оказался зависящим от условий возбуждения. При некоторых условиях линии $L_{\alpha_{1,2}}$ и L_{β_1} оказываются двойными, причем вторая линия сильно меняет свою интенсивность в зависимости от условий получения спектра.

На рис. 1 приведена микрофотограмма снимка L -серии Cu , полученной при достаточно низкой температуре на аноде (порядка 100°). На нем хорошо заметно раздвоение линии $L_{\alpha_{1,2}}$. Мы считаем, что вторая линия (более коротковолновая) является диаграммной линией L_{β_2} , т. е. обусловлена переходом $L_{III} - N_I$. Аналогично, линия L_{β_1} на снимке также раздваивается; коротковолновая компонента линии L_{β_1} отождествлена с L_{γ_2} .

Уменьшение интенсивности линий L_{β_2} и L_{γ_2} (по отношению к интенсивности линий $L_{\alpha_{1,2}}$ и L_{β_1} , соответственно) по мере окисления поверхности исследуемого образца (рис. 2 и 3) объясняется переходом к атому кислорода валентного $4s$ -электрона.

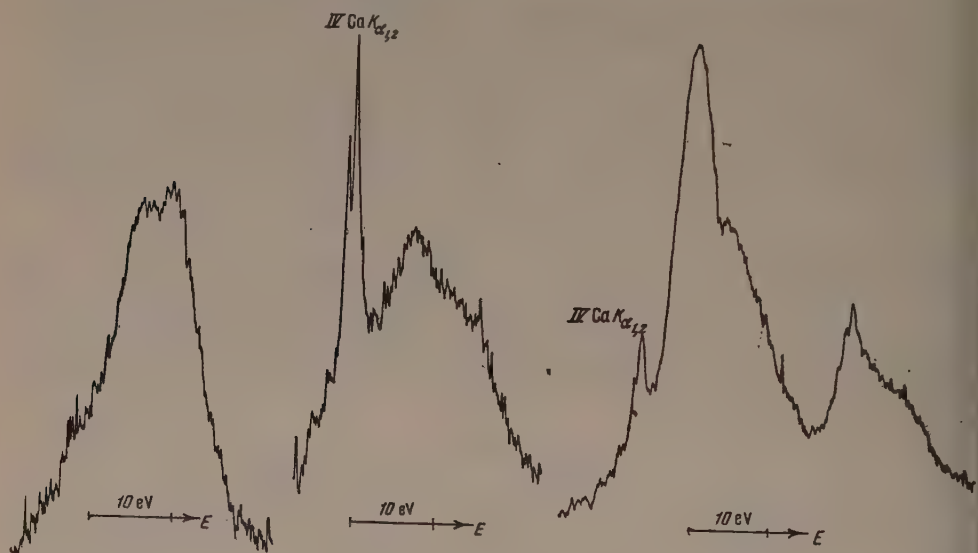


Рис. 1

Рис. 2

Рис. 3

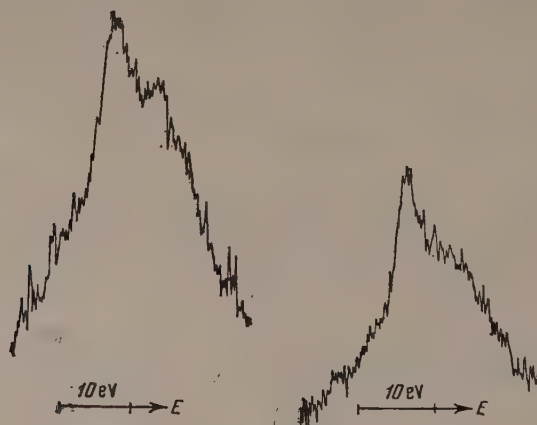


Рис. 4

Рис. 5

Рис. 1. Линии $L_{\alpha_{1,2}}$ и L_{β_2} Cu

рис. 2. Линии $L_{\alpha_{1,2}}$ и L_{β_2} Cu ; образец частично окислен. Высокая интенсивность первой линии $\text{IV Ca K}_{\alpha_{1,2}}$ обусловлена большим количеством соли кальция, нанесенной на анод

рис. 3. Линии $L_{\beta_{1,2}}$, L_{β_2} , L_{β_1} , L_{γ_2} Cu ; образец в значительной мере окислен с поверхности

Рис. 4. Линии $L_{\alpha_{1,2}}$ и L_{β_2} Zn Рис. 5. Линии $L_{\alpha_{1,2}}$ и L_{β_2} Zn ; образец частично окислен

Энергетический интервал $M_{IV, V} - N_I$, полученный из сравнения положения в спектре линий $L_{\alpha_{1,2}}$ и L_{β} , составляет примерно 4,5 eV, что совпадает с ожидаемым значением.

Для Zn были получены совершенно аналогичные результаты (рис. 4 и 5). в этом случае наиболее яркие линии L_{β} и L_{γ} получены в условиях наилучшего охлаждения поверхности исследуемого вещества (слой цинка напылен на поверхность медного анода). Энергетический интервал $M_{IV, V} - N_I$ в случае Zn составляет примерно 5,5 eV.

Выводы

1. Вид L -спектра Cu и Zn очень сильно зависит от условий возбуждения спектра. В связи с этим все данные по L -серии элементов средних атомных номеров (примерно от 26 Fe до 35 Br) требуют проверки.
2. В спектрах Cu и Zn обнаружены линии L_{β} и L_{γ} , соответствующие переходам с уровня N_I на уровни L_{III} и L_{II} , соответственно.

Харьковский политехнический
институт

Цитированная литература

1. Боровикова Г. П., Корсунский М. И., см. настоящий номер журнала, стр. 1438.
2. Farineau J., Nature, **140**, 508 (1937)
3. Farineau J., Ann. de Phys., (11), **10**, 20 (1938).
4. Gwinner E., ZS. f. Phys., **108**, 523 (1938).
5. Cauchois Y., Acta crystallogr., **5**, 348 (1952).
6. Cauchois Y., Phil. mag., **44**, 173 (1953).

Г. П. БОРОВИКОВА и М. И. КОРСУНСКИЙ

РЕНТГЕНОВСКИЙ СПЕКТР *L*-СЕРИИ ГЕРМАНИЯ

Известно, что переход вещества в различные физические и химические состояния сопровождается определенными изменениями состояния атома в нем. Энергетические изменения состояния электронов в атоме вещества должны отражаться на структуре рентгеновских спектральных линий. Ясно, что для спектроскопии твердого тела наибольший интерес представляют спектральные линии, соответствующие переходам валентных электронов, энергетические состояния которых подвержены наиболее сильным изменениям при переходе атомов вещества из одного состояния в другое. Ввиду того, что энергетическая дисперсия возрастает по мере увеличения длины волны, для элементов средних атомных номеров ($Mn^{25}-Mo^{42}$) оказывается наиболее пригодным исследование *L*-серии.

Длины волн линий *L*-серии этих элементов лежат в области 5—18 Å. Эта область может быть изучена при помощи кристалла слюды, обладающего большой светосилой и разрешающей способностью.

Надо отметить, что изучение *L*-серии элементов $Mn^{25}-Mo^{42}$ является крайне необходимым. *L*-серия содержит три подуровня (2*s*- и 2*p*-состояния), поэтому изучение переходов электронов, дающих *L*-серию, может дать более подробные сведения о структуре уровней. В частности, могут быть обнаружены переходы $L_{II} \rightarrow N_I$, $L_{III} \rightarrow N_I$ и $L_I \rightarrow N_{II-III}$, в которых участвуют валентные электроны (переходы валентных электронов для группы элементов $Mn^{25}-Ge^{32}$ на *K*-уровень являются запрещенными). К сожалению, *L*-серия группы элементов $Mn^{25}-Br^{45}$ изучена недостаточно полно.

Из таблицы длин волн линий *L*-серии элементов от иттрия до меди, взятой из монографии Блохина [1], видно, что в спектрах меди, цинка, галлия, мышьяка, германия, селена отсутствуют линии L_{β_6} и L_{γ_6} , соответствующие переходам $L_{III} \rightarrow N_I$ и $L_{II} \rightarrow N_I$. В спектрах этих элементов отсутствует также линия $L_{\gamma_{2,3}}$, соответствующая переходу $L_I \rightarrow N_{II-III}$. В спектрах галлия, германия и селена не найдены линии L_{β_6} и L_{γ_6} , что представляется удивительным, так как у соседних элементов эти линии имеются. Наиболее удивительным является отсутствие переходов электронов с N_I на L_{II-III} (γ_5 и β_6).

Для исследования был выбран германий, так как у свободного атома германия уровень N_I должен быть полностью заполненным. Целью настоящей работы и явилось исследование *L*-серии рентгеновского спектра германия.

1. Аппаратура и метод исследования

Рентгеновский спектр *L*-серии германия получался при помощи трубки типа Красникова [2] для флуоресцентного анализа. Однако мы не можем утверждать, что спектр является чисто флуоресцентным, так как на вторичный анод все же попадало considerable количество электронов. Прямой ток составлял 1/20 часть от общего тока через трубку и был равен 0,5 мА. Такой малый ток при широком фокусе и при интенсивном охлаждении проточной водой не мог значительно разогреть вторичный анод, на котором

омещалось исследуемое вещество. Температура исследуемого вещества измерялась термопарой, спай которой находился в непосредственном прикосновении с анодом. В наших опытах температура германия не превышала $50-60^\circ$.

Первичный анод трубки покрывался алюминиевой пластинкой. Основным возбуждающим излучением было излучение AlK_{α_1} , K_{α_2} , линии длиной волны 8321, 37 и 8323, 82 X. Вследствие расположения вторичного анода вблизи кристалла внутри фокусного круга все фокусное пятно принимало участие в образовании спектра. Трубка работала при 3,5 — 10 kV и 10 mA. Разложение рентгеновского излучения в спектр производилось при помощи высоковакуумного светосильного спектрографа с изогнутым кристаллом слюды. Размеры кристалла — 10×40 мм, радиус изгиба равен 990 мм. Вакуум спектрографа был общим с вакуумом рентгеновской трубки и составлял $5-6 \cdot 10^{-6}$ мм рт. ст. Фотографирование спектра производилось на фотопленке Agfa Isopan F. Пленка предохранялась от засвечивания алюминиевой фольгой толщиной около 2 μ . Спектры фотографировались на регистрирующем микрофотометре МФ-4.

2. Результаты измерений

А. Линии L_{β_2} и L_{β_3} в спектре германия

Возможное значение длины волны L_{β_2} германия было определено путем интерполяции, т. е. построения зависимости $\lambda = f(Z)$, и оно оказалось равным 9570 X. Для исследования чистый монокристаллический германий помещался на место вторичного анода рентгеновской трубки.

При фотографировании рентгеновского спектра с целью обнаружения линий $L_{(\beta_{2,3})}$ спектрограф фокусировался на линию в 9570 X. На всех снимках этой области спектра, полученных при различных условиях возбуждения (напряжения 3,5—5 kV, ток 10—16 mA, время экспозиции 9—12 час), обнаруживались две линии, расположенные близко друг к другу (см. рис. 1). Были измерены длины волн обнаруженных линий; они оказались равными 9561 X и 9620 X. Расчет длин волн производился по микрофотограммам. Линейная дисперсия в рассматриваемой области углов рассеяния была равна $5,4$ X mm^{-1} . Линиями сравнения служили K_{α_1} и K_{β_1} кальция в третьем порядке. Кальций был взят в виде соединения $CaCO_3$. При расчете длин волн вводилась поправка на отклонение от закона

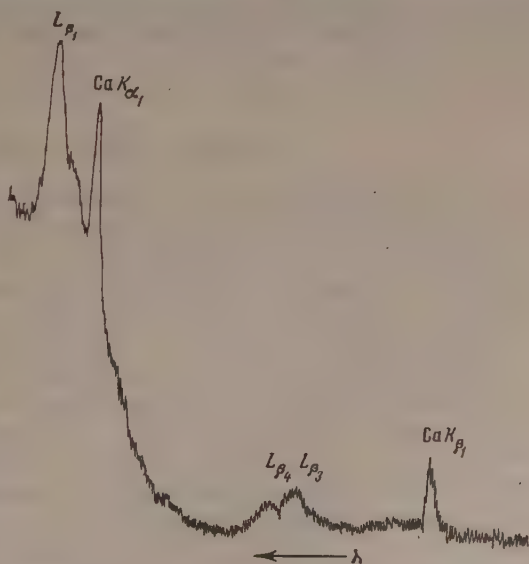


Рис. 1. Исследуемая область L-спектра германия

Вульфа — Брэгга. Температурная поправка была меньше 0,1 X, а потому во внимание не принималась. Ошибка при определении длины волны была ~ 2 X. Сопоставление измеренных значений длин волн со значениями известных длин волн для всех элементов (во всех возможных порядках) показало, что обнаруженные линии принадлежат германию. Это подтверждается тем обстоятельством, что исследуемые образцы монокристаллического германия обладали высокой степенью чистоты.

Из микрофотограммы (рис. 1) видно, что коротковолновая линия интенсивнее, чем длинноволновая. Из литературных данных известно, что в дублете L_{β}, L_{β_1} коротковолновая линия L_{β_1} , соответствующая переходу $L_I \rightarrow M_{III}$, является наиболее интенсивной, — ее интенсивность приблизительно в 1,5 раза больше интенсивности длинноволновой линии L_{β} , соответствующей переходу $L_I \rightarrow M_{II}$. Значение длины волны коротковолновой линии наиболее близко к значению длины волны L_{β_1} , определенному интерполяцией. На основании этого наиболее интенсивная линия с длиной волны в 9561 X нами была принята за линию L_{β_1} германия, линия же с длиной волны в 9620 X принята за L_{β} .

Следует отметить, что при такой трактовке обнаруженных линий дублетное расстояние у германия оказывается несколько завышенным. У элементов, расположенных выше германия, начиная с 37 Rb, различие в длинах волн линий, составляющих дублет L_{β}, L_{β_1} , равно 35 X. Найденное нами значение составляет 59 X. Однако надо иметь в виду, что германий находится недалеко от группы элементов, у которых завершалась застройка M -оболочки, а потому у этой группы элементов расстояние между уровнями M_{II} и M_{III} может оказаться несколько большим обычного значения, присущего более тяжелым элементам.

Соотношение интенсивности L_{β_1} и L_{β}, L_{β_1} установить трудно, так как имела значительная разница в плотностях почернения сравниваемых линий. При плотностях L_{β}, L_{β_1} , достаточной для фотометрирования, линия L_{β_1} оказывается передержанной (переэкспонированной). Поэтому соотношение интенсивностей линий L_{β_1} , L_{β_1} и L_{β} нами только оценено путем перерасчета интенсивности L_{β_1} , исходя из данных о времени экспозиции снимка, на котором имеются линии L_{β}, L_{β_1} и L_{β_1} , и снимка, на котором плотность почернения линии L_{β_1} равна 0,44.

Отношение $IL_{\beta_1}:IL_{\beta}$ по этой оценке оказалось равным 0,13. Как видно из полученных данных, интенсивность линии L_{β_1} , а следовательно, и L_{β} очень мала. В силу такой малой интенсивности линий и значительного фона при первичном методе исследования авторам более ранних работ, по-видимому, не удалось наблюдать эти линии.

Б. Линии L_{β} и L_{γ_1} в спектре германия

Отсутствие линий L_{β} и L_{γ_1} в спектре германия делает неясным вопрос о том, имеются ли электроны на уровне N_I в твердом состоянии германия. Необъяснимо отсутствие линии $L_{\gamma_{2,1}}$, так как линия K_{β} ($K \rightarrow N_{II-III}$) у германия найдена и длина волны ее измерена с достаточно большой точностью. Наличие перехода $K \rightarrow N_{II-III}$ доказывает существование в твердом германии электронов на внешнем уровне N_{II-III} и делает неясными причины отсутствия электронов на уровне N_I .

В настоящей работе были проведены исследования L -серии и с целью выяснения наличия переходов $L_{III} - N_I$, $L_{II} - N_I$ и $L_I \rightarrow N_{II-III}$ в твердом германии. Уже визуальное изучение полученных нами снимков $L_{\alpha_{1,2}}$ и L_{β} выявило резкое отличие их от снимков, приводимых в литературе, в частности от снимков Гвиннера [3], который исследовал зависимость формы $L_{\alpha_{1,2}}$ - и L_{β} -линий и их сателлитов от вида связи. Исследования Гвиннера были сделаны при помощи спектрографа с плоским кристаллом слюды и ионной трубкой с водородным охлаждением и острым фокусом. Линейная дисперсия $D = 55,2 \text{ X мм}^{-1}$. Был исследован металлический германий и GeO_2 .

Гвиннер установил, что для металлического германия и GeO_2 линии $L_{\alpha_{1,2}}$ и L_{β} являются одиночными симметричными линиями с сателлитами с коротковолновой стороны. Интенсивность сателлитов по отношению к основной линии уменьшается при переходе от металлического германия к GeO_2 . Кроме того, замечено, что сателлиты чистого германия являются

зкими, а спутники GeO_2 размываются, причем α' и α'' у GeO_2 не выделяются и дают один спутник, расстояние которого от основной линии совпадает со средним расстоянием для α' и α'' для чистого германия.

В спектре чистого монокристаллического германия, полученном нами, линии $L_{\alpha_{1,2}}$ и L_{β_1} имеют резко выраженный дублетный характер (рис. 2). Интенсивности спутников $L_{\alpha_{1,2}}$ и L_{β_1} (обозначим их L_{α_x} и L_{β_x} , соответственно) сравнимы с интенсивностями основных линий (рис. 3). Существова-

ние таких резких и интенсивных спутников $L_{\alpha_{1,2}}$ и L_{β_1} у металлического германия в литературе не описано.

Если отсутствие в *L*-спектре германия линий L_{β_2} и L_{β_3} могло быть объяснено их малой интенсивностью, то отсутствие таких ярких линий требует выяснения. Для того чтобы установить истинность существования обнаруженных линий (L_{α_x} и L_{β_x}), нами были получены снимки $L_{\alpha_{1,2}}$ и L_{β_1}

при различных условиях возбуждения и различном времени экспозиции. Возбуждение спектра производилось при напряжении ниже потенциала возбуждения *K*-серии, но в несколько раз выше потенциала возбуждения *L*-серии (напряжение 3—5 кВ, ток 10—16 мА, время экспозиции 2—4 час). На всех снимках дублетный характер линий $L_{\alpha_{1,2}}$ и L_{β_1} сохранялся. Максимальное почернение фотометрируемых снимков мало. Плотность почернения для L_{β_1} равна 0,34, для $L_{\alpha_{1,2}}$ — 0,51.

На рис. 2 представлен увеличенный снимок $L_{\alpha_{1,2}}$ и L_{β_1} , полученный при напряжении 3,5 кВ, токе 10 мА и времени экспозиции 3 час, а на рис. 3 дана микрофотограмма такого снимка. Из микрофотограммы видно,

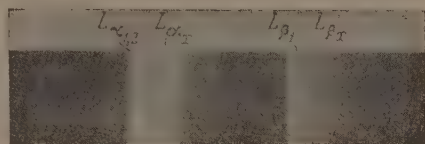


Рис. 2. Увеличенный снимок линий $L_{\alpha_{1,2}}$ и L_{β_1} германия

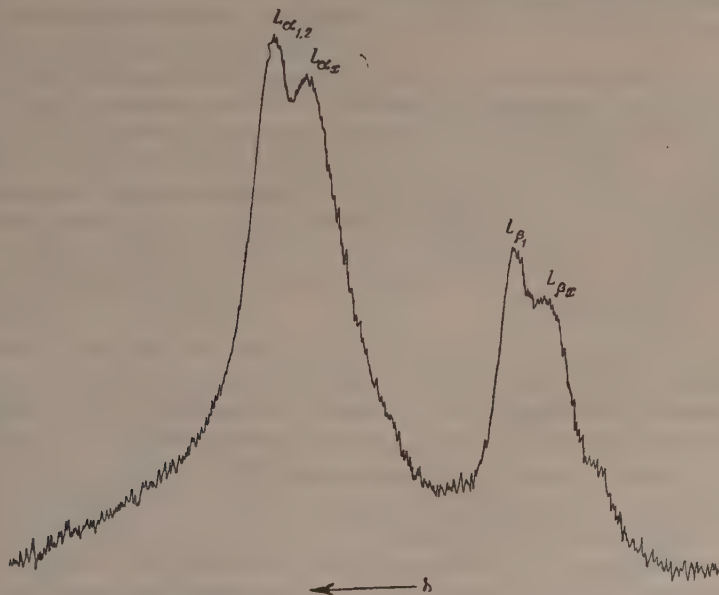


Рис. 3. Микрофотограмма $L_{\alpha_{1,2}}$ -и L_{β_1} -спектра германия. Увеличение $4 \times$

то двойная линия асимметрична. Из асимметрии двойных линий следует, что спутники шире основных линий.

Столь большая интенсивность L_{α_x} и L_{β_x} дает право утверждать, что эти линии не могут быть спутниками, а являются диаграммными линиями.

Поскольку единственными возможными диаграммными линиями являются линии L_{β_0} и L_{γ_0} , соответствующие переходам $L_{III} \rightarrow N_I$ и $L_{II} \rightarrow N_I$, то естественно было проверить, не являются ли обнаруженные нами линии L_{α_x} и L_{β_x} линиями L_{β_0} и L_{γ_0} . Если переходы $L_{III} \rightarrow N_I$ и $L_{II} \rightarrow N_I$ имеют

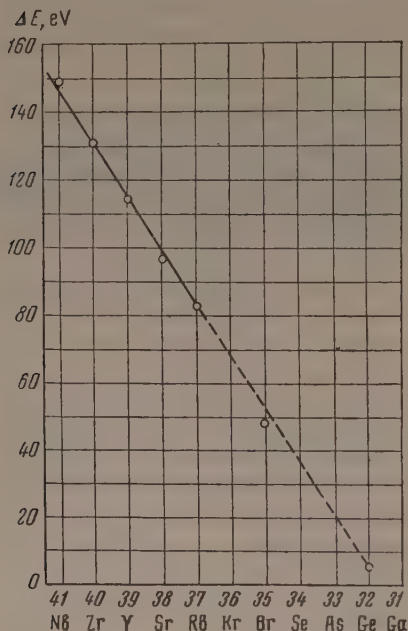
место, то в спектре германия должны появиться две линии L_{β_0} и L_{γ_0} , для которых должно иметь место следующее соотношение:

$$E_{L_{\beta_0}} - E_{L_{\alpha_{1,2}}} = E_{L_{\gamma_0}} - E_{L_{\beta_1}}.$$

Действительно, для обнаруженных линий это соотношение выполняется. Для проверки нами было экстраполировано значение ΔE разности между уровнями N_I и M_{IV} для элементов группы Rb³⁷ — Mo⁴². К сожалению, данных об уровне энергии N_I элементов, расположенных более близко к германию, нет. Из графика, представленного на рис. 4, видно, что разница в энергии между уровнями N_I и M_{IV} падает с уменьшением атомного номера в этой группе элементов приближенно по линейному закону.

Таким образом, большое значение величины ΔE должно быть только у элементов, далеких от германия. У германия и близких к нему элементов ΔE должно быть малым, и, следовательно, линии L_{β_1} и L_{γ_1}

Рис. 4. Зависимость энергетического интервала между уровнями M_{IV} и N_I от атомного номера



должны быть близкими одна к другой. Найденное нами экспериментально значение ΔE для германия равно 4,9 эВ. Это значение ΔE хорошо ложится на экстраполированный участок прямой $\Delta E = f(Z)$.

Нами было обнаружено, что соотношение интенсивностей спутников и основных линий сильно зависит от того, подвергался ли данный образец электронной бомбардировке. Если монокристалл германия достаточно долго подвергался экспонированию при вакууме $1 \cdot 10^{-4}$ мм рт. ст., то интенсивность L_{α_x} и L_{β_x} значительно уменьшалась по сравнению с интенсивностью $L_{\alpha_{1,2}}$ и L_{β_1} .

Такое значительное уменьшение соотношения интенсивностей нами было объяснено постепенным окислением поверхности германия. С целью проверки данного предположения и выяснения влияния химической связи на обнаруженные линии L_{α_x} и L_{β_x} нами был изучен спектр GeO_2 .

На рис. 5 представлена микрофотограмма спектра GeO_2 . Как видим, спектр GeO_2 резко отличается от спектра чистого монокристаллического германия, полученного нами (рис. 3), и очень сходен со спектром, полученным Гвиннером [3] для металлического германия (рис. 6). В спектре GeO_2 интенсивность спутников L_{α_x} и L_{β_x} резко уменьшилась. Такое резкое уменьшение интенсивности L_{α_x} и L_{β_x} в спектре GeO_2 может быть объяснено отсутствием электронов на уровне N_I у атомов германия, находящихся в соединении GeO_2 . В соединении GeO_2 германий четырехвалентный, связь атомов германия с атомами кислорода обуславливается переходом четырех электронов германия, находящихся на уровне N_I и N_{II-III} , к атомам кислорода. Поэтому в спектре GeO_2 линии L_{α_x} и L_{β_x}

должны исчезнуть, а соседями $L_{\alpha_{1,2}}$ и L_{β_1} останутся только их коротко-волновые сателлиты.

То обстоятельство, что линии L_{α_x} и L_{β_x} имеются в спектре чистого германия и отсутствуют в спектре GeO_2 , дает основание сделать заклю-

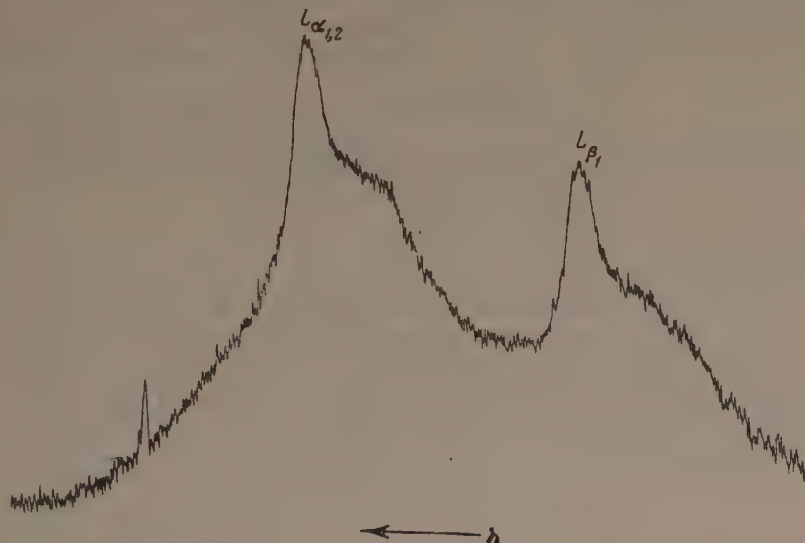


Рис. 5. Микрофотограмма $L_{\alpha_{1,2}}$ и L_{β_1} спектра GeO_2 . Увеличение $4\times$

ение о том, что линии L_{α_x} и L_{β_x} связаны с переходом $L_{III} \rightarrow N_I$ и $L_{II} \rightarrow N_I$, т. е. являются линиями L_{β_s} и L_{γ_s} .

Следует отметить, что для германия в твердом состоянии обнаружена линия K_{β_s} , соответствующая переходу $K \rightarrow N_{II-III}$. В L-спектре германия нами обнаружена линия, длина волны которой равна $9709 \text{ X} \pm 5 \text{ X}$, соответствующая по своему месту положения линии $L_{\gamma_{2,3}}$ ($L_I \rightarrow N_{II-III}$).

Наличие в спектре твердого германия линий K_{β_s} , $L_{\gamma_{2,3}}$, связанных с переходом с уровня N_{II-III} , дает основание считать, что в L-спектре германия должны быть линии, связанные с переходом с N_I -уровня, расположенного ниже уровня N_{II-III} . Совокупность всех перечисленных фактов дает право утверждать то, что линия L_{α_x} есть линия L_{β_s} , а линия L_{β_x} — линия L_{γ_s} . Нами были измерены длины волн обнаруженных линий L_{β_s} и L_{γ_s} . Они оказались равными 10365 и 10103 X. Расчет длин волн производился по микрофотограммам.

Линейная дисперсия в данной области углов отражения была равна около 32 X мм^{-1} . Линиями сравнения служили K_{α_1} и K_{α_2} Mn в пятом порядке, а также K_{α_1} и K_{α_2} Si в седьмом порядке. При расчете длин волн

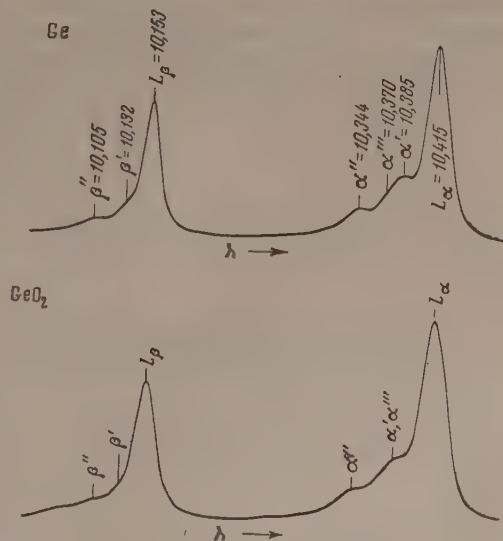


Рис. 6. Спектр германия и GeO_2 по Гвиннеру [3]

вводилась поправка на отклонение от закона Вульфа — Брэгга (на преломление). Ошибка была $\sim 2X$.

Следует иметь в виду, что излучение спектра \bar{L} -серии происходит с поверхностного слоя толщиной 10^{-5} см. Отсутствие линий L_{β} и L_{γ} в спектре металлического германия, полученного Гвиннером [3] и другими исследователями [4], может быть объяснено наличием на поверхности германия тонкой пленки окисла, появившейся в момент возбуждения спектра.

На основании полученных результатов можно высказать гипотезу о том, что отсутствие линий L_{β} и L_{γ} у элементов группы $Mn^{25} - Ge^{32}$ может быть следствием наличия процесса окисления в момент возбуждения спектров.

Харьковский политехнический
институт

Цитированная литература

1. Б л о х и н М. А., Физика рентгеновских лучей. — ГИТТЛ, 1953.
 2. К р а с н и к о в А. И., Завод. ла ор., 4—5, 1939.
 3. G w i n n e r E., ZS. f. Phys., 108, Н. 7—8 (1938).
 4. T h o r a e u s R., Phil. Mag. 7, 2, 1007 (1926).
-

С. М. КАРАЛЬНИК

ВНЕШНЕЕ ЭКРАНИРОВАНИЕ И ТОНКАЯ СТРУКТУРА РЕНТГЕНОВСКИХ СПЕКТРОВ

В [1] было указано на целесообразность учета изменения степени так называемого внешнего экранирования при изменении межатомной связи металлических сплавов для истолкования наблюдаемых изменений в рентгеновских спектрах поглощения компонентов сплава.

При этом мы исходили из того известного положения, что существует алая, но конечная вероятность нахождения внешнего электрона атома области его внутренних электронов. Благодаря этому внешние электроны в какой-то мере экранируют взаимодействие внутренних электронов атома с его ядром. Степень такого экранирования изменяется с изменением межатомной связи, обусловленной участием внешних электронов атома. Вследствие этого изменяется эффективное действие ядра на внутренние электроны атома, что и проявляется на тонкостях рентгеновских спектральных характеристик.

Данное сообщение является попыткой развить указанный подход возможной интерпретации тонкой структуры рентгеновских спектров, что, оказывается, может быть полезным для понимания изменений рентгеновских спектров компонентов не только металлических сплавов, но и веществ других типов связи.

Прежде всего необходимо оценить величину указанного экранирования для разных электронов атома. Такая оценка, правда приближенная, была сделана * в [2]. Для описания состояния электронов в атоме мы использовали радиальную часть водородоподобной функции по Бете [3], составленную для разных электронов:

$$R_{nl}(r) =$$

$$= \frac{1}{(2l+1)!} \sqrt{\frac{(n+l)!}{(n-l-1)! 2n}} \left(\frac{2Z}{n}\right)^{3/2} e^{-\frac{Zr}{n}} \left(\frac{2Zr}{n}\right)^l F\left[-(n-l-1), 2l+2, \frac{2Zr}{n}\right], \quad (1)$$

где $F(\alpha, \beta, x)$ — вырожденная гипергеометрическая функция. После подстановки размерных величин получаем:

$$R_{nl} = \frac{1}{(2l+1)!} \sqrt{\frac{(n+l)!}{(n-l-1)! 2n}} \left(\frac{2}{na_{nl}}\right)^{3/2} e^{-\frac{r}{na_{nl}}} \left(\frac{2r}{na_{nl}}\right)^l F\left[-(n-l-1), 2l+2, \frac{2r}{na_{nl}}\right], \quad (2)$$

где $a_{nl} = \frac{a_B}{Z^*}$ — величина, зависящая от эффективного значения заряда ядра для соответствующего электрона атома. Она определяется из выражения, составленного по аналогии с выражением Бете для радиуса

* По указанию М. А. Кривоглаза.

боровской орбиты атома водорода:

$$r^2 = \frac{n^2}{2Z^2} a_B^2 [5n^2 + 1 - 3l(l+1)]; \quad (3)$$

в нашем случае

$$r_{nl}^2 = \frac{n^2}{2} a_{nl}^2 [5n^2 + 1 - 3l(l+1)], \quad (3')$$

а r_{nl} определялась по Слейтеру [4]:

$$r_{nl} = \frac{n^{*2}}{Z^*} a_B,$$

где n^* и Z^* — соответствующим образом определяемые величины для нужных n и l ; таким образом были определены r_{nl} для $Z = 26$:

$$r_{4s} = 1,95 \text{ \AA}, \quad r_{3d} = 0,77 \text{ \AA}, \quad r_{3p} = 0,326 \text{ \AA}, \quad r_{3s} = 0,326 \text{ \AA},$$

$$r_{2p} = r_{2s} = 0,098 \text{ \AA}, \quad r_{1s} = 0,021 \text{ \AA}.$$

Подставив эти значения в (3'), определяем a_{nl} .

Далее вычисляем $\int_0^{r_{ik}} r^2 R_{nl} dr$ — вероятность того, что nl -электрон находится в объеме сферы радиуса r_{ik} . Наконец, определяем долю заряда nl -электрона в объеме сферы радиуса r_{ik} .

Таким образом, проведенные вычисления привели к следующим значениям величин зарядов разных внешних электронов в соответствующих внутренних оболочках атома элемента с номером $Z = 26$ (табл. 1).

Таблица 1

Внешние электроны	Внутренние электроны				
	1 s	2 s	3 s	2 p	3 p
2 s	0,0445	0,631	0,999	0,631	0,999
3 s	0,0325	0,0445	0,69	0,0445	0,65
4 s	0,001 (0,007)	0,003	0,036	0,003	0,036
2 p	0,0055	0,63	0,999	0,63	0,999
3 p	0,0002	0,088	0,594	0,088	0,594
3 d	$1,5 \cdot 10^{-7}$	0,008			

Приведенные значения должны рассматриваться как весьма приближенные, ориентировочные. И это не только потому, что для их получения использовано приближение водородоподобных функций, а радиусы соответствующих внутренних оболочек брались по Слейтеру для изолированных атомов (что, например, отразилось на значении величины экранирования 4 s-электронов s-оболочки, для которого, если за радиус 4 s-оболочки взять радиус атома железа, $\sim 1,3 \text{ \AA}$, получается величина 0,007).

Дело в том, что для сложного атома, где много электронов, внешнее экранирование безусловно обладает качественно новыми чертами. Однако поскольку в данное время мы не располагаем более точными данными*, будем пользоваться этими, тем более, что для понимания существа вопроса, для качественных сравнений и выводов, они, как оказывается,

* Предполагают, что более точные результаты можно получить, пользуясь методом Томаса — Ферми.

дают немало. Подчеркиваем важное для дальнейшего обстоятельство: величина внешнего экранирования оказывается конечной даже для периферийных электронов с большим значением главного квантового числа. Если это электроны s -симметрии, то они экранируют даже самую «глубокую» $1s$ -оболочку и при этом все больше в меру уменьшения их главного квантового числа. Электроны p -типа такого экранирования «глубокой» оболочки не осуществляют при больших значениях главного квантового числа первых. Электроны типа $3d$ совсем не экранируют $1s$ -электронов, хотя другие внутренние оболочки экранируются ими в значительной мере. Таким образом, внешние электроны разного типа по-разному экранируют внутренние электроны атома.

В конденсированном состоянии вещества атомы уже взаимосвязаны. Независимо от типа межатомной связи, последняя приводит к перераспределению электронной плотности, вследствие этого изменяется степень принадлежности внешнего электрона своему атому. При этом могут быть различные случаи: «оттягивание» внешних электронов от атома, возбуждение их на энергетически более высокие состояния (уровни), «внедрение» их в более внутренние оболочки своего атома, передача в какой-то мере электронов во владение атомам компонентов — партнеров по связи (что не обязательно означает ликвидацию связи этих электронов со своим атомом) — или в коллективное владение многих соседей и т. д. При этом вместе с различной степенью или характером вовлечения в связь внешних электронов изменяется величина внешнего экранирования ими внутренних электронов, которым собственно обязаны своим образованием рентгеновские спектры. Вот почему, мы полагаем, рентгеновские спектры, отображающие внутриатомные процессы, «чувствительны» к межатомной связи, осуществляемой внешними электронами атомов. Подчеркиваем, что участие в связи электронов разной симметрии (например, s -, p - или d -) по-разному скажется на рентгеновских спектрах, обуславливая те или иные тонкие их изменения. Так, например, «оттягивание» от атома электрона типа $4s$ сопровождается уменьшением экранирования ими $1s$ -электронов (а также и всех остальных), что приводит к большей связи последних с ядром атома; это, в свою очередь, обуславливает понижение энергетического K -уровня по сравнению с тем его положением, когда $4s$ -электрон не был вовлечен в межатомную связь или был вовлечен в меньшей мере.

Наоборот, поступление электронов в данный атом при изменении межатомной связи и «усвоение» его атомом в ns -форме приводит к увеличению степени внешнего экранирования внутренних электронов и в результате к меньшей связи их с ядром своего атома, что обуславливает повышение энергетических уровней атома по сравнению с их положением до прихода добавочного электрона в атом. Другая картина возникает при участии в связи $3d$ -электрона и отдалении его вследствие этого из атома. Поскольку $3d$ -электроны экранируют все внутренние электроны, кроме $1s$ -электронов, то все энергетические уровни в различной степени «опустятся» (кроме K -уровня). При пополнении $3d$ -оболочки электронами (например, в переходных элементах) совершается обратное: в различной степени «повышаются» все энергетические уровни, кроме K -уровня, который остается неизменным. Энергетическое расстояние между уровнями и K -уровнем в одном случае уменьшается, в другом — увеличивается. Рентгеновские кванты, которые излучаются или поглощаются в результате электронных переходов между указанными уровнями, будут в первом случае более длинноволновыми, во втором — более коротковолновыми, по сравнению с их положением при состоянии межатомной связи, когда $3d$ -электроны не принимают в ней участия. Иначе говоря, соответственно смещаются в сторону длинных или коротких волн рентгеноспектральные характеристики.

Разобранные четыре случая отражены на рис. 1, где схематически

приведены энергетические уровни атомов с порядковыми номерами $Z-1$, Z и $Z+1$ и соответственно — положения уровней для четырех разобранных случаев (обозначены цифрами 1, 2, 3, 4).

Вовлечение в связь np -электронов сказывается на рентгеновском спектре аналогично случаю ns - или 3 d -электронов, в зависимости от того, какова величина их внешнего экранирования.

Возможен и суммарный эффект. Например, мыслимо образование межатомной связи, при которой 4 s -электроны возбуждаются и становятся

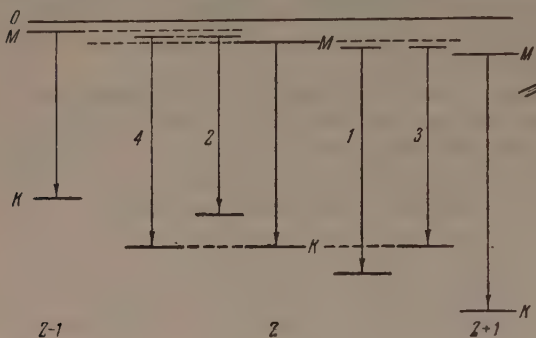


Рис. 1

4 p -электронами. В этом случае, вследствие исчезновения в атоме 4 s -электронов, все уровни становятся более низкими, а из-за того, что появляются 4 p -электрона, могут повыситься все уровни, кроме 1 s , и, таким образом, суммарная энергетическая разность между K -уровнем и высшими уровнями увеличивается; наступает увеличенное смещение рентгеновских спектральных характеристик в сторону коротких волн.

Подобный же результат имеет место при переходе 4 s -электронов в 3 d -оболочку (дефектную) своего атома. Энергетическая разность между уровнями может в этом случае стать большей, чем, при простом отдалении от атома 4 s -электронов.

Самая величина изменения энергетического расстояния (и соответственное смещение в ту или иную сторону в шкале частот рентгеновских спектральных характеристик) при данном типе межатомной связи будет тем больше, чем больше силы межатомной связи. По-видимому, возрастающее вовлечение в связь одного электрона и возрастающее количество электронов данной симметрии при меньшей степени вовлечения каждого из них приводят к одинаковым результатам. Таким образом, во многих случаях увеличение степени данного изменения рентгеновской спектральной характеристики — смещение ее в сторону коротких или длинных волн — может происходить параллельно с изменением степени межатомной связи.

Заметим кстати, что, по-видимому, на этом пути лежит физическое обоснование известного правила Кунца.

Для иллюстрации вышеизложенного обратимся к некоторым экспериментальным данным, что удобно сделать, воспользовавшись их новейшей сводкой [5]

Экспериментальные данные относительно смещения K -края элемента в его соединениях могут быть использованы для определения величины внешнего экранирования. Действительно, если считать, что при ионном типе связи происходит максимальное удаление внешнего электрона от своего атома (катиона), то при этом исчезает внешнее экранирование этим электроном оболочки 1 s , и смещение K -края, обусловленное этой причиной, станет максимальным. Если элемент в рассматриваемом соединении многовалентен, то суммарное смещение K -края обусловлено удалением всех валентных электронов. Величина смещения, отнесенная к единице валентности и деленная на разность энергии K -уровней данного и соседнего элемента в таблице Менделеева*, дает представление о величине внешнего экранирования одного электрона.

* Если в области K -оболочки появился бы добавочный электрон, то это было бы равнозначно тому, что мы имеем дело с элементом с порядковым номером $Z-1$ (а если K -электрон удален, то соответственно — с $Z+1$).

Определим обсуждаемую величину для ряда элементов переходной группы железа. Например, для ванадия смещение K -края в соединениях (по сравнению с положением его в чистом элементе) составляет: у VO — 7,5 eV, у V_2O_3 — 9,7 eV, у V_2O_5 — 15,5 eV [7]; величина смещения, отнесенная к единице валентности, составляет 3,75; 3,23 и 3,1 (3,4) eV, соответственно, т. е. в среднем 3,4 eV. Искомая нами величина

$$\left(\frac{e_{\text{внешн}}}{1s}\right)_{\text{экспер}} = \frac{3,4 \text{ eV}}{520 \text{ eV}} = 0,0065$$

(в знаменателе разность энергии K -уровней для ванадия и соседнего элемента в таблице Менделеева).

Полученные таким образом данные для ряда элементов*, для которых имеются экспериментальные данные по величине смещения K -края в соединениях в [5], приведены в табл. 2.

Таким образом, для всех элементов группы железа для величины экранирования внешним электроном внутренних получается величина порядка 0,007. Интересно отметить, что теоретический расчет дает для атома $Z = 26$ величину такого же порядка (см. табл. 1). Для натрия полученная величина приблизительно в три раза больше, но это и понятно, ибо внешним электроном, участвующим в связи для натрия, является $3s$ -электрон, который экранирует внутренние электроны значительно в большей мере, чем $4s$ -электрон. И опять-таки эта величина по порядку такая же, как и полученная теоретическим путем (см. в табл. 1 значение для $3s$ в 1 s).

Необходимо обратить внимание на то обстоятельство, что абсолютная величина внешнего экранирования периферических электронов для наиболее глубоких оболочек имеет во много раз меньшее значение, чем для более внешних из них, однако величина смещения более глубоких уровней может иметь заметное значение, потому что абсолютная величина энергии глубоких уровней значительно больше таковой для внешних уровней. Например, для $Z = 26$

$$\frac{E_K}{E_L} = 9, \text{ а } \frac{E_K}{E_M} = 100.$$

Поэтому, хотя величина внешнего экранирования $4s$ -электроном K -оболочки составляет приблизительно 0,01, но при удалении такого электрона K -уровень сместится на 0,01 от 520 eV (разности значений энергий уровней двух соседних элементов), что составляет величину до 5 eV. В то же время такой расчет для экранирования $3p$ -электроном уровня M даст значение $0,6 \cdot 4 = 2,4$. Иначе говоря, получается, что наблюдаемые на опыте смещения K -краев в значительной своей мере обязаны изменению наиболее глубоких уровней атома, хотя само изменение энергии этих уровней по сравнению с их абсолютной величиной незначительно.

* * *

Данные, приведенные в табл. 3, подтверждают, что при более сильной связи мы, как правило, наблюдаем большую степень смещения K -края компонента по сравнению с его положением в соединениях со слабой связью или в чистом элементе.

* В молчаливом принятии в этих соединениях для $3d$ -электронов того же характера внешнего экранирования, что и для $4s$ -электронов, отражается, возможно, известное положение о перекрытии в переходных элементах $3d$ - и $4s$ -уровней.

Таблица 2

Элемент	Среднее смещение K -края на единицу валентности, eV	Величина экранирования $1s$ -оболочки одним внешним электроном
Ванадий	3,4	0,0065
Хром	3,2	0,006
Марганец	4,0	0,007
Железо	4,5	0,008
Никель	5,2	0,008
Натрий	4	0,018

Одинаковое направление смещения K -края для катионов и анионов при усилении межатомной связи может быть в ряде случаев объяснено тем, что катионы «отдают» s -электроны, а анионы при этом пополняют свои $3p$ -оболочки. Как выше было указано, и в первом, и во втором случаях должно наблюдаться смещение K -края поглощения в сторону коротких волн. Анализ других данных [5] показывает, что K -край катиона сильнее всего сдвинут в область коротких волн в твердом теле и в области

Таблица 3

Вещество	Энергия связи, ккал г-моль ⁻¹ [6]	Длина волны K -края соответствующего компонента, ХЕ
Naмет		11545 (11516)
NaBr	172	11504,8
NaJ	161	11505
NaF	215	11501
NaCl	182,7	11501,6
Kмет		3431,0
KCl	164	3427,9
KBr	156	3427,9
KJ	154	3427,7
Cl ₂		4393,8
KCl	164	4385,0
RbCl	157	4385,2
NaCl	183	4383,9
LiCl	200	4383,8

длинных — в газовом состоянии. Такая ситуация в случае NaCl. K -край хлора в твердом состоянии сдвинут в сторону коротких волн, в жидких растворах ОН по мере уменьшения концентрации раствора сдвигается в сторону длинных волн. Эти факты, по-видимому, также подтверждают сформулированное выше положение: большее смещение края поглощения наблюдается в тех случаях, когда силы связи между атомами больше.

Вопрос о количественном соотношении между величинами наблюдаемых смещений K -края и изменения энергии связи (энергии сублимации) уже обсуждался нами в [1]. Следует подчеркнуть ту важную мысль, что непосредственной, прямой связи тут нельзя искать, поскольку в из-

менении положения K -края в разных случаях химической связи непосредственно отражается лишь изменение связи внутренних электронов атома со своим ядром, но это изменение в свою очередь косвенно отражает изменение величины и характера межатомной связи.

Достойны внимания следующие факты. В соединениях переходных металлов K -край металла смещен в сторону коротких волн по сравнению с его положением в чистом металле, а линия K_{β} оказывается смещенной в сторону длинных волн. В табл. 4 приведены некоторые данные относительно этого, взятые из [5].

Таблица 4

Эти факты могут быть объяснены тем, что в этих соединениях, наряду с 4 s -электронами, в связь вовлекаются и 3 d -электроны атомов металла — они «оттягиваются» от атомов, что, как выше указывалось, приводит к понижению всех уровней, кроме K -уровня, и поэтому — к уменьшению энергетической разности между уровнями K и M , т. е. к большей длине волны для K_{β} -линии.

Соединение	Смещение, eV	
	K -края	Линии K_{β}
Cr ₂ O ₃	+10,4	-4,6
MnO	+5,4	-1,4
Fe ₂ O ₃	+12,1	-2,5
Ni ₂ O ₃	+9,9	-1,1

Схематический рис. 2 поясняет сказанное. На этом рисунке случай 1 соответствует чистому металлу, случай 2 — соединению, в котором в связь вовлечены только 4 s -электроны, а случай 3 — когда в связи участвуют уже и 3 d -электроны. Как видно, K_{β} -линия в третьем случае может быть более длинноволновой, чем в первом, в то время как K -край — более коротковолновым.

Остановимся на следующих соображениях. Изменение величины внешнего экранирования может в некоторых случаях сказаться заметным образом лишь на глубоких внутренних, меньше на внешних уровнях. Так, например, если в результате образования межатомной связи электрон $3s$

атома перейдет в разряд $3p$ -электронов, то при этом эффективно изменится величина внешнего экранирования $1s$ -оболочки, а величина внешнего экранирования остальных внутренних уровней практически мало изменится, так как для них величины экранирования электронами типа $3s$ и $3p$ почти такие же. Отсюда — важный вывод о том, что при некоторых типах межатомной связи можно обнаружить большие изменения в K -, нежели в L -спектрах. Может быть, именно в этом причина наблюдаемого еще Зигбаном и Магнусоном [7] факта, состоящего в том, что величина изменения в шкале частот положений краев поглощения и спектральных линий (в L -серии элементов с Z от 21 до 30 оказалась не большей, а меньшей, чем в K -серии)*.

Обсуждаемый подход был нами применен для расчета спутников рентгеновского спектра [2]. Помимо прочего, при этом выявилась возмож-

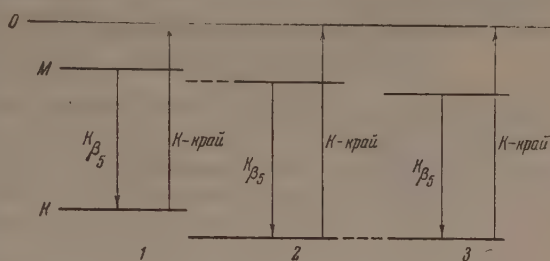


Рис. 2

ность единообразного подхода к объяснению как коротковолновых, так и длинноволновых спутников. В этой статье мы не касались таких вопросов, как изменение ширин, распределение интенсивности и формы рентгеновских линий***. Мы полагаем, что объяснение этих тонкостей рентгеновских спектров может быть также проведено при использовании описанного подхода и точки зрения о наличии в любом веществе (химическом соединении, сплаве и даже чистом элементе) атомов в состояниях, незначительно отличающихся в отношении степени вовлечения внешних электронов в междоатомную связь.

При помощи описанного подхода детали рентгеновских спектров в значительной мере могут быть объяснены с учетом изменения степени внешнего экранирования при изменении степени и характера межатомной связи. Пути такого учета еще в достаточной мере неизвестны, но, по-видимому, есть значительные основания полагать, что как основные рентгеновские спектральные характеристики — диаграммные линии, края поглощения — отражают основное в структуре распределения электронов атома, так тонкости рентгеновских спектров передают тонкости распределения электронов в атоме и в первую очередь — факты «проникновения» внешних электронов в область внутренних оболочек атома.

В заключение пользуюсь случаем выразить свою благодарность профессору П. П. Кузьменко за обсуждение и ценные замечания и профессору С. Д. Герцрикену за проявленный интерес к работе.

Киевский гос. университет
им. Т. Г. Шевченко

Цитированная литература

- Каральник С., Изв. АН СССР, Серия физич., 20, 7, 815 (1956).
 Каральник С. и Нижник С. Укр. фізичний журнал, 2, вып. 4 (1957).
 Бете Г., Квантовая механика простейших систем. — ОНТИ, 1935.
 Slater J., Phys. Rev., 36, 1, 57 (1930).
 Faessler A., Röntgenspektrum und Bindungszustand. В справочнике Landolt u. Börnstein'a, 6-е изд., т. I, ч. 4, 769—868, 1955.
 Эванс Р., Введение в кристаллохимию, стр. 60, 1948.
 Боровский И., Блохин М., Рентгеновский спектральный анализ, стр. 71—72, 1939.
 Каральник С., Наукові повідомлення Київського університету, Фізика, вып. 1, стр. 41, 1956.

* С точки зрения зонных представлений, эта величина в энергетическом выражении должна быть по меньшей мере одинаковой в обоих случаях.

*** Отчасти эти вопросы (асимметрия $K\alpha$ -линий в переходных металлах) рассмотрены в [8].

И. Я. ДЕХТЯР:

О СОСТОЯНИИ АТОМОВ В ФЕРРОМАГНИТНЫХ СПЛАВАХ НА ОСНОВЕ ЖЕЛЕЗА, КОБАЛЬТА И НИКЕЛЯ

Изучение магнитных свойств сплавов из переходных элементов является одним из методов познания их электронной структуры. Однако такие исследования, как правило, позволяют характеризовать электронную структуру некоторой макроскопической средней по всем компонентам сплава величиной (например, магнитным моментом), но не позволяют определить состояние отдельных атомов.

Развитый в последние годы метод нейтронографического анализа позволяет в принципе из рассеяния нейтронов получить сведения о строении внешних электронных оболочек различных атомов, а следовательно, и о состоянии различных атомов.

При рассеянии нейтронов неупорядоченным ферромагнитным сплавом возникает неупорядоченное рассеяние, проявляющееся в диффузном фоне. Интенсивность этого рассеяния сплавом заданного состава оказывается пропорциональна $(m_a - m_b)^2$ — квадрату разности атомных магнитных моментов компонентов сплава [1]. Если, с другой стороны, использовать известный из данных по магнитному насыщению средний магнитный момент на атом сплава

$$\bar{m} = C m_a + (1 - C) m_b, \quad (1)$$

где C — концентрация атомов сорта a , то, как было показано на примере сплавов систем Fe—Cr, Co—Cr, Fe—Ni в работе [1], можно определить m_a и m_b .

Знание магнитных моментов атомов различных компонентов позволяет определить их состояние при помощи коэффициентов заполнения d -вакансий [2]. Однако до сих пор коэффициент заполнения q определялся из среднего магнитного момента на атом сплава по формуле

$$\bar{q} = \frac{d_0 - \bar{m}}{d_0},$$

где d_0 — число d -вакансий, рассчитанное на атом сплава в свободном состоянии по формуле

$$d_0 = C d_{0a} + (1 - C) d_{0b}.$$

Величины d_{0a} и d_{0b} , характеризующие электронную структуру изолированных атомов, известны из спектроскопических данных. Для определения коэффициентов заполнения отдельных атомов можно применить аналогичную формулу

$$q_i = \frac{d_{0i} - m_i}{d_{0i}},$$

где m_i — магнитные моменты для атомов различных компонентов сплава, которые можно определить из данных по магнитному рассеянию нейтронов [1].

Таким образом, используя для сплавов системы Fe—Cr данные по положительным значениям m_{Fe} и m_{Cr} (см. также [3]) и известные величины

$d_{0\text{Fe}} = 4$ и $d_{0\text{Cr}} = 5$, были вычислены величины q_i для серии сплавов, представленные на рис. 1. Пунктирной кривой приведены величины \bar{q} на атом сплава, рассчитанные по формуле (2) на основании средних значений атомных магнитных моментов сплавов системы Fe — Cr, полученных из измерений магнитного насыщения [4]. Полученные данные (рис. 1) показывают, что при увеличении концентрации хрома в сплавах Fe-Cr происходит «заполнение» d -вакантных состояний атомов обоих сортов. Параллельно с этим увеличивается и эффективное значение коэффициента заполнения \bar{q} . Такой вывод можно сделать и из данных по сплавам Co-Cr.

Несколько иной получается картина для сплавов Fe-Ni (рис. 2). В этом случае оказывается, что увеличение железа в сплаве до 50% ат. почти не изменяет коэффициента заполнения для атомов никеля, но приводит к увеличению q для атомов железа, в то время как эффективная величина коэффициента заполнения во всей области концентрации меняется более сложным образом.

Другим методом изучения состояния атомов различных компонентов в рассматриваемых сплавах является исследование рентгеновских спектров, позволяющее делать выводы о распределении электронов по их состояниям.

В работе [5] было показано, что смещение края поглощения для атомов в сплавах из переходных элементов может быть связано с эффективной величиной коэффициента заполнения \bar{q} . Оказалось, что одинаковое по направлению коротковолновое смещение K -краев компонентов сплава можно объяснить тем, что при сплавлении степень дефектности d -состояний для атомов разных сортов уменьшается, причем смещение края тем больше

чем больше степень «заполнения» d -вакансий атомов компонентов, или чем меньше их степень дефектности. Последняя определялась по формуле, в которой использовалось эффективное значение \bar{q} (2), что давало возможность определить и некоторую среднюю величину дефектности

$$\bar{n}_{di} = d_{0i}(1 - \bar{q}). \quad (4)$$

Если, однако, использовать имеющиеся теперь величины q_i для атомов данного сорта i , то (4) можно представить точнее следующим образом:

$$n_{di} = d_{0i}(1 - q_i). \quad (5)$$

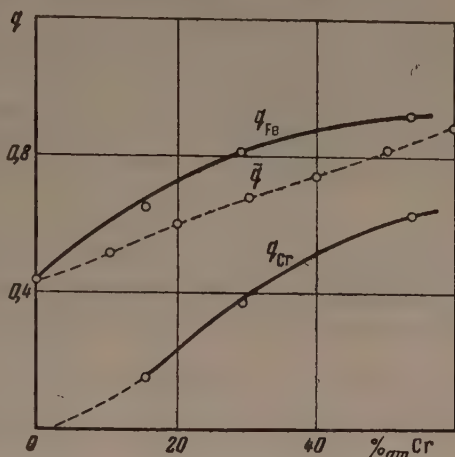


Рис. 1. Зависимость коэффициентов заполнения d -вакансий сплава Ni-Fe от состава

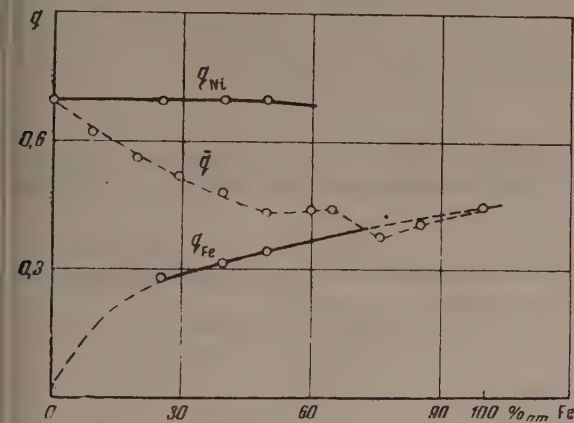


Рис. 2. Зависимость коэффициентов заполнения d -вакансий сплава Fe-Cr от состава

Считая в первом приближении величину коротковолнового смещения* пропорциональной изменению степени дефектности при переходе от чистого металла к сплаву, можно формулой (5) воспользоваться для некоторых оценок и сопоставлений.

Рассмотрим бинарный сплав состава $C_i + C_j = 1$. Пусть d_{0i} и d_{0j} — числа вакансий в d -оболочках атомов сортов i и j в изолированном состоянии, q_{0i} и q_{0j} — коэффициенты «заполнения», соответствующие переходу в конденсированное состояние чистых металлов, а q_i и q_j — коэффициенты «заполнения» для атомов в сплаве. Тогда изменение степени «дефектности» при переходе от чистого металла к сплаву для атомов различного сорта, согласно (5), может быть представлено следующим образом:

$$\left. \begin{aligned} \Delta n_i &= d_{0i}(q_i - q_{0i}) \\ \Delta n_j &= d_{0j}(q_j - q_{0j}) \end{aligned} \right\} \quad (6)$$

Принимая в соответствии с вышесказанным, что смещения K -краев компонентов (для сплава по отношению к чистым металлам)

$$\Delta E_i = k\Delta n_i \quad \text{и} \quad \Delta E_j = k\Delta n_j, \quad (7)$$

где k — коэффициент пропорциональности, получаем

$$p = \frac{\Delta E_i}{\Delta E_j} = \frac{d_{0i}(q_i - q_{0i})}{d_{0j}(q_j - q_{0j})} \quad (8)$$

Из формул (1), (3) и (8) можно получить выражения, позволяющие оценить магнитные моменты атомов в сплаве:

$$\left. \begin{aligned} m_i &= \frac{p\bar{m} + [C_j d_{0i}(1 - q_{0i}) - p C_j d_{0j}(1 - q_{0j})]}{C_i p + C_j} \\ m_j &= \frac{\bar{m} - [C_i d_{0i}(1 - q_{0i}) - p C_i d_{0j}(1 - q_{0j})]}{C_i p + C_j} \end{aligned} \right\} \quad (9)$$

В табл. 1 приведены результаты измерения (6) положения K -краев никеля и марганца для сплава Ni_3Mn , упорядоченного при 450° в течение

Таблица 1

Состояние сплава или металла	λ_{Ni} , XE	ΔE , eV	λ_{Mn} , XE	ΔE , eV
Металл в твердом состоянии	1484,01	—	1891,50	—
Сплав, упорядоченный при 450° и медленно охлажденный*	$1483,29 \pm 0,15$	3,9	$1889,60 \pm 0,15$	6,5

150 час. В этой таблице λ — длина волны, соответствующая K -краю поглощения, ΔE — смещение края по отношению к чистому металлу.

Для упорядоченного сплава (1) $\bar{m} = 1,02 \mu_B$. Величина

$$p = \frac{\Delta E_{\text{Ni}}}{\Delta E_{\text{Mn}}} = 0,61, \quad q_{0\text{Ni}} = 0,7, \quad q_{0\text{Mn}} = 0,29, \quad d_{0\text{Ni}} = 2, \quad d_{0\text{Mn}} = 5.$$

На основании этих данных можно оценить величины m_i и m_j и сопоставить их с измеренными значениями, полученными по магнитному

* См рис. 3 для Co в сплавах Co-Cr.

рассеянию нейтронов [1]. Данные табл. 2 показывают удовлетворительное совпадение величин m_i и m_j , определенных разными методами.

Таблица 2

$m_{Ni}, \mu B$		$m_{Mn}, \mu B$	
По смещению К-края Ni	По рассеянию нейтронов	По смещению К-края Mn	По рассеянию нейтронов
0,32	0,3	3,17	3,2

Из данных работы [5] можно видеть, что зависимость смещения К-края кобальта для серии сплавов Co-Cr от изменения степени «дефектности» может быть представлена прямой (рис. 3), причем максимальное смещение соответствует сплаву такого состава $C_{кр}$, для которого $q_{спл} = q_{Co} = 1$. Тогда, определяя все величины ΔE_i для кобальта по отношению к максимальному смещению К-края кобальта в сплавах Co-Cr — $\Delta E_{max} = 4,5 \text{ eV}$, можно, согласно (8), написать:

$$p_1 = \frac{\Delta E_i}{\Delta E_{max}} = \frac{d_{oi}(q_i - q_{oi})}{d_{oi}(1 - q_{oi})}. \quad (10)$$

Из (3) и (10) можно оценить значение магнитного момента для атомов кобальта в сплавах кобальт-хром:

$$m_i = d_{oi}(1 - q_{oi})(1 + p_1). \quad (11)$$

В нашем случае $C_{кр} = 0,73^*$, а для кобальта $d_{oi} = 3$ и $q_{oi} = 0,43$. Используя значения ΔE_i , приведенные в работе [5], можно по (11) оценить величины m_i для кобальта и сопоставить их с данными, полученными для некоторых сплавов Co-Cr по исследованию магнитного рассеяния нейтронов ** [1]. Результаты, приведенные на рис. 4 (точки через 5 % ат), несмотря на приближенный расчет и ошибки эксперимента, указывают на удовлетворительное согласие между данными рентгеноспектральных исследований и данными по рассеянию нейтронов.

Аналогичная оценка величины магнитного момента для железа в сплавах железо-хром может быть сделана на основании исследований К-краев поглощения железа в этих сплавах [6].

В табл. 3 сопоставляется оценка величин магнитных моментов атомов железа в сплавах Fe-Cr с данными, полученными в работе [1], из рас-

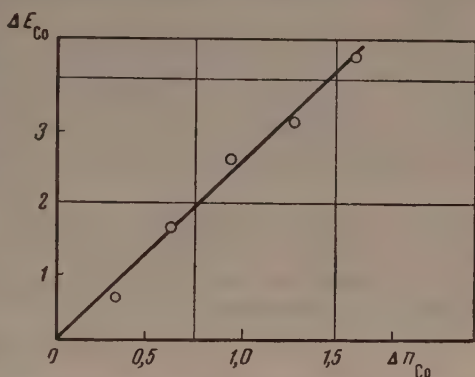


Рис. 3. Зависимость смещения К-края Co в сплавах от изменения степени «дефектности»

Таблица 3

Fe, %ат	$m_{Fe}, \mu B$	
	по смещению К-края	по рассеянию нейтронов
100	2,22	2,22
92	1,96	1,75
84	1,85	1,65
70	1,46	1,37

* Для сплавов кобальт-хром при концентрации хрома 27%_{ат} магнитный момент на атом сплава $\approx 0[4]$.

** Данные по магнитному рассеянию нейтронов в сплавах с 80 и 75%_{ат} Co получены нами экстраполяцией результатов [1].

сеяния нейтронов. И в этом случае согласие между приведенными данными для m_{Fe} можно признать удовлетворительным.

Таким образом, о состоянии атомов в сплавах из ферромагнитных металлов можно судить как по данным магнитного рассеяния нейтронов, так и по исследованию соответствующих рентгеновских спектров.

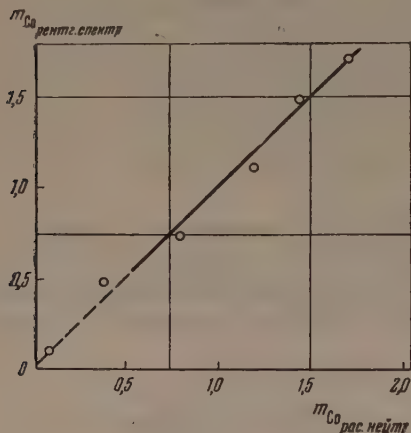


Рис. 4. Сопоставление значений m_{Co} , полученных различными способами

обуславливает определенную дробную добавку момента насыщения. Согласно теории [8], средний магнитный момент абсолютного насыщения на один атом металла выражается следующим образом (употребляя введенные выше обозначения):

$$m = d_0 + \kappa s, \quad (13)$$

где d_0 и s — числа d - и s -электронов на атом, а κ — коэффициент, характеризующий степень взаимодействия d -электронов с s -электронами. В случае сплавов этот коэффициент, согласно теории [8], является сложной функцией состава и строения и в настоящее время не может быть рассчитан. Из (12) легко получаем

$$\frac{d_0 - m}{d_0} = -\kappa \frac{s}{d_0}.$$

Левая часть (13) обозначает как раз коэффициент заполнения (см. (2)).

$$q = -\kappa \frac{s}{d_0}. \quad (14)$$

Для Fe, Co и Ni [9] коэффициент κ равен $-0,94$, $-0,65$ и $-0,7$, соответственно, откуда величина q для этих металлов равна: $0,47$, $0,44$ и $0,7$ соответственно для Fe, Co и Ni.

Таким образом, коэффициент заполнения отражает степень взаимодействия d -электронов с s -электронами и зависит также от величин (d_0 и s), характеризующих нормальное состояние атомов.

В случае сплавов момент на атом сплава $m_{\text{спл}} = (\bar{d}_0 + \kappa_{\text{спл}} \bar{s})$, где d_0 и s вычисляются по правилу смещения. Поэтому, аналогично (14), эффективное значение коэффициента заполнения может быть выражено так:

$$\bar{q} = -\kappa_{\text{спл}} \frac{\bar{s}}{\bar{d}_0}. \quad (15)$$

Исходя из этого, результаты, полученные из нейтронографических исследований, на примере сплавов Fe-Cr получают следующее освещение. Эти исследования позволяют определить магнитные моменты атомов раз-

личных сортов. Поэтому, если для атомов сорта i выразить момент через коэффициент, выражающий взаимодействие d - и s -электронов: $m_i = d_{0i} + \kappa_i s_i$, то можно получить для коэффициента заполнения q_i следующее выражение:

$$q_i = -\kappa_i \frac{s_i}{d_{0i}}, \quad (16)$$

где s_i и d_{0i} — числа s - и d -электронов для атома сорта i в нормальном состоянии.

Таким образом, если при изменении концентрации хрома в сплаве Fe-Cr абсолютное значение величины κ возрастает, то должно возрасти и значение q_i (рис. 1). Это означает, что при увеличении концентрации хрома в сплаве взаимодействие d - и s -электронов возрастает.

Существенно отметить, что результаты нейтронографических определений магнитных моментов указывают на то, что не только для чистых металлов, но и для компонентов сплава магнитные моменты имеют нецелочисленные значения. Это обусловлено взаимодействием d - и s -электронов.

Из сказанного вытекает, что в тех случаях, когда магнитный момент атома в сплаве зависит от степени дальнего порядка, должна наблюдаться и зависимость величины смещения K -края атома в сплаве от степени порядка. Можно использовать зависимость коэффициента κ (учитывающего взаимодействие d - и s -электронов) от степени дальнего порядка (η), полученную в работе [8]:

$$\kappa = A' [1 + B' (g - c)^2 \eta^2] = \kappa_0 [1 + B' (g - c)^2 \eta^2], \quad (17)$$

где $g = \frac{c}{v}$, c — концентрация атомов первого компонента в сплаве, v — концентрация узлов первого типа, $\kappa_0 [\kappa]_{\eta=0} = A'$ и A' и B' — коэффициенты, не зависящие от c и η .

Таким образом, для коэффициента заполнения i -го компонента в зависимости от степени дальнего порядка получаем

$$q_i = -\kappa_{0i} \frac{s_i}{d_{0i}} [1 + B' (g - c)^2 \eta^2]. \quad (18)$$

Используя (6) и (7), найдем для смещения K -края компонента i в сплаве с определенной степенью дальнего порядка выражение

$$(\Delta E_i)_{\text{упор}} = -k d_{0i} \left\{ \kappa_{0i} \frac{s_i}{d_{0i}} [1 + B' (g - c)^2 \eta^2] + q_{0i} \right\}, \quad (19)$$

отсюда находим

$$\frac{(\Delta E_i)_{\text{упор}}}{(\Delta E_i)_{\text{неупор}}} = 1 + \frac{\kappa_{0i} \frac{s_i}{d_{0i}} B' (g - c)^2 \eta^2}{\kappa_{0i} \frac{s_i}{d_{0i}} + q_{0i}}. \quad (20)$$

Это выражение показывает, что отношение величин смещений K -края компонента i в упорядоченном сплаве к той же величине для неупорядоченного сплава является квадратичной функцией степени дальнего порядка. К сожалению, в литературе отсутствуют необходимые данные для проверки этой зависимости.

Необходимо также подчеркнуть, что приведенные выше расчеты магнитных моментов в сплаве Ni_3Mn справедливы только в рамках сделанных предположений. В частности, если коэффициенты пропорциональности K в формуле (7) различны для разных компонентов бинарного сплава,

то в (9) вместо величины p (определяемой из эксперимента) войдет $p' = p \frac{k_j}{k_i}$.

Тогда, используя данные из нейтронографических определений, можно оценить величины k_i и k_j , характеризующие зависимость плотности энергетических уровней в d -полосе от энергии.

К сожалению, теория не позволяет вычислить коэффициент k .

Для сплавов Co-Cr и Fe-Cr оценка величин моментов для атомов кобальта и железа, как видно из способа расчета, не требует знания этого коэффициента.

Приведенные результаты указывают на необходимость дальнейшего изучения состояния атомов в сплавах рассматриваемого типа с использованием различных методов.

Институт металлофизики
Академии наук УССР

Цитированная литература

1. Shull G. G., Wilkinson M. K., Phys. Rev., 97, 304 (1955).
2. Дехтар И. Я., ДАН СССР, 85, 3, 583 (1952).
3. Акулов Н. С., ДАН СССР, 105, 5 (1955).
4. Бозорт Р. М., Ферромагнетизм, ИЛ, 1956.
5. Дехтар И. Я., ДАН СССР, 108, 6, 1069 (1956).
6. Каральник С. М., Наукові записки КДУ, 14, Фізичний збірник, 7, 105 (1955); Изв. АН СССР, Серия физич., 20, 7 (1956).
7. Вонсовский С. В., ЖЭТФ, 16, 981 (1946).
8. Вонсовский С. В., Власов К. Б., ЖЭТФ, 25, 3(9), 327 (1953).
9. Дорфман Я. Г., Магнитные свойства и строение вещества, 322.—ГИТТЛ, М., 1955.

М. М. КАХАНА и Э. Е. ВАЙНШТЕЙН

О ВЛИЯНИИ НЕЙТРОННОГО ОБЛУЧЕНИЯ НА ТОНКУЮ СТРУКТУРУ
РЕНТГЕНОВСКОГО К-СПЕКТРА ПОГЛОЩЕНИЯ ГЕРМАНИЯ

Несмотря на то, что действие излучения на физические свойства и структуру твердых тел привлекает к себе большое внимание исследователей и имеет большое практическое и научное значение [1], в литературе почти отсутствуют данные о влиянии различных излучений на рентгеновские спектры атомов в твердых телах и, в частности, на тонкую структуру этих спектров. Единственная известная в литературе попытка в этом направлении была сделана несколько лет тому назад во Франции [2]. В упомянутой работе исследовался К-спектр поглощения атомов никеля в чистом металле и никель-медном сплаве с 5% этого элемента, однако не было получено достаточно определенных результатов.

Настоящий доклад носит характер предварительного сообщения. В нем излагаются некоторые результаты исследования влияния нейтронного облучения на рентгеновские спектры элементов в различных соединениях, которые проводились в нашей лаборатории. Объектом исследования являлся К-спектр поглощения германия в полупроводнике с электронной проводимостью и его двуокиси. Спектры получались при помощи фокусирующего рентгеновского спектрографа типа Кошуа, в котором в качестве анализатора рентгеновских лучей использовался кристалл кварца. Отражающие плоскости — $(10\bar{1}0)$. Размеры поверхности изогнутого кристалла — 10×40 мм². Радиус его кривизны 1 м.

Кристалл изгибался в специальном кристаллодержателе [3], в котором силами молекулярного сцепления он удерживался в изогнутом состоянии. Спектры фотографировались во втором порядке отражения. Дисперсия — $4,25 \text{ X мм}^{-1}$. Режим работы рентгеновской трубки — 20 kV и 25 mA. Для повышения интенсивности сплошного спектра на поверхность медного анода рентгеновской трубки наносился слой окиси урана. Спектрограммы фотометрировались при помощи фотометра МФ-2 в трех сечениях по высоте спектра, после чего данные измерений усреднялись. В качестве референц-линии использовалась линия PtL_{β_1} . При проведении работы большое внимание уделялось выбору оптимальной толщины поглотителя и строгому контролю за степенью его однородности. Так как при фотографической регистрации спектров возможно искажение соотношений интенсивностей отдельных флюктуаций длинноволновой тонкой структуры и истинного края поглощения [4] и величина этого искажения для разных участков спектра (а следовательно, и вид тонкой структуры спектра) зависит от толщины поглотителя (см. ниже, рис. 5), то работа, в зависимости от задач различных этапов исследования, проводилась при различных значениях плотности поглотителя. Удельная плотность вещества на единицу поверхности поглотителя контролировалась по весу. Поглотители готовились на желатине из мелкодисперсных порошков не облученного и подвергнутого нейтронному облучению веществ. Облучение уже готовых поглотителей оказалось неудобным, так как под влиянием возникавших в них при этом напряжений они разрушались. Поток нейтронов в одном из использованных реакторов — $10^{11} \text{ н см}^{-2} \text{ сек}^{-1}$, в другом — в пять раз больше. В обоих случаях основную часть нейтронов (~90 и 60%, соответственно) составляли тепловые и медленные ней-

троны. Энергия присутствовавших в потоке быстрых нейтронов — $2 \div 5$ MeV. Имея в виду относительно высокую удельную активность германия после его облучения и особый интерес, который представляют вызванные облучением необратимые изменения в решетке вещества и их проявление в структуре рентгеновского спектра, мы исследовали рентгеновские спектры спустя 1—1,5 месяца после облучения.

На рис. 1, 2, 3 представлены усредненные по трем независимым спек-

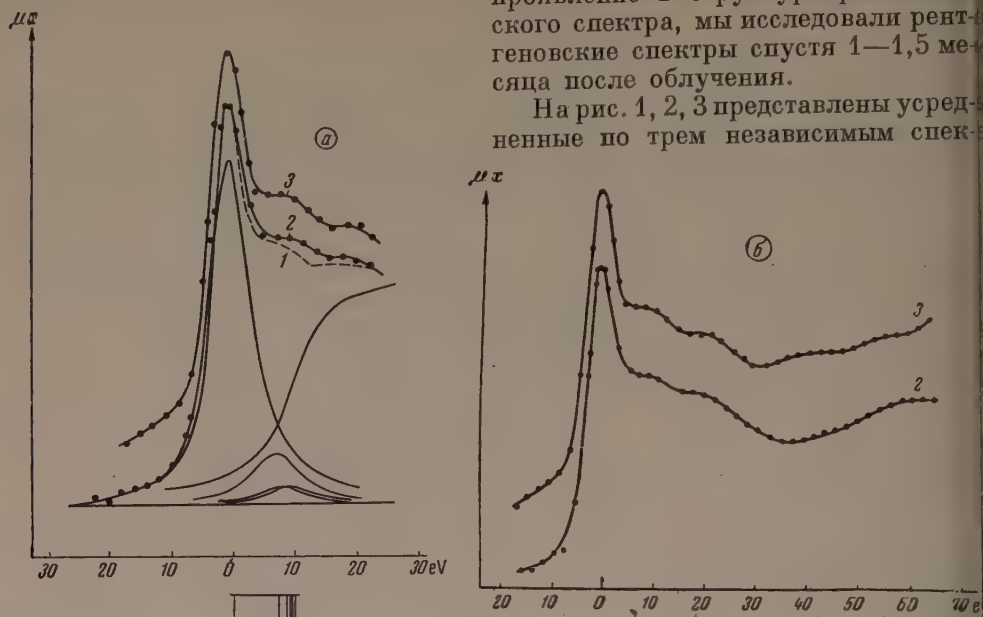


Рис. 1. Сопоставление тонкой структуры K -краев поглощения германия в необлученной и облученной нейтронами двуокиси и результаты расчета структуры спектров по методу [5]: a — область основного края поглощения; 1 — суммарная теоретическая кривая поглощения в области основного края, 2 — экспериментальные кривые для необлученной двуокиси, 3 — экспериментальные кривые для облученной двуокиси; b — общий вид тонкой структуры края поглощения. Толщина поглотителя $2,5 \mu$.

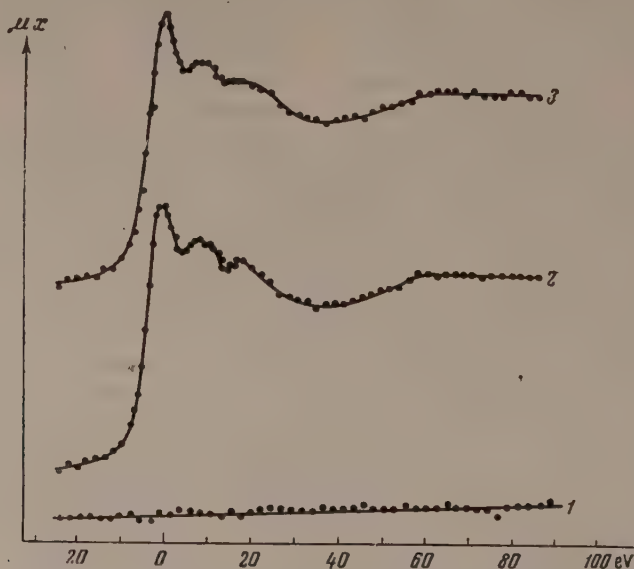


Рис. 2. Сопоставление тонкой структуры K -краев поглощения германия в необлученной и облученной нейтронами двуокиси при толщине поглотителя 10μ : 1 — изменение фона спектрограммы, 2 — K -край поглощения германия в необлученной двуокиси, 3 — K -край поглощения германия в облученной двуокиси

программам результаты, относящиеся к чистому германию и его двуокиси. Спектр поглощения, представленный на рис. 1, а и б, получен от поглотителей толщиной в $2,5 \mu$, остальные — от 10-микронных поглотителей. На первом же рисунке приведены результаты расчета К-края поглощения германия в необлученной двуокиси по методу, предложенному ранее одним из нас [5]. Устойчивость и воспроизводимость тонкой структуры К-края

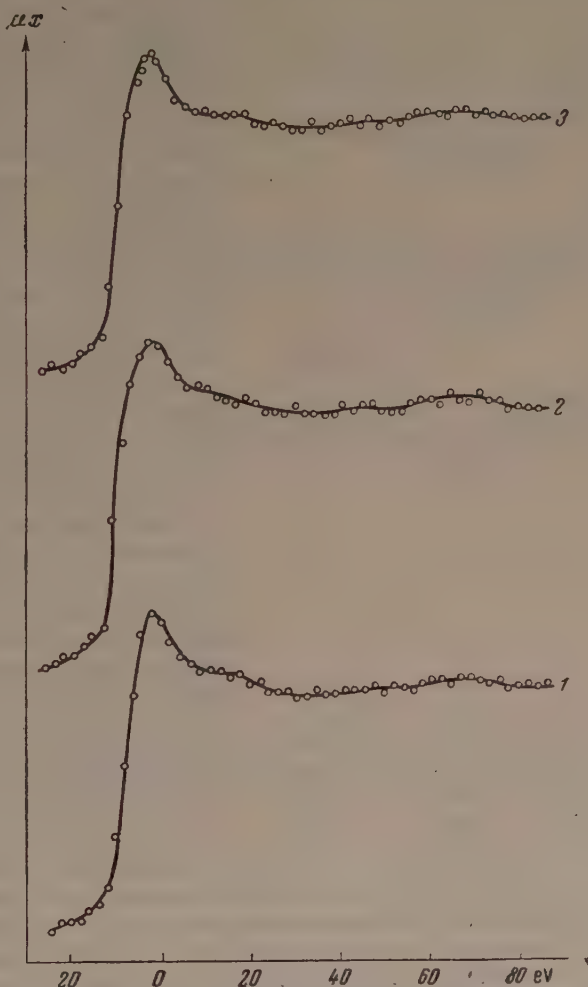


Рис. 3. Сопоставление К-краев поглощения германия до и после облучения вещества: 1 — рентгеновский К-спектр поглощения германия до облучения, 2 — рентгеновский К-спектр поглощения германия после облучения в потоке нейтронов с плотностью $\sim 10^{11} \text{ н см}^{-2} \text{ сек}^{-1}$, содержащем $\sim 90\%$ медленных нейтронов, 3 — рентгеновский К-спектр поглощения германия после облучения в потоке плотностью $\sim 5 \cdot 10^{11} \text{ н см}^{-2} \text{ сек}^{-1}$, содержащем $\sim 60\%$ медленных нейтронов. Толщина поглотителей 10μ

поглощения германия при выбранной толщине поглотителя и степень ее изменения в зависимости от поверхностной плотности абсорбента иллюстрируются кривыми рис. 4 и 5. При получении каждой из кривых рис. 4 поглотитель изготовлялся заново.

Рассмотрение полученных результатов позволяет сделать следующие заключения.

1. Тонкая структура основного K -края поглощения германия в его двуокиси, так же как и в случае газообразных молекул галоидных соединений этого элемента (GeCl_4 , GeBr_4) [6, 7], характеризуется наличием трех более или менее четко (в зависимости от толщины поглотителя) выраженных максимумов коэффициента поглощения и вполне удовлетворительно может быть рассчитана по методу [5]. Поэтому можно полагать, что остаются неизменными интерпретация этой структуры и, в частности,

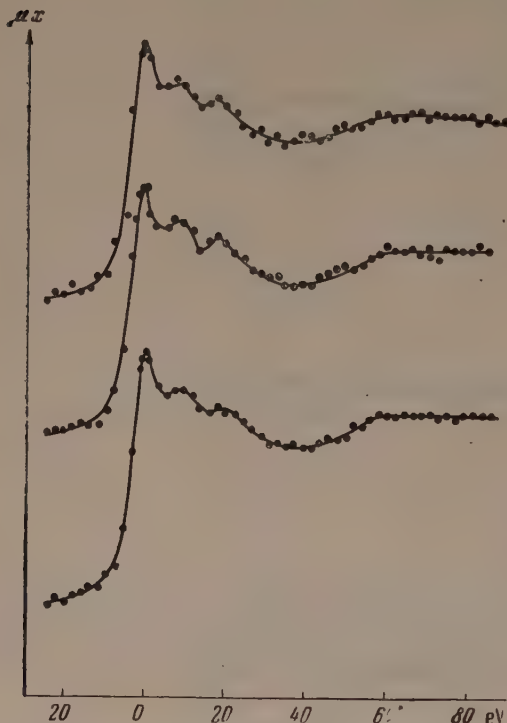


Рис. 4. Воспроизводимость тонкой структуры K -края поглощения германия в двуокиси в трех независимых опытах. Толщина поглотителя 10μ .

вывод о том, что появление третьего максимума коэффициента поглощения в пределах основного K -края поглощения элемента в двуокиси (особенно четко выявляющегося на спектрах от 10—12-микронных поглотителей) связано с так называемыми перекрестными переходами [8] K -электрона поглощающего атома.

Подобно тому, как это наблюдается в других соединениях при их переходе из газообразного состояния в твердое, спектр поглощения германия в твердой двуокиси характеризуется меньшим, по сравнению с газообразными молекулами, значением параметра теории n^* , равным $1,16^*$. В спектре германия в твердой двуокиси это проявляется в более быстром ослаблении интенсивности последовательных селективных линий поглощения и большей (по сравнению с молекулами газов) протяженности основной серии линий поглощения.

2. Энергетическое положение длинноволновой границы K -края

длинноволновой границы K -края флюктуаций коэффициента поглощения в пределах основного края в облученных и необлученных образцах двуокиси германия в пределах точности эксперимента остаются неизменными. Что же касается третьего максимума, то, как это видно из рассмотрения кривых, представленных на рис. 2 (полученных при наиболее благоприятных для выявления этого максимума условиях), облучение приводит к размытию этого максимума, т. е. к изменению его формы и интенсивности, на величину, превосходящую ошибку воспроизводимости опыта (рис. 4).

Наряду с указанными выше изменениями в длинноволновой структуре K -края поглощения германия в его двуокиси, в облученном образце наблюдается относительно небольшое по величине уменьшение амплитуды флюктуаций коэффициента поглощения в области так называемой далекой тонкой структуры. Однако следует иметь в виду, что условия проведения описанных экспериментов (получение спектра после длительной выдержки облученных образцов) не благоприятствуют наблюдению этого эффекта, роль которого непосредственно после облучения образца может быть более значительной.

* Например, в аналогичном спектре поглощения германия в газообразном GeCl_4 соответствующее значение $n^*=1,34$.

В чистом германии (рис. 3) изменение в структуре рентгеновского К-края поглощения элемента под влиянием нейтронного облучения либо вообще не имеет места, либо в условиях наших опытов находится за пределами значений, которые могут быть достоверно определены.

3. В настоящем сообщении были доложены первые результаты проводившихся нами исследований влияния нейтронного облучения на тонкую структуру рентгеновского спектра атомов элементов в твердых телах. Они, конечно, отнюдь не исчерпывают вопроса и должны быть продолжены систематическими исследованиями, которые бы позволили охарактеризовать состояние веществ на первых этапах их жизни после об-

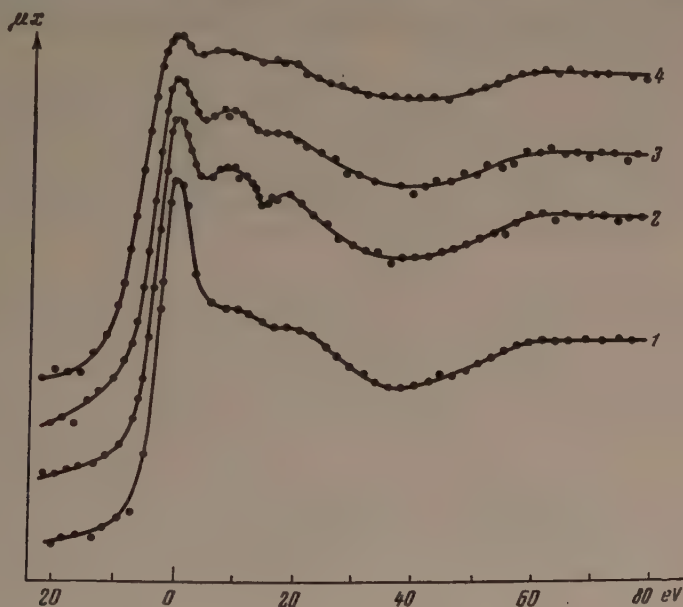


Рис. 5. Вид тонкой структуры К-края поглощения германия в двуокиси при различных значениях толщины поглотителя:
1 — 2,5 μ , 2 — 10 μ , 3 — 12 μ , 4 — 20 μ

лучения. Необходимо также выяснить влияние нейтронов различных энергий на тонкую структуру рентгеновского спектра, а также установить степень и характер структурных изменений образцов, исследуемых рентгеноспектрально. Только после этого можно будет с достоверностью интерпретировать полученные экспериментальные факты и сделать попытку связать их с изменениями в энергетической структуре веществ, подвергшихся облучению. Однако уже первые результаты, о которых мы доложили и, в частности то обстоятельство, что наибольшие изменения в структуре спектра поглощения германия в его двуокиси претерпевают третий максимум коэффициента поглощения, возникновение которого, согласно последним данным [9], не может быть объяснено переходами К-электронов только в пределах поглощающего атома в молекуле, указывают, как нам кажется, на связь обнаруженного эффекта в первую очередь с влиянием атомов «примеси», возникающих при захвате ядрами германия медленных нейтронов и необратимых нарушений (вакансий), появляющихся в решетке твердых тел под действием нейтронов с большими энергиями. Теми же явлениями, как известно, могут быть объяснены наблюдающиеся под влиянием облучения изменения проводимости этих веществ.

Цитированная литература

1. Захаров А. И., УФН, 57, вып. 4, 525 (1955).
2. Saucy Y., C. R., 241, 942 (1955).
3. Вайнштейн Э. Е., Нарбутт К. И., Гильварг А. Б., Труды Института кристаллографии, вып. 6, 207 (1951).
4. Нарбутт К. И., Баринский Р. Л., Вайнштейн Э. Е., ДАН СССР, 82, 567 (1952).
5. Вайнштейн Э. Е., Баринский Р. Л., Нарбутт К. И., ЖЭТФ, 23, 593 (1952).
6. Glaser H., Phys. Rev., 82, 616 (1951).
7. Нарбутт К. И., Изв. АН СССР, серия физич., 20, 780 (1956).
8. Вайнштейн Э. Е., Баринский Р. Л., Нарбутт К. И., ЖЭТФ, 27, 521 (1954).
9. Баринский Р. Л., Вайнштейн Э. Е., Нарбутт К. И., см. настоящий номер журнала, стр. 1351.

А. С. ИВОЙЛОВ и Н. Ф. ЛОСЕВ

КОЛИЧЕСТВЕННОЕ РЕНТГЕНСПЕКТРАЛЬНОЕ ОПРЕДЕЛЕНИЕ
ТИТАНА ПО ВТОРИЧНЫМ СПЕКТРАМ

Применению вторичных рентгеновских спектров для целей химического анализа посвящен ряд экспериментальных и обзорных работ как советских [1—5] и др., так и иностранных авторов [6—9] и др.

М. А. Блохин создал приемлемые для практических целей конструкции флуоресцентных спектрографов и рассмотрел теоретическую сторону вопроса использования вторичных спектров при количественном анализе [4, 5, 10].

Настоящая работа посвящена разработке методики количественного определения титана на отечественном флуоресцентном длинноволновом рентгеновском спектрографе конструкции М. А. Блохина. В качестве источника высокого напряжения использовался рентгеновский однокенотронный аппарат. Стабилизация высокого напряжения отсутствовала. Контроль за подаваемым на рентгеновскую трубку напряжением производился киловольтметром С-96.

Из существующих способов ведения количественного рентгеноспектрального анализа по вторичным спектрам нами был выбран способ внешнего стандарта [10]. Аналитической линией служила K_{α_1} -линия титана, получаемая во втором порядке отражения. Ширина регистрационной щели составляла 0,2 мм. Спектр титана возбуждался излучением хрома, электролитически нанесенного на зеркало медного анода. Напряжение на рентгеновской трубке было 24 kV при силе тока в 15 mA.

Анализируемый на титан материал представлял собой руду или продукты ее переработки. Предварительное ознакомление с минеральным составом и с данными оптического спектрального анализа этого материала выявило значительное его разнообразие, определяемое как месторождением, так и способом переработки исходной руды.

Определенная навеска подвергаемого анализу материала наносилась жидким желатиновым клеем на алюминиевую пластинку — излучатель. После просыхания слой материала на излучателе прессовался на гидравлическом прессе при давлении 100—150 кг см⁻² и затем прокаливался до выгорания клея. Таким образом на излучателе получался очень гладкий, равномерный и прочный слой анализируемого материала.

Применение для анализа способа внешнего стандарта требовало предварительного выяснения степени влияния на результаты анализа некоторых факторов, обусловленных условиями получения спектра титана и составом анализируемых проб. В специальных опытах нами было выяснено влияние факторов, определяемых стабильностью работы рентгеновской трубки, стандартностью нанесения материала на излучатель, эффектами селективного возбуждения и поглощения и составом анализируемого материала. Результаты этих опытов сводятся к следующему.

1. В процессе работы аппарата высокое напряжение на рентгеновской трубке колебалось в пределах $24 \pm 0,5$ kV от первоначального своего значения в 24 kV. Это приводило к разбросу в скорости счета при регистрации интенсивности K_{α_1} -линии титана, не превышающему 3—4% от измеряемой величины.

2. Указанный выше способ приготовления образцов для анализа позволяет добиться хорошей их стандартизации. Разброс в скорости счета полученный при регистрации интенсивности линии титана с 10 образцов излучателей, не превышал 4—5% регистрируемой величины.

3. Эффекты селективного возбуждения и поглощения, обусловленные

наличием в пробах железа и кальция, оказывают существенное искажающее влияние на результат анализа.

В препаратах с одинаковым содержанием титана увеличение железа от 0 до 30% повышает интенсивность линии титана примерно на 10% (рис. 1), а увеличение кальция от 0 до 30% снижает интенсивность линии титана примерно на 30% (рис. 2).

4. Плотность наполнителя — вмещающей анализируемый элемент среды — сказывается на интенсивности K_{α_1} -линии титана в более значительной степени, чем все остальные обсужденные выше факторы. С увеличением плотности наполнителя примерно от 2 до 4,5 г см⁻³ интенсивность аналитической линии при прочих равных условиях падала в 2—3 раза.

Проведенное исследование степени влияния различных факторов на интенсивность K_{α_1} -линии титана дает основание предполагать, что непо-

средственный анализ рудного материала по способу внешнего стандарта невозможен. Действительно, наши опыты по определению содержания титана непосредственно в рудном материале привели к результатам, отличающимся от данных химического анализа на 60—100%. Не приводя результатов этих определений, покажем здесь только характер зависимости интенсивности линии титана от его содержания в проанализированных пробах (рис. 3).

Из рис. 3 видно, что интенсивность аналитической линии по-разному зависит от его концентрации для групп проб, взятых с разных месторождений. Кроме того, кривые I и II этого рисунка указывают на отсутствие прямой пропорциональной зависимости между интенсивностью линии титана и его концентрацией.

Для того чтобы иметь возможность применить способ внешнего стандарта для указанных материалов, нами было использовано сведение последних к постоянному составу — разведение буфером. В каче-

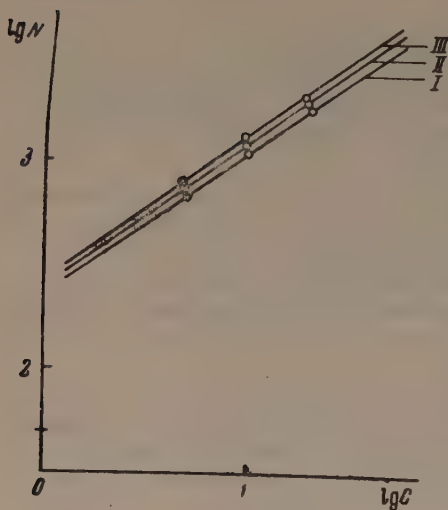


Рис. 1. Влияние железа на интенсивность линии титана: I — 0% Fe, II — 30% Fe, III — 60% Fe

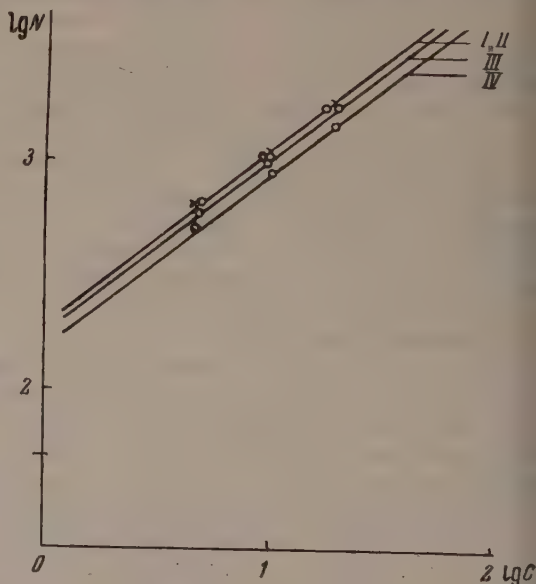


Рис. 2. Влияние кальция на интенсивность линии титана: I — 0% Ca, II — 5% Ca, III — 15% Ca, IV — 30% Ca

стве буфера была выбрана руда, состоящая в основном из кварца (до 70% SiO_2).

В качестве стандартов использовались препараты, приготовленные последовательным разведением ильменита указанным буфером. Аналитический график, построенный по этим стандартам, приведен на рис. 4.

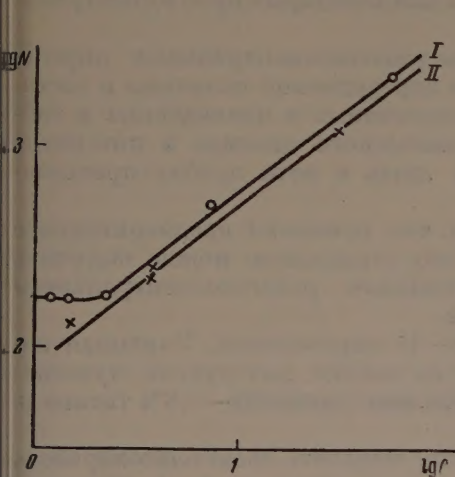


Рис. 3. Зависимость интенсивности линии титана от его содержания в различных породах

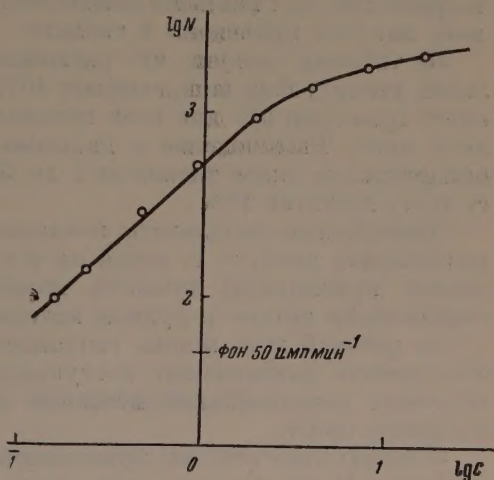


Рис. 4. Аналитический график

Результаты количественного рентгено-спектрального определения титана и сравнение их с данными химического и спектрального анализов

№ проб		TiO ₂ (%), по данным анализов						Разброс рентгено- спектр. определе- ния, %	Расхождение рентг. спектр. определений, %	
		рентгеноспектрального				химиче- ского	спект- рального		с химич.	со спектр.
		1	2	3	сред- нее					
1	32	3,8	3,5	3,2	3,5	3,72	3,7	5,7	5,9	5,4
2	33	1,4	1,5	1,6	1,5	1,48	—	4,7	1,4	—
3	35	3,2	3,1	2,9	3,1	3,60	—	3,2	13,9	—
4	36	25	26	25	25	27,5	23	0,12	9,1	8,7
5	37	2,5	2,3	2,0	2,3	2,45	2,5	7,4	6,1	8,7
6	38	1,6	1,3	1,3	1,4	1,45	—	12,1	3,4	—
7	40	1,7	1,5	1,5	1,6	1,87	—	6,3	14,5	—
8	47	7,2	7,0	7,4	7,2	7,20	6,9	2,8	0,0	4,4
9	52	1,7	1,5	1,9	1,7	1,47	—	8,8	15,6	—
10	54	53	52	52	52	55,0	—	0,6	5,5	—
11	55	2,3	2,2	2,3	2,3	2,21	—	1,3	4,5	—
12	56	7,7	7,5	—	7,6	7,33	—	1,3	3,7	—
13	81	46	44	40	43	43,6	—	4,7	1,4	—
14	83	3,2	3,2	3,0	3,1	3,08	—	3,2	0,7	—
15	85	44	45	42	44	47,4	—	1,6	7,2	—
16	86	1,2	1,2	1,2	1,2	1,18	—	0,0	1,1	—
17	87	9,6	10,2	9,8	9,8	9,50	—	2,0	3,2	—
18	122	13	14	14	14	15,3	—	2,1	8,5	—
19	123	3,3	3,0	3,2	3,2	3,20	—	3,1	0,0	—
20	124	0,9	0,8	0,8	0,8	0,92	—	3,8	13,0	—
21	128	3,2	3,3	3,1	3,2	2,79	2,1	2,2	14,7	52,0
22	169	37	38	33	36	38,0	48	5,6	5,3	25,0
23	171	3,3	3,2	3,2	3,2	3,15	3,2	0,0	1,6	0,0
24	246	57	49	50	52	52,0	—	9,6	0,0	—
25	252	39	42	41	41	43,8	36	2,5	6,4	13,7

Примечание. Результаты химического и спектрального анализов характеризуются средней относительной ошибкой соответственно 1-2 и 10-12%.

Проведенное исследование в разбавленных пробах показало, что удовлетворительное совпадение результатов рентгеноспектрального определения титана с данными химического анализа наступает для всех видов анализируемого материала при пятикратном его разбавлении.

Результаты определения титана в пятикратно разбавленных пробах и сравнение их с данными химического, а для некоторых проб и спектрального анализа приведены в таблице.

Из таблицы следует, что расхождение рентгеноспектральных определений между собой не превышает 10% от определяемой величины и составляет примерно 5% для всех проанализированных и приведенных в таблице проб. Расхождение с данными химического анализа в интервале концентрации окиси титана от 1 до 50% лишь в пяти пробах превышает 10%, достигая 16%.

Приведенные результаты показывают, что, применяя предварительное разбавление проб, т. е. сводя их к составу стандартов, можно получить вполне приемлемую точность количественного рентгеноспектрального определения титана в рудном материале.

За рабочий день можно выполнить 8—10 определений. Учитывая необходимость разбавления поступающих на анализ материалов, чувствительность разработанной методики составляет около 0,7—0,8% титана в исходной пробе.

В заключение считаем приятным долгом выразить свою благодарность студентке Иркутского государственного университета им А. А. Жданова Г. М. Скрипкиной, принимавшей участие в проведении экспериментальной части настоящей работы.

Выводы

Для интервала концентрации окиси титана от 1 до 50% разработана методика количественного рентгеноспектрального определения титана по вторичным спектрам по способу внешнего стандарта. Точность методики характеризуется средней относительной ошибкой, не превышающей 10%. Чувствительность составляет 0,7—0,8%, экспрессность — 8—10 анализов за рабочий день.

Иркутский гос. институт
редких металлов

Цитированная литература

1. Борисов Н. Д., Фогель Я. М., ЖЭТФ, 5, 744 (1935).
2. Борисов Н. Д., Фогель Я. М., ЖТФ, 7, 931 (1937).
3. Борисов Н. Д., Фогель Я. М., ЖТФ, 17, 599 (1947).
4. Блохин М. А., Завод. лабор., 16, 681 (1950).
5. Блохин М. А., Завод. лабор., 16, 941 (1950).
6. Birks L. S., Brooks E. J., Anal. Chem., 22, 1017 (1950).
7. Birks L. S., Brooks E. J., Fridman H., Anal. Chem., 25, 5, 692 (1953).
8. Liebhafer H., Herman A., Anal. Chem., 26, 1, 26 (1954).
9. Campbell William J., Carl. Howard F., Anal. Chem., 26, 5, 800 (1954).
10. Блохин М. А., Диссертация. — Ростов н/Д., 1954.

*Материалы I Совещания
по спектроскопии светорассеивающих сред*
(Москва, 29—30 марта 1956 г.)

По инициативе Комиссии по спектроскопии Академии наук СССР 29—30 марта 1956 г. в Москве состоялось I Совещание по спектроскопии светорассеивающих сред.

В Совещании приняли участие представители ряда научных организаций Москвы, Ленинграда и Минска. Все доклады сопровождались оживленной дискуссией, отчетливо выявившей актуальность поставленных на обсуждение вопросов.

Помимо публикуемых ниже на Совещании были заслушаны доклады:

К. С. Шифрин. Современное состояние вопроса о рассеянии света крупными частицами,

К. С. Ляликов, В. В. Кольцов и И. Н. Белоногова. Задачи исследования спектров отражения земной поверхности,

В. А. Тимофеева. Световое поле в сильно рассеивающих средах,

Г. В. Розенберг. Рассеяние света в двухмерном коллоиде и оптические свойства мономолекулярных и полупрозрачных металлических покрытий.

По поручению Совещания подготовка материалов к печати осуществлена Г. В. Розенбергом.